

**MINISTERUL EDUCAȚIEI SI ÎNVĂȚĂMINTULUI  
INSTITUTUL POLITEHNIC „TRAIAN VULPĂ” TIMIȘOARA  
FACULTATEA DE MECANICA**

**Ing. Vladoi Mircea**

**TEZA DE DOCTORAT**

**Cercetări privind modificarea structurii  
aliajului de aluminiu - magneziu AlMg10,  
elaborat și turnat în vid**

BIBLIOTECA CENTRALĂ  
UNIVERSITATEA "POLITEHNICA"  
TIMIȘOARA

**Conducător științific**

**Prof.Dr.ING. MUSCĂESCU MARIN**

**- 1985 -**

**566-665  
388-41**



## PARTea I - a - ALUMINIUL ÎN INDUSTRIE

## CAP. I - INTRAREA ÎN CEC

## 1.1. Generalități

În etapa actuală de dezvoltare a industriei, cu loc mutații importante în concepția, proiectarea și realizarea mașinilor, utilajelor și instalațiilor utilizate în diverse ramuri ale economiei.

Aluminiu, supranumit pe drept cuvânt „metul viitorului” datorită multiplelor sale calități, are de pe acum o foarte largă utilizare în multiple domenii. Sub forma diverselor componente ai scoarței terestre, aluminiul este cel mai răspândit metal din natură, ca element fiind depășit doar de oxigen și siliciu. Aluminiu, sub formă de compuși, intră în compoziția scoarței terestre, cu un procent de 8,6% (fig. 1.1). Rezervele de aluminiu sunt apreciate ca fiind

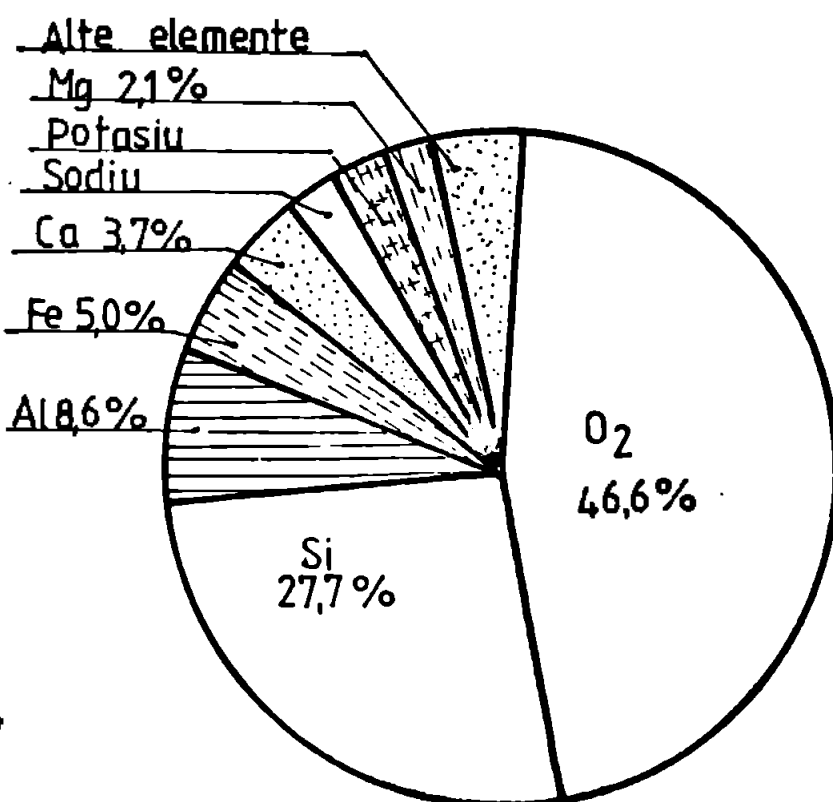


Fig.1.1.  
Structura scoarței terestre pînă la adâncimea de 30 Km [2]

În primul caz aluminiul metalic. Doi ani mai tîrziu, chimistul german Fr. Wöhler stabilește unele proprietăți fizice ale aluminiului.

După numeroase încercări de separare a aluminiului metalic (Saint-Claire Deville, Robert von Bunsen, Nicolai Beketov, etc.), de

de poate două ori mai mult ca cele de fier și de pes-te o mie de ori, în comparație cu cele de Cu, Zn, Pb, etc.

Descoperit în anul 1807, de englezul Sir Humphrey Davy, care semnaliză prezenta în argile a unui metal legat de oxigen, pe care îl denumește „aluminiu”.

În anul 1821 Pierre Berthier descoperă bauza în localitatea Les Faux (Franța), iar în anul 1825, danezul Hans Christian Ørsted, separe pentru prima oară aluminiul metalic. Doi ani mai tîrziu, chimistul ger-

abia după anul 1886 se poate vorbi de un procedeu industrial de producere a aluminiului, cînd Paul Heroult, în Europa (9.VII.1886) și Martin Hall, în America (23.XI.1887) reușesc, independent unul de celălalt, să pună bazele actualelor procedee de obținere a aluminiului, prin reducerea electrolitică a unei soluții de oxid de aluminiu.

În anul 1890, austriacul Karl Joseph Bayer obține patentele pentru metoda sa de obținere de  $\text{Al}_2\text{O}_3$  din bauxită.

Împă un început modest - 5700 t, în anul 1900 producția de aluminiu crește vertiginos, așa cum rezultă din fig.1.2. Se apreciază că

ritmul de creștere anual va fi în continuare relativ mare (cca. 8 %) astfel că se va ajunge, în anul 2000, la o producție mondială de cca. 100 milioane tone.

Tara noastră, bogată în minereuri de bauxită, al cărui conținut mediu de  $\text{Al}_2\text{O}_3$  este unul din cele mai ridicate din lume, cca 55-65%, își dezvoltă o industrie proprie de aluminiu.

La 30 iunie 1965, ora 17 și 15 min, a fost elaboreata la I.A.Slatina prima gară de aluminiu românesc.

Astăzi de cele circa 100 uzine de aluminiu din lume,

repartizate în 26 țări, I.A.Slatina, cu o producție de 100.000 tone în anul 1970, de 207.000 tone în 1976 și de 260.000 tone în 1980, va ajunge în anul 1990 să își mărească această producție cu 70-80 %.

România, ocupă astăzi, după 20 de ani, prin producția sa de aluminiu, locul 9 în Europa și locul 12 în lume, iar între țările socialiste R.S.Romania ocupă locul 3, după URSS și Polonia.

În anul 1971 a intrat în producție Intreprinderea de Prelucrare a Aluminiului Slatina, care produce un sortiment bogat de semifabricate din întreaga gamă de aliaje de aluminiu care se fabrică pe plan mondial, ce se situează la peste 4000 tipodimensiuni.

Dinamica producției de aluminiu românesc a cunoscut un ritm se-

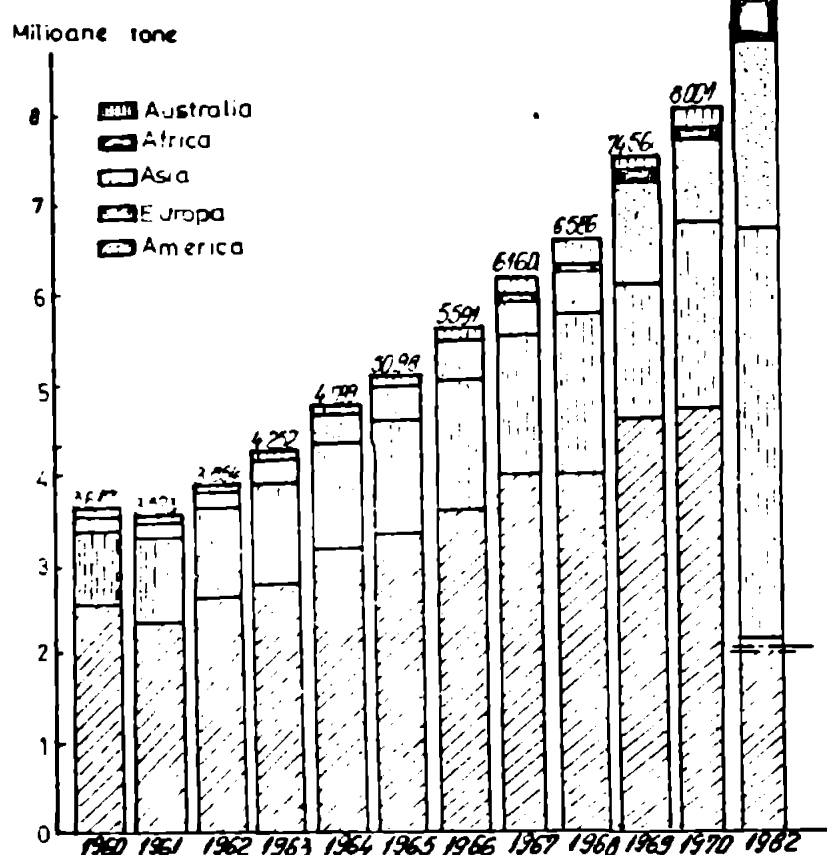


Fig.1.2.  
Producția mondială de aluminiu

repartizată în 26 țări, I.A.Slatina, cu o producție de 100.000 tone în anul 1970, de 207.000 tone în 1976 și de 260.000 tone în 1980, va ajunge în anul 1990 să își mărească această producție cu 70-80 %.

România, ocupă astăzi, după 20 de ani, prin producția sa de aluminiu, locul 9 în Europa și locul 12 în lume, iar între țările socialiste R.S.Romania ocupă locul 3, după URSS și Polonia.

În anul 1971 a intrat în producție Intreprinderea de Prelucrare a Aluminiului Slatina, care produce un sortiment bogat de semifabricate din întreaga gamă de aliaje de aluminiu care se fabrică pe plan mondial, ce se situează la peste 4000 tipodimensiuni.

Dinamica producției de aluminiu românesc a cunoscut un ritm se-

diu anual, unic în lume, de 20,4 %, înregistrindu-se, de exemplu, în 1975 față de 1965 un spor de producție de 25,3 ori.

Așa cum se vede din „Directivele Congresului al XIII-lea al Partidului Comunist Român, cu privire la dezvoltarea economico-socială a României în cincinatul 1986-1990 și orientările de perspectivă pînă în anul 2000”

„La aluminiu, producția se menține la nivelul capacitaților actuale, urmărindu-se obținerea de aliaje speciale și largirea sortimentului produselor”. - [1]

Se vor întreprinde de asemenea cercetări privind producerea aluminiului din argilă și din alte roci.

Evoluția consumului de aluminiu, în țara noastră, pe baza programelor elaborate, este prezentată în tabelul 1.1. [3]

Tabelul 1.1.

Evoluția consumului de aluminiu, în perioada  
1970-2000 în R.S.România

Indicatori	Unitate de măsură	Valoarea indicatorilor la nivelul anilor					
		1970	1975	1980	1985	1990	2000
Producția totală de aluminiu	gili tone	100	200	208	228	360	450
	%	100	200	208	228	360	450
Consumul de aluminiu	Kg/loc	5	10	15	10	14,0	16,0
raportat la locuitor	%	1,0	2,0	2,0	2,0	2,0	3,20

În turătorile moderne, și-au făcut apariția instalațiile de degazare a aluminiului și a aliajelor de aluminiu prin vacumarea topiturilor în incinte special amenajate.

S-au încercat, la diverse aliaje, agenți noi de codificare (Na, S, P, B, Sb, Ti, Zr, Ca, K, U, Th, etc.) cercetările axindu-se în special la aliajele Al-Si hipereutectice și la aliajele Al-Mg, cu conținut ridicat în magneziu ( $> 9\%$ ).

În ultimul timp, în țara noastră, datorită cercetărilor științifice s-au avințat noi aliaje ca: AR 59, Al-U 5.GT, Al-Si hipereutectic, aliajul aliaj AlMg, aliaje Al-Si pentru cuțineri, etc. În schimb aliajele Al-Mg, cu conținut ridicat în magneziu, nu s-au răspândit în producția industrială de piese turante, datorită unei insuficiente cercetări în domeniul, pentru a înălțura dificultățile tehnologice de elaborare-turare, pe care le ridica acest aliaj.

Însă, în o serie de țări, în are cercetările în acest domeniu

au fundamentat parametrii tehnologici de lucru optimi, la acest tip de aliaje se observă o tendință de creștere a utilizării lor în producția de piese turnate la care se cer performanțe fizico-mecanice superioare. Acest fapt este reliefat sintetic în fig. 1.3.

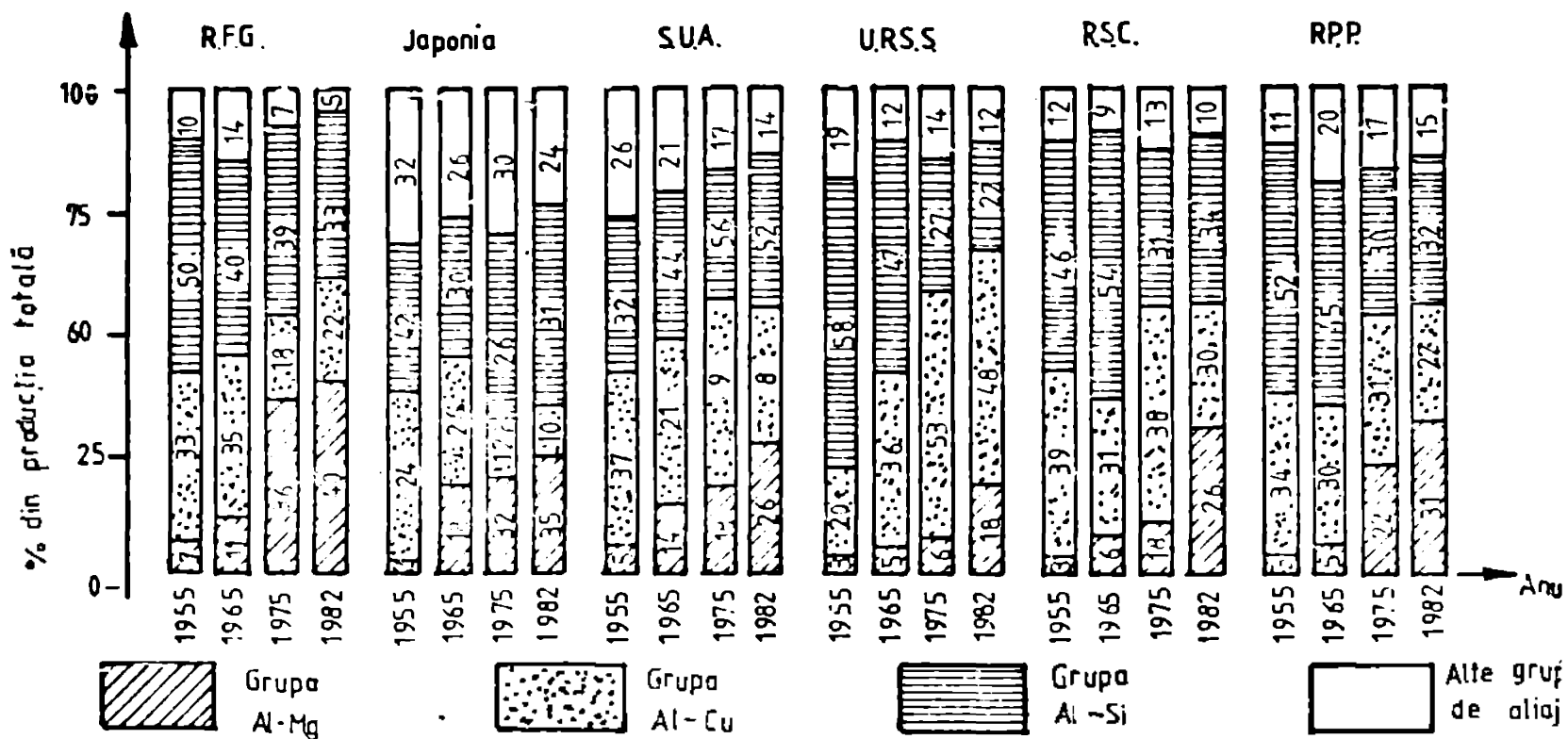


Fig. 1.3.  
Repartiția pe grupe de aliaje de aluminiu din producția de piese turnate

#### 1.2. Evoluția tehnologilor de elaborare-turnare bazată pe utilizarea vidului

Utilizarea vidului în procesele metallurgice, la scara industrială a început în jurul anului 1950. Prințul cupitor instalat, de tip NOR-TUM, avea o capacitate de cîteva sute de grame. Ulterior, aceste cuptoare au fost perfecționate, ajungînd la nivelul anilor 1960-1970, la circa 60 t., capacitate [4].

În industria metalurilor se folosesc și în special pentru realizarea pieselor turnate din aliaje de aluminiu, capacitatea cuptoarelor în vacuu a fost limitată la 500-1000 kg [5], deoarece la capacitați mai mari nivelul investițiile inițiale precum și dificultatea conducerii procesului tehnic logic de topire nu justifică utilizarea lor pentru scopuri industriale curente.

În construcția cuptoarelor de topire în vid, se disting două tipuri principale și anume:

a. cuptoare unicameralne cu funcționare intermitentă pentru efectuarea elaburărilor, respirării sau manevrării de degazării după fiecare operație și înălțind necesară deschiderea instalației pentru deversare și repara-

jare.

Avantajele acestui tip de cuptor constau din investiții reduse și în simplitatea funcționării.

b. Cuptoare bisecatorale, cu funcționare continuă, produse de firmă ARWOOD CORPORATION [6]. Aceste cuptoare au două camere - una de topire permanent vidată și una de turnare, cu vidare secondyala.

In camera de turnare se amplasează formele, pe un carusel de turnare pentru sărarea productivității, vidarea făcindu-se numai pe durata turnării și solidificării pieselor.

Datorită avantajelor proceselor metalurgice în vid, estimate de Van Cleve [7], folosirea topirii în vacum a devenit comună pentru o serie de noi tehnologii.

Făcind un studiu comparativ între degazarea aliajelor de aluminiu prin clorurare și prin vidare K. Alker [8], fișă concluziunea că cerătările optind pentru degazare prin vacuum. O serie de cercetători au fundamentat noi tehnologii de turnare gravitațională în vid [9,10,11], la presiune înaltă [12] sau prin absorbtie [13,14], de asemenea Sperner și Flomier s-au ocupat de metoda turnării de precizie în vid [15].

Datorită tehniciții deosebite a instalațiilor recente, date cu aparatură de conducere și control al procesului de elaborare-turare în mare parte automatizată, tehnologia de elaborare și turare în vid devine indispensabilă pentru obținerea pieselor turnate utilizate în instalațiile cu fiabilitate ridicată. Centralele energetice nucleare, industria navală, aeronaumatică și aerospațială, industria constructoră de mașini și chimia sunt doar cîteva domenii în care se cer pieșe turnate, cu înalte performanțe ale caracteristicilor fizico-mecanice, cu structura lipsită complet de incluzioni de gaze sau solide, ce nu se pot obține astăzi decit prin desfășurarea procesului metalurgic în vid.

În acest scop, în Intr.Electropuțere Craiova, în anul 1977 s-a lansat programul de cercetare în domeniul tehnologiei de vid cu aplicații în elaborarea și turarea pieselor din aliaj aluminiu-magnesium cu 10 % Mg. Prima instalatie pilot, de elaborare și turare în vid, în Intr.Electropuțere, a fost proiectată și realizată în anul 1977, având o capacitate de 10 Kg. aliaj de aluminiu. După omologarea ei, am efectuat o serie de cercetări în vederea fundamentală a tehnologiei optimale de elaborare și turare în vid a aliajului AlMg10, pentru a crea condițiile trecerii la producția industrială.

Pe baza rezultatelor obținute, împreună cu un colectiv, am tre-

out 1. proiectarea și realizarea unei instalații de degazare în vid a aliajelor de aluminiu, cu o capacitate de 800 Kg, ce va fi pusă în funcțiune în anul 1985.Urmează, ca în etapa imediat următoare să se trăceă 1. proiectarea unei instalații complexe de elaborare și tur-nare în vid.

### 1.3. Scopul lucrării

Etapa actuală de dezvoltare a întreprinderii Electropuțere Craiova, a impus în fabricația curentă, o serie de produse noi, cu performanțe tehnice la nivelul celor similare realizate pe plan mondial.

Crescerea competitivității tehnice, a fiabilității produselor, funcționarea lor în cele mai diverse medii, reducerea greutății pe produs, mîrarea randamentului concomitent cu reducerea pierderilor de energie electrică, creșterea puterii lor în paralel cu reducerea gabaritului, au devenit doar cîteva din imperativele puse în față proiectanților și a constructorilor de utilaj energetic și de transport feroviar din I.E.P.C.

O dată cu aceasta, s-a pus problema realizării unor piese tur-nate, cu caracteristici fizico-mecanice superioare, cu rezistență la coroziune și etanșeitate ridicată, pe fondul elaborării unor aliaje lipsite aproape complet de incluzuni nemetallice și de gaze.

Tehnologiile actuale, precum și aliajele existente, în special cele pe bază de aluminiu, nu conduc la obținerea acestor deziderate deficit parțial și cu un nivel ridicat al pierderilor tehnologice.

S-a pus astfel problema assimilării unor noi tipuri de aliaje și tehnologii, ce vor permite realizarea unor piese tur-nate care să eli-mină actualele neajunsuri și să satisfacă nivelul actual calitativ.

Pornind de la aceste considerente stringente, lucrarea de față își propune să aducă unele noi lămuriri asupra sorfologiei fazelor și a cristalizării în vid a aliajului de aluminiu-magneziu, de tip ATIGLOPI, precum și a influenței nivelului de vid asupra variabilității compozii, ei chimice și a caracteristicilor fizico-mecanice a acestui aliaj. În paralel se va cerceta și influența prelucrării termice în stare solidă pentru a determina și optimiza structura sea mai favorabilă, din punct de vedere funcțional, pentru piesele tur-nate din acest aliaj.

Finalizarea lucrării și transpunerea ei în practică industrială se va realiza prin punerea în funcțiune, în a doua jumătate a acestui an a instalației de degazare în vid, de mare capacitate, destinate prelucrării aliajelor ușoare, în fază lichidă.

Prin rezultatele și concluziile reșosite din această lucrare se

va pune la punct un procedeu tehnologic modern, la scură industrie-lă, care va conduce la realizarea de piese din aliaje pe bază de aluminiu corespunzătoare cerințelor tehnice actuale.

#### 1.4. Opțiuni asupra aliajului cercetat

Tendință actuală în elaborarea și turnarea pieselor din aliaje cu bază de aluminiu este reflectată în balanța mondială de metale primare deficitare și energointensive, precum și de nivelul mereu crescând al caracteristicilor fizico-mecanice necesare în industriile consumatoare de piese turnate.

Din analiza comparativă asupra aliajelor pe bază de aluminiu, din standardele românești și din cele între naționale, realizată într-o etapă anterioară lucrării, corelată cu noile necesități ridicate de creșterea nivelului tehnic al produselor din I.R.C., a rezultat, necesitatea asimilării unui aliaj care să răspundă la următoarele deziderate:

- a - caracteristici mecanice ridicate, superioare celor recommended de actualul standard JISZ 201/2 - 80 ;
- b - rezistență la coroziune în medii agresive ;
- c - greutate specifică redusă ;
- d - rezistență bună la etanșeitate ;
- e - stabilitate dimensională în funcționare, timp îndelungat ;
- f - posibilitate de finisare avansată a suprafeței ;
- g - prelucrabilitate bună prin aschiere ;
- h - conținut în siliciu și cupru, sub 0,3 %/element ;
- i - existență în structură, a unor constituenți pentru durificare structurală.

Utilizarea, în special a aliajelor din cele două grupe mari, aliaje Al-Cu și Al-Si, cunoaște un regres sensibil, în parte prin reducerea consumului de cupru primar, cît și datorită caracteristicilor de rezistență la coroziune și de proprietățile mecanice în permanență tendință de creștere.

Po plan mondial, folosirea pieselor-turnate din aliaje aluminiu-cupru, pe scară industrială, se limitează în Europa, doar la U.R.S.S. și Anglia, iar a aliajelor aluminiu-siliciu, cu prea litigie în S.U.A.

Să semnalăm însă, un interes crescând și o utilitate din ce în ce mai mare, pentru aliajele din sistemele Al-Zn și Al-Mg, acestea din urmă constituind un cimp larg de cercetare și aplicabilitate în multe domenii ale industriei.

• Aliajele de aluminiu cu conținut mărit de magneziu(7-11 %) prezintă un mare interes practic datorită unei găse variate de proprie-

teți favorabile.

Aceste aliaje au caracteristici mecanice ridicate (în stare tratată termică  $R_{\text{m}} = 38-40 \text{ daN/mm}^2$ ,  $A_s = 5-16 \%$ ) cu o greutate specifică mică (cu cca. 5 % mai redusă față de Al-Si și cu cca. 7 % mai mică față de Al-Mg), cu o bună rezistență la corozie și o bună prelucrabilitate mecanică.

Datorită fără complexitate și dificultăților tehnologice a procesului tehnologic de elaborare, turnare și prelucrare termică, aceste aliaje nu au cipărat o largă întrebunțare industrială.

Deficiențele tehnologice semnalalte la elaborarea și turnarea aliajelor de aluminiu-magneziu, puternic aliata, se explică prin existența unui mare domeniu de solidificare, în diagrama de echilibru, precum și prin existența, în aceste aliaje, a fazelor fragile și greu formabile  $\beta$  ( $\text{Al}_8\text{Mg}_3$ ) care se depune sub formă de aglomerări mari, formând adesea o rețea compactă și continuă.

Existența, în structura acestor aliaje, a componentului fragil  $\beta$ , constituie cauză formării criptaturilor la turcare, iar domeniul larg de solidificare provoacă nărirea tendinței de fisurare la cald, în timpul solidificării, mai ales la piesele turcate în forme permenante, cu măzuri metalice.

Aliajul de aluminiu-magneziu cu 10 % Mg, ce face obiectul de cercetare al acestei lucrări, a fost introdus în STAS 201/2-71, ca sareal ATFMgl0 - ATCFMgl0, dar cu caracteristici mecanice mult sub valoarea celor indicate de standardul strâns. Nefiind suficient cercetat, tehnologiile de lucru preconizate nu conduceau la eliminarea dificultăților tehnologice, iar caracteristicile mecanice obținute aveau valori mult inferioare. Din acest motiv nou standard de aliaje de aluminiu turcate în piese, STAS 201/2-80, nu mai conține această sareal, ci unul altul pentru turcare sub presiune ATFMgl0, și aceasta cu proprietăți modeste de rezistență și alungire.

Din aceste considerente, lucrarea își propune ca prin studierea structurii și a influențelor diverselor parametri asupra ei să se poată determina obținerea unui nivel superior al caracteristicilor fizico-mecanice și tehnologice a aliajului ATFMgl0.

Pentru a reduce la minim dificultățile tehnologice, corespondent cu obținerea caracteristicilor fizico-mecanice și de rezistență la corozie, ridicate, se impune adoptarea metodelor de elaborare-turcare, sau degazare, în vid, combinată cu optimizarea prelucrării termice în stare solidă, în concordanță cu transformările fazice favorabile.

Asigurând o elaborare în condiții de oxidabilitate minima și o eli-

minare avansată a incluziunilor nemetalice și de gaze, prin varierea nivelului de vacuum din incinta de lucru, această tehnologie va constitui metoda optimă pentru obținerea pieselor turnate cu caracteristici fizico-mecanice înalte. În paralel se va studia și fundamenta tehnologic și metoda de elaborare-turnare, în atmosferă, a acestui aliaj, obținând însă, în final proprietăți mai reduse decât prin metoda în vid.

Compoziția chimică preconizată, pentru aliajul AlTiBe, este prezentată în tabelul Nr.1.2, iar caracteristicile mecanice ce urmează să fi atinse, în tabelul Nr.1.3, după condiționare prin tratament termic.

Tabelul Nr.1.2.

## Compoziția chimică preconizată

Compoziția chimică, %						Impurități, % max.				
Rg	Si	Ti	Zr	Be	Al	Cu	Fe	Ni	Zn	
9,5 - 10,5	max. 0,20	0,05- 0,10	0,05- 0,10	0,005- 0,010	rest	0,05	0,20	0,05	0,10	

Tabelul Nr.1.3.

## Caracteristici mecanice obținabile

Caracteristici mecanice				
R <sub>x</sub> daN/mm <sup>2</sup>	R <sub>c</sub> daN/mm <sup>2</sup>	A <sub>5</sub> %	H <sub>B</sub> 2,5/62,5/15	A <sub>CU</sub> cal/m <sup>2</sup> /s <sup>2</sup>
25-30	14-16	4-9	75-90	3-6

Având în vedere că acest aliaj este sensibil la o serie de impurități, chiar în cantități foarte reduse, este necesar să se ia o serie de precauții în vederea înlăturării cauzelor de contaminare a aliajului topit, iar încarcatura metalică să fie formată numai din materii prime de înaltă puritate.

Pentru blocarea oxidării topiturii prin admisia de oxigen în baie precum și pentru reducerea la minim a posibilității de absorbție a gazelor (în special a hidrogenului), la elaborarea în atmosferă se introduce în aliajul topit beriliu, în conținuturi de 0,005 - 0,010 %. Conținuturi de 0,008 - 0,010 % nu sunt justificabile însă din punct de vedere al maririi nesemnificative a efectului său degazant-dezoxidant, putând conduce chiar la mirarea sensibilă a granulației masei metalice de bază.

Tehnologia complexă de prelucrare termică în stare lichidă și în stare solidă, va trebui să conduce și la înșeplinirea următoarelor condiții obligatorii și anume:

- nu este admis sodiu nici sub formă de urme;
- adiționarea corectă a beriliului se va face în funcție de tipul și metoda de elaborare-turnare;
- limitarea conținutului maxim în siliciu, pentru formarea compusului  $Mg_2Si$ , la cca. 0,20 %, pentru a elmina pericolul de coroziune accelerată la temperaturi ridicate(max.100°C) și scăderea alungirii datorită unei autoimbâtrîniri excesive după călire, analogă cu efectul zonal al aliajelor din sistemul Al-Mn;
- reducerea drastică a conținutului în cupru, sub 0,05 % pentru a combate coroziunea intercrystalină;
- adiționarea modificatorului, ca agent finisator al structurii în limitele 0,10-0,15 %.

Dacă aceste condiții sunt satisfăcute, piesele turnate și conditionate termic vor fi rezistente la coroziune în condiții severe de lucru, și vor avea caracteristici mecanice foarte bune, stabile pînă la temperaturi de funcționare de max.100°C.

### 1.5. Prezentarea lucrării

• Aliajul aluminiu-magneziu, cu 10 % Mg se caracterizează, pe lîngă un nivel ridicat al caracteristicilor fizico-mecanice și de coroziune, printr-o oxidabilitate puternică în atmosferă, în stare lichidă și saturată rapidă în hidrogen. Existența acestor efecte negative combinate și cu o turnabilitate slabă au frinat extinderea lor în practica industrială.

In consecință, lucrarea de față își propune, ca rezultat al studiului modificărilor structurale la varierea diversilor parametri, să conducă la fundamentarea unei tehnologii de elaborare-turnare și tratament termic aplicabile industriale.

Tehnologia de lucru ce va fi pusă la punct va fi canalizată pe două căi distincte, în funcție de nivelul caracteristicilor impuse pieselor turnate.

Se va realiza o tehnologie de elaborare-turnare a aliajului AT Mg10 bazată pe desfășurarea întregului proces în atmosferă ce va conduce la obținerea unor piese turnate cu caracteristici fizico-mecanice superioare celor din STAS 298/2-71. În urma acesteia se va propune reintroducerea sa în următoarea ediție a standardului de aliaje de aluminiu turnate în piese.

Pentru obținerea de piese turnate cu caracteristici net superioare se va fundamenta o tehnologie de elaborare-turnare în vid a acestui aliaj, cu o primă etapă de aplicare industrială, numai de degazare prin vacumare. Conditionarea termică finală va fi comună pentru ambele scheme tehnologice.

Lucrarea este structurată în patru părți distincte dar care interacțiază prin legături și interpretări în sistemul practică-teorie-practică.

Astfel, în primă parte sunt prezentate unele noțiuni introductive, scopul, motivația și prezentarea succintă a obiectivelor lucrării precum și unele referiri teoretice de fundamentare a cercetărilor și a tehnologiilor de aplicare industrială.

Metodica abordării cercetărilor, variantele experimentale efectuate precum și prezentarea instalației de elaborare-turnare în vid, de laborator sunt prezentate în primele capitulo din partea a doua.

Pe baza fenomenelor fizice și metalurgice fundamentate teoretic, în finalul părții a doua sunt deafăgurate rezultatele experimentărilor, analizelor și încercărilor precum și tehnica și aparatura de laborator utilizată.

Prelucrarea datelor experimentale în diferite variante, corelarea lor cu structura cristalină precum și interpretarea rezultatelor grafic, statistic sau pe calculator, făc obiectul partii a treia a lucrării.

In partea a patra, sunt descrise contribuțiile lucrării la aplicarea în practică a cercetărilor efectuate, optimizarea variantelor tehnologice și se prezintă tehnologia și proiectul instalației de prelucrare în vid a aliajelor de aluminiu, la scara industrială.

In ultimele capitulo din partea a patra se înșorîu succint indicatorii tehnico-economici comparativi, documentația tehnologică ce va sta la bază aplicării industriale și concluziile finale ale lucrării.

## CAP. II - FUNDAMENTARI TEORETICE

• 2.1. Diagrama de echilibru a sistemului binar Al-Mg

Diagrama de echilibru a sistemului binar Al-Mg prezentată în fig.2.1., este specifică sistemelor cu eutectice și faze intermetallice. În combinație cu aluminiu, magneziul formează o serie de compuși intermetalici:  $\text{Al}_3\text{Mg}_2$ ,  $\text{Al}_2\text{Mg}$ ,  $\text{Al}_3\text{Mg}_5$  și  $\text{Al}_2\text{Mg}_3$ .

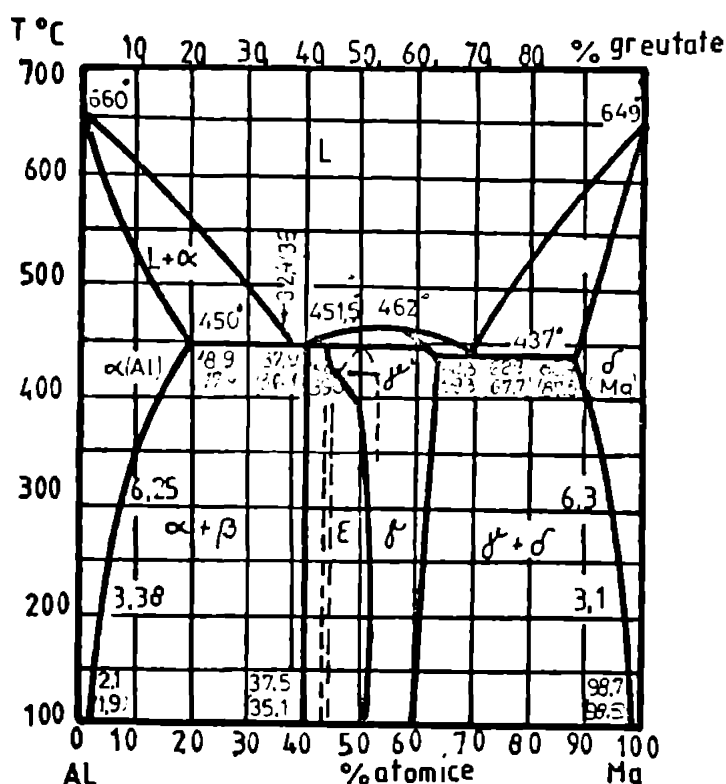


Fig.2.1.  
Diagrama de echilibru a sistemului Al-Mg [16]

Diagrama de echilibru a sistemului Al-Mg [16] se referă la soluția solidă  $\text{Al}_3\text{Mg}_2$  ( $\sim 19\%$  Mg), pe bază de aluminiu, cristalinizată în sistem cubic cu faze centrate;

- fază  $\beta$  ( $\text{Al}_3\text{Mg}_2$ ), cristalinizată în sistem cubic cu faze centrate, cu 1173 atomi în celulă elementară, cu parametrul de rețea  $a = 23,13 \text{ \AA}$  (sau  $23,19 \text{ \AA}$ , potrivit altor măsuratori); structura sa este:

$$\text{O}_h^7 - \text{Fd} \bar{3} \text{ m}$$

Lucrările anterioare indicau o structură hexagonală cu parametrii  $a = 11,40 \text{ \AA}$  și  $c = 17,91 \text{ \AA}$ ;  $\text{Al}_3\text{Mg}_2$  formează un eutectic cu aluminiu la  $57,4$  at % (35 gr %) Mg, cu temperatură de topire la  $451,5^\circ\text{C}$ . Cel mai mare gaudi de o organizare care se întinde de la  $37,5$  at % (30,1 gr %) Mg pînă la  $41$  at % (37,7 gr %) și la  $450^\circ\text{C}$ .

soluția solidă  $\alpha\text{C}$  (Al), ce magneziu în aluminiu, prin tratamentul termic de punere în soluție poate dizolvă cantități mari de magneziu, ceea ce conferă aluminelor proprietăți mecanice ridicate, atât că rezistență cât și că plasticitate.

În stare brut turnată fază  $\beta'$  ( $\text{Al}_3\text{Mg}_2$ ), influențează negativ tenacitatea aluminelor.

În sistemul Al-Mg la temperaturi apropiate de începutul tipirii există cinci faze, de compozitie variabilă [17,18], și nu-

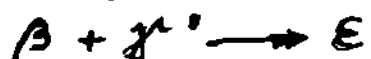
re:

- soluția solidă  $\alpha\text{C}$  ( $\sim 19\%$  Mg),

- faza  $\beta'$  ( $\text{Al}_x\text{Mg}_y$ ), are o serie de transformări intermediare ( $\beta'_1, \beta'_2, \dots, \beta'_n$ ), stabile la temperaturi ridicate, dar cu posibilități de apariție și la temperatură ambientă, în urma condiționării termice; parametrii săi de rețea sunt nedeterminate, datorită multiplelor stări intermediare;

- faza  $\gamma'$  (41,5 - 59,4 gr % Mg), este o fază de tip bertholdidă, pe baza compușilor  $\text{Mg}_3\text{Al}_2$ , cu rețea inostructurală cu  $\alpha\text{C}$  Na (tip A.12); prezintă o transformare polimorfă la temperatură de  $420^\circ\text{C}$ , trecind în varietatea  $\gamma''$  cu rețea distorsionată. Se presupune că la concentrația de 58,62 at % Mg, apare o fază cu structură ideală tip  $\text{Ag}_{17}\text{Al}_{12}$ ;

- faza  $\varepsilon$ , se formează în stare solidă prin reacția peritectoidă, la temperatură de  $410^\circ\text{C}$ ;



este o fază metastabilă, cu domeniul de existență între 41,3 - 43,8 at % Mg, cu o structură complicată cu simetrie simplă. Roentgenograma pulberii este mai simplă decât cea a fazei  $\gamma'$ :

- faza  $\delta'$ , reprezintă o soluție solidă de aluminiu în magneziu, cu rețea hexagonală compactă.

În domeniul aliajelor aluminiu-magneziu, un interes practic, prezintă numai aliajele hipoeutectice, cu max. 10-12 % Mg.

Variatia solubilității magneziului în aluminiu, în funcție de temperatură prezintă un interval larg de valori (tabelul Nr.2.1.), ce începe de la un minim de 0,9 % la temperatură ambientă și atinge un maxim la temperatură eutectică, cind în condiții normale de echilibru, solubilitatea atinge 17,4 % Mg.

Tabelul Nr.2.1.

Solubilitatea magneziului în aluminiu în  
funcție de temperatură

Temperatură, $^\circ\text{C}$	450	400	350	300	250	200	150	100	20
Magneziu, %	17,4	13,5	9,9	6,7	4,4	3,1	2,3	1,9	0,8

Aliajele de turătorie, din sistemul Al-Mg, sint în general aliaje bifazice, cu structură alcătuită din soluția solidă bogată în aluminiu și separări de fază  $\beta$  ( $\text{Mg}_2\text{Al}_3$ ). Deși eutecticul  $55\text{ }^\circ\text{C} + \beta$  ( $\text{Mg}_2\text{Al}_3$ )

ar trebui să se formeze, conform diagramei de echilibru termic numai în aliajele cu peste 17,4 % Mg, totuși datorită neogenitații chimice produsă prin segregatie cristalină, eutecticul poate apărea, în aliajele brute de turătorie chiar cu 6-7 % Mg.

Datorită impurităților de fier și siliciu, prezente în aliagile industriale, precum și adăsuriilor de elemente de aliere sau nedefinibile, se formează o serie de faze intermetalice, greu solubile ca:  $\text{Al}_5\text{Mn}$ ,  $\text{Fe}_2\text{Si}$ ,  $\text{Al}-\text{FeMn}$ ,  $\text{Al}_3\text{Ti}$ ,  $\text{Si}_2\text{Al}$ ,  $\text{Al}_3\text{Zr}$ , etc.

De asemenea, pentru a neutraliza efectul negativ al separărilor grosiere de fază  $\beta$  ( $\text{Mg}_2\text{Al}_3$ ) se recomandă introducerea în aliaj a unor mici cantități de zirconiu, care cărungează precipitările de fază  $\beta$  și asigură dizolvarea lor mai rapidă.

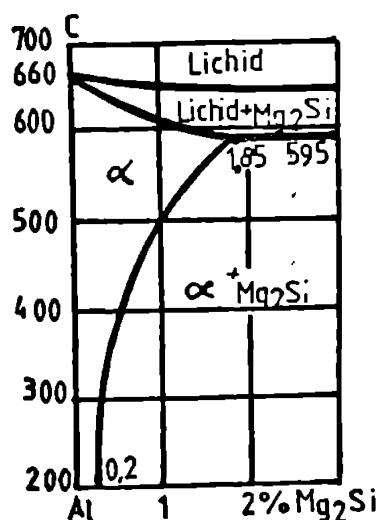
Dacă în aliajele binare aluminiu-magneziu nu sunt durificabile prin precipitare, se adaugă siliciu, care în combinație cu magneziu formează compusul intermetalic  $\text{Mg}_2\text{Si}$ , de tip  $\text{CaF}_2$  (C) cu parametrii rețelei  $a = 6,404 \text{ \AA}$  și  $C = 5,351 \text{ \AA}$ .

Soluția solidă  $\alpha$ , bogată în aluminiu, dizolvă la  $505^\circ\text{C}$ , 1,85 %  $\text{Mg}_2\text{Si}$  iar la  $200^\circ\text{C}$ , numai 0,2 %.  $\text{Mg}_2\text{Si}$  (fig.2.2).

Prin călăre de la temperaturi apropiate de cea eutectică și îmbătrânire naturală ulterior se vor obține efecte de durificare prin precipitare.

In figura 2.3 se prezintă aspectul metalografic al unor constituențe și faze prezente în aliajele Al-Mg. (Anexul I).

**Fig.2.2**  
Diagrama de echilibru  
Al- $\text{Mg}_2\text{Si}$  [19]



## 2.2. Aliaj Aluminiu - Magneziu taurata

Caracteristicile mecanice ale aliajelor aluminiu-magneziu sunt dependente de % Mg și prezintă o variație cu maxim în domeniul valorilor de 8-12 % Mg (fig. 2.4). Aliajul binar Al - 10 % Mg, are temperatură lichidus de  $606^{\circ}\text{C}$  și cea solidus de  $515^{\circ}\text{C}$ .

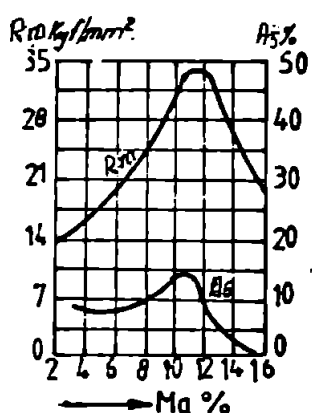


Fig. 2.4

Variatia caracteristicilor mecanice ale aliajelor Al-Mg, in functie de continutul in magneziu [17]

nezu, influențează și elementele de aliere sau cele considerate ca impurități, așa cum se prezintă în tabelul 2.2 [21-27].

Metalurile solubile în rețeaua aluminiului afectează densitatea într-un mod mai complex decât în cazul prezenței a două sau mai multe faze, cind densitatea se determină prin regula mestecului.

In cazul în care elementul de adăos formează o soluție solidă și contractă rețeaua, el mărește densitatea. La precipitarea unor faze, densitatea crește datorită dilatării rețelei, exceptie făcind cazul în care volumul specific al fazelor precipitate descrește.

In cazul aliajului aluminiu-magneziu, acest efect este mai complicat datorită prezenței constituentului  $\text{Al}_3\text{Mg}_2$ , mai puțin dens ca soluția solidă  $\alpha$ .

Un factor deosebit de important, care influențează proprietățile de turnare și reprezintă formarea și includerea în topitură a peliculelor de oxizi, în timpul elaborării și turnării aliajelor [28].

Aceste pelicule reduc fluiditatea și capacitatea de umplere a aliajului Al-Mg 10, la turnare în forme. Tendința de formare a peliculelor oxidice se blochează însă prin mică aderanță de beriliu, ce formează un strat oxidant protector pe suprafața bali metalice care împiedică formarea, în continuare a oxizilor metalelor prezente în topitură.

Pe plan mondial, aliajele aluminiu-magneziu în general și alia-

Piesele taurate, după VAN LANCER [20], în stare tratată termic, au rezistență la tracțiune de minim  $30 \text{ daN/mm}^2$ , limită de curgere, min.  $15 \text{ daN/mm}^2$ , alungirea, min. 6 %, duritatea Brinell, min. 75, reziliență, min. 2-3  $\text{daN/cm}^2$  modulul Young, min.  $6350 \text{ daN/mm}^2$ .

Totodată, asupra caracteristicilor fizico-mecanice și tehnologice ale aliajelor aluminiu-magneziu, de aliere sau cele considerate ca

al AliMg10 în special, asigură un nivel ridicat al caracteristicilor fizico-mecanice fiind, din acest punct de vedere, printre cele mai bune aliaje de aluminiu destinate tăierii în piese. În tabelul 2.3 se prezintă valorile compoziției chimice ale cîtorva din cele mai cunoscute mîrri de aliaje AlMg10, iar în tabelul 2.4 se dau caracteristicile fizico-mecanice corespunzătoare acestora, obținute în stare tratată termică [20, 28÷32]. În figura 2.5 se prezintă cîteva piese realizate din aliaj AlMg10, reprezentative pentru marea varietate din domeniul tăierii (Anexa I).

### 2.3. Ghicetica dezgăzării în vid

Frecerea unui gaz dizolvat din metalul lichid în fază gaz - sau încovănușirea, cuprinde următoarele etape :

a. transportul din interiorul spre suprafața metalului. În stare solidă, acest transport are loc numai prin difuzia atomilor sau ionilor de gaz prin rețeaua cristalină a metalului, iar în stare lichidă, mai întâi prin transportul convectiv din interior către o zonă apropiată de suprafața metalului și de aci prin difuzie, către suprafață.

b. tranziția atomilor de gaz de la starea dizolvată la starea adsorbată la suprafață.

c. Reacția atomilor de gaz și strângerea adsorbit, cu formarea de molecule, prin asociere între ei sau cu atomi de tipuri diferite.

d. Desorția moleculelor de gaz de la suprafață.

e. Difuzia moleculelor de gaz, în exteriorul băii de cinciu și îndepărțarea lor prin sistemul de vidare.

În cursul desfășurării acestor procese, trebuie îndeplinită condiția continuării parcurgerii etapelor respective, precum și cea de stingeră a stării quasistacionare pe fiecare treaptă în parte.

Din punct de vedere al vitezei de desfășurare, etapa determinată de coeficientul de transport este cea mai lentă [47].

În figura 2.6., se prezintă schematic modificările de concentrație în fazele de gaz și de gaz condensat. În funcție de etapa care determină coeficientul de transport, este cea mai lentă.

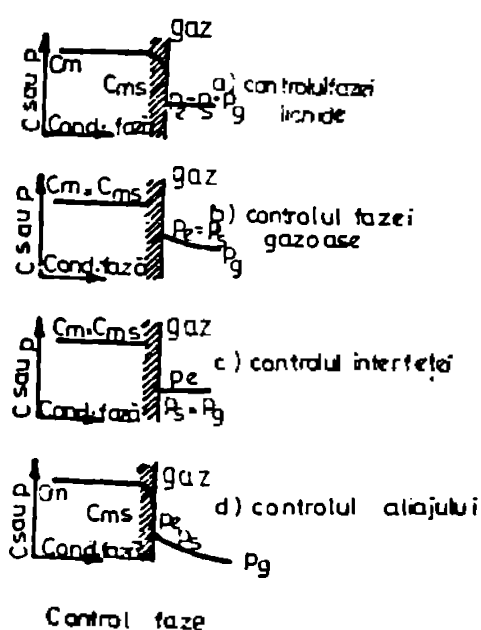


Fig.2.6  
Transportul de gaz în apropierea interfeței gaz-lichid [5]

„ $C_m$ ” este concentrația medie a substanței dizolvate în fază condensată și „ $C_{ms}$ ”, ceea ce substanței dizolvate, unde substanța dizolvată este reprezentată de gazul din baie împreună cu substanța condensată este topitura însăși; „ $p_e$ ” este presiunea în echilibru corespunzător concentrației „ $C_m$ ”, „ $p_s$ ” este presiunea la suprafața băii, iar „ $p_g$ ” este presiunea medie a gazului [5]. Îliberarea gazului poate avea loc, fie prin suprafață liberă a metalului topit, fie prin poretele creuzetului, presupunând că acestea sunt poroase.

516665  
358 f1

După S. PENCENKO [34], dacă este posibilă formarea de bule de gaz în interiorul topiturii, se crează suprafețe suplimentare de schimb, care sunt în majoritatea cazurilor mult mai mari, la începutul procesului de degazare, decit la suprafața liberă a topiturii, dar mărimea lor descrește pe măsură ce degazarea progresează.

În ceea mai mare măsură, degazarea băii lichide se realizează prin formarea spontană de bule de gaz.

Aceasta depinde de prezența nucleelor generatoare de bule de gaz care trebuie să dezvolte continuu procesul de formare și eliminare a lor. Presiunea de echilibru, din topitură vacuumată, ce acționează în interiorul unei bule staționare, în echilibru cu emulajul lichid, trebuie să fie cel puțin la fel de mare ca și suma presiunilor ce acționează din exteriorul bulei, și care sunt:

- presiunea atmosferică, ce acționează asupra lichidului ;
- presiunea metalostatică, exprimată prin presiunea coloanei de topitură pe bula de gaz ;
- presiunea capilară, produsă de tensiunea superficială.

Bula de gaz se caracterizează în principal prin mărirea sa "fază critică", care este proporțională cu tensiunea superficială.

La un nucleu de bulă, pe un suport plat, unghiul de contact  $\theta^*$  este o funcție a tensiunilor interfaciale ale celor trei faze.

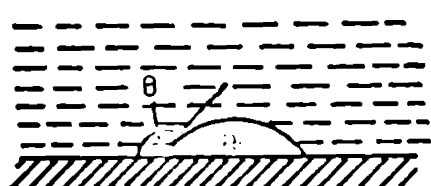


Fig.2.7

Unghiul de contact al bulei pe un suport plat [41]

limitrofe. Pentru un volum de bulă dat, unghiul de contact determină curitura și prin urmare presiunea internă minimă care se impune pentru a menține acest nucleu stabil (fig. 2.7)

BRADSHAW [41], a arătat că acest unghi de contact trebuie să se apropie de  $180^\circ$ , pînă cînd presiunea interioară devine mai mică decît presiunea de echilibru normală, adică topitura poate unezi cu greu suprafață.

Rezultă că numai porii, retusurile sau alte goluri pot deveni surse de formare a germenilor de gaz. Presiunea interioară, depinde de unghiul de contact  $\theta^*$ , dar și de forma golului. BRADSHAW alege ca model un gol de formă unui con ascuțit, cu o rază a bazei cavității  $r_0$ , așa cum se prezintă schematic, în figura 2.8., creșterea buzelor la diferite unghiiuri de contact ( $90^\circ < \theta < 180^\circ$ ).

Din aceasta rezultă evident că raza bulei rămîne suficient de mare, în timpul creșterii volumului său, pînă unghiuri de contact mai mari de  $90^\circ$ , astfel că este posibilă creșterea ulterioră a bu-

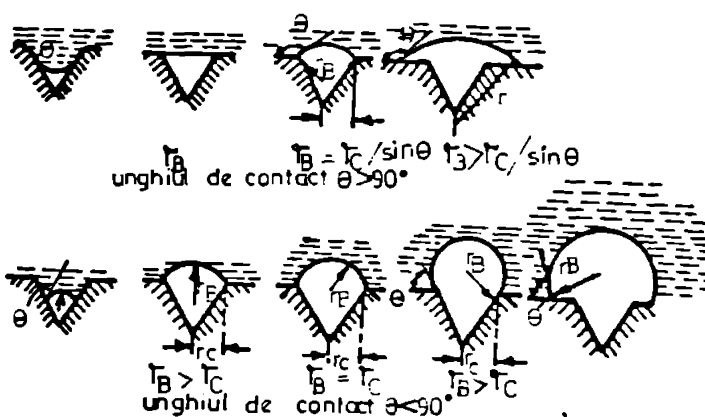


Fig. 2.8

Schemă creșterii bulii, pe un gol al unei suprafete solide. Figurile de sus sunt pentru un unghi de contact  $\theta > 90^\circ$ , iar figurile de jos, pentru  $\theta < 90^\circ$  [35]

Iată cea mai mică rază a bulii, va fi dată de relația:

$$r_B = \frac{r_C}{\sin \theta} \quad (2.1)$$

Este deosebit de important ca golul să nu fie rotunjit la băști, deoarece s-ar putea produce uneșterea completă. Dacă sunt îndeplinite aceste condiții, o astfel de cavitate sau gol reprezintă o surse continuu de buli.

Aceasta, sau un mecanism similar, de formare a bulilor este important în număr pentru degazarea topiturilor din creuzete dar și pentru degazarea vînai de metal în timpul deversării cuptorului.

La această situație, dezintegrarea vînai de metal lichid este evidentă ca rezultat al eliberării gazelor în incinta vidă.

Conform celor stabilite de WINKLER [42] vor fi considerate numai trei din principalele posibilități de formare a germeilor de buli de gaz, și anume :

- formarea heterogenă a germeilor de buli de gaz, în porii sau alte goluri. Condiția necesară pentru formarea germeilor de buli este ca acestea să nu opereă datorită turbulenței din baia de topitură, înainte de a atinge o anumită dimensiune, care să facă posibilă creșterea lor ulterioră, adică bulile antrenate să fie suficient de mari.
- Degajarea gazelor, din metalul topit, aspirate de nisocările băii sau prin porii și crăpăturile din căptușeala refractoră a creuzetului.
- Cea mai probabilă condiție de formare a bulilor, după WINKLER, este antrenarea gazului, în timpul deversării metalului, de vîna de metal, în funcție de dimensiunile

### gleabului de turnare.

WINCLER [42] afirmă că aceste particule de gaz sunt generate de turbulență și de instabilitățile curgorii, patruindu-o să se vîne de metal în topitură unde, fie se divid, fie crește datorită difuziei gazelor din lichidul înconjurător.

ANULIN [42], a demonstrat de asemenea că, pentru un acme volum al porului de gaz coeficientul de creștere a bulii este mai mare, la o presiune de cca. 10 mm.col.Hg., decât la presiuni mai reduse, din cauză că diametrul initial al bulii antrenate este mai mare.

Dupa KRAUS [5], această permite că puțină exprimare calitativă a fenomenelor observate, iar BLAHL [5], bazează valabilitatea acestei concepții pe observația că, dispersia curentului de metal este mai evidentă la curgea printr-un orificiu lung paralel decât prin unui unghiular ascuțit. Această teorie, de fapt, conduce la furnizarea forței rețelilor de alimentare, pentru reducerea la minim a absorbției de gaze în timpul urplerii formei de turare.

Mărimea bulii crește cu distanța parcursă de ea pînă la suprafața băii, dimensiunile crescind pe măsură ce diametrul initial al bulii este mai mare. Valorile maxime ale dimensiunii bulii sunt obținute pentru adânciri ale băii de cca. 500 mm.

Dupa KEL.S [5], cantitatea de gaz eliberată dintr-o topitură ar putea fi calculată, dacă frecvența de formare a germenilor de buli crește la o presiune și concentrație cunoscute.

Dar cum această corelație nu este determinată, calculul se restricționează la cazul de limitare cu un exces de germenii de buli.

Conform acestei ipoteze, cantitatea maximă de gaz eliberată, este dată de relația :

$$\frac{dn}{dt} \approx - 2 \Psi \cdot A \cdot Cm \sqrt[3]{\frac{\rho_{ag}}{L}} \quad (2.2)$$

unde „L” este coeficientul de solubilitate al gazului, dat de raportul concentrațiilor  $C_u/C_g$ , în col/cm<sup>3</sup>, din topitură și din bula de gaz, care conform legii acțiunii răsuși există la interfață în echilibru; „ $\Psi$ ” este densitatea populației de buli din apropierea suprafeței, adică volumul total de buli din zona suprafeței topiturii; „A” este suprafața băii lichide, iar „C” este coeficientul de difuzie al materialului transportat(al gazului din bula).

Modelul dezvoltat de KRAUS pentru degazarea prin buli ascendențe presupune că bulile au formă sferică dar, în timpul ridicării lor spre suprafață, forma lor se schimbă cu mărirea lor. S-a determinat că bulile, inițial sferice, cu diametre echivalente de 7-8 mm pe

căsură ce crește tind spre forma unei elipse de rotație și că ulterior își formează sferice.

Această deformare a bulii conduce la o creștere a transferului de masă și la o diminuare a coeficientului de aderanță, în comparație cu bulile sférici.

Prin comparație parametrul „ $\Psi$ ” conține o incertitudine evidențială. În vederea nedeterminării frecvenței de gerulare a bulilor și a reacției, simultan posibilă, dintre topitură și căptușeala refractată, verificarea dimensiunii de volumilitate a acestei teorii este extrem de dificilă,oricum, acea că teorie indică o limită superioară pentru coeficientul de transport al maselor, care nu poate fi depășită.

In principal, conținutul volumului bulii de gaz, în topurile de aliaje de aluminiu-magnesium, este determinat de existența hidrogenului absorbăt, format prin reacția:



In baie, hidrogenul molecular format, se scindează, treând în formă sa atoxică, în c.su acesta devine uniform distribuit în aliajul lichid, după reacția :

$$\{ \text{H}_2 \} = 2 [\text{H}_1] \text{ Al} \quad (2.4)$$

Concentrația hidrogenului sonotetic, în topuri depinde de presiunea exterioară „ $p_0$ ” a hidrogenului molecular, cu care este în echilibru.

La presiune atmosferică a bulii de hidrogen molecular, fructoarea atomică de hidrogen „ $M_2(760)$ ” va fi :

$$M_2 = 760 \text{ cm.col.Hg} \quad (2.5)$$

$$M_2(760) = R \cdot T \cdot \sqrt{760}$$

Dacă presiunea exterioară „ $p_0$ ” a hidrogenului molecular este diferită de cea atmosferică( $p_0 < 760 \text{ cm.col.Hg}$ ), atunci :

$$M_2(p_0) = M_2(760) \sqrt{\frac{p_0}{760}} \quad (2.6)$$

In loc de a folosi fructoarea atomică, conținutul în hidrogen sonotetic poate fi exprimat în  $\text{cm}^3/\text{kg}$  g aliaj, iar solubilitatea pentru  $H_1$ , este dată de relația :

$$S_{H_1}(p_0) = S_{H_1}(760) \sqrt{\frac{p_0(\text{H}_2)}{760}} \quad (2.7)$$

ce se poate folosi în calculul determinării rezistenței de hidrogen în aliajul corectat. Cind  $S_{H_1}(760) = 10^3/\text{kg}$  g aliajZIPIT, presiunea exterioară „ $p_0$ ” a hidrogenului este de  $1 \text{ kg}/\text{ca}$ .

Solubilitatea hidrogenului monotonie la presiunea atmosferică, în funcție de temperatură este dată de relația :

$$\log S_{H_2}(760) = -2760 \frac{1}{T} + 2,763 \quad (2.8)$$

Lăsând în considerație relația (2.7), combinată cu (2.8), precum și aspectul variației solubilității hidrogenului din figura 2.9, se poate să se supună degenerării acționând asupra valorilor temperaturii,  $T$ , și a presiunii,  $p$ . În principiu  $T$  se ia la valoarea minimă posibilă, iar pentru menținerea presiunii de echilibru,  $p$ , a hidrogenului în topitură, se aplică, în cazul aliajului AMg 10, cercetat, următoare, în instalații speciale.

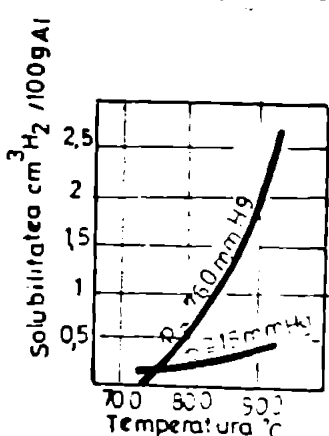


Fig. 2.9

Solubilitatea hidrogenului în funcție de presiune și temperatură aliajului [17]

#### 2.4. Modificarea structurii aliajelor aluminiu-magneziu, turnate

Structura primară a aliajelor aluminiu - magneziu are o importanță înfluență ereditată asupra caracteristicilor fizico-mecanice ulterioare. Cea mai favorabilă structură este cea cu granulație fină, cu distribuirea uniformă a tuturor elementelor structurale.

În stare modificată, piesele turnate au o structură fină și uniformă, o bună rezistență și plasticitate, rezistă bine la solicitările prin soc, anizotropia proprietăților manifestându-se într-o măsură mai mică; de asemenea aliajul are o tendință mai redusă la fisurare și se comportă mai bine la variații de grosimi de perete.

Pentru săruntirea structurii primare a aliajului AMg 10, se pot utiliza o serie de modificatori.

Astfel titaniul, la conținuturi mici realizează o structură fină, însă la săruirea concentrației lui, peste 0,5 % produce fenomenul invers de săruire a structurii. Pe lângă efectul de finisare a structurii, la conținuturi sub 0,3 %, titaniul contribuie și la creșterea sensibila a tenacității și plasticității aliajului.

La aliajul modificat numai cu titan, formarea compusului dur și fragil Al<sub>3</sub>Ti - cu rețea cristalină tetragonală, sub formă de cristale aciculare, conduce la reducerea plasticității aliajului constatăndu-se, în paralel, și o licuație puternică a fazei Al<sub>3</sub>Ti, în secțiunile piesei turnate. Limitarea conținutului în titan la 0,15-0,20 %, a dus atât la săruntirea structurii și la înălțarea zonei cristalelor columnare precum și la creșterea rezistenței și a alungirii rela-

tive. Creșterea caracteristicilor mecanice îndă, nu a atins valorile așteptate, tocmai datorită caracterelor puțin favorabile ale separărilor de Al<sub>2</sub>Si.

Zirconiul ca element de codificare actiunii prin sărurărea grăumentului primar. Concentrații de 0,140,2 % Zr, micșorează și înțitor dimensiunile grăumentului în aliajele Al-Zr, crescind plasticitatea acestora. Acest efect se explică prin formarea particulelor de compus greu fusibil Al<sub>2</sub>Zr, ce îndeplinește rolul de centre de cristalizare. Totuși efectul modificator al zirconiului se realizează, ca și cel al wolframului și molibdenului, în canturi, primele cantități având o influență nesemnificativă ca apoi, brusc, la atingererea unei anumite concentrații, modificarea să se producă aproape instantaneu și aproximativ completă.

Adăuguri concomitante de titan și zirconiu, de 0,05-0,1 % Ti și 0,05-0,1 % Zr, realizează o dispersie puternică a grăumentelor de ssoc (41). Zirconiul, deplasează mult limitele de formare a cristalelor către temperaturi mai joase de supraîncălzire, în tipt ce titanul acționează în sens opus. Cristalele radiale formate au o structură dendritică fină, iar particulele fazei  $\beta$  ( $Al_2Zr_2$ ) formează, în interiorul lor o structură fibroasă discontinuă. În procesul lor de creștere, acestea întilnesc în calea lor grăumentii nici, în echilibru care se localizează în interiorul cristalelor dendritice mari.

In acest fel, modificând condițiile de turnare și de răcire se poate influența considerabil structura internă a dendritelor asigurând o dispersie avansată a fazelor cristallizate secundar.

Teoretic, factorii tehnologici de turnare pot constitui un mijloc puternic de influență a structurii aliajului turnat, dar în practică se impune limitarea temperaturii de turnare și supraîncălzire la valori optime, pentru a nu crea condiții de saturare cu gaze și de apariție a porozităților în piesele turnate. La turnare, creșterea peste anumite limite a vitezei de răcire este împiedicată de conductibilitatea termică a formei de turnare. Totodată creșterea vitezei de turnare peste posibilitatea tehnologică practică, favorizează creșterea bruscă a cantelor de rebus.

Din acest motiv, la turnarea aliajului aluminiu-magnesium cu 10 % Mg se vor aplica, de preferință, procesul de modificare cu elemente greu fusibile, dar se pot folosi și elemente ușor fusibile ce acționează în special asupra tensiunii superficiale a aliajului.

Pentru a putea stabili modul de acțiune a diferitelor adăuguri,

este necesar în primul rînd, să se determine tendința unui element sau a altuia spre adsorbție și să se concretizeze existența peliculelor presupuse de adsorbție și de „barieră”.

Adsorbția superficială a elementelor se poate aprecia indirect în funcție de influența lor asupra tensiunii superficiale a aliajului cerostat.

Această acțiune este prezentată în figura 2.10, în care se observă că unele din adăosurile modificate (Ca, Pb, Bi) reduc puternic tensiunea superficială a aliajului, ca adăosuri active de suprafață și pot difuza spre suprafața dendritelor.

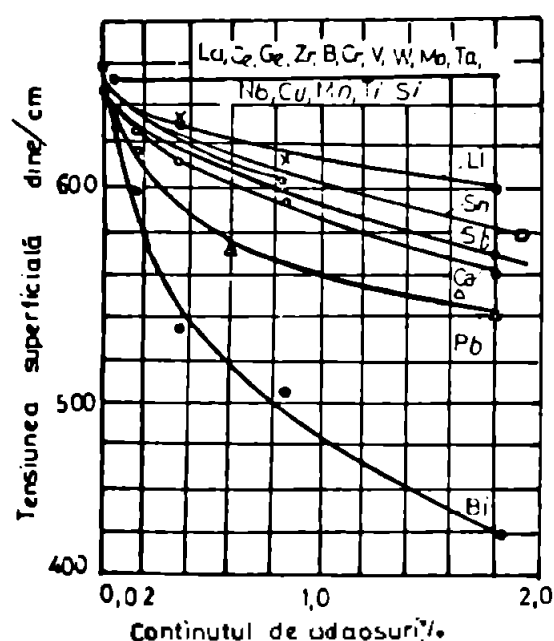


Fig.2.10  
Influența diferitelor elemente asupra tensiunii superficiale a aliajului de aluminiu cu 10 % Mg [46]

De asemenea, acestă figură arată că, spre deosebire de metalele ușor fuzibile, cele greu fuzibile (Ta, Nb, Ti, Mo, Zr, B etc.), sunt modificate bine dar influențăază tensiunea superficială a aliajului. Acestea, la introducerea lor în topitură, formează particule puternic disperse ale diferitelor combinații chimice ( $\text{Al}_3\text{Ti}$ ,  $\text{Al}_3\text{Zr}$ ,  $\text{Al}_3\text{Ta}$ ,  $\text{Al}_2\text{B}$ , etc.) care manifestă o acțiune similară de blocare, concentrându-se în apropierea suprafețelor dendritelor, formind un fel de obstacol pentru aducția atomilor lichidului de linătură.

După KURDIUOV [47], este posibilă formarea unor pelicule de barieră datorită depozitării particulelor intermetallice puternic disperse la decompunerea soluțiilor solide și la concentrarea lor pe suprafața dendritelor. În consecință, modificările structurale menționate, conduită, după prelucrarea termică finală, la îmbunătățirea substanțială a proprietăților mecanice a aliajului AT11g10, așa cum este prezentat în figura 2.11 și figura 2.12.

Din observarea acestor două diagrame se evidențiază clar diferența de proprietăți mecanice dintre cele două stări nemodificate (1) și cu fază  $\beta$  ( $\text{Al}_3\text{Ge}_2$ ) puternic disperzată (3), valoarea de mijloc fiind pentru (2).

In general, creșterea caracteristicilor mecanice a aliajului

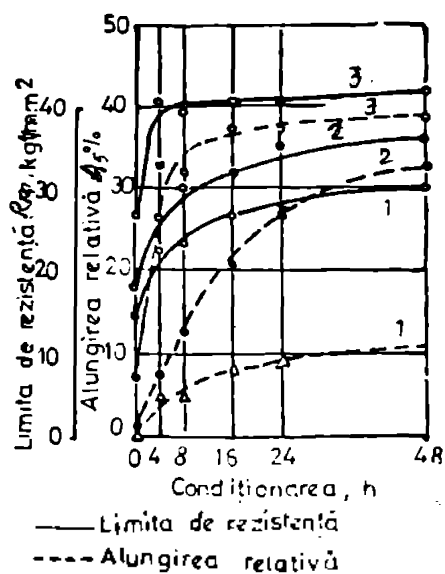


Fig. 2.11  
Modificarea proprietăților mecanice a aliajului AlMg 10, pentru diferite grade de dispersie a  $\beta$  ( $\text{Al}_3\text{Mg}_2$ ) [46]  
— rezistență la rușe  
- - - - alungirea relativă

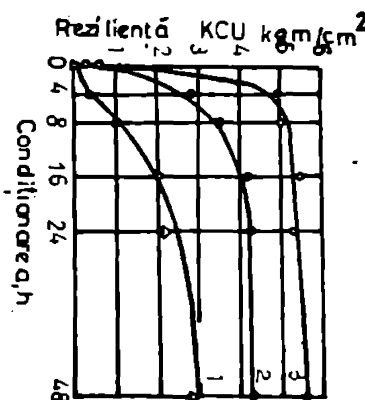


Fig. 2.12  
Variația rezilienței aliajului AlMg 10 pentru diferite grade de dispersie a  $\beta$  ( $\text{Al}_3\text{Mg}_2$ ) [46]

AlMg 10 turnat și condiționat termic depinde în principal de gradul de dispersie a fazei  $\beta$  ( $\text{Al}_3\text{Mg}_2$ ) și practic este invariант la natura modificadorului. Dar, în cazul diferențelor adăosuri cu același grad de dispersie al fazei  $\beta$ , se obține același efect de consolidare a structurii.

Același efect se obține și prin dizolvarea rapidă și completă a decajurilor fragmentate de fază  $\beta$  ( $\text{Al}_3\text{Mg}_2$ ), comparativ cu situația existenței separărilor grosiere ale acestei faze. Astfel, pentru atingerea consolidării maxime a aliajului cu structură brută de turcare (1) este necesară o menținere, la temperatură de tratament termic de 48 h, pe cind la aliajul cu structură modificată, durata aceasta se reduce la 16-18 h.

Mărirea proprietăților de plasticitate și a rezilienței, precum și a rezistenței piesei turnate favorizează concomitent și ameliorarea proprietăților tehnologice.

La distrugerea rețelei compușilor intermetalici, se reduce brusc tendința de formare a fizurilor la cald a aliajului cu 10 % Mg.

Concluzionând, se poate afirma că cele mai eficiente adăosuri modificatoare care săruntească structura dendritelor primare ale scăld (Al), producând dispersarea avansată a fazei  $\beta$  ( $\text{Al}_3\text{Mg}_2$ ), sunt metalele grele fizibile (Ti, Ta, Nb, Zr, Cr, Mo, V) introduse în cantități de 0,05-0,1 %.

## 2.5. Conditionarea termica în stare solidă a aliajului AlMg 10

In esență, tratamentul termic aplicat aliajelor aluminiu-magnesium, în general, și aliajului AlMg 10, în special, constă din încălzirea la temperatură de punere în soluție, menținerea unui timp îndelungat la această temperatură pentru dizolvarea compușilor intermetalici în soluție solidă  $\alpha$  de aluminiu și răcirea rapidă pentru călire; tratamentul este finalizat prin îmbătrânirea naturală, la temperatură ambientă timp de 8-10 zile.

In principal, operația de punere în soluție urmărește obținerea unei soluții solide cît mai suprasaturată, fără a se atinge punctul de topire sau a se face recristalizări nedorite.

După punerea în soluție, urmează călirea; răcirea lentă, de la temperatură de punere în soluție, durează un tip de precipitare a constituentilor intermetalici, care înrăutățesc proprietățile mecanice și rezistența la coroziune a aliajului. Călirea optimă, de la temperatură de punere în soluție conduce la obținerea unei soluții solide suprasaturate, la temperatură ordinată, evitând sau întârzând precipitarea imediată a compușilor care au intrat în soluție solidă.

Sunt create astfel premisele pentru o precipitare dirijată, la tipul și condițiile necesare obținerea unor proprietăți mecanice optime.

Soluția solidă ricătă brusc are o rezistență mecanică scăzută și proprietăți de ductilitate ridicate.

Pentru a evita o precipitare accentuată înaintea îmbătrânirii trebuie să satisfacă două condiții, care se referă la tipul de transfer, din cuptor în mediul de răcire, și la viteză de răcire la călire.

Timpul de transfer din cuptor în mediul de călire, trebuie să fie destul de scurt - max. 5-15 sec., pentru a preveni o ugoardă pretermătă a răcirei cu viteză relativ mică, în domeniul de temperaturi  $420-260^{\circ}\text{C}$ , în care are loc o precipitare foarte rapidă.

In funcție de grosimea produsului, timpul de transfer recomandat este dat în tabelul Nr. 2.5. De aceea temperatura minima de scoatere din cuptor și imersie în mediul de călire, pentru aliajele aluminiu-magnesium, cu conținut ridicat în magneziu este de coa. $415^{\circ}\text{C}$  [42].

Viteză de călire depinde de tipul aliajului, de volumul încărcăturii, de conductibilitatea sa termică și de fluiditatea lichidelui de răcire.

In general, în intervalul temperaturilor de călire de  $420-440^{\circ}\text{C}$ , viteză de călire trebuie să fie ridicată.

Tabelul nr. 2.5  
Timpul de transfer

Grosimea pielei mm	Timp max. de trans- fer sec.
< 4	5
4 - 7,5	7
7,5-25	10
>25	15

O călăre prea lentă produce precipitații de echilibru grosolan, ce cu un slab efect de durificare, o cantitate sporită de precipitații intergranulare care pot favoriza coroziunea intercrystalină și dispozitia vacanțelor, ce modifică eventual cele tratamente ulterioare.

La recirea piezelor din AlMg 10, de turmiterie, întrucătă de deformările și nivoul temperaturilor interne, mediuul uzual de recire este uleiul cald la 60-90°C.

Mecanismul care influențează precipitațarea ulterioară, în cursul îmbătrînirii, depinde de zonele GUINIER-PRYSTON formate, ce creează germei de precipitare, ce finizează accentuat structura și laburătășesc caracteristicile fizico-mecanice. Efectul defavorabil al îmbătrînirii artificiale, asupra aliajului AlMg 10 se dostrește tocmai redizolvării zonelor G.P., cu repercurse asupra caracteristicilor mecanice, pe care le diminuează. [43].

Dispersarea compusilor formați, în urma cristalinizării primare a aliajului AlMg 10, în urma tratamentului termic de punere în coltură și călăre, are de asemenea o influență importantă asupra compoziției aliajului la coroziunea intercristalina la nivelul grăuntăilor.

Prin fărdințarea și dispersarea compusilor, se mărește considerabil rezistența la coroziune a acestui aliaj. În cursul labătrînirii artificiale, separările fine de  $\text{Al}_3\text{Mg}_2$  din aliajul AlMg 10, se aglutinează, cresc în volum și tind să se separe la limita cristalilor.

această tendință favorizează dezvoltarea ulterioară a coroziunii intercristaline prin oxidarea separărilor intergranulare, poroase de  $\text{Al}_3\text{Mg}_2$ , reducind sensibil proprietățile mecanice și în special plasticitatea aliajului.

Combinându-se, se prezintă în figura 2.13, diagrama de tratament termic specifică aliajului aluminiu-magneziu, cu 1,5% Mg, turmat în pieze.

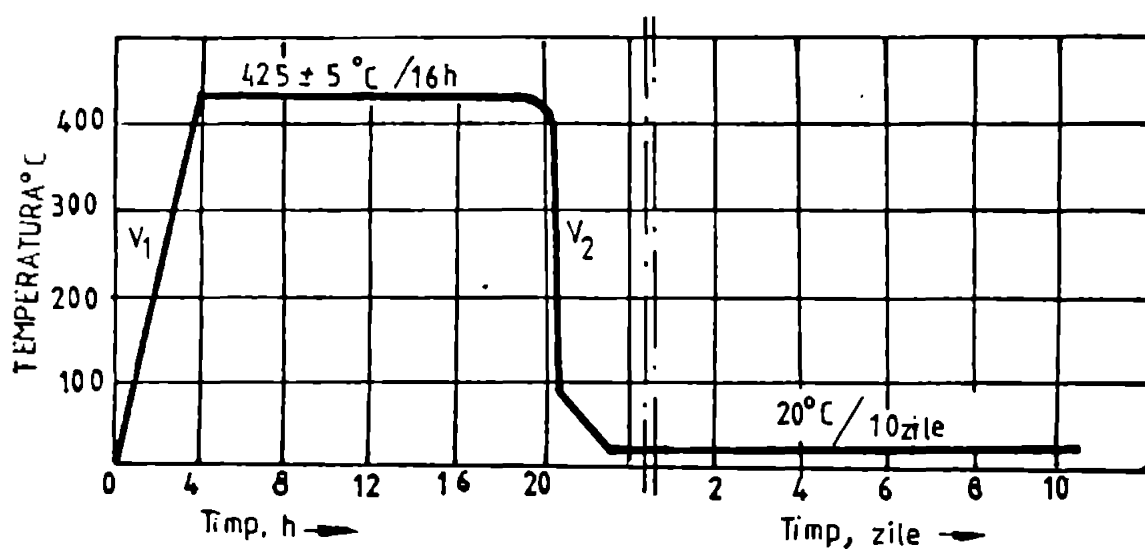


Fig. 2.13  
Diagrama de tratament termic specifică  
al lui lui ATg 10

$v_1$  = viteza de împărtire la temperatură  
de punere în soluție  
 $v_2$  = viteza de răcire la călăre

**PARTea II. TEHNOLOGII DE LUCRU, EXPERIMENTAri  
ANALIZE SI INCARCARI**  
**CAP. III - Tehnologia de elaborare-turpare de  
laborator**

**3.1. Elaborarea aliajului cerchetat, în atmosferă**

Aliajul aluminiu-magneziu cu 10 % Mg, elaborat în atmosferă are o tendință avansată de oxidare. Formarea oxidului de aluminiu, cu urmare a contactului dintre aerul atmosferic și suprafața băii metalice, este un fenomen frecvent, iar intensitatea oxidării este direct proporțională cu temperatură, relația dintre oxidare și temperatură fiind exprimată prin formula 3.1.

$$K = A \cdot e^{-\frac{Q}{RT}} \quad (3.1)$$

în care: K = gradul de oxidare ;

A = coeficient de proporcionalitate ;

e = baza logaritmilor naturali ;

R = constanta gazelor ;

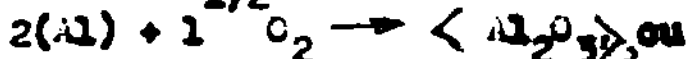
T = temperatură absolută ;

Q = efectul termic al reacției.

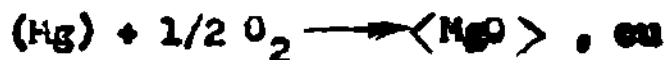
Pelicula de oxid de aluminiu, formată la suprafața băii metalice, o protejează împotriva unei oxidări avansate, numai în cazul cînd ea nu este nisipă. Un însă, în timpul procesului de elaborare, este necesară intervenția permanentă în baie, pentru răfinare, altăre și modificarea ei, aceasta pelicula este ruptă, oxidul de aluminiu este introdus în baie și astfel se creează condițiile pentru formarea unei noi pelicule pe suprafața topiturii. Pe de altă parte datorită greutății specifice relativ reduse a peliculei de oxid de aluminiu ( $\gamma' = 3,5-4 \text{ g/cm}^3$ ), separarea acesteia, gravitațional, din baie metalică nu este întotdeauna posibilă. În plus, oxidabilitatea magneziului în stare topită, chiar dispersat în baie de aluminiu, este dozebit de puternică, creând la suprafață un strat de oxid de magneziu, negru, cu o porozitate și o permeabilitate la gaze substanțial adăptă. Aceasta face ca oxidarea să continue progresiv, atingând noi structuri de topitură, de sub cel de ziduri format, inclusivile oxidice localizându-se în final în piesele turcate și constituind cauze generatoare de rotură.

Astfel, se poate forma  $MgO$ , ce cristalizează în sistem  $NaCl$  (c.f.c./f.c.) cu  $a_0 = 4,20 \text{ \AA}$ , pe cînd structura de c.c. - $Al_2O_3$ , este complexă. Pot exista de asemenea compuși tip Spinal, ca de exemplu  $MgAl_2O_4$  și se pot forma în fluxul de acoperire, pe baia de aluminiu topit. Cu azotul din atmosfera de lucru, magneziul poate forma compusul  $Mg_3N_2$ , de tip structural  $Si_2O_3$  (c.v.c.), cu  $-\Delta H_{298^\circ K} = 110,3 \text{ kcal/mol. } N_2$ , comparat cu  $AlN$ , format la aluminiu; acesta are structura de tip vîrtuit (H4, tip  $ZnS$ , cu 2 mol/celula elementară) și  $-\Delta H_{298^\circ K} = 2 \times 76,5 = 153 \text{ kcal/mol. } N_2$ .

Valorile  $\Delta G$ , pentru reacțiile de mai sus sunt următoarele:



$$\Delta G = -405760 - 3,75 T \log_{10} T + 92,22 T (\text{de la } 650 \text{ la } 1527^\circ C)$$



$$\Delta G = 145350 - 0,24 \log_{10} T + 26,95 T (\text{de la } 650 \text{ la } 1107^\circ C)$$



$$\Delta G = -154000 + 44,5 T (\text{de la } 25 \text{ la } 650^\circ C)$$



$$\Delta G = -10960 + 47,41 T (\text{de la } 25 \text{ la } 550^\circ C)$$



$$\Delta G = -145900 - 1,66 \log_{10} T + 29,66 T (\text{de la } 1204 \text{ la } 1727^\circ C)$$

In practică, reacția acestui aliaj topit cu atmosfera produce nitrati complexi și oxizi. Tendința de incorporare a oxigenului și azotului de către aliajele  $Al-Mg$ , poate fi total eliminată prin adăugarea de mici cantități de beriliu, calculate în concordanță cu volumul metalului și timpul de menținere în topitură pînă la completa lui dizolvare. Beriliul se adaugă sub formă de prealiaj cu conținut mic ( $3\% Be$ ). Oxidul de beriliu  $BeO$ , format cristalizează tot în sistemul vîrtuit.

De asemenea, adăugarea magneziului în baia de aluminiu topit, duce la formarea de compuși complexi, inclusiv oxizi, nitrati, spineli și carbonitriți.

Dimensiunea reacției este redusă prin adăugarea de beriliu în cantități de  $0,004\text{--}0,003\%$ . Acțiunea beriliului este neutralizată prin prezenta hidroxilului în topitură, iar impurități ca: Fe, Si, Cu, Ca, și nu au acțiune negativă asupra acesteia. Mai mult, agentii degazanți  $N_2$ ,  $Cl_2$ , Ar,  $C_2Cl_6$  și fluorurile bazate pe  $KCl$  și  $MgCl_2$ , împreună cu mag-

ficatorii (Ti, B, Zr), nu au acțiuni negative asupra beriliului; trebuie însă de notat că hexacloruramul ( $C_2Cl_6$ ), introduce carbon în topitură [34].

Este de notat că 0,004 % Be este mai eficient decât 0,055 % Be; deoarece încă conținutul de sodiu este de 0,06 %, efectul de protecție al beriliului este anulat, influența sodiului asupra acțiunii beriliului somnolindu-se chiar la 0,003 % Na.

Acțiunea sa substanțială de protecție este dovedită și de raportul volumelor corespunzătoare dintre oxid și metal (factorul PILLING-BEDWORTHI), care pentru aluminiu este 1,3, pentru magneziu 0,6, iar pentru beriliu 0,5. Mechanismul exact al acțiunii protectoare a beriliului nu este încă cunoscut, cu toate cercetările intense, întreprinse pe baza difracției pe pelicule de oxid [41].

In concluzie, pentru a realiza o corectă elaborare și turnare a aliajului ATmg 10, trebuie să se țină cont de următoarele :

- a - topiturile cu conținut în magneziu, pe bază de aluminiu, trebuie prototjate de un flux care nu transferă sodiu metalului topit ;
- b - este util să se suplimenteze acțiunea protectoare prin adăugarea de beriliu (max. 0,004 %), în concordanță cu tipul și metoda de elaborare-turnare ;

- c - se recomandă limitarea conținutului minим de siliciu pentru formarea compusului  $Mg_2Si$  (l. max. 0,2 % Si), ce poate constitui cauză unei posibile corozioni accelerate la funcționarea pieselor la temperaturi de peste  $80^{\circ}C$  ;

- d - se va reduce drastic conținutul în cupru sub 0,05 %, pentru a combate corozia ;

- e - adiționarea titaniului, ca agent finisator al granulației se recomandă să fie în limitele 0,10-0,15 % ;

- f - topirea se va face în crevăte de grafit, ce nu contin silicii reductibili ;

- g - se va evita contactul cu fierul sculelor specifice operațiilor de elaborare-turnare, prin acoperirea acestora cu vopsele refractare pe bază de grafit sau oxid de zinc ;

- h - temperatura de elaborare se recomandă să fie cât mai mică posibil pentru a nu se acceleră fenomenul de oxidare ;

- i - devansarea materialului din cuptor în calele de turnare, transvasările și turnarea aliajului în forme se va face cu vînă grosă și cu oță mai aproape de formă, iar pe baia din colă se recomandă să se procure prof de sulf, pentru a evita la oxida apariția con-

dătilor de oxidare.

Pe baza acestor considerente de ordin teoretic și practic se impune ca schema de elaborare și turnare a aliajului ATNg 10, în atmosferă să se întocmească conform metodiei prezentată în cale ce urmează.

### 3.1.1. Compoziția chimică standard a aliajului.

Așind în vedere considerentele teoretice prezentate în partea II-a a lucrării precum și experiența practică acumulată în domeniul elaborării aliajelor aluminiu-magneziu cu conținut ridicat în principalele elemente de aliere, în tabelul 3.1 se dă compoziția chimică standard a aliajului ce va fi studiat în cale ce urmează.

**Tabelul 3.1**  
**Compoziția chimică standard**

Elemente de bază, %					Impurități, max. %					
Fe	Si	Be	Modif.	Al	Cu	Mn	Zn	Po	Total impurit.	
IC	0,2	0,004	0,15	rest	0,005	0,15	0,05	0,10	0,25	

Se impune de ascunsese eliminarea oricărui surse de sodiu, din încărcătura metalică sau din materialele tehnologice, astfel ca procentul maxim admisibil de 0,001 % să nu fie sărit.

### 3.1.2. Materii prime și materiale tehnologice. Calculul încărcăturii

La elaborarea aliajului ATNg 10 se impune folosirea numai a materiilor prime, în special a încărcăturii metalice, de înaltă puritate pentru a limita, în acest mod influența negativă a impurităților.

De ascunsese flumurile și fondanții folosite în prelunarea topiturii au fost selectați pe criteriu obligativității lipsei în conținuturi de sodiu, iar la utilizare au fost deshidratati termic în etape pentru a nu produce gazarea și oxidarea băii prin spa de constitutie.

a) Încărcătura metalică - a fost compusă din: aluminiu de înaltă puritate, marca Al 99,99, STAS 7607/1-80, a cărui compozitie chimică este dată în tabelul 3.2.

**Tabelul 3.2**  
**Aluminiu de înaltă puritate, blocuri, STAS 7607/1-80**

Marca	Al % min.	Impurități, max. %							Total impurit. max.
		Fe	Si	Cu	Zn	Ti	Alte		
Al 99,99	99,99	0,006	0,005	0,003	0,001	0,002	0,001	0,010	

- magneziu tehnic primar, blocuri marca Mg 99,96, STAS 10273-75, cu continuturi limitate de Na-max.0,01% și K-max.0,005%, are compozitie chimica data in tabelul nr. 3.3.

Tabelul nr. 3.3

**Magneziu tehnic primar, in blocuri,  
STAS 10273-75**

Marca	Mg % min.	Impuritati, % max							Total impurit.
		Fe	Zn	Cu	Na	Mg	Al		
Mg 99,96	99,96	0,004	0,005	0,002	0,002	0,004	0,006	0,030	

- aliaj de aluminiu, marca AT3110mg, turnat in blocuri, STAS 201/1-77, pentru realizarea continutului in siliciu in aliajul experimental; este mai avantajos acest aliaj decat introducerea de siliciu metalic care contine un procent ridicat in impuritati, in special Pier si nu se poate oxigeniza bine in topitura datorita concentratiei sale reduse; are compozitia chimica data in tabelul nr. 3.4.

Tabelul nr. 3.4

**Aliaje de aluminiu turnate in blocuri  
STAS 201/1-77**

Marca	Compozitie chimica, %				Impuritati, % max.						Total impurit.
	Si	Mg	Na	Al	Fe	Zn	Cu	Mg	Ti	Al	
AT3110mg STAS 201/ 1-77	9,0- 11,0	0,2- 0,5	0,2- 0,6	rest	0,6	0,2	0,1	0,1	0,15	0,15	
AT3110mg utilizat	10,2	0,31	0,22	rest	0,48	0,11	0,008	0,09	0,14		

- prezaliaje binare, pentru adhesuri de Be,Ti și Zr, elaborate din aluminiu de inalta puritate și metale de puritate tehnica cu continut in elementul de bază de min.99,99%; aceste prezaliaje (aliajele intermediare)binare sunt: AlTi 3,5; AlZr 5 și AlBe 3 a căror compozitie chimica, după elaborare și turnare in blocuri este prezentata in tabelul nr. 3.5

Tabelul nr. 3.5

**Aliaje intermediare binare elaborate in laborator<sup>X</sup>**

Marca	Element de alia- re, %	Impuritati, % max							Total impurit.
		Fe	Si	Cu	Zn	Mg	Al		
AlTi 3,5	3,7	0,015	0,008	0,005	0,009	0,009	rest	0,030	
AlZr 5	5,2	0,018	0,011	0,004	0,001	0,005	rest	0,038	
AlBe 3	2,3	0,003	0,002	0,002	0,001	0,002	rest	0,015	

<sup>X</sup>Analiza chimica a acestor prezaliaje s-a realizat prin spectrometrie

**b. - Fundații, clădiri, refineri, vopsele refractare**

Pentru asigurarea protecției balii metalice de acțiunea oxidantă a atmosferei, s-a utilizat o combinație de săruri, oxogenizat și calcinat, pentru eliminarea completă a umidității-codificate  $\text{H}_2\text{O}$  și folosita în proporție de 1-5% din greutatea încărcaturii metalice, formată din:



- Ca flux dezoxidant, în vederea purificării balii de inclusionsi oxidice în special, s-a folosit, în proporție de cca.1% un amestec de săruri bine oxogenizat și calcinat-codificat  $\text{PbO}_{2}\text{Zn}$  - compus din:



- În vederea degazării preliminare a aliajului topit s-a utilizat hexaclorotanul ( $2\text{Cl}_6$ ), pastilat în doze de 20 gr. capsuleate în folie de aluminiu și introduse în I-II etape, în proporție totală de 0,8 % din încărcatura metalică. Datorită aportului de carbon remanent în topitură, rezultat din reacția termică de descompunere termică, se favorizează formarea unor carturi solide în aliajul lichid, cu elemente modificatoare, ce accentuează efectul de strângere a structurii primare.

- Degazarea finală se realizează prin barbotare (insuflare de gaze) cu argon tehnic STAS 7956-73, uscat prin trecerea lui printr-o coloană de silicagel și preincălzit pentru a nu produce răcirea topiturii, într-un încălzitor spiralat cu gaze calde la cca.  $200^{\circ}\text{C}$ .

- Pentru protecția sculelor metalice specifice operațiilor de elaborare și turnare, precum și a cochilelor pentru turnarea probelor tehnologice și de încercări fizico-mecanice, s-a utilizat o vopsea refractară pe bază de oxid de zinc, tip VCA 2.

**c. - Calculul încărcăturii metalice**

Pornind de la compoziția încărcăturii metalice prezentată la punctul "a", din acest subcapitol și introducând obligativitatea obținerii compozиției chimice standard, din tabelul nr.3.1, calculul încărcăturii metalice se desfășoară după schemele clasice utilizate în acest scop.

De menționat că încărcătura standard se calculează ținând cont că modificatorul standard este titanul, în concentrația dată în tabelul nr.3.1.

La calculul încărcăturii metalice s-a utilizat pierderile prin ardere a elementelor în timpul elaborării aliajului recomandat de MILITIN și inserate în tabelul nr.3.6.

Tabelul 3.6

Pierderi prin ardere a metalelor,  
in aliaje de aluminiu

Calculul încărcăturii se face pentru o sarcină de 3 Kg, în concordanță cu capacitatea cuptorului de elaborare.

**Schene de calcul, pentru elementele de aliere:**

Tabelul 3.7

### Imprecisions métalliques standard

Ardoreea medie	Compozitia chimica standard			Incarcatura standard		
	Elementul Elementul inclusiv arderile	Elementul inclusiv arderile	Elementul inclusiv arderile	Compo- nente	Cantitatea	
S	S	Kg	Kg		Kg	
3	Al	rest	7,1717	7,3871	Al 99,99	6,370
3	Mg	10	0,8000	0,8250	Mg 99,96	0,825
5	Si	0,2	0,0160	0,0163	AlSi10Mg	0,165
-	Be	0,004	0,0003	0,0003	AlBe2,8	0,010
15	Ti	0,15	0,0120	0,0138	AlTi3,7	0,375
<b>TOTAL</b>		<b>8,0000</b>	<b>8,243</b>	<b>-</b>	<b>8,245</b>	

- Aportul componentelor încărcăturii asupra concentrației impurităților;

- % Fe - rezultat, în valoare medie de 0,016 %, este adus în același din:

AJ 99,99 = 0,0004122 Kg/sarja

$$Mg\ 99,96 = 0,0000330\ Kz/sar.15$$

$$ATSILOM = 0.0007920 \text{ Kg/sarja}$$

$$A1E_0 = 0.000003 \text{ kg/m}^2\text{N}$$

ALTI 3,7 = 0,0000600 Kg/sqm

Total = 9.0012975 Hz/deg<sup>1.5</sup>

1a 8 Kg 0.0012975 Kg 8

100 kg 

x 5 0-0216 5 68

- % Cu - rezultat, în valoare medie de 0,005 %, este adus în aliaj din :

Al 99,99	= 0,0002061 Kg/șarjă
Mg 99,96	= 0,0000165 Kg/șarjă
AT3110Mg	= 0,0001320 Kg/șarjă
AlBe 2,8	= 0,0000002 Kg/șarjă
AlTi 3,7	= 0,0000187 Kg/șarjă
<b>Total</b>	<b>= 0,0003755 Kg/șarjă</b>

$$\begin{array}{l} \text{la } 8 \text{ Kg} \dots\dots\dots 0,0003755 \text{ Kg Cu} \\ \text{100 Kg} \dots\dots\dots y \end{array}$$

$$y \approx 0,0046 \% \text{ Cu inclusiv arderea de } 1 \%$$

- % Mn - rezultat, în valoare medie de 0,005 %, este adus în aliaj din :

Mg 99,96	= 0,0000350 Kg/șarjă
AT3110Mg	= 0,0003650 Kg/șarjă
AlBe 2,8	= 0,0000002 Kg/șarjă
AlTi 3,7	= 0,0000357 Kg/șarjă
<b>Total</b>	<b>= 0,0004299 Kg/șarjă</b>

$$\begin{array}{l} \text{la } 8 \text{ Kg} \dots\dots\dots 0,0004299 \text{ Kg Mn} \\ \text{100 Kg} \dots\dots\dots z \end{array}$$

$$z \approx 0,0053 \% \text{ Mn inclusiv arderea}$$

- % Zn - rezultat, în valoare medie de 0,005 %, este adus în aliaj din :

Al 99,99	= 0,0002061 Kg/șarjă
Mg 99,96	-
AT3110Mg	= 0,0001815 Kg/șarjă
AlBe 2,8	= 0,0000001 Kg/șarjă
AlTi 3,7	= 0,0000112 Kg/șarjă
<b>Total</b>	<b>= 0,0003999 Kg/șarjă</b>

$$\begin{array}{l} \text{la } 8 \text{ Kg} \dots\dots\dots 0,0003999 \text{ Kg Zn} \\ \text{100 Kg} \dots\dots\dots w \end{array}$$

$$w \approx 0,0049 \% \text{ Zn inclusiv arderea}$$

Aportul componentelor încăruăturii la principalele elemente de aliere este :

- % Mg - este adus în plus de aliajul AT3110Mg, în cantitate de:

la 100 Kg ..... 0,31 Kg Mg

0,165 Kg ..... a

a  $\approx$  0,0005 % Mg inclusiv arderea

Acetă adăos suplimentar de magneziu este complet nesemnificativ pentru conținutul real al acestui element.

- Si - este adus în plus de :

Al 99,99 = 0,0003435 Kg/șarjă

Mg 99,96 = 0,0000412 Kg/șarjă

AlTi 3,7 = 0,0000300 Kg/șarjă

AlBe 2,8 = 0,0000002 Kg/șarjă

Total = 0,0004149 Kg/șarjă

la 8 Kg ..... 0,0004149 Kg Si

100 Kg ..... b

b  $\approx$  0,005 % și inclusiv arderea

Acetă supliment în siliciu nu are o influență semnificativă asupra concentrațiilor reale, putind fi neglijat.

In final compozitia chimică completă, a încărcăturii metalice, va fi cea trecută în tabelul nr. 3.8.

Tabelul 3.8

**Compozitia chimică a încărcăturii metalice standard**

Compozitia chimică, %									
Elemente de bază, %					Impurități, max. %				
Mg	Si	Be	Ti	Al	Fe	Cu	Mn	Zn	
10	0,2	0,004	0,15	rest	0,016	0,005	0,005	0,005	

**3.1.3. Elaborarea aliajelor intermediare binare  
(prealiaje)**

In încărcătură metalică a aliajului AlBeC, studiat, intră o serie de aliaje intermediare binare (prealiaje), care trebuie elaborate inițial și analizate chimic pentru a putea face apoi calculul de șarjă. Aceste prealiaje sunt: AlBe 3 ; AlTi 3,5 și AlZn 5.

a. Elaborarea prealiajului AlBe 3 Se-a realizat într-un cupor electric prin încărcare, cu capacitatea creuzetului de 8 Kg/șarjă, aliaj de aluminiu, din aluminiu de înaltă puritate Al 99,99 și beriliu tehnic pur, cu un conținut minim în element de 99,94 %.

Încărcătura pentru o șarjă de 8 Kg, se constă din :

- 0,240 Kg beriliu tehnic pur ;

- 8,000 Kg Al 99,99(inclusiv arderea de 3 %).

Fuzoul de protecție utilizat, a fost format din :



în stare bine emulsionată și calcinat, în proporție de 5 %, din încărcătura metalică.

Ca degazant-deoxidant s-a folosit hexacloruramă pastilă și adăugit în folie de aluminiu, în proporție de 0,7 % din încărcătura metalică.

Înțial în creierul cuptorului de elaborare s-a introdus prima porție de Al 99,99 și circa 30 % din fuzoul de protecție. După formarea băii, se continuă introducerea aluminiului pînă la topirea întregii cantități. În acest moment, se trage prima zjardă formată, se introduce pe baie încă circa 30 % din fondant și se procedează la degazarea, în 1-2 reprise a topiturii, cu hexacloruramă. După terminarea acestei operații se trage din nou zjardă formată, se adaugă ultima porție de fondant de protecție și se suprainsălzește aluminiul topit la 900-1000°C. La această temperatură începe introducerea beriliului fărămită, în porții mici și menținind baia pentru emulsionare.

În epulizarea întregii cantități de beriliu, se lasează cuptorul, în regim de menținere, timp de 5-8 min., pentru linștirea topiturii și decuștarea gravitațională a eventualelor impurități, după care se trage ultimă zjardă și se toarnă în lingotiere cu înălțime mică(max. 15 mm) pentru a facilita dozarea ulterioară.

Se transmite proba de analiză chimică la laborator și se depozitează lingurile în spații ferite de umiditate.

Soulele utilizate în procesul de elaborare-turcare vor fi în mod obligatoriu protejate cu vopsea refractară tip VCA 2.

Compoziția chimică a acestui prealialaj elaborat în laborator este prezentată în tabelul 3.5.

- b. Elaborarea prealialului AlTi 3.5 - se realizează în același cuptor ca în cazul precedent, în cantitate tot de 8 Kg, din aluminiu Al 99,99 și burete de titan cu min. 99,6 % Ti.

Încărcătura metalică, pentru o ţară de 8 Kg, a fost formată din:

- 0,325 Kg burete titan(inclusiv arderea de 15 %)

- 3,235 Kg Al 99,99(inclusiv arderea de 3 %)

- Arderea medie calculată este de  $\approx 7,0\%$

Fuzurile de protecție și de degazare sunt cele utilizate la elaborarea prealialului AlBe 3, inclusiv schema de elaborare.

Temperatura de suprainsălzire este tot de 900-1000°C și se împlesc aceleași proceduri tehnologice ca la prealialul precedent.

După analiza chimică a probelor transmise la laborator, au rezultat valorile date în tabelul 3.5.

- c. Elaborarea prealiajului AlZr 5 - se execută în același condiții tehnologice ca prealiajul AlBe 3, cu utilizarea acelorași fluxuri de protecție și de degazare.

Temperatura de supraîncălzire poate ajunge în acest caz la 1350-1100°C și timpul de oxogenizare este ceva mai mare. Încărcătura metalică este formată din :

- 0,400 Kg Zr metallic (cu 99,99 % Zr)
- 7,850 Kg Al 99,99 (inclusiv ardere de 3 %)

cu o ardere medie calculată de  $\approx 3\%$ .

Compoziția chimică rezultată în urma analizei de laborator, pentru acest prealiaj este dată în tabelul 3.5, și a fost executată pentru toate prealiajele la un spectrograf tip 424.

#### 3.1.4. Ciclul de elaborare a aliajului AlMg10. În atmosferă

În vederea elaborării aliajului studiat s-a dozat prin cintărire încărcătura metalică standard conform datelor prezentate în tabelul nr. 3.7. Ea a fost în așa manieră debitată încit să încapă în creuzetul cuptorului electric prin inducție. Sarja a fost calculată pentru greutatea totală de 8 Kg. Creuzetul utilizat a fost din grafit, lipit de conținuturi de carburi de siliciu, și preîncălzit la min. 650°C, pentru eliminarea completă a eventualelor gaze sau umiditate.

În creuzet s-a introdus prima porție de Al 99,99 debitat în bucati convenabile sub flux de protecție tip Fp.ln, calcinat pentru deshidratare la min. 250°C (cca 30 % din cantitatea totală de fondant).

Cu cuptorul reglat în regim de topire s-a inceput topirea aluminiului. După topirea primei porții de aluminiu se introduce doza de AlBe 2,3 pentru blocarea admisiei de gaze în topitură, sub flux protector. Pe măsură topirii se introduce treptat noi porții de aluminiu, pînă la completa topire a cantității integrale. În acest moment se face o degazare preliminară cu hexacloretan - 5% din doza inițială - se trage zgura forțată, se formează o a doua, prin adăugarea unei noi porții de 35% Fp.ln, după care se introduce cantitatea totală de ATSil Mg și se incepe adăugarea magneziului Mg 99,96.

Acesta se introduc cu atenție și la imediata inserare să fie acoperite complet de fondantul de protecție pentru a nu avea loc reacții violente de oxidare. De asemenea se vor evita buățile precoci de magneziu pentru a nu contamina cu oxid de magneziu rezultat prin arderea lor instantanea, la contactul cu topitura.

După introducerea în topitură a întregii cantități de magnezie se face o nouă degazare cu hexacloruran, se trage zgura și se introduce în bali cu un clopot perforat fluxul dezoxidant Fdz.2e, în 2-3 porții.

Se acoperă oglinda bali cu zgură și se face o niciuș supraveghere a topiturii, pînă la o temperatură de maxim  $720^{\circ}\text{C}$ . De menționat că baia trebuie să fie complet și permanent acoperită de fluxul de protecție, în strat de min.15-25 mm.

După cca. 10 min de supraîncălzire se trasează cuporul în regim de menținere și se procedeză la efectuarea degazării prin barbotare cu argon. Lancea din oțel refractor (fig.3.1), cu orificii practicate pe  $1/3$  din lungime, echivalentă cu adâncimea crucezului, protejată cu vopsea refractară VCA 2 și preincalzită la cca.  $300-350^{\circ}\text{C}$ , se introduce după ce debitul de gaz a fost reglat anterior îmersării.

Argonul este uscat prin trecerea printr-o coloană de silicagel.

Barbotarea cu argon, pentru purificarea bali se execută la parametrii:

- temperatura aliajului la începerea barbotării :  $700-720^{\circ}\text{C}$ ;
- debitul de gaz insuflat :cca 5l/min ;
- suprapresiunea gazului insuflat: 0,1-0,2 atm.

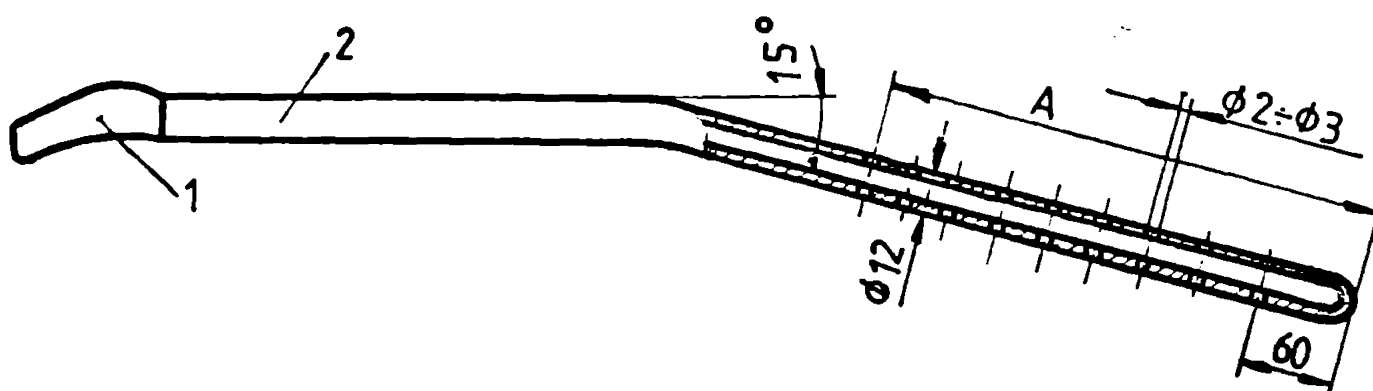


Fig.3.1  
Lancea pentru degazarea prin barbotare cu argon  
1-furtun cauciuc; 2-lance; A-cone cu orificii

După terminarea degazării prin barbotare se introduce în baie modificatorul, se trasează cuporul pe menținere cca. 3-4 min., pentru linistirea bali, se trage zgura și se doversescă aliajul în cale de turnare. Această trebuire să fie deosebit de curată, bine protejată cu material refractor și preincalzită l. min.  $600^{\circ}\text{C}$ . La transvazarea aliajului în cală, se presără pe jgheabul cuporului praf de sulf pentru a împiedica oxidarea lui în acest moment.

De asenție se pregătește puțin praf de sulf și pe oglinda calei de turnare pentru protecția aliajului.

Turnarea aliajului s-a efectuat în forme metalice permanente pentru cpruvete și probe tehnologice. După solidificarea și răcirea lor completă, se îndepărtează, prin debitare rețeaua de turnare și maseletoale, se tratează termic și se prelucrăază mecanic în vederea supunerii lor la testelete impuse.

Temperatura de turnare a aliajului s-a plesat în curențul  $670-700^{\circ}\text{C}$ .

### • 3.2. Elaborarea aliajului cercetat în vid

Elaborarea aliajului studiat, în vid a avut două etape distincte, desfășurate în același cuptor dar după cicluri diferite și unele:

- elaborarea prealiajului AlMg10
- elaborarea aliajului AlMg1.

Deoarece în vid, în instalația de laborator realizată, nu se pot introduce materialele în porții, ci întreaga încărcătură metalică, dozată, se introduce toată o dată, sub formă de blocuri, în creuzet, s-a adoptat metoda de elaborare combinată : atmosferă-vid.

Astfel, procesul tehnologic, prin care s-a obținut aliajul cercetat, el bătut în final în vid, a constat din următoarele faze ale unui ciclu cu două variante:

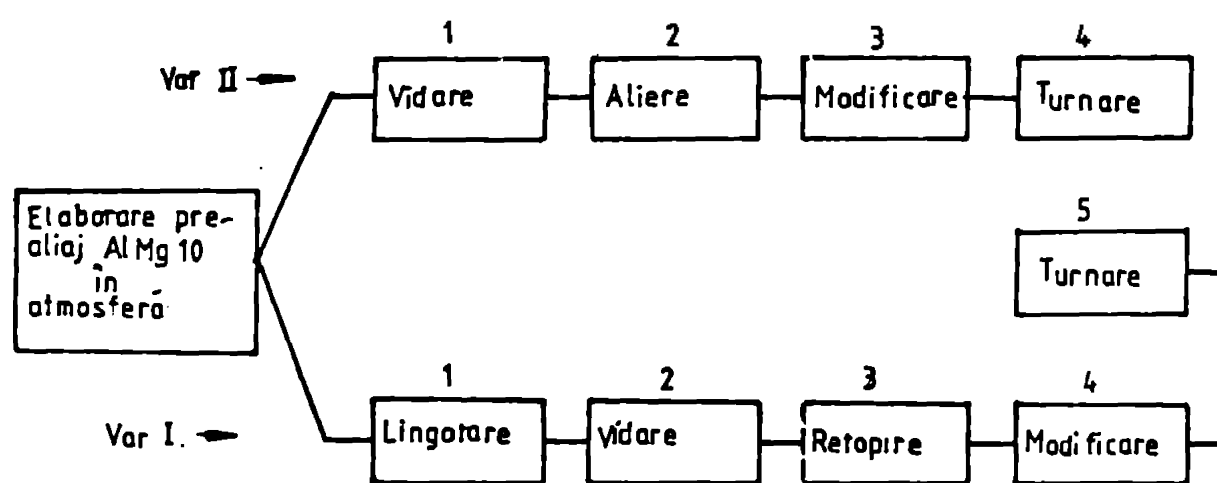


Fig.3.2  
Variante ale procesului de elaborare în vid

Elaborarea prealiajului aluminiu-magneziu cu 1,5% Mg s-a făcut după aceeași metodă ca cea a aliajului AlMg1, desfășurată în atmosferă și prezentată în subcapitolul 3.1.4.

Desechirea a constat din aceea că, după admisie completă a magneziului în topitura de aluminiu nu s-au mai introdus celelalte prealiaje și aliaje de corecție a compozitiei chimice și de modificare.

Excepție s-a făcut AlBe 2,8 care a fost introdus pentru a bloca îmbogățirea prealaijului în hidrogen. Fluxurile s-au utilizat la aceeași proporție pentru fiecare tip folosit anterior, exceptând din nou burbușarea cu argon ce va fi înlocuită, în acest caz, cu degazarea prin vacumare.

După eliberarea prealaijului s-a mers pe două variante tehnologice cea cu care s-a prezentat în figura 3.2 cu scopul de a obține și evidenția practică avantajele tehnico-economice ale variantei optime.

În prima variantă, aliajul intermediar binar de aluminiu cu 10 % Mg, eliberat în atmosferă a fost lingotat, după prelucrarea finală prin adăugarea de AFSILONG pentru corecția conținutului în siliciu.

A urmat apoi încărcarea cuptorului cu blocurile rezultate, dozate prin cintărire, inchiderea și vidarea spațiului de lucru, retpirea și modificarea cu prealaijale modificatoare introduse anterior în dispozitivul special destinat acestui scop și descris la punctul 7.2., din capitolul 7. Furnarea s-a făcut în formele permanente, existente în sprijinul de lucru, tot sub vid, la o temperatură a aliajului, de 530–650°C.

În a doua variantă, profitând de faptul că elaborarea prealaijului Al – 10 % Mg s-a făcut în cuptorul cu care este dotată instalația de elaborare-turcare în vid, de laborator, după finalizarea prelucrării băii de prealaij – în atmosferă, s-a coborât oua instalării, după ce în prealabil s-a îndărât dispozitivul special de adăugări cu AFSILONG, AlTi 3,7, etc., dozate prin cintărire, într-o singură cozi și s-a încheput vacumarea.

În tot acest timp regimul de lucru al cuptorului a fost trecut pe „menținere”. În această fază s-a produs de fapt, degazarea băii în proporție de 85–95 %. Urmat apoi alierea și modificarea topiturii, realizate tot sub vid, oxigenizarea băii prin menținere finală de 3–5 min și s-a trecut la turarea sa, la temperatură de 630–650°C, în coahile pregătite și preincălzite sub vacuum.

La solidificare, s-a deviat în talatia, s-a deschis spațiul de lucru și s-a secos, debitat, tratat termic și prelucrat epruvetele de încercări și probele tehnologice turnate.

În fine, se mai poate folosi o variantă, mai simplă din punct de vedere tehnologic și anume degazarea în vid, a aliajului complet eliberat în atmosferă. Aceasta se aduce, prin transvezare, într-un cuptor de menținere cu rezistență electrică, care are adaptată o instalație de degazare prin vid.

Se execută vacuumarea topiturii, în circa 5-10 min, la același nivel de vid ca la elaborarea în vid a aliajului după care, instalația este deschisă, iar aliajul degazat prin vid este turnat în atmosferă, în forme temporare sau permanente.

Făcind o comparație între cele două variante de bază ale procesului de elaborare-turnare în vid se pot desprinde următoarele concluzii:

- varianta I - este o metodă mai facilă, necesitând capacitate de elaborare distincte, cu fluxuri separate cu aplicare secvențială, în funcție de nevoie unui atelier pentru producția de serie.

In schimb rezultatele finale ale caracteristicilor mecanice sunt ceva mai modeste, iar datorită faptului că se lucrează cu topire și retopire se mărește sensibil pierderile prin ardere ale elementelor de aliere.

- varianta II - este cea mai rentabilă din punct de vedere tehnologic-economic, lucrând pe „un singur cald”, adică continuând în vacuum prelucrarea topiturii inițiată în atmosferă. Este un avantaj considerabil legat de diminuarea la maxim a pierderilor tehnologice prin ardere, a consumului energetic, a timpului total de desfășurare a procesului tehnologic complet și obținerea unei importante mărimi ale caracteristicilor fizico-mecanice și tehnologice, dar necesită o instalație ceva mai complexă.

Comparativ cu aceste două variante, metoda de degazare doar în vid, restul operațiilor desfășurându-se în atmosferă reprezintă doar o etapă de tranziție a metodei clasice de elaborare în atmosferă spre metoda superior tehnologică de elaborare-turnare în vid, fiind o etapă cu investiții de dotare reduse, cu repere cursuri imediate asupra calității pieselor turnate și în special de scolarizare a personalului de deservire, în treptea spre treptele supérieure tehnologice de proces în vacuum.

Pentru confirmarea celor afirmate, în tabelul nr. 3.9, se prezintă analiza chimică detaliată pe aliajul elucrat din fabricăture standard, în cele trei metode prezentate anterior.

Se observă că la reducerea tehnologică a metodei aplicate crește sensibil pierderile prin ardere a elementelor componente, ceea ce conduce în final la creștere gradelor de libertate ale variantei compoziției chimice, largind domeniul valorilor elementelor componente, dacă redăm și gradul de repetabilitate și constanță, la o cedanță mai mare a garjelor elaborate în condiții identice.

**Tabelul nr.3.9**  
**Variatia compozitiei chimice standard in**  
**functie de metoda de elaborare**

Aliajul Alte elabo- rat in:	Compozitia chimica, %						Impuritati, max. %		
	Cu	Si	Be	Ti	Al	Fe	Sn	Mn	Zn
Var.I	9,5	0,14	0,002	0,12	rest	0,018	<0,005	<0,005	<0,005
Var.II	9,3	0,13	0,004	0,14	rest	0,014	<0,005	<0,005	<0,005
Degaza- re cinc- pild	9,4	0,15	0,003	0,12	rest	0,015	<0,005	<0,005	<0,005

Creata astfel nejustificat factorul aleator intr-un proces ce se impune a fi cat mai precis si care conditioneaza rezultatele ulterioare.

**CAPITOLUL IV. TEHNICĂ DE TRAITEMENT TERMIC**  
**UTLAJE DE LABORATOR**

Pentru a asigura structură secundară specifică acestui tip de aliaj, în vederea obținerii unor caracteristici fizico-mecanice superioare, corelate cu o înaltă rezistență la coroziune, aliajul ATNg10, este supus unui tratament termic, în stare solidă, de punere în soluție, călăre și îmbătrinire naturală, la parametrii prezentati în figura 2.13 în varianta standard.

Îmbătrinirea artificială nu se aplică, deoarece orice încălzire, a acestui aliaj, peste temperatură de  $300^{\circ}\text{C}$ , conduce la modificări structurale ce afectează grav proprietățile de plasticitate, în special alungirea și caracteristicile specifice rezistenței la coroziune.

Parametrii standard ai ciclului de tratament termic :

- V<sub>1</sub> - viteza de încălzire, nu trebuie să fie mare pentru a nu tensiona piesele și nici nu se recomandă să se înceapă tratamentul de la temperaturi mai mari de  $150^{\circ}\text{C}$ ; în general viteza medie de încălzire va fi de  $30\text{-}120^{\circ}\text{C}/\text{h}$ .

- Temperatura de tratament, pe care nu va fi foarte bine termostatată, variații mai mari de  $\pm 10^{\circ}\text{C}$ , conducind la reducerea sau depășirea punctelor de transformare în stare solidă cu efecte asupra structurii finale și implicit asupra caracteristicilor fizico-mecanice.

- Menținerea pe palierul de transformare în stare solidă, trebuie să fie suficient de îndelungată pentru a asigura transformările complete și pentru a asigura introducerea în soluția solidă  $\alpha$ , de aluminiu a întregii cantități de ac nezin. Timpul de menținere se corelează și cu secțiunile probelor sau pieselor tratate, respectându-se în general valoarea de  $90\text{-}100$  min/mm secțiune piesă.

- Timpul de transfer, în cazul acestui aliaj nu va depăși, sub nici o formă  $10\text{-}15$  sec., permitindu-se o scădere a temperaturii piesei, de la presarea cuptorului pînă la înverzarea completă în modul de răcire de max. $10^{\circ}\text{C}$ .

- Viteza de răcire, în cazul aliajului ATNg10 este mai redusă

dacă pentru alte aliaje de aluminiu decărca acest aliaj are o deosebită predispoziție de fisurare în cînd depășirii unui nivel de tensiuni interne, prea mare. Din acest motiv s-a impus ca, mediul de răcire(apă sau ulei) să aibă o temperatură de  $60\text{--}100^{\circ}\text{C}$ , iar viteza de răcire să nu depășească  $30\text{--}50^{\circ}\text{C/sec}$ . Aceste indicații se completează și cu o serie de condiții tehnice ce vin să asigure finalizarea optimă a tratamentului și anume:

- volumul mediului de răcire va fi de min.25 ori mai mare decât cel al încărcăturii de piese tratate ;
- piesele nu se scot din mediul de căldură decât după ce temperatura acestuia a fost atinsă de întreaga cantitate de piese tratate, în caz contrar scopul tratamentului nu va fi atins;
- după uniformizarea temperaturii mediului de răcire în piesele tratate, finalizarea răcirii lor se poate efectua în atmosferă ;
- după căldură, temperatura mediului de răcire nu trebuie să crească cu mult de  $5\text{--}10^{\circ}\text{C}$ .

După punerea în soluție și căldura pieselor și epruvetelor turante, acestea se vor depozita în spații cu temperatură constantă( $15\text{--}25^{\circ}\text{C}$ ), timp de min.10 zile pentru realizarea îmbătrânirii naturale, după care probele și piesele se pot uzina și săpună testărilor impuse.

Tratamentul termic a fost efectuat, în fază de laborator, într-un cuptor tip cavașă KS 800/37, cu volumul util de  $0,00x540x420$  mm, cu termoreglare și domeniul de temperatură de  $20\text{--}1500^{\circ}\text{C}$ ; variația temperaturii reglate a fost de  $\pm 10^{\circ}\text{C}$ . Baia de răcire a avut un volum de  $0,5 \text{ m}^3$ , iar volumul unei garje tratată termic, compusă din epruvete, a fost de circa  $10 \text{ cm}^3$ (aprox.26 Kg).

## CAPITOLUL V. VARIANTE EXPERIMENTALE

Pentru a determina variabilitatea structurii primare și secundare, funcție de parametrii ce urmăzează să fi cercetăți, s-a impus realizarea unor variante experimentale prin studierea cărora să se desprindă mecanismul de influențare a morfologiei structurii în vederea determinării unor caracteristici fizico-mecanice favorabile și de un nivel cît mai ridicat.

Astfel pentru fundamentarea experimentală a studiului modificărilor structurale a aliajului cercetat, prin variabilitatea unei serie de parametri fizici și tehnologici s-a construit o schemă de varianță prezentată în cale ce urmăzi.

### 5.1. Variante de compozitie chimică

In vederea studierii influenței compozitiei chimice asupra structurii aliajului cercetat, influență bazată pe formarea, în baza metalică de bază a unor proporții diferite de faze și constituente, cu rupercouri directe asupra caracteristicilor fizico-mecanice ulterioare.

In tabelul 5.1., se propun o serie de variante ale compozitiei chimice bazate în primul rînd pe variația conținutului în magneziu și în al doilea rînd pe cea a conținutului în siliciu, element care în combinație cu magneziu creează fază durificatoare  $Mg_2Si$ .

Totuși variația conținutului în siliciu în limite prea largi se poate repercuta negativ asupra rezistenței la coroziune a aliajului studiat, de aceea s-a impus o singură departajare pe subvariante la varianța 3 pentru conținutul în siliciu.

Tabelul nr.5.1

Variante de compozitie chimică

Element variant	Variante experimentale				
	1	2	3	4	5
Magneziu	3 % (7,5-0,5)	9 % 10 % (3,5-9,5)	3,2 3,2 % 3,1 (3,5-3,5) 3,5 3,4 % 3,1	11 % (10,5-11,5)	12 % (11,5-12,5)

Variatia impuritatilor Cu, Fe, Mn, Zn, nu s-a mai lăsat în con-

siderație decarece componentele insușiturii metalice sunt de puritate înaltă, cu sprijn redus în domeniul compozitiei chimice, în aceste combinații.

Varianta compozitiei chimice, s-a realizat practic prin modificarea proporțiilor diferitelor componente din însușitura metalică standard stabilită în tabelul nr. 3.7.

### 5.2. Variante de elemente modificatoare

Cunoșind influența deosebită a fenomenului de modificare asupra forței și mărimiile dendritei primare, influență realizată în special prin tipul sau combinația de diverse tipuri de elemente modificatoare, pentru studiul influenței acestui fenomen asupra strukturii metalice de bază, s-a apelat la elementele modificatoare greu fusibile Ti și Zr. Aceste două sint considerate, de mare majoritate a cercetătorilor acestui domeniu, ca elemente deosebit de active în procesul de modificare, în plus făcând parte din categoria de metale obținabile industrial, pentru asigurarea unei producții de serie (mai facil - titanul).

Utilizarea lor singulare și în combinație se va repercuta asupra gradului de finisare a structurii și în final, asupra caracteristicilor fizico-mecanice determinante pentru aliajul studiat.

Variantele propuse studiului sunt prezentate în tabelul 5.2.

Tabelul nr. 5.2  
Variante de elemente modificatoare

Elementul variant	Variante experimentale		
	M.1	M.2	M.3
Titân	0,15 %	0,08 %	-
Zirconiu	-	0,07 %	0,15 %

### 5.3. Variante ale vitezelor de răcire la turnare în formă metalică

Pentru studiul influenței vitezelor de răcire la solidificarea aliajului în forme metalice, asupra mărimiilor de grăunțe și implicit asupra caracteristicilor fizico-mecanice și asupra proprietăților tehnologice se vor studia diverse variante de preincălzire a formelor permanente de turnare, în trei domenii de temperatură, așa cum se prezintă în tabelul 5.3.

Tabelul nr.5.3

**Variante ale vitezei de racire,  
la turnare**

Elementul variant	Variante experimentale		
	V.R. 1	V.R. 2	V.R. 3
Viteza de racire la turnare, prin temperatura de preincalzire a cochilelor ( $^{\circ}$ C)	100 - 150 $^{\circ}$ C	175 - 225 $^{\circ}$ C	250 - 300 $^{\circ}$ C

**5.4. Variante ale nivelului de vid în cursul elaborării  
aliagului**

Determinarea influenței nivelului de vid, în care se efectuează elaborarea aliagului studiat este un factor esențial cu influențe multiple asupra compoziției chimice, disponibilității la traiectoriile termice și asupra caracteristicilor fizico-mecanice finale.

Datorită acestui fapt varianta depresiunii create în spațiul de liber va fi studiată în mod mai amănuntit, într-o multitudine de variante cu cercetarea și a modificărilor structurii cristaline și a remainței de gaze în liajul turnat. Astfel, în tabelul nr.5.4 se prezintă variantele experimentale ce vor fi realizate, în cursul cercetărilor și care vor conduce în final la stabilirea valorii optime a nivelului de vid specific pentru elaborarea acestui tip de aliag.

Tabelul nr.5.4

**Variante ale nivelului de vid**

Elementul variant	Variante experimentale									
	V.1	V.2	V.3	V.4	V.5	V.6	V.7	V.8	V.9	V.10
Nivelul de vid în tincu- pul elabo- rării aliag- ului -ca.col.Hg,-	350	190	100	50	35	20	10	5	$10^{-1}$	$5 \cdot 10^{-2}$

**5.5. Variante ale prelucrării termice în stare solidă**

Influența tratamentului termic asupra structurii primare și implicit asupra caracteristicilor fizico-mecanice este hotăritoare. Un ciclu de tratament termic cu parametrii bine fundamentați conduce la obținerea unei structuri secundare, omogene, cu constituenți interne-

talicii specifici, uniform repartizati care determina in final proprietati fizico-mecanice si de rezistență la eroziune supérieure.

Se va studia initial influența temperaturii de punere în soluție asupra distribuției uniforme a componentelor masei metalice de bază și a gradului de difuzie a magneziului în rețeaua soluției solidă și a aluminiului, prin variante de temperatură a palierului la tempi constanti de tratament. Apoi se va studia influența temperaturii mediului de răcire, la călare asupra fizicii și repartizirii compușilor formanți în rețeaua cristalină a aliajului studiat, menținind constant timpul de transfer.

Pătorită sensibilitatea acestui aliaj la încălziri la temperaturi peste  $80^{\circ}\text{C}$ , nu se poate aplica îmbătrânirea artificială, care ar compromite caracteristicile acestuia.

Pentru aceasta se consideră invariantei parametrii îmbătrânirii naturale ( $20^{\circ}\text{C}$  - min. 10 zile).

In tabelul 5.5 se prezintă variantele experimentale ce vor fi testate pentru prelucrarea termică în stare solidă.

Tabelul nr.5.5

Variante de tratament termic

Elementul variat	Variante experimentale		
	T.1.2	T.2	T.3.2
Temperatura de punere în soluție	$400^{\circ}\text{C}$	$425^{\circ}\text{C}$	$500^{\circ}\text{C}$
Viteza de răcire la călare, prin temperatură mediu-lui de răcire. (nici)	Variante experimentale		
	T.2a1	T.2a2	T.2a3
	$20^{\circ}\text{C}$	$80^{\circ}\text{C}$	$150^{\circ}\text{C}$

La variantele de răcire în lichide mai calde ca mediul ambient ( $\geq 20^{\circ}\text{C}$ ), după uniformizarea temperaturii băii de răcire în întreaga masă a piesei, răcirea finală se realizează în atmosferă.

Din momentul atingerii temperaturii ambiante se consideră omorât procesul îmbătrânirii naturale după finalizarea căruia piesele și epruvetele se pot testa.

**CAPITOLUL VI. TIPOURI DE PROBELE SI S.D.V-URIL  
UTILIZATE IN INVESTIGATIILE**

**6.1. Forme metalice pentru provete de încercări mecanice**

La turnare în vid s-a folosit o coadă specială care permite turnarea simultană a 12 probe de încercări mecanice, alimentată prin fântă din piciorul de turnare comun (fig.6.1-Anexa I). În acest fel se obține un set de 12 provete turnate în același condiții tehnologice și având aceeași compoziție chimică, perfecționată și oxigenă și aceeași viteză de solidificare, condiția absolută acesare pentru evitarea dispersiei rezultatelor obținute, datorată unor condiții tehnologice și experimentale diferite.

Elementele mobile și suprafețele active se coadă cu vopsea refractară VAS2, ceea ce se realizează preincalzirea la temperatură de 175-250°C.

**6.2. Formă metalică în trepte**

Această formă de probă tehnologică a fost pusă la punct de MALLIN, WOOD și CHAGG [53], în anul 1958 pentru studierea efectului grosimii de perete asupra caracteristicilor mecanice. În lucrarea aceasta, proba tehnologică în trepte, prezentată în figura 6.2, a fost adaptată, în special pentru cercetările influenței grosimii de perete asupra structurii și a cărimii de grăunțe, precum și pentru verificarea gradului de solidificare și de puritate a aliajului elaborat în diversele variante propuse, prin testul de încercare prin soc (reziliență). Caracteristică pentru această formă metalică este cărarea grosimii de perete în fiecare treaptă, la o suprafață continuă constantă.

Ascelotajul este astfel calculat ca să asigure o alimentare noastră, cu total lichid, a grosimii maxime. Efectul ascelotajului este prelungit prin punerea perimetruului ascelotajului cu un nișc din efectee elasice uscate cu rol de frânare a răciri aliajului din ascelotaj.



Fig.6.2  
Formă metalică în trepte

### 6.3. Formă metalică pentru determinarea etanțării

FLINN și PATTON au pus la punct o formă metalică de turnare pentru determinarea rapidă a etanțării aliajelor cu ajutorul unui dispozitiv relativ simplu.

Prin ea se obține un paralelipiped cu secțiunea patrulată elipsoidală printre rețea de aliniamente bine studiate, în vederea elinișirii oricărui posibilătate de gazeare a aliajului în timpul turnării. Ceea ce, în ceea ce măre micuță formă probei și sistemul de aliniamente, și variind dimensiunile lor, au realizat o coahilă, specifică aliajelor pe bază de aluminiu-magnesium (fig.6.3).



Fig.6.3  
Cochile pentru determinarea etanțării

Prin debitarea unei lunci de aliaj, grosă de 1,6 mm, din secțiunea mediană, în sensul lungimii probei, cu ajutorul dispozitivului prezentat schematic, în fig.6.4, se determină consistența la etanțărire a aliajului studiat.

După prelucrarea debocării de etanță a luncii și lustruirea ei, se introduce în acest dispozitiv și se lasă să treacă, prin ajutor (în sensul săgeții) un curent de azot uscat la o presiune de  $7 \text{ kgf/cm}^2$ . Secțiunea supusă testării din lunca de probă este de  $1,6 \text{ cm}^2$  (diametrul testat = 14,3 mm).

În urma de presiune, deteriorătoare, rezultată, se desprinde cu un conector pușcat pe orificiul superior al dispozitivului. Pentru o caracterizare extensivă a testării se supun probării minin-

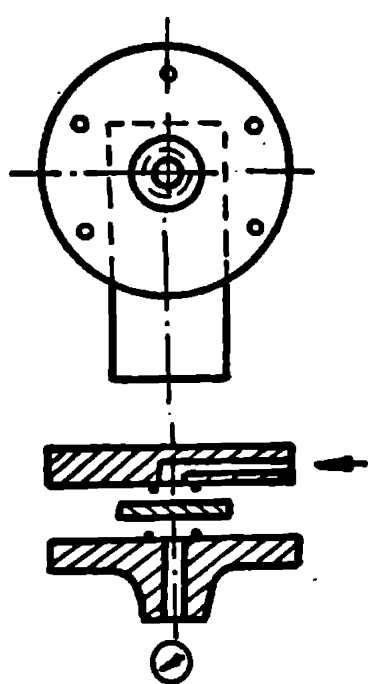


Fig.6.4  
Dispozitivul pt. det. etanțării (schema)

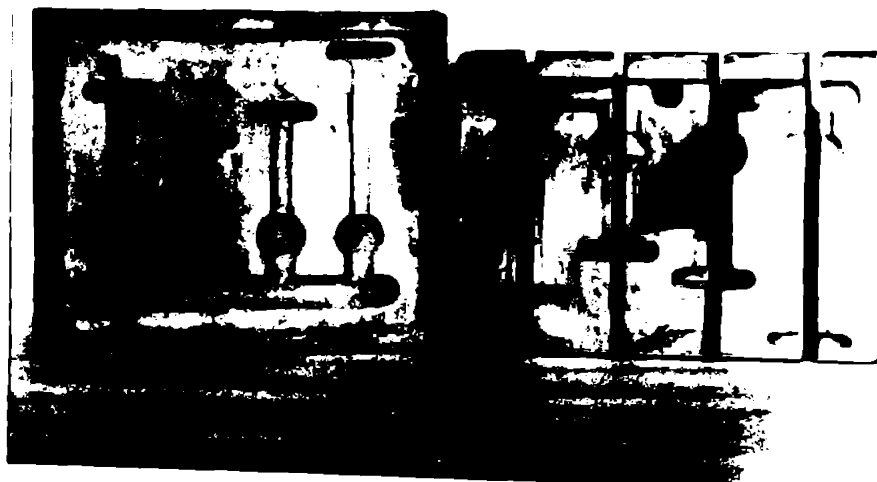
trei zone din lamașa prelevată și se face o medie a lor.

#### 6.4. Forme metalice pentru determinarea fizurabilității la cald

Acestei forme metalice, pentru determinarea tensiunilor de fisurare la cald, în construcție frântă a servit din cauăsitatea sa de SOLIDE și COUTURE [34], pentru studiul misurării la cald a difioare a aliagelor de cupru.

Bazată pe principiul solidificării unei bare de 12,5 mm diametru, în construcție frântă realizată prin coacere - afocare și paralelipipedice, această probă este recomandată să testeze tendința de fisurare la cald a aliagului acordat, pentru diferite lungimi de bare, echivalente cu diferite distanțe dintre două puncte de schimbare a profilului peretalui unei pieșe tăiate.

Această formă metalică, prezentată în figura 6.5, se utilizează, de fapt ca și celelalte, protejată cu vopsea refractară VCA 2 și preîncălzită la temperaturi în domeniul  $175\text{--}250^{\circ}\text{C}$ .



**Fig.6.5**  
Cobiile pentru determinarea fizurabilității la cald

## CAPITOLUL VII . Instalația de elaborare - turnare în vid

### 7.1. Principiul de realizare a instalației de elaborare - turnare în vid

Realizarea instalației de elaborare-turnare în vid, de laborator, s-a bazat pe principiul desfășurării complete a procesului tehnicologic în vid. Aceasta a fost fundamentată de necesitatea eliminării influenței atmosferelor, în toate fazele procesului metalurgic, pentru a determina corect influența nivelului de vid asupra parametrilor concretați.

Schemă de principiu a instalației de laborator este prezentată în figura 7.1 (Anexa II).

Această instalație, este un agregat complex, ce permite desfășurarea întregului cicle operațional sub vid, prin acțiunile electrice, de la un pupitru central de comandă.

Spațiul util al incintei a fost dimensionat pe principiul volumului minim necesar funcționării dispozitivelor din interior precum și redacerii accentuate a încălzirii carcacei, prin radiație, de la cuporul de topire.

Calculale de dimensionare a grosinii carcacei, s-au făcut în funcție de nivelul maxim al depresiunii posibile ( $10^{-2}$  mm.col.ig) și de încălzirea maximă a peretilor (max.  $60^{\circ}\text{C}$ ), prin radiație.

Din acesta a rezultat o valoare a grosinii de perete de 1 cm. Pentru asigurarea carcacei instalației, la eforturile de deformare date de depresiunii, aceasta a fost armată, în interior, cu o rețea cu ochiuri de  $2 \times 200$  mm din oțel profil „T 40”; acest sistem de armare poate avea  $35-40$  N din forțele de compresie normale pe peretii carcacei.

Poterea instalației cu un cupor de topire prin inducție, la media creșcentă, a împus ca majoritatea subvențioanelor metalice, de contact direct, sau în imediata vecinătate, să fie realizate din materiale dia și paramagnetică (oțeluri antimagnetice, aliaje neferoze), pentru a nu produce încălziri suplimentare ale elementelor instalației și pentru a nu reduce puterea de topire a induktorului.

Înțeles, carcasa cuporului, suportul bobinei de inducție, placă de baza și dispozitivele ce funcționează în interiorul instalației au fost construite din oțeluri antimagnetică inoxidabile, prin

Iustruirea avansată a acestor elemente s-a redus cintător și insularea acestora prin radiatia de la captură.

Trecerile cablurilor speciale, cu conductori și circulație de apă de răcire au fost practicata prin elemente termoisolante și electroizolante, prezintind totodată și o rezistență avansată la etanșoare.

Toate dispozitivele funcționale în instalație vidată sunt telecomandate prin acțiuniri electrice pentru o mai mare flexibilitate a lor.

Comenzile dispozitivelor operaționale și de prelevare a informațiilor din camera de vid se fac centralizate de la un pupitru de operare. De aici se comanzi și funcționarea pacpei de vid și alimentarea generală cu energie electrică a instalației.

#### 7.2. Prezentarea instalației de elaborare-turcare în vid de laborator

Instalația de elaborare-turcare în vid, de laborator, a fost pusă în funcțiune în decembrie 1977, fiind omologată prin „Proces verbal Nr.4103/24.XII.1977”.

Ea este prezentată în Anexa Nr. II, în reproducere foto, în poziția de pregătire și în poziția de lucru.

- este o instalație de tip continuu-intermitent, adică :

- desfășurarea operațiilor tehnologice de topire, aliage, modificare, turcare se realizează în mod continuu, fără a mai fi nevoie să se devidese camera de lucru ;

- încărcarea cuporului cu materiale prime și a dispozitivelor de introducere a adosurilor este secvențială, necesitând, după fiecare turcare, devidarea camerai de lucru și reinadăcerea cu materialele componente ale șarjei.

În Anexa III sunt incluse fig. 7.1 - 7.7, ce redau detalii constructive ale instalației de elaborare-turcare în vid, de laborator.

#### 7.3. Parameetrii de lucru

În baza protocolului de încercări și a Proces-ului verbal de omologare Nr.4103/24.XII.1977, parametrii de lucru ai instalației de elaborare-turcare în vid, de laborator sunt:

- Capacitatea agro/cuporului de topire:

- 1. kg - aliaje neferoase usoare ;
- 25 kg - aliaje neferoase grele.

- Volumul incintei cuporului : 2 m<sup>3</sup>.

- Tipuri de topire al unei șarje :

- 15-20 min. - pentru aliaje neferosice uscate ;
- 25-30 min. - pentru aliaje neferosice grele.
- **Timpul de vidare pînă la  $10^{-1}$  mm.col.Hg: 25 min.**
- **Nivel de vid: max. $10^{-2}$  mm.col.Hg.**
- **Temperatura spațiului de lucru :**
  - max. $45^{\circ}\text{C}$  - pentru aliaje neferosice uscate ;
  - max. $52^{\circ}\text{C}$  - pentru aliaje neferosice grele.
- **Dureta completă a unui ciclu de cinorară-turcare :**
  - max.45 min. - pentru aliaje neferosice uscate ;
  - max.60 min. - pentru aliaje neferosice grele.
- **Temperatura de prefuziune a cochilei: max. $300^{\circ}\text{C}$ .**
- **Temperatura de elaborare :**
  - max. $600^{\circ}\text{C}$  - pentru aliaje de aluminiu - la 5 mm.col.Hg ;
  - max. $1090^{\circ}\text{C}$  - pentru aliaje de cupru - la 0,1 mm.col.Hg.

## CAPITOLUL VIII - ANALIZE FLAICO-CHIMICE

### 8.1. Analiza chimică a aliajului studiat

Analiza chimică a aliajului cercetat s-a realizat în paralel, pe un spectrometru tip C 24 și pe un quuantometru tip 3M1.18, adaptat și etalonat și pentru analize de aliaje neferoase pe bază de aluminiu.

Toleranța de determinare a valorilor înregistrate, prin cele două metode, la analiza chimică efectuată pe aceleși probe, a variat în domeniul 2-5 % din mărimea valorii găsite, la fiecare element în parte.

*Natură*  
Determinarea fazelor și constituenților prezenti în raza metalică de bază, a aliajului cercetat, s-a realizat pe un difractometru în raze X, tip DION-3, iar determinările respective s-au făcut în laboratorul specializat din cadrul Institutului de Cercetări Metalurgice București.

Determinate, determinarea hidrogenului rezident în aliajul solidificat, nu s-a putut determina cantitativ, pe un aparat specializat în acest tip de analize, din lipsă de aparatură specifică în țară, s-a pus la punct o metodă proprie de testare, ce este descrisă în acest capitol, la subcap. 8.3.

Afectarea analizei chimice s-a realizat în toate fazele procesului tehnologic aplicat în cadrul cercetărilor de laborator și este obligatorie, la aplicarea în producție atât în aliajul elaborat cât și la materialele prime și materialele tehnologice din corespondență încărcăturii gersei.

#### 8.1.1. Rezultatul variantelor experimentale

Variatia compozitiei chimice în funcție de parametrii cercetării, a condus la obținerea unor serii de valori care au contribuit la optimizarea, în final, a compozitiei chimice a aliajului  $\text{AlMg10}$ .

În prima fază, s-a introdus ca element variabil, contin-

tal in magneziu. Doscenul de împriștiere a valorilor acestui parametru, stabilit inițial la punctul 5.1 (cap. 7), este prezentat în tabelul nr. 8.1.

In această etapă, s-au considerat ca elemente constante, conținuturile în siliciu și cele în impurități.

Acestea din urmă, având valori impuse, ce nu s-au depășit prin apportul materialelor componente ale încărcăturii metalice, datorită utilizării unor materii prime de calitate superioară, s-au considerat ca neglijabile, în stabilirea influenței lor asupra structurii cristaline a aliajului.

In a doua parte a experimentărilor, stabiliindu-se ca optim teoretic valoarea de 10 % pentru conținutul în magneziu, s-a realizat o variație limitată a conținutului în siliciu datorită apportului său benefic, în unele concentrații, asupra fenomenului de curățare structurală, prin formarea compusului  $Mg_2Si$ .

In final, se stabilește ipoteza, urmând ca prin experimentări, să se dovedească veridicitatea prenunției inițiale, pentru conținutul în siliciu o valoare optimă de 0,2 %.

Variatia procentuală de siliciu din compoziția aliajului  $AlMg10$  este dată în tabelul 8.2.

Dе menționat că rezultatele descrise în tabelele 8.1 și 8.2 s-au determinat pe șarje la care nu s-a aplicat tratamentul de solidificare în stare lichidă.

Tabelul nr. 8.1  
Analiza chimică. Rezultate experimentale  
seria I

Cod vari-antă	Nr. șar-je	Conținutul în magneziu determinat	Cod vari-antă	Nr. șar-je	Conținutul în magneziu determinat	Cod vari-antă	Nr. șar-je	Conținutul în magneziu determinat
0	4	3	3	4	3	5	7	3
A	1	7,95 7,57 7,96			9,55 8,79 11,55		2	10,72 10,91 10,33
	2	7,31 7,91 7,46	C	1	9,32 9,63 9,88			10,75 10,66 13,22 %
	3	7,95 7,80 7,31		2	9,52 9,57 9,57	4	1	11,55 11,53 11,68

0	1	2	3	4	5	6	7	8
valoarea medie	7,87		3		9,65		2	11,98
abaterea pro-	+1,14%				9,73			11,26
centuală					9,85			11,65
B	1	8,82 8,91 8,66		valoarea medie	9,74		3	11,52
				abaterea pro-	+1,65%			11,38
	2	8,72 8,63 8,88	D	1	10,72 10,23 10,65			11,44
						valoarea medie		11,53
	3	8,93 8,72		2	10,78 10,56			abaterea procentuală +3,55%

Tabelul nr.3.2  
Analiza chimică. Rezultate experimentale, seria II

Cod vari- antă	Număr șarjă	Conținut determinat %		Cod vari- antă	Nr. șarjă	Conținut determinat %		Cod vari- antă	Nr. șarjă	Conținut determinat %	
		Mg	Si			Mg	Si			Mg	Si
C <sub>1</sub>	1	9,33	0,37	C <sub>2</sub>	1	9,75	0,16	C <sub>3</sub>	1	9,81	0,58
		0,38				0,17				0,53	
		0,38				0,19				0,55	
	2	9,78	0,38		2	9,76	0,17		2	9,76	0,56
		0,37				0,19				0,54	
		0,37				0,19				0,54	
	3	9,85	0,39		3	9,80	0,18		3	9,79	0,59
		0,38				0,17				0,57	
		0,38				0,18				0,55	
valoarea medie		9,82	0,38	valoarea medie		9,78	0,18	valoarea medie		9,79	0,56

In seria a III-a de experimentari, luîrdu-se ca bază șarjele cu conținut mediu în magneziu de 10 % și în siliciu de 0,2 %, asupra topiturii s-a acționat cu elemente modificatoare, în variantele prezentate în tabelul 5.2(cap.V). Compoziția chimică a aliajului, după efectuarea experimentărilor de modificare este prezentată în tabelul 5.3.

Elaborarea acestor șarje s-a realizat tot în atmosferă, în aceleasi condiții cu serile I și II de experimentari. In plus s-a introdus în topitură și beriliul, sub formă de prealaj AlBe 2,8.

Tabelul nr.3.3

Analiza chimică  
Rezultate experimentale-seria III

Cod varianta	Număr serie	Compoziția chimică, %					
		N <sub>2</sub>	S <sub>1</sub>	S <sub>2</sub>	T <sub>1</sub>	ZP	A <sub>1</sub>
<u>C<sub>2</sub></u> <u>M<sub>1</sub></u>	1	9,56 9,72 9,63	0,17 0,17 0,16	0,003 0,004 0,003	0,14 0,13 0,14	-	rest
	2	9,31 9,77 9,66	0,18 0,16 0,16	0,004 0,004 0,003	0,13 0,13 0,14	-	rest
	3	9,57 9,75 9,50	0,17 0,17 0,18	0,003 0,003 0,003	0,14 0,13 0,13	-	rest
	Media	9,70	0,17	0,0033	0,14	-	rest
	Rândament asimilare, %	9,70%	34,5	32,5	89,6	-	rest
<u>C<sub>2</sub></u> <u>M<sub>2</sub></u>	1	9,63 9,75 9,71	0,17 0,15 0,18	0,004 0,004 0,003	0,07 0,07 0,08	0,07 0,07 0,06	rest
	2	9,63 9,82 9,63	0,17 0,18 0,18	0,003 0,004 0,003	0,06 0,07 0,07	0,06 0,07 0,06	rest
	3	9,75 9,68 9,76	0,16 0,18 0,16	0,003 0,003 0,003	0,07 0,08 0,07	0,07 0,06 0,06	rest
	Media	9,71	0,17	0,0033	0,071	0,064	rest
	Rândament asimilare, %	97,1	85,0	32,5	88,75	24,4	rest
<u>C<sub>2</sub></u> <u>M<sub>3</sub></u>	1	9,77 9,62 9,75	0,17 0,17 0,18	0,003 0,004 0,003	-	0,13 0,14 0,14	rest
	2	9,31 9,85 9,66	0,17 0,16 0,18	0,003 0,004 0,004	-	0,14 0,14 0,14	rest
	3	9,75 9,77 9,82	0,16 0,18 0,17	0,003 0,003 0,004	-	0,14 0,13 0,14	rest
	Media	9,76	0,171	0,0034	-	0,138	rest
	Rândament asimilare, %	97,6	85,5	85,0	-	92,0	rest

Ulterior, s-a trecut, în seria a IV-a de experimentări, la elaborarea șișajului în vid, compozită se chimică fiind cea corespunzătoare pentru varianta C<sub>2</sub>/M<sub>2</sub>, în valoare optimizată.

În această etapă, variabili a fost depresiunea realizată în camera de lumenă a instalației de laborator, variantele experimentale fiind cele reșipite din tabelul nr.5.4(cop.V), jumătate elaborat cîte două șurje la fiecare variantă a nivelului de vid, plasat în domeniul 380-5,10<sup>-2</sup> mm.col.Hg.

Valorile determinate pentru compozitia chimica analizatii masei pentru continutul in magneziu, ca singur element influentat de vid, in domeniul de vacum realizat, sunt prezentate in tabelul 8.4. (Anexa III).

Celelalte elemente sunt considerate ca invariante, pierderile prin vaporizare, la aceste depresiuni fiind neglijabile.

De asemenea, nu se lucreaza in considerare nici impuritatilor, deoarece concentratia lor este sub valoarea maxima admisă.

### 8.2. Analiza rostogonstruturală prin difractometrie de rază X

Pentru analizarea fazelor și a compusilor intermetalici, existenți în aliajul cercetat, precum și pentru determinarea modificărilor survenite în urma elaborării în vid și a prelucrării termice, s-au efectuat o serie de determinări prin difractometrie în rază X, pe un difractometru tip DRON-3. Parametrii de lucru utilizati, în cursul determinărilor au fost:

- radiatia folosita: K<sub>α1</sub>, cu  $\lambda = 0,7103 \text{ \AA}$
- tensiunea de lucru: 30 KV
- intensitatea curentului: 30 mA.

Pentru analizarea spectrului continuu a radiatiei K<sub>αC</sub> s-a utilizat un montaj Bragg-Brentano, folosind un filtru de zirconiu (fig.8.1)

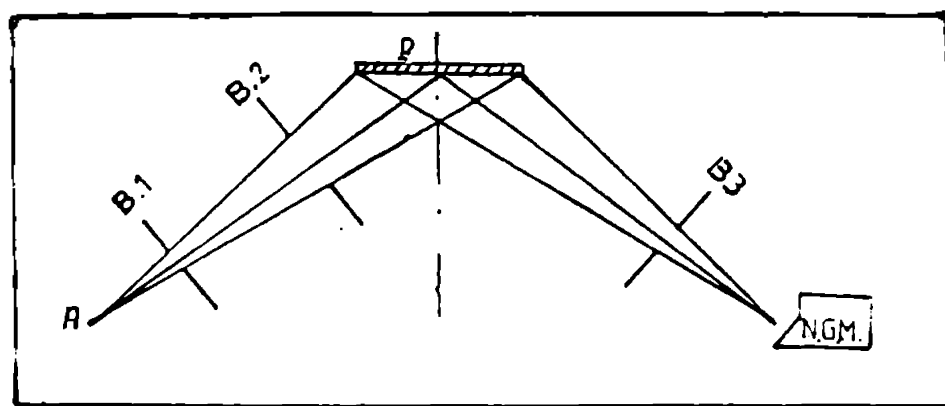


Fig.8.1.  
Schema de principiu a montajului Bragg-Brentano  
- anod de Mo; B<sub>1</sub>; B<sub>2</sub>; B<sub>3</sub>-fante; P-proba în goniometru; NGM-radiatator Geiger-Muller

Fregătirea probelor a fost efectuata după următoarea metodă:

- după frezare, a urmat glătirea pe hirtie abrazivă, continuată cu o glătire fină. După verificarea planeității cu o riglă cu muchie activă, proba a fost degresată și supusă amalicării.

Analiza difractogramelor obținute a avut ca scop determinarea fazelor și constituenților din structura aliajului cercetat precum și a nivelului de diclocații existente în material.

Pentru determinarea fazelor prezентate în aliajul ATCMg10, pe difractogramale obținute prin iradierea probelor cu radiatia

$$N\text{K}_{\alpha} \lambda = 0,7103 \text{ \AA} \quad (\lambda = \frac{2\lambda_{K\alpha_1} + \lambda_{K\alpha_2}}{3})$$

a folosit fișierul JEM [25], pentru fazele :

- soluția solidă SS $\alpha$ (Al)	- (4 - 787 )
- constituantul $\beta$ ( $Al_3Mg_2$ )	- (3 - 0877 )
- constituantul $Al_3Ti$	- (2 - 1121 )
- constituantul $Al_3Zr$	- (2 - 1095 )
- constituantul $Mg_2Si$	- (1 - 1192 )

In tabelul nr.3.5 sunt prezentate parametrii rețelei cristaline, determinați pe difractograma obținute pe probele cerestate pentru fazele existente în aliajul ATCuMg10. (Anexa III).

Din studiul acestor difractograde s-au reperat un număr de 4 linii de difracție corecte care nu aparțin nici uneia din fazele existente și posibile din structura aliajului ATCuMg10 și nici nu sunt date în lucrările [26, 23, 22, 30], pentru sistemul Al-Mg.

Pentru a evidenția natura constituentului nedeterminat, coresponditor acestor patru linii de difracție s-a folosit metoda matematică propusă de O'BALLY [27], verificând parametrii obținuți pentru rețea hexagonală, tetragonală și ortorombică.

La relația de bază pentru calculul planelor cristalografice:

$$q_{hkl} = [\sin^2 \theta]_{hkl} = \frac{\lambda^2}{4a^2} (h^2 + k^2 + l^2) = \lambda(h^2 + k^2) + c \cdot l^2 \quad (8)$$

aplicind formulele:

$$q_{hkl} - q_{vol} = \lambda^2(h^2 + k^2) \quad (8.1)$$

$$q_{2h2kl} - q_{vol} = 4\lambda^2(h^2 + k^2) \quad (8.2)$$

$$q_{3h3kl} - q_{vol} = 9\lambda^2(h^2 + k^2) \quad (8.3)$$

și combinând metodica cu calculul parametrilor  $q_{hkl}$ , s-a identificat că regulile de selecție pentru aceste patru linii sunt corespunzătoare sistemului tetragonal-piramidal, cu indicele 4 - pentru simetria elementelor de simetrie și notată după SCIDNPLISS cu codul C<sub>4</sub>, iar după Tabelele cristalografice internaționale cu "4".

Utilizând formulele (8.1.-8.3) s-au calculat parametrii de rețea și constituentului ce va fi notat cu " $\beta$ ", obținând:

$$a = 4,20 \text{ Å și } c = 5,52 \text{ Å}$$

Pe baza acestor parametri, s-au calculat apoi  $q_{hkl}$ ,  $q_{vol}$  și  $q_{hkl}$ , identificindu-se o serie de peakuri slab relevante din fond dar care reliefază identitatea structurii și care sunt conforme cu diagramele BURR, HULL și HULL-DAVEY, cu formulele (8.4-8.5).

$$\frac{1}{c^2} = \frac{h^2 + k^2}{a^2} + \frac{l^2}{c^2} \quad (8.4)$$

și

$$n\lambda = 2d \cdot \sin\theta \quad (3.5.)$$

Rezultatele acestor calculări sunt prezentate în tabelul nr. 3.6., indicarea scăzind în evidență cele patru linii de difracție corespondente la planele specifice fazei  $\beta'$ .

Tabelul nr. 3.6.

Parametrii de revedere ai constituentului  $\beta'$ 

Nr. crt.	hkl	$h^2 + k^2 + l^2$	$c_{hkl}$	$\theta_{hkl}$	Observații
$d_{002}$					
1	(100)	1	4,200	4°51'	
2	(110)	2	2,960	6°52'	linii în afara spectrului înregistrat
3	(200)	4	2,100	9°44'	
4	(210)	5	1,973	10°54'	
5	(220)	8	1,434	13°50'	
6	(300)	9	1,400	14°42'	- linie caracteristică
7	(310)	10	1,325	15°31'	- linie caracteristică
8	(320)	13	1,164	17°45'	
9	(400)	16	1,050	19°46'	- linie caracteristică
10	(410)	17	1,018	20°24'	
11	(330)	18	0,989	21°02'	
12	(420)	20	0,939	22°13'	
$d_{001}$					
1	(001)	1	6,920	3°07'	linii în afara spectrului înregistrat
2	(002)	4	3,260	6°15'	
3	(003)	9	3,000	6°48'	
4	(004)	16	1,630	12°35'	- linie caracteristică
5	(005)	25	1,304	15°48'	
$d_{111}$					
1	(111)	3	2,702	7°33'	linie în afara spectrului înregistrat
2	(112)	6	2,190	9°18'	
3	(113)	11	1,753	11°41'	
4	(114)	13	1,429	14°23'	
5	(115)	27	1,194	17°18'	
6	(211)	6	1,304	11°51'	
7	(212)	9	1,627	12°36'	- linie caracteristică

Din rezultatele inserate in tabelul nr.3.6., reiese ca planurile cristalografice specifice fazei  $\beta'$  sunt:

$$(212)(004); (300); (310); (400)$$

Inserate in ordinea crescatorii intensitatii lor.

Pentru evidențierea completa a parametrilor cristalografici precum și pentru determinarea formulei sale, de tipul  $Al_xMg_y$ , se impune continuarea cercetărilor pe această direcție, prin aprofundarea analizei difractometrice complete și cu determinări pe microsonde și prin microscopie electronică, urmând ca, în final acest constituent să fie introdus în tabelele cristalografice, în raze X.

Prin comparația cu monogramile etalon, a intensității liniei (III) a aluminiului s-a determinat nivelul dislocațiilor pe unitatea de suprafață, rezultatele obținute fiind prezentate în tabelul nr.3.7.

**Tabelul nr.3.7**  
**Nivelul de dislocații determinate**

Nr. crt. exan- tior	Cod exan- tior	Compoziția chimică, %						Nivel de vid- la tu- narea pro- belor mecan. %	Stare de testare	Dura- ta de dela- ces- cații tu- rea căli- rii	Nivel de dislo- ca- ții $\times 10^{12}/$ $\text{cm}^2$
		Fe	Si	Ti	Zr	Al	Mg				
1	090	3,96	0,173	0,080	0,060	rest	20	Stare brut turnată	-	5,2	
2	091	10,04	0,180	0,085	0,072	rest	20		- " -	5,6	
3	092	10,96	0,171	0,082	0,071	rest	20	- " -	-	5,8	
4	093	11,83	0,192	0,078	0,074	rest	20	- " -	-	6,0	
5	094	8,96	0,182	0,076	0,071	rest	20	- " -	-	4,1	
6	095	10,23	0,151	0,083	0,075	rest	20	$500^\circ\text{C}/16\text{h}/$ ulei $30^\circ\text{C}$	240h	1,0	
7	096						760		240h	1,4	
8	097						20	$425^\circ\text{C}/16\text{h}/$ ulei $30^\circ\text{C}$	240h	0,75	
9	098						50		240h	0,30	
10	099						760		240h	2,00	
11	100						760	$425^\circ\text{C}/16\text{h}/$ ulei $30^\circ\text{C}$	61un	0,60	
12	101						50		-" -	0,75	
13	102						20		-" -	0,60	

Tabelul 8.7, continuare

	1	2	3	4	5	6	7	8	9	10
14	103						20	400°C/15h, ulei 80°C	240h	0,75
15	104						50		240h	0,75
16	105						760		240h	0,75

Analizând valorile obținute, se pare evident un nivel al dislocațiilor mult scădit pentru starea brut turnată, ca stare tensio-nată și cu o mare densitate a defectelor de rețea. Pe măsură ce aliajul este supus tratamentului de punere în soluție dislocațiile migrează spre limita de cristal realizând o relaxare mai avansată, la temperaturi reduse ale condiționării termice.

Nivelul dislocațiilor răsuine la valori ceva mai mari la temperatură de tratament pentru patier - de 500°C, deoarece gradien-tul termic la călărire fiind mai mare, conduce la conservarea și chiar generarea de noi concentrări ce amplifică gradul de tensiune a aliajului.

Totodată se distinge clar, din valorile nivelului de disloca-ții, efectul benefic ce îl produce vidul, ca mediu de elaborare a aliajului ATCnig10, prin diminuarea avansată a cantității de impuri-ti și materiale și imbunătățirea continuității acestui material.

Este încă o confirmare a avantajului elaborării acestui ali-aj în vid, avantaj confirmat de fapt și de valoriile atinse de ca-ruacteristicile mecanice, dependente în mare măsură de cantitatea de defecte de structură din aliajul supus testării.

Tot prin analiza de difracțometrie în roze sînt confirmate și tipurile de rețea cristalini specifică fazelor existente în struc-tura aliajului ATCnig10, și anume:

- $\alpha$  OC (Al) - cristalină în sistem cubic cu fețe centra-te (C.f.c) cu  $a = 4,041 \text{ \AA}$  și intensitate maxi-mă pentru (111) ;
- $\beta$  ( $\text{Al}_3\text{Ti}_2$ ) - cristalină în sistem cubic cu fețe centrato (c.f.c) tip Fd.3m, cu  $a = 28,13 \text{ \AA}$  și inten-sitate maximă ptr. (11.4.2) ;
- $\text{Al}_2\text{Ti}$  - cristalină în sistem romboedric tip Fm.3m (Cl), cu  $a = 6,35 \text{ \AA}$  și intensitate maximă pe-tru (220) ;
- $\text{Al}_3\text{Ti}$  - cristalină în sistem tetragonal, tip I41mm-

P4/mmm ( $\text{DO}_{22}$ ), cu  $a = 5,429 \text{ \AA}$  și  $c = 8,570 \text{ \AA}$  și intensitate maxima pentru (202)

-  $\text{Al}_3\text{Zr}$  - cristalizat în sistem tetragonal tip I4/mmm ( $\text{DO}_{23}$ ), cu  $a = 3,000 \text{ \AA}$ ;  $c = 3,24 \text{ \AA}$  și intensitate maximă pentru (310).

Se consideră că prin analiza difracționistică în raze X s-a obținut o serie de date care aduc o serie de argumente obiective, experimentale asupra structurii și modificărilor structurale, funcție de diverse și parametri tehnologici variabili, în aliajul ATCMg1C, corectat.

### 3.3. Determinarea conținutului remanent de hidrogen în aliajul ATCMg1C

In general, incluziunile gazeuze localizate în piesele turnate din acest aliaj, ca de altfel în toate aliajele de aluminiu sunt, în cea mai mare parte datorite adsorbției de hidrogen în topituri. Remanența sa, în aliajul turnat condusă la diminuirea sensibilă a caracteristicilor fizico-mecanice și tehnologice ale piezelor. De aceea este deosebit de important de a se determina din timp, conținutul de hidrogen existent în topitură, pentru a se luna operativ măsurile tehnologice necesare în vederea reducerii său eliminării lui avansate.

In timp real, această determinare rapidă se realizează cu aparatul special, prin testul NICON, bazat pe principiul apariției primei bube pe suprafața unei probe de 100 g aliaj prelevat din cuporul de elaborare. Testul NICON este un procedeu izometric de analiză, desfășurat la presiune constantă, legată de baza filtrei:

- „La creșterea conținutului în hidrogen remanent în aliaj va crește și presiunea dezvoltată de acesta într-o incintă dată și la o anumită depresiune”. -

Aceasta constituie însăși metoda de determinare cantitativă a conținutului în hidrogen.

Dar aparatul de tip Abu - Schmelztester, nu există în dotarea institutelor și uzinelor de profil din țară.

De aceea, pentru a putea caracteriza influența vidului asupra structurii și caracteristicilor aliajului a fost necesar să se pună la punct o nouă metodă de determinare a conținutului de hidrogen remanent.

In acest scop s-a fundamentat o metodă de testare bazată pe analiza spectrală.

In spectru, liniile corespunzătoare hidrogenului au următoarele lungimi de undă, utile determinării :

Tabelul nr.3.9

## Linii speciale specifice hidrogenului

Lungimea de undă, $\lambda$ , Å	3889	3970	4101	4340	4361	6563
---------------------------------	------	------	------	------	------	------

Dintre acestea, primele două linii (3889 Å și 3970 Å) sunt blocate de suprapunerea liniei magneziului, prezent în aliaj, iar linia 6563 Å este în afara spectrului ce se poate înregistra pe plăciile speciale uzuale.

Cele trei linii 4101 Å, 4340 Å și 4361 Å, plasate în domeniul infraroșu al spectrului sunt însă măscate de prezența, în imediata apropiere a liniilor specifice pentru oxigen și azot. Astfel, în atmosferă normală, este imposibil de decolat prezența hidrogenului, pe un spectru de aliaj de aluminiu. Încercările efectuate pe un spectrograf 24, cu dispozitivul de scîntiere deschis nu au condus la nici un rezultat.

Pentru a elimina influența perturbatoare a oxigenului și azotului atmosferic s-a apelat la un spectrograf tot tip 24 dar cu cameră închisă de scîntiere, în care s-a insuflat pentru spălare, argon spectral 99,996 (STAS 7956-75, tip 3), timp de 1,5 min și cu un debit de 0,5 -1F/min. După montarea probei în dispozitivul de scîntiere și spălarea camerei, s-a închis complet acesta și s-a continuat insuflarea cu argon pînă la umplerea ei (timp 2,5 min, debit 1 l/min).

Parametrii programului de analiză spectrală, realizat pe spectrografen 24 cu generator de scînteie UBID, au fost:

- fanta = 15  $\mu$ m
- diafragmă sistemului optic : 15 mm
- diafragmă camerei : 15 mm
- distanță dintre electrozi : 2 mm
- contraelectrod : aluminiu spectral pur
- tensiunea de alimentare a arcului : 300 V
- curentul arcului : 2 A
- rezistență : 4Ω
- capacitatea : 10  $\mu$ F
- timp - preșcîntiere : 5 sec
- scîntiere : 56 sec

- regim de lucru : secuare.

Spectrul a fost înregistrat pe plăci spectrale tip WPL, sensibile în domeniul infraroșu (ROT RAPID, pansementie 22 DEB-125 A3A, ORW), deoarece plăcile folosite în mod curent, tip WU 3, nu au sensibilitate în infraroșu.

Intrucât, la acest nivel, determinările conținutului în hidrogen sunt calitative, în tabelul nr. 8.10 se dă programul de analiză spectrală pentru 10 echantioane inscrise în ordinea creșătoare a nivelului de vid.

Tabelul nr. 8.10

**Conținutul de  $H_2$  remanent funcție  
de nivelul de vid**

Nr. crt.	Scopul testa- lui	Nivel de vid mm. cu. Kg	Zona secțiunii probiei	Luminarea de vidă, $\lambda$ , Å		
				4861	4340	4191
				Raport de integrare		
1	Determinarea con- tinutului de concen- tratie maximă a hidrogenului	760	1/2 s	114	107	87
			1/2 I	115	108	88
			1/4 s	117,5	111	89
			1/4 I	117,5	112	89
			1/8 s	122	119	99
			1/8 I	125	119	96,5
2	Determinarea in- fluenței nivelu- lui de vid la o laboratorie altăjum	760	1/8 I	125	119	96,0
3	350	1/8 I	115	113	92,5	
4	190	1/8 I	114	109	90	
5	100	1/8 I	112	107	89,5	
6	hidrogen remanent.	50	1/8 I	102	97	78
7	35	1/8 I	101	96,5	77,5	
8	20	1/8 I	91	86,5	72,5	
9	10	1/8 I	89	84	68	
10	5	1/8 I	83,5	82	66	

Urmează să se realizeze, în cadrul unei cercuri de durată, o serie de etalouri, cu conținuturi de hidrogen cu care să se pună bazele unei analize cantitative, prin metoda spectrală.

Probile s-au turnat într-o cochilă pentru baghete de analiză spectrală, figura 8.2, cu dimensiunile : Ø 8 x 120 mm.

Se consideră că acest tip de probă corespunde la conservarea, în timpul turării și solidificării, a întregii cantități de

hidrogen din aliajul lichid, decarcoe bulele de gaz nu vor avea timp să străbate decât maxim jumătate din înălțimea probei.

Bazat pe acest considerent, după turnare, baghetă se sectioneză mecanic la jumătatea înălținii sale și se cupune analizei spectrale în ambele zone secționate, ca probe paralele. Se efectuează o secțiune la jumătatea semiproboi inferioare, după care se efectuează o nouă analiză.

S-a constatat, prin comparație, că la secțiunea mediană, remanența de hidrogen este inferioră față de cea determinată pe secțiunea sfertului baghetei. S-a evidențiat astfel că la lungimea de aproximativ 1/4 din lungimea totală a probei se înregistrează concentrația maximă a hidrogenului remanent.

Pentru control s-a mai efectuat încă o secțiune la 1/8 din lungimea probei, analizând intervale optimă inferioare. După efectuarea analizei spectrale, în majoritatea cazurilor conținutul apreciat în hidrogen a fost inferior secțiunii sfertului, și doar în câteva cazuri egal; nu s-a înregistrat nici o depășire a acestui conținut.

S-a stabilit astfel experimental că secțiunea cea mai corespunzătoare și cu conținut maxim în hidrogen este prin planul situat la 1/4 din lungimea probei, analizând sfertul ~~inferior~~(fără de poziția de turnare din cochilă).

În fundamentearea acestui tip de analiză, cu determinare cantitativă, se poate deveni operativă în timp real, cu caracter de analiză rapidă, decarcoe, prin rutinarea operatorului, dar totuși determinările nu va depăși 15 min. Confirmarea acestei aprecieri este dată prin defalcarea, mai jos, a timpilor operaționali:

- a. timp turnare - ricire - pregătire probă = 3 min ;
- b. timp total analiză = 3 min ;
- c. timp dezvoltare placi spectrale = 2,5 min ;
- d. timp uscare accelerată a plăcii spectrale = 2,5 min ;
- e. timp fotostrângere = 2 min ;
- f. timpi intermediari = 2 min.

Deci, timpul de comunicare telefonică a rezultatului nu va depăși 15 min.

Se poate aprecia, pe baza rezultatelor înregistrate pînă la această etapă, că finalizarea cererii și enologarea metrologică a metodai de analiză spectrală cantitativă rapidă, a conținutului de hidrogen remanent în aliajale de aluminiu, și se realizează în circa 3-4 luni, avind în vedere că parte cea mai dificilă a metodai este

realizarea de etaloane cu continut de hidrogen recurent cuprins intre 0,020-0,600 cm<sup>3</sup>H<sub>2</sub>/100 g aliaj.

Pentru exprimarea continutului de hidrogen recurent in cm<sup>3</sup>H<sub>2</sub>/100 gr.aliaj, inainte de sectiunarea probelor se cintaresc cu o precizie de  $\pm 1,5\%$ . rezultatul : proportional la greutatea probei se analizeaza efectuarea de privile paralele din aceiasi sarcina, pentru rezultatul final se ia valoarea media a determinarilor.



Fig.3.2  
Cochilă pentru turnarea buhetelor de analiza spectrală

La fotometrarea plăcii spectrale s-a folosit scură normală de înegrire, o fântă cu lățimea de 1,2 mm și înălțimea de 25 mm.

In fig.3.3 este prezentată fotocopia plăcii spectrale înregis-trată, cu cele trei linii specifice, dintre care linia 4061 Å este cea mai intensă și linia 4161 Å, cea mai slabă(Armăz III).

### 3.4. Determinarea punctelor de transformare prin dilatometrie

Analiza dilatometrică efectuată la aliajul ATCig10 se realizează cu scopul determinării punctelor critice de transformare precum și a coeficientilor de dilatăre liniară și a variabilității lor.

Această analiză se execută conform STAS 7901-66, pe un dilatometru cu vid tip D.L.3, cu o precizie de măsurare a dilatărilor de  $2,5 \cdot 10^{-7}$  mm.

Testarea se face pe probe prelevate din aliajul ATCig10, elaborat în atmosferă(1) și în vid(2), în stare brută de turnare, pentru a determina influența variațiilor de temperatură asupra structurii, precum și pentru stabilirea temperaturii optime de tratament termic.

Parametrii de lucru ai analizei au fost:

- compozitia chimică a epruvetelor ;
- proba 1 - conform variantei C2/R2 - tabel 3.3 ;
- proba 2 - conform variantei C2/R2/V6 - tabel 3.4(Anexa III) ;
- dimensiunile epruvetei:  $5 \times 5 \times 25$  mm ;
- amplificarea directă: 5 ;
- gradientul de temperatură pe epruvetă ;
- domeniul temperaturilor de lucru:  $110-950^{\circ}\text{C}$  ;
- viteză de încălzire ;
- dureta de menținere la diferite temperaturi.

Coeficientul de dilatare, pentru diferite temperaturi, calculat cu relația :

$$\alpha = \frac{l}{l_0} \left( \frac{l - l_0}{t - t_0} \right) = \frac{l}{l_0} \cdot \frac{\Delta l}{\Delta t} \quad (3.6)$$

în care:  $\alpha$  = coeficientul de dilatare liniară, ( $\text{grd}^{-1}$ )

(se exprimă:  $\alpha \cdot 10^6 \text{ grd}^{-1}$ ) ;

- $l_0$  = lungimea inițială a epruvetei, (mm) ;
- $l$  = lungimea epruvetei la temperatură  $T$ , (mm) ;
- $t_0$  = temperatură inițială, ( $20^{\circ}\text{C}$ ) ;
- $t$  = temperatură de lucru( $^{\circ}\text{C}$ ) ;
- $\Delta l$  = dilatarea măsurată pe curba dilatometrică( $10^{-3}\text{cm}$ ) ;
- $\Delta t$  = diferența între temperatură de lucru și temperatură inițială, ( $^{\circ}\text{C}$ ) ,

are o variație în funcție de temperatură, prezentată grafic în figura 3.5,(Anexa III), după valorile inscrise în tabelul Nr.3.13.

In figura 3.6 este prezentată curba dilatometrică a probei 1 (aliaj elaborat în atmosferă) și în figura 3.7, curba dilatometrică a probei 2(aliaj elaborat în vid)(Anexa Nr.III).

Determinarea punctelor critice de transformare, cuprinse în tabelul Nr.3.14, evidențiate prin inflexiunile curbei dilatometrică, prezintă o serie de indicații asupra fenomenelor de solubilitate, în stare solidă, a magneziului în reacția cristalină a soluției solide de aluminiu ( $SSoC$ ), precum și asupra limitelor de temperatură, în care apare inițierea topirii intercristaline, pe limita de galvanizare cristalin.

Tabelul nr.3.13

## Valori ale coeficientului de dilatare

Aliaj AlCr <sub>2</sub> O <sub>5</sub> - elaborat în atmosferă		Aliaj AlCr <sub>2</sub> O <sub>5</sub> - elaborat în vîâu	
Temperatură de lucru °C	Coeficientul de dilatare $\alpha \cdot 10^6 \text{ cm}^{-1}$	Temperatură de lucru °C	Coeficientul de dilatare $\alpha \cdot 10^6 \text{ cm}^{-1}$
150	39,7	150	36,1
200	39,3	200	38,8
250	40,4	250	39,1
300	42,1	300	42,8
350	39,4 P.T.1	350	44,8
400	39,7	400	44,7 P.T.1
425	39,7 P.T.2	425	44,9 P.T.2
450	37,6	450	43,7
475	36,6	475	43,5 P.T.3
485	36,5 P.T.3	500	44,6
500	36,8	525	45,3
525	36,6	530	45,3
530	36,6	540	44,4 P.T.4
540	36,6	550	43,0
550	36,5 P.T.4		

Temperatura optimă de tratament termic de punere în soluție este dată de inflexiunea curbei dilatometrică, în punctul de transformare P.T.2, unde se înregistrează de altfel solubilizarea maximă a magneziului în  $SSoC$ (Al).

Din studiul variației coeficientului de dilatare (tabelul 3.13), al curbelor dilatometrică, și al diagramei de variabilitate a coeficientului de dilatare ca funcție de temperatură, efectuat comparativ, pentru aliajul elaborat în atmosferă și în vîâu, se desprind o serie de concluzii și urme:

Tabelul nr.3.14

## Puncte critice de transformare

Aliaj Al-Mg elaborat în atmosferă			Aliaj Al-Mg elaborat în vid		
Punct transformare	Temperatură, °C	Transformarea	Punct transformare	Temperatură, °C	Transformarea
P.T.1	30	Intersecția cu curba de solubilitate a Mg în 33°C - începutul solubilizării magneziului.	P.T.1	400	Intersecția cu curba de solubilitate a Mg în 33°C - începutul solubilizării magneziului.
P.T.2	425	Solubilizarea completă a magneziului în 33°C (A1).	P.T.2	425	Solubilizarea completă a magneziului în 33°C (A1).
P.T.3	435	Atingerea limitei solidus	P.T.3	475	Atingerea limitei solidus
P.T.4	550	Începerea topirii limitei intercrustale.	P.T.4	540	Începerea topirii limitei intercrustale.
	590	Topirea aliajului		580	Topirea aliajului

- La elaborarea aliajului Al-Mg în vid, datorită temperaturilor de elaborare și de tăiere mai reduse, intervalul de solidificare scade, creșindu-se astfel condițiile pentru o micșorare a mărimei de grăunți, corespunziv cu elaborarea în atmosferă. În aceste condiții, efectul elementelor modificatoare este mai accentuat, conducând în final la o micșorare avansată a structurii. Lipsa cvasitotală a impurităților, sub formă de incluzuni neseptnice, existente în aliajul elaborat în atmosferă, cu rol secundar în germinarea cristalină, acest astfel suplinită de efectul nivoului de vacum asupra intervalului de solidificare.

Totodată, lipsa incluziunilor guăsește în o mărime a continuității masei metalice de bază, cu efect inedit asupra oceguinării dimensiunilor grăunților cristalin.

- Datorită strângării structurii aliajului elaborat în vid, suprapusă pe efectul similar și accelerat, al fenomenului de modificare, tendință de creștere a cristalelor, la încălzire, în stare solidă este mai accentuată, în comparație cu aliajul elaborat în atmosferă. În acesta cristalul, doar cu dimensiuni mai mari are o creștere mai mică, pînă la atingerea unei limite cînd orice cristal.

Se aplică astfel, valorile mai mari ale coeficientului de dilatare  $\alpha$ , înregistrate la aliajul elaborat în vid.

Pentru a realizea solubilizarea magneziului, în rotoare mult

sirun, într-o aliajului elaborat în vid, este necesară o încălzire termică mai evenește, nefecată prin creșterea temperaturii de început de dizolvare a magneziului în reacția  $33\text{Al} + \text{Mg} \rightarrow \text{Al}_3\text{Mg}$ , transformare ce are loc de altfel, în variație de volum.

Se evidențiază din nou tendința de creștere a coeficientului de dilatăre, în aliajul prelucrat în vid (P.T.1).

- Reducerea conențului de solidificare, face ca aliajul să fie mai sensibil la supraîncălziri, datorită deplasării liniei solide spre temperaturi mai mici (P.T.3).

- Deplasarea, o dată cu linia solidus, și a liniei lichidus, conduce la constatarea că aliajul elaborat în vid este predispus la topiri ale limită de cristal, în ridicarea temperaturii peste valoarea de  $540^{\circ}\text{C}$  (P.T.4).

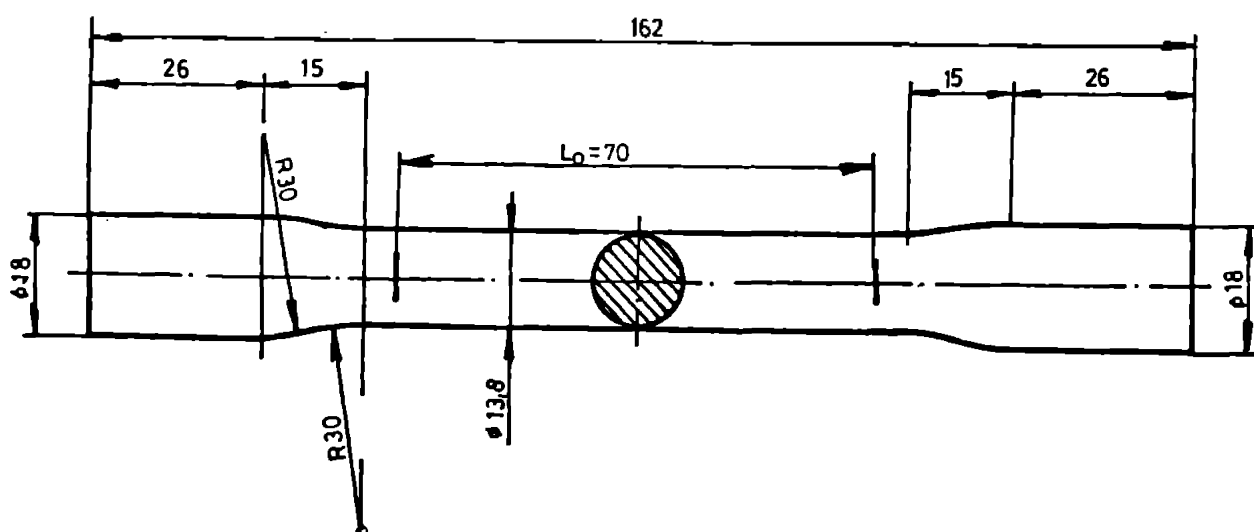
In consecință, aliajul ATC<sub>1</sub>gh, elaborat în vid este mult mai sensibil la transformările în stare solida, din cursul tratamentului termic, dându-l la creșterea substanțială a cărărilor de grămeți și chiar la topiri zonale pe limite de cristal.

- Consecința acestor date, cu diagrame de echilibru a sistemului Al-Mg (fig.2.1), devine astfel obligatorie, la stabilirea regimului și a diagramei de tratament termic a aliajului ATC<sub>1</sub>gh.

## CAPITOLUL - IX - INSCRIERI MECANICE

### 9.1. Determinarea caracteristicilor mecanice

Inscrierile mecanice, în vederea determinării caracteristicilor aliajului cercetat, în diverse variante, s-au efectuat pe epruve prelucrate, cu diametrul de 13,8 și celelele dimensiuni corelate cu recomandările din STAS 201/2-60. Epruvetele s-au turnat în ochila specială prezentată în fig.9.1, în seturi de 12 bucăți pentru fiecare variantă cercetată și s-au prelucrat prin strunjire, cu un cufit profilat pentru realizarea razei de ricordare a zonei calibrate cu capul de prindere. Epruveta prelucrată este prezentată în figura 9.1.



**Fig.9.1**  
Epruveta de inscrieri mecanice

Experimentările s-au desfășurat în două serii distincte, ale căror rezultate vor conduce la determinarea influențelor parametrilor cercetării, asupra caracteristicilor mecanice.

În prima serie de experimentări s-au efectuat elaboriri ale aliajului cercetat cu compoziție chimică și încărcătură metalică constantă, în varianta optimizată C2/N2, în vederea determinării influenței nivelului de vid asupra caracteristicilor mecanice în stare brut turnată.

Valorile obținute în cursul testărilor, în condițiile prezentate, sunt date în tabelul nr.9.1.

Tabelul nr. 9.1

## Caracteristicile mecanice in stare brut

turnat

nava de va- cun- cun. col. H <sub>3</sub>	cod de pro- verificare	caracteristicile mecanice in stare brut				cod de pro- verificare	caracteristicile mecanice in stare brut			
		Rm N/mm <sup>2</sup>	A5 %	NB 10/1000/ 30 kg	Rm N/mm <sup>2</sup>	A5 %	NB 10/1000/ 30			
760	0,01	142,0	2,40	70,20	190	2,01	152,0	2,60	71,10	
	0,02	154,0	2,40	69,50		2,02	159,0	2,30	71,70	
	0,03	153,5	2,30	71,80		2,03	157,0	2,70	71,70	
	0,04	147,0	2,40	72,10		2,04	156,0	3,20	72,40	
	0,05	154,0	3,20	71,40		2,05	149,0	3,10	70,20	
	0,06	149,0	2,30	70,30		2,06	155,0	2,70	70,90	
	0,07	147,0	2,50	71,20		2,07	159,0	2,90	69,70	
	0,08	152,0	2,70	70,70		2,08	162,0	2,80	70,70	
	0,09	140,0	2,30	70,80		2,09	157,0	2,40	71,40	
	0,10	154,0	3,00	71,20		2,10	150,0	3,20	70,20	
	0,11	160,0	2,30	69,30		2,11	160,0	2,30	69,80	
	0,12	142,0	2,30	70,70		2,12	152,0	2,80	71,20	
Valoarea media		149,5	2,63	70,35	Valoarea media		157,5	2,35	70,90	
330	1,01	164,0	2,70	72,70	100	3,01	170,0	3,00	70,70	
	1,02	160,0	2,70	70,80		3,02	165,0	2,90	70,70	
	1,03	153,5	2,40	71,90		3,03	149,0	3,20	72,40	
	1,04	144,0	2,20	69,50		3,04	153,0	2,80	70,70	
	1,05	147,0	2,20	70,20		3,05	162,0	2,60	71,60	
	1,06	160,0	3,00	71,70		3,06	165,0	2,60	69,70	
	1,07	142,0	2,40	69,50		3,07	153,0	2,60	70,50	
	1,08	150,0	3,20	71,50		3,08	173,0	2,90	71,40	
	1,09	149,0	2,70	70,30		3,09	162,0	2,70	72,50	
	1,10	145,0	2,80	69,80		3,10	159,0	2,90	71,20	
	1,11	152,0	2,90	72,60		3,11	170,0	2,80	70,80	
	1,12	153,0	3,00	72,30		3,12	160,0	3,00	71,70	
Valoarea media		151,6	2,68	71,02	Valoarea media		162,5	2,85	71,17	

Tabel nr.9.1

Nivel de vacu- um mm.col. lig	Cod epru- veta	Caracteristici mecani- ce			Nivel de vacu- um mm.col. Hg	Cod epru- veta	Caracteristici mecani- ce		
		Rm N/mm <sup>2</sup>	S	HE 10/1000/ 30			Rm N/mm <sup>2</sup>	S	HE 10/1000/ 30
50	4,01	162,0	3,20	72,10	20	6,01	169,0	3,40	72,00
	4,02	164,0	2,70	73,60		6,02	175,0	3,50	72,70
	4,03	159,0	2,70	70,70		6,03	175,0	3,20	72,30
	4,04	172,0	3,00	71,20		6,04	182,0	3,90	70,70
	4,06	165,0	3,50	69,80		6,05	173,0	2,90	70,50
	4,06	177,0	2,80	70,50		6,06	159,0	3,30	70,70
	4,07	159,0	2,60	70,20		6,07	172,0	3,40	69,90
	4,08	172,0	3,20	72,50		6,08	167,0	2,80	71,30
	4,09	158,0	2,50	71,70		6,09	180,0	3,50	71,50
	4,10	173,0	2,70	70,70		6,10	174,0	3,50	69,90
	4,11	163,0	3,50	71,60		6,11	158,0	3,00	72,00
	4,12	165,0	2,90	71,00		6,12	170,0	2,90	69,90
Valoarea media		159,1	2,94	71,28	Valoarea media		172,6	3,20	71,12
35	5,01	172,0	3,00	72,70	10	7,01	169,0	3,50	71,30
	5,02	159,0	2,80	72,40		7,02	177,0	3,20	71,70
	5,03	130,0	2,90	71,70		7,03	172,0	3,70	71,70
	5,04	173,0	3,50	70,70		7,04	175,0	3,40	70,30
	5,05	167,0	3,20	70,40		7,05	179,0	4,00	72,10
	5,06	175,0	2,80	69,70		7,06	169,0	4,20	71,30
	5,07	170,0	2,30	59,70		7,07	190,0	3,60	69,30
	5,08	172,0	3,00	72,20		7,08	177,0	3,00	70,50
	5,09	155,0	2,70	71,80		7,09	172,0	3,20	71,20
	5,10	169,0	3,50	71,70		7,10	173,0	3,40	70,80
	5,11	167,0	3,30	71,20		7,11	176,0	3,30	71,40
	5,12	175,0	3,00	69,90		7,12	189,0	3,60	71,00
Valoarea media		172,0	3,04	71,10	Valoarea media		176,5	3,53	71,17

Continuare tabel nr.9.1

Nivel vechiu mm. c.l. Hg	Cod spru- vetă	Caracteristici meca- nicae			Nivel nou mm. col. Hg	Cod spru- vetă	Caracteristici meca- nicae		
		Rm N/mm <sup>2</sup>	A5 %	HB 10/2000/ 30			Rm N/mm <sup>2</sup>	A5 %	HB 10/2000/ 30
5	5,01	177,7	4,10	70,50	$5 \cdot 10^{-2}$	10,01	132,0	6,80	52,40
	5,02	172,0	3,80	71,70		10,02	133,0	5,60	50,20
	5,03	155,0	3,60	70,30		10,03	133,0	6,20	49,30
	5,04	184,0	3,50	72,60		10,04	129,0	6,40	49,80
	5,05	192,0	3,00	71,70		10,05	136,0	5,80	48,20
	5,06	179,0	3,80	71,60		10,06	130,0	7,10	50,20
	5,07	175,0	4,00	72,10		10,07	123,0	6,20	51,20
	5,08	182,0	3,80	71,80		10,08	132,0	5,90	49,60
	5,09	190,0	3,20	70,50		10,09	130,0	6,40	53,50
	5,10	182,0	3,60	72,30		10,10	136,0	7,10	52,90
	5,11	178,0	3,50	71,20		10,11	140,0	8,30	53,00
	5,12	189,0	4,20	70,70		10,12	132,0	7,20	51,90
Valoare medie		182,2	3,68	71,54	Valoare medie		133,1	6,67	51,00
10 <sup>-1</sup>	9,01	149,0	4,40	55,10					
	9,02	153,0	3,80	54,40					
	9,03	139,0	5,20	55,10					
	9,04	145,0	5,10	57,30					
	9,05	150,0	3,60	56,50					
	9,06	155,0	4,20	55,90					
	9,07	140,0	4,00	54,90					
	9,08	153,0	4,70	54,30					
	9,09	142,0	5,10	56,50					
	9,10	147,0	5,00	57,20					
	9,11	151,0	4,70	54,10					
	9,12	149,0	4,10	57,50					
Valoarea medie		145,4	4,50	55,56					

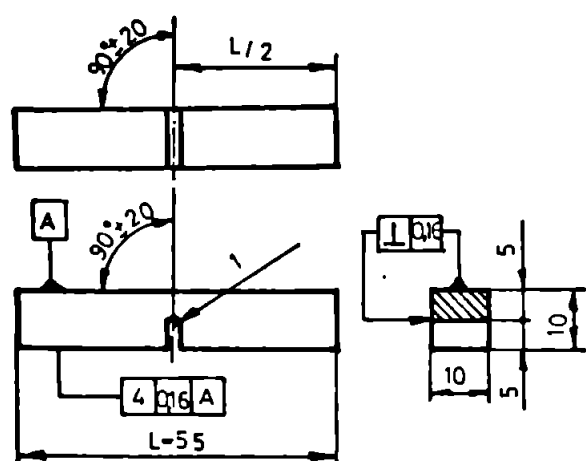
Din studiul preliminar al valorilor obținute se restringe domeniul nivelului de vid inițial de  $3 \times 10^{-2}$  mm.col.Hg., la zona optimă de 35-5 mm.col.Hg., în care valorile determinate se situează la nivele maxime.

La aceste valori ale vîntului aplicat, s-au realizat experimentările pentru determinarea influenței prelucrării termice în stare solidă, asupra caracteristicilor mecanice, în cadrul seriei a două de testări.

Lufindu-se ca bază variantele de tratament termic din tabelul nr.5.5, desfășurat după diagrama din figura 4.1, s-au executat lucrări variind, în prima fază temperatura mediului de călare, la aceeași temperatură de punere în soluție, iar în faza a doua, considerind ca optimă temperatură de călare în ulei la  $80^{\circ}\text{C}$ , s-a variat temperatura polimerului de menținere pentru punere în soluție.

Epruvele de încercări s-au turnat și prelucrat în același condiții cu cele din prima serie. În plus s-a cercetat și varianța rezistenței la soc (reziliență) deoarece, în valorile ei se reflectă, în măsură hotărâtoare gradul de mîruntire a structurii prin efectul de modificare și gradul de eliminare a gazelor renunțate din topitură, datorită depresiunii create.

Epruvele de reziliență, prelucrate la dimensiunile din figura 9.2, conform STAS 1400-75, au fost testate prin metoda încercării prin soc, pe epruvetă cu creșătură în „U”, la temperatură ambientă, cu un ciocan pendul, cu energie potențială de  $150 \pm 5 \text{ J}$  .(tip KCU 150/5/10).



**Fig.9.2**  
Epruveta pentru testarea rezilienței

Valorile obținute în seria a două de experimentări, sunt prezentate în tabelul 9.2, pentru starea condiționată termic (tratamente termice la parametrii diferiți) și la diferite nivele de vînt (Anexa IV ).

## CAPITOLUL X - ANALIZE STRUCTURALE

### 10.1 Prelevarea și pregătirea probelor metalografice

In vederea efectuării analizei structurale, eșantioanele metalografice s-au prelevat și pregătit conform STAS 4203-74, astfel, în funcție de scopul urmărit și metoda de analiză utilizată s-au prelevat eșantioane metalografice în felul următor:

- a - pentru studiul influenței nivelului de vid și a traiectoriei termice asupra structurii, s-au turnat, în coahila prezentată în fig.10.1, serile de eșantioane metalografice necesare analizei microstructurale și roentgen-structurale;

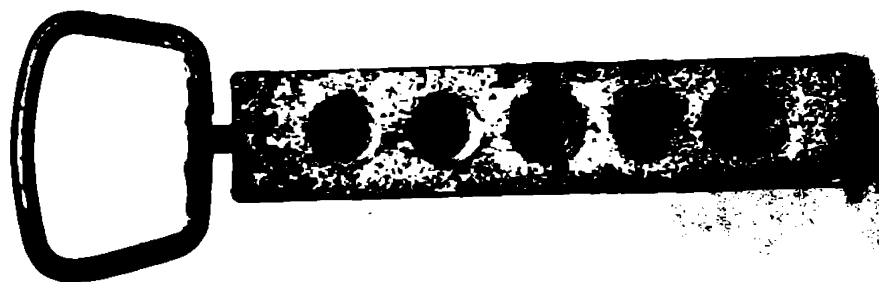


Fig.10.1  
Coahila pentru eșantioane metalografice

- b -

pentru determinarea influenței parametrilor cercetării, s-a măsurat densitatea eșantioanele metalografice, din probele termologice turnate din AT3-gh, în atmosferă și în vid. De asemenea, pentru studierea comportării aliajului prin dilatacție, s-a măsurat și prelucrat probe speciale din aliajul cercetat, turnat în vid și în atmosferă.

În urma prelevare eșantioanele metalografice au fost pregătite prin prelucrări secundare, polizare groasă și lustruire fină cu

hirtie abrazivă. Șlefuirea finală s-a efectuat în mediu umed, cu emulsie de aluminiu, pe discuri de piatră fină.

Aragatirea metalografică s-a efectuat fără a depăși temperatură de  $35-40^{\circ}\text{C}$  pînă la expunerea în lumen, pentru a nu influența strucțura sa rea la.

Sărimea de grăunțe s-a determinat pe secțiuni longitudinale prin probele în trepte turnate și condiționate termic în diversele variante studiate: rolucate secante, polizate, șlefuite și lustruite, probele, încăstrate anterior în răgină epoxidică DINOK -10 P, cu întărire la rece, sunt prezentate în figura 10.2.

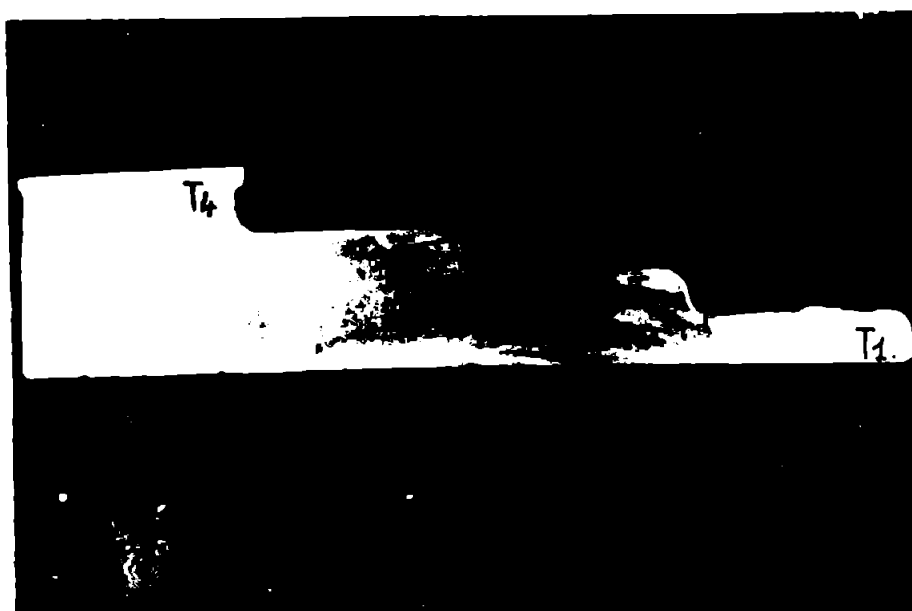


Fig.10.2  
Secțiune longitudinală pentru  
determinarea sărimei de grăunțe

Codificarea opțiunilor, în funcție de parametrii cercetați și metoda de cercare este prezentată în tabelul nr.10.1 (Anexa IV).

Rezultatul metodelor folosite la studierea microstructurii aliagului AT-100 sunt redăgi în tabelul 10.2.

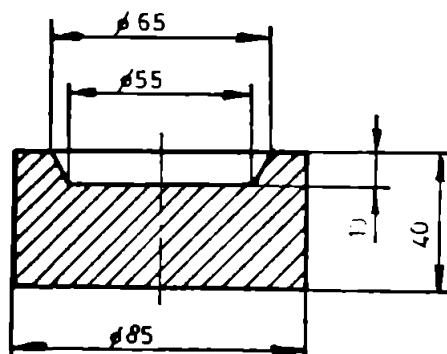


Fig.10.3  
Cochile pentru probe macro ( $\varnothing$  55)

Tabelul nr.10.2  
Reactivi metalografici

Cod reac- tiv	Denumire reactiv	Compozitie reactiv	Conditii de atac	Destinatie
R <sub>1</sub>	Acid fluor-hidric HF.1	1cm <sup>3</sup> HF + 100 cm <sup>3</sup> H <sub>2</sub> O	temp=15 sec. temp.=20°C imersare	Evidențiază structura aliajei lor Al-Vg
R <sub>2</sub>	KELLER	10 cm <sup>3</sup> HF+15cm <sup>3</sup> HCl+25cm <sup>3</sup> HNO <sub>3</sub> +95cm <sup>3</sup> H <sub>2</sub> O	temp=10-20 sec. temp.=20°C imersare	Pune în eviden- ță limita de cristal în alia- jele AlMg-MgCr
R <sub>3</sub>	Soluție con-	0,5cm <sup>3</sup> HF+1,5cm <sup>3</sup> HCl+2,5cm <sup>3</sup> HNO <sub>3</sub> +95,5cm <sup>3</sup> H <sub>2</sub> O	temp=15 sec. temp.=20°C imersare	Hg <sub>2</sub> Si - dislocut prin dizolvare
R <sub>4</sub>	Acid fluor-hidric 5.1	5,1cm <sup>3</sup> HF+95cm <sup>3</sup> alcool etilic	electrolitic temp=15 sec. temp.=20°C	Evidențiază ur- mele de coroziu- ne.
R <sub>5</sub>	Acid azotic	65cm <sup>3</sup> HNO <sub>3</sub> +35cm <sup>3</sup> alcool etilic	electrolitic temp.=20°C temp= 5 sec.	Evidențiază struc- tura și compuși în aliajele de aluminiu
R <sub>6</sub>	Heller	1,0cm <sup>3</sup> HF+1,5cm <sup>3</sup> HCl+2,5cm <sup>3</sup> HNO <sub>3</sub> +95 % H <sub>2</sub> O	temp:15-20sec temp:20°C imersare sau tamponare	Reactiv micro ptr.evidențierea compușilor și fu- zelor în aliaje de aluminiu
R <sub>7</sub>	Hidroxid de sodiu	5gr.NaOH+100cm <sup>3</sup> H <sub>2</sub> O	tamponare la 20°C	După etacul cu HNO <sub>3</sub> 65.6-electro- litic ptr.relie- farea coroziunii.

#### 10.2. Determinarea macrostructurii și a cărimii de grăunte

Determinarea macrostructurii aliajului AT4GIC, s-a efectuat în vederea corectării influenței unor factori fizico-chișici și tehnologici asupra structurii și a cărimii de grăunte.

Astfel, pentru determinarea influenței vitezai de răcire, controlată prin temperatură de preincălzire a cochilei și prin viteză ei de răcire, s-a obținut o variație a mărimei de grăunțe, prezentată în microstructurile din figura 10.4(a-d). Studiul influenței vitezai de răcire s-a efectuat pe eșantioanele 021, 022, 023 și 024 turnate în cochilă, cu diametrul de 55 mm.

Viteză de răcire, a fost dirijată în felul următor :

a - pentru eșantionul 021, fig.10.4.a :

- cochila s-a preincălzit la temperatură de  $125^{\circ}\text{C}$ , în cuptor de laborator cu termostatare ;
- turnarea aliajului, s-a făcut la temperatură de  $650^{\circ}\text{C}$  ;
- după turnare, cochila s-a răcitat imediat în apă ;
- timpul de solidificare și răcire a fost de cca.30 sec.

b - Pentru eșantionul 022, fig.10.4.b :

- cochila s-a preincălzit la temperatură de  $200^{\circ}\text{C}$ , în același mod;
- temperatură de turnare a aliajului:  $650^{\circ}\text{C}$  ;
- după turnare, cochila s-a răcitat cu curent de aer sub presiune ;
- timpul de solidificare și răcire a fost de cca.60 sec .

c - Pentru eșantionul 023, figura 10.4.c.

- cochila s-a incălzit la temperatură de  $275^{\circ}\text{C}$ , în cuptor termostatat ;
- temperatură de turnare a aliajului,  $650^{\circ}\text{C}$  ;
- după turnare, cochila s-a răcitat liber, în atmosferă ;
- timpul de solidificare și răcire a fost de cca 2 min.

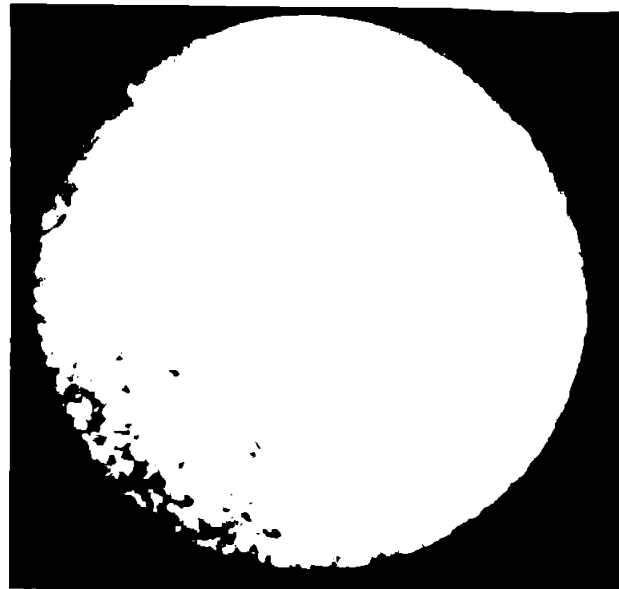
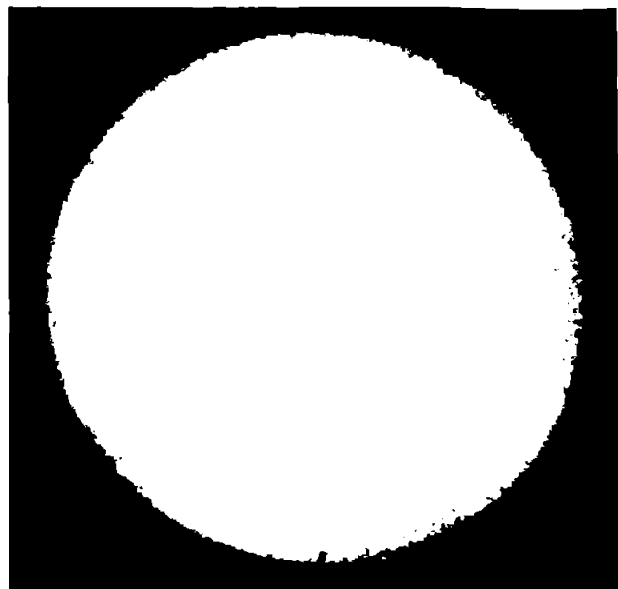
d - Pentru eșantionul 024, figura 10.4.d.

- cochila s-a incălzit la temperatură de  $300^{\circ}\text{C}$ , în cuptor termostatat ;
- temperatură de turnare a aliajului,  $650^{\circ}\text{C}$  ;
- după turnare, cochila s-a răcitat dirijat, fiind învelită cu un strat termozolant de azbest și vată de sticla ;
- timp de solidificare și răcire = cca.13 min.

In vederea testării influenței tipului precum și a cantității de modifier s-a efectuat o a doua serie de eșanțioane, studiate macrostructural pentru determinarea mărimei de grăunțe.

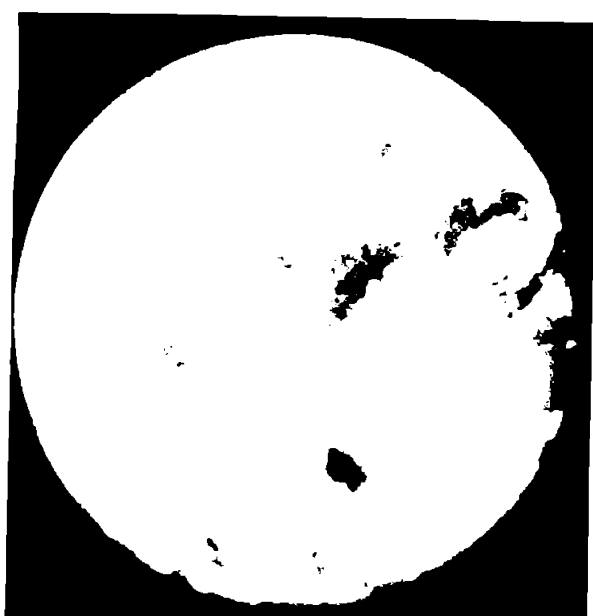
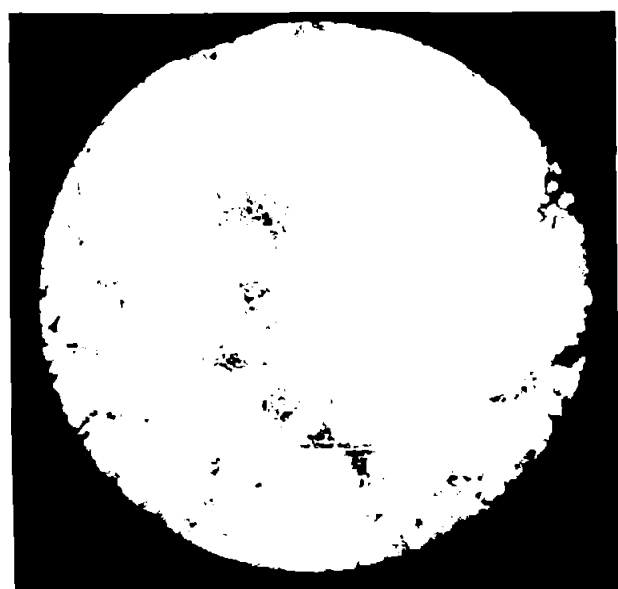
Eșantioanele de studiu au fost: 011-015, și s-au turnat într-o formă metalică specială, cu grosime uniformă de perete pentru a uniformiza gradientul termic la solidificare și răcire.

2. 15. 2012  
2012-02-15



2. 15. 2012  
2012-02-15

2. 15. 2012  
2012-02-15



2. 15. 2012  
2012-02-15

2. 15. 2012  
2012-02-15

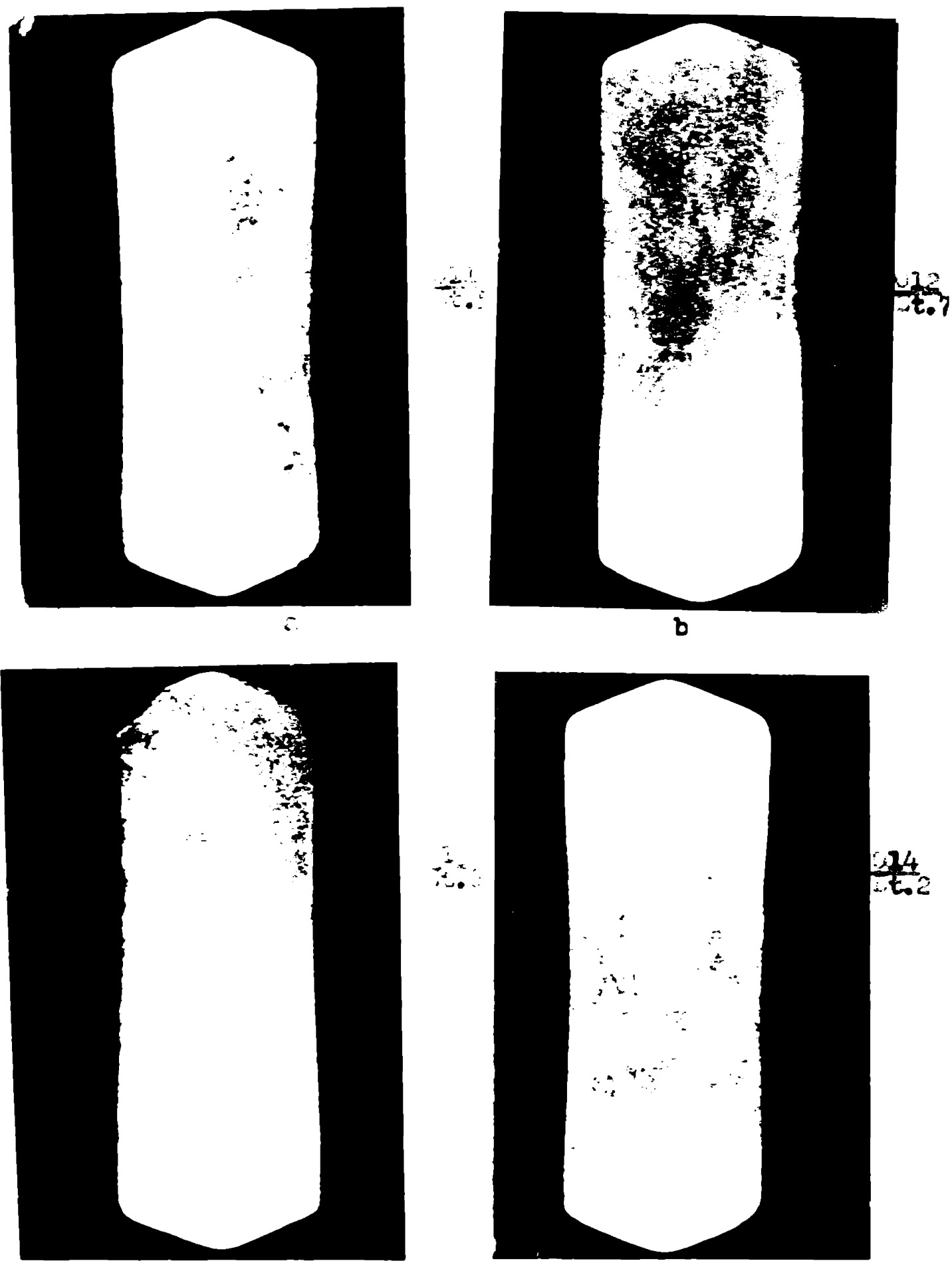


Fig.14.5  
Influență elementelor modificatoare asupra  
structurii carburatelor de graurite  
 $12 \cdot 13 \cdot 14 \cdot 15 \times 1$



Fig.10.5.e

Astfel, aliajul el borat și turnat în condiții de vid (n. m. col. N<sub>g</sub>), s-a studiat, în următoarea paragrafă de lucru constantă:

- 019 - temperatură de acoperire: t<sub>1</sub>.3 = 650°C ;
  - temperatură de turnare: 550°C ;
  - viteza de racire: cca. 500 - 600°C/min;
  - compoziție chimică varianta C 2 + 0,2 - 0,4 ;
  - temperatură de preîncalzire a coahilicii: cca. 250°C ;
- și la diversele tipuri de modificatori, cu care urmează:
- echantionul 011 - element modificador: < 1,5% Ti ;

- echantionul 012 - modificator complex: Cu + Ti + Cr + V, ~ 7% ;
- echantionul 013 - element modificador: V, 1,5 - 2,0% ;
- echantionul 014 - element modificador: V, 1,5 - 2,0% ;
- echantionul 015 - element modificador: V, 2,0 - 2,5% Ti ;

Din studiul aspectelor metaleografice prezentate în figura 10.5, realizate prin fotografiiile în sărirea(xl), pe exemplul aliajului în stare brut turnată se observă cum, la creșterea procentului de element modifier, în special peste valoarea de 0,4%, se evidențiază o creștere a mărimi de granule, astfel că la peste 0,5% element modifier, grăuntele cristalului este mai mare chiar decât aliajul în stare non-modificată, cu viteză moderată de racire, prezentat în figura 10.4.b.

Pentru cercetarea variației mărimi de granule cu grăuntele de poros, s-a efectuat un studiu asupra echantionelor 010-017, prelevate prin secțiuni longitudinale a probelor în trepte, apoi cum se arată în fig.10.2. Cercetarea s-a efectuat pe echantioane în stare brut turnată, la diferite viteze de racire la solidificare, turnate din aliaj AT100, elaborat la diferite niveluri de vid. Se menționează că vitezele de racirele 1. solidificare obligeante sunt cele prezentate în Cap.V în tabelul 5.3.

"Spatiale metalografice obținute sunt date în fig.10.6., prin

fotografiere, la mirirea(x1). Eșantioanele au fost secționate la limita treptelor T2/T3 pentru a se putea obține o fidelitate mai bună la fotografiere. (Anexa IV).

După secționare acestea au fost îmbrătate în rășină epoxidică DINOK 010 P, cu întârziere la recu pentru o mai bună pregătire metalografică.

Rezultatele determinărilor mărimiilor de grăunțe, executate conform STAS 10013-75, prin metoda comparației, după scara etaloanelor și prin metoda măririi grăunților, sunt prezentate, pentru toate variantele studiate în tabelul nr.10.3. (Anexa IV).

Eșantioanele 071; 74 și 077 au fost testate prin ambele metode de determinare a mărimiilor de grăunțe, microstructura lor fiind prezentată în figura 10.13, la celelalte determinări efectuindu-se mai prin metoda comparației imaginii la mirirea(x100), plasată pe ecranul microscopului NEOPHOT 2(Karl Zeiss Jena - RDC), cu etaloanele scării 1 din STAS 10013-75. (Anexa IV).

Determinarea mărimiilor de grăunțe prin metoda măririi lor s-a efectuat, conform STAS 10013-75, pe un cimp din imaginea fotografiei microstructurii realizată la mirirea(x100), de formă dreptunghiulară, cu dimensiunile 91x55 mm.

Atasul metalografic s-a realizat, pentru cercetarea macrostrukturii cu reactiv KILLER(R2, din tabelul 10.2), cee puse în evidență, mai bine, limita de cristal, iar microstructurile din figura 10.13, pentru eșantioanele 071; 74; 077, au fost atașate cu HF 1 % (r.1 din tabelul 10.2).

### 10.3. Determinarea microstructurii

#### Faze și constituenți

Studiul microstructurii aliajului ATCMg10 constituie principialul obiectiv al cercetărilor efectuate în cadrul acestei lucrări.

Efectuat cu scopul de a pune în evidență modificările structurii în funcție de diferenții parametrii fizico-dinamici și tehnologici, acest studiu are ca finalitate fundamentarea variabilității caracteristicilor fizico-mecanice și tehnologice cu tipul și mărimea structurii, primare și secundare, concluzionarea realizându-se printr-o optimizare a tipului de structură maxim favorabil.

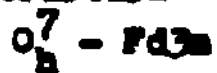
Pentru aceasta s-a elaborat o schemă de variabilitate a structurii sub influența a o serie de parametrii, din sinteza căreia să se obțină concluziile teoretice și tehnologice optimale.

Această schemă de cercetare a morfologiei structurii, cuprinde următorii parametri variabili, ce sunt cuprinși în tabelul nr. 10.4.

In general structura aliajului ATCMg10, elaborat din materii prime de înaltă calitate modificat și condiționat termic se pune în evidență, la cercetarea microstructurală, următoarele faze și constituenți:

- soluția solidă de aluminiu SS  $\alpha$  (Al), ea nuă metalică de bază, cu structură cubică cu fețe centrate (c.f.c.) ;

- constituentul intermetalic  $\beta$  ( $Al_3Mg_2$ ), cristalizează în sistem cubic cu fețe centrate cu 1173 atomi în celula elementară cu  $a_0 = 28,13 \text{ \AA}$  [20], cu structură



Alte lucrări indică pentru acest constituent structură hexagonală cu  $a_0 = 11,40 \text{ \AA}$  și  $c_0 = 17,91 \text{ \AA}$ , temperatura lichidus ne-echimixind cu compozitia sa stoichiometrică (40 % at.Mg), fiind deplasată la valoarea de 41 % at.Mg la  $451,5^\circ C$ , sau romboedrică cu  $a_0 = 4,68 \text{ \AA}$ . Se separă la limita cristalizator continuu - în stare brut turmată și discontinuu (perlă) după condiționare termică. De fapt acest fenomen de perlare, în urma tratamentului termic optimizat încrășterea substanțială a rezistenței la coroziune.

- constituentul intermetalic  $Mg_2Si$ , cristalizează, în sistem romboedric tip  $Fm\bar{3}m$  cu  $a = 6,35 \text{ \AA}$ , se separă intercrystalin, în structura brut turmată a aliajului elaborat în atmosferă sau la

vid grosier și dispersat fin în masa metalică de SS  $\alpha$  (Al), la nivele de vid superioare.Peste și limitant la limite graniților de SS  $\alpha$  (Al), sub formă de încuiile de  $(Al_3Fe_2 + Mg_2Si)$ , la un tratament termic cu temperatură de punere în soluție plasată sub valoarea ce asigură o solubilitate totală a acestui constituant, în soluția solidă SS  $\alpha$  (Al) pentru asigurarea durificării structurale;

- constituentul intermetallic  $Al_3Ti$ , cristalinizând în rețeaua tetragonală cu  $a_0 = 5,42 \text{ \AA}$  și  $c_0 = 8,57 \text{ \AA}$ .Se separă intracristalin, între amale dendritelor de SS  $\alpha$  (Al), cu formarea unor daghetă simple sau ramificate cu lungimi cuprinse între 50-200  $\mu$  și grosimi de 2-10  $\mu$ m. Format în urma reacției în fază lichidă, cu SS  $\alpha$  (Al), compusul  $Al_3Ti$  constituie germenii de cristalizare cu efect modificator, de finisare a structurii.Plasat interdendritic și având o duritate mare(  $\sim 740 \text{ HV}$  la  $5\mu$  ),  $Al_3Ti$  conduce la frinarea creșterii dendrelor și daci la obținerea unei结构uri deosebit de fine, dar pînă la concentrații de max.0,3 % Ti în aliajul elaborat.Peste această concentrație apare fenomenul de supraremodificare evidențiat prin creșterea mărimi granițelor cristalin.In figura 10.7 se prezintă o astfel de separare caracteristică a compusului  $Al_3Ti$ , în care se evidențiază clar efectul de bariere în calea dezvoltării granițelor de SS  $\alpha$  (Al).

Consider că acest efect al constituentului  $Al_3Ti$  poate fi demonstrat, în urma unor cercetări mai aprofundate unul din aspectele fizice ale fenomenului de modificare.



Fig.10.7  
Constituentul intermetallic  $Al_3Ti$   
SS  $\alpha$  (Al)+ $Al_3Ti$   
atm: $HNO_3$ , 65% electrolitic eeller;  $\times 1000$

1 61.000	10.10.	A	12/01.13	3.000	12/01.13	3.000	12/01.13	3.000	12/01.13	3.000	12/01.13	3.000
			12/01.13	3.000	12/01.13	3.000	12/01.13	3.000	12/01.13	3.000	12/01.13	3.000
			12/01.13		12/01.13		12/01.13		12/01.13		12/01.13	

Papelaria nr. 10.4  
Schemma certyfikatów morfologicznych strukturalnych i kryształowych wyciągów

- constituentul intermetalic  $\text{Al}_3\text{Zr}$ , cristalizat în sistem tetragonal cu  $a_b = 3,00 \text{ \AA}$  și  $c_b = 3,24 \text{ \AA}$  [20] sau  $a_b = 4,013 \text{ \AA}$  și  $c/a = 4,316$  și  $c_b = 17,320 \text{ \AA}$ , tip DD 23 [16]; el se formează la 47,01 % Al și temperatură de  $1530^\circ\text{C}$ . Din acest motiv, separarea și evidențierea sa în structură nu se poate observa, la concentrații sub 0,5 %, la care se utilizează, deficit prin efectul său modificator. Se observă cum la creșterea concentrației sale se mărește grămeata cristalin (fig.10.8-10.9)

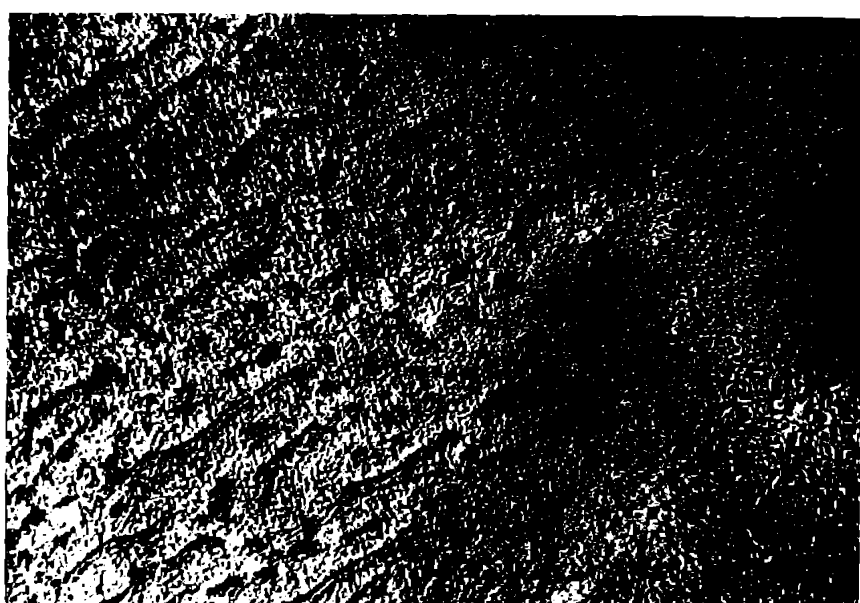
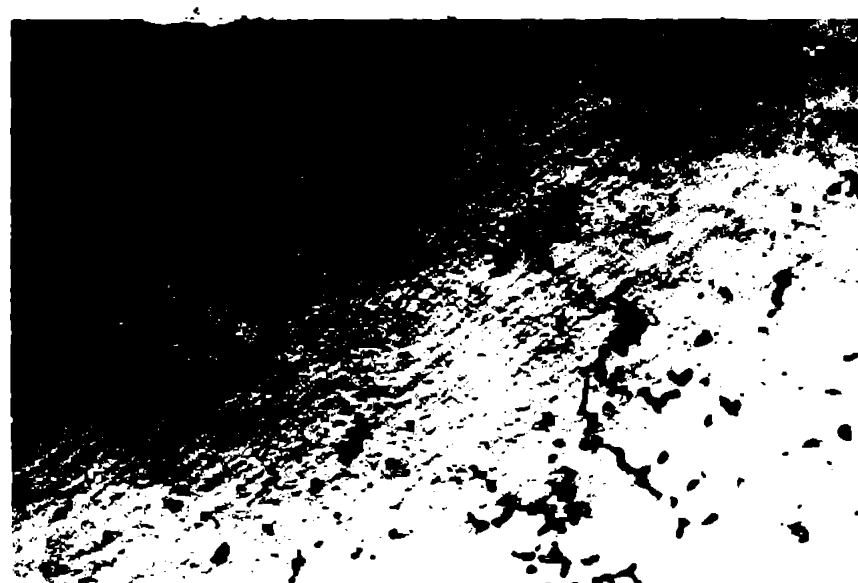


Fig.10.8  
Aliaj modificat cu 0,2 % Zr - Etalon 7  
- atac  $\text{HNO}_3$  65 %, electrolitic-Heller/x200



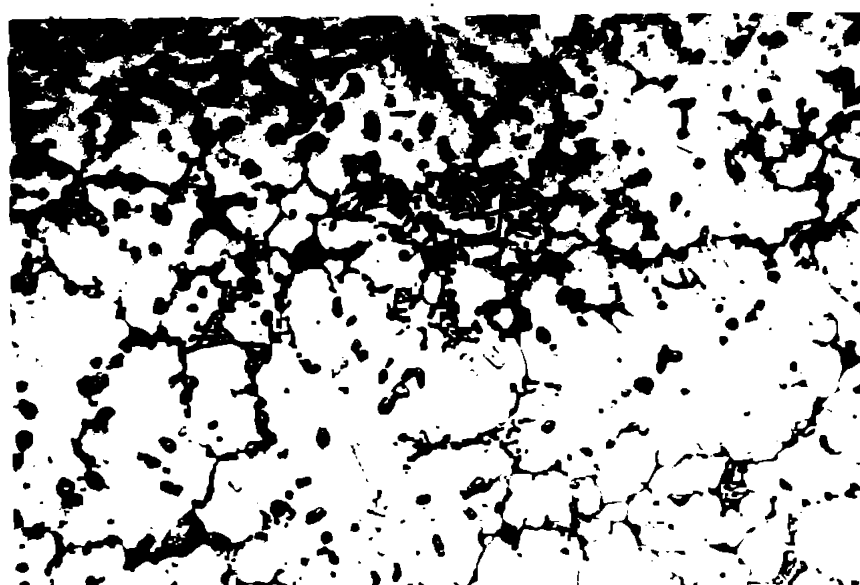
Fig.10.9  
Aliaj modificat cu 0,5 % Zr - Etalon 5  
- atac  $\text{HNO}_3$  65 %, electrolitic-Heller/x200

In vederea cercetarii microstructurii aliajului ATCMg10 s-a prelevat esantioane din probele în trepte și s-a turnat în cochiila specială din fig.10.1. După pregătirea preliminară, metalografie și atacul cu reactivii prezentați în tabelul 10.2, eșanturile au fost studiate în lumină monocromatică (lampă cu xenon) pe un microscop metalografic tip KEPHOT 2 (Karl Zeiss Jena-RDG). Microstructurile obținute sunt date în fig.10.10-10.14.



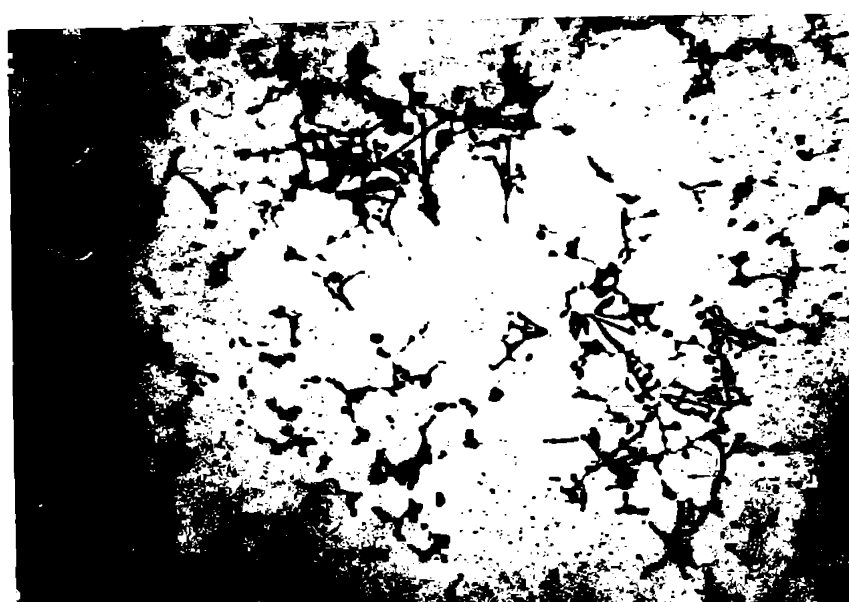
001

- a - ATCMg10 cu 0,2 % Si - nemodificat  
HF 1 % x 200



002

- b - ATCMg10 cu 0,4 % Si - nemodificat  
HF 1 % x 200



003

- c - ATCMg10 cu 0,6 % Si - nemodificat  
IF 1 / X 200  
Fig.10.10

Influenta conținutului în siliciu asupra structurii brut turnate a aliajului ATCMg10, elaborat în vid la  $p=20$  mm.col.Hg(varianță C2/N2)

- Pentru determinarea schimbărilor structurale survenite prin varierea conținutului în siliciu s-a efectuat o gamă de experimentări cu concentrații de 0,2-0,6 % Si, pe aliajul ATCMg10, elaborat în condiții de vid( $p=20$  mm.col.Hg), cu compozitie chimică corespunzătoare variantei C2/N2. Studiul microstructurii brut turnate, nemodificată, redat în fig.10.10, evidențiază o creștere progresivă a cantității de  $Mg_2Si$ , la mărirea conținutului în siliciu.

Influența conținutului în magneziu, asupra structurii aliajului ATCMg10, elaborat în vid( $p=100$  mm.col.Hg) este dată în figura 10.11. La creșterea conținutului în magneziu în domeniul 8-12 %, structura primară obținută conduce la următoarele constatări:

- la creșterea % Mg se înregistrează o creștere echivalentă a separărilor de  $\beta$  ( $Al_3Mg_2$ ), atât ca formă cît și ca mărime, la conținuturi de peste 10 %, începând să se organizeze o separare mai netă, la limita cristalizator de  $SS\alpha (Al)$ ;

- o dată cu mărirea conținutului în magneziu se înregistrează și o diminuare sensibilă a mărimii de grămezi.

Elaborarea în vid la  $p=100$  mm.col.Hg, s-a realizat pe considerentul posibilității de evaporare a conținutului în magneziu, la concentrații mai mari de 10 %. În acest din urmă caz, conținuturi de 10-12 % Mg, pot deplasa echilibrul stării lichide, modificând tensiunea de vaporizare la nivalele de vid sub 50-100 mm.

col.Hg, putină apare fenomen de evaporație a acizinelor.



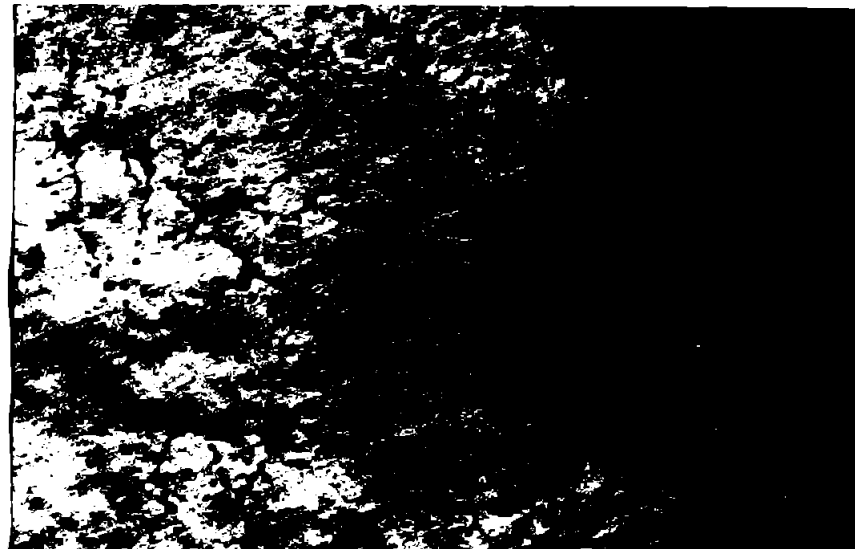
041  
5t.2

a - Aliaj cu 8 % Mg - modificat  
HF 1 %      x 100



042  
5t.3

b - Aliaj cu 9 % Mg - modificat  
HF 2 %      x 100



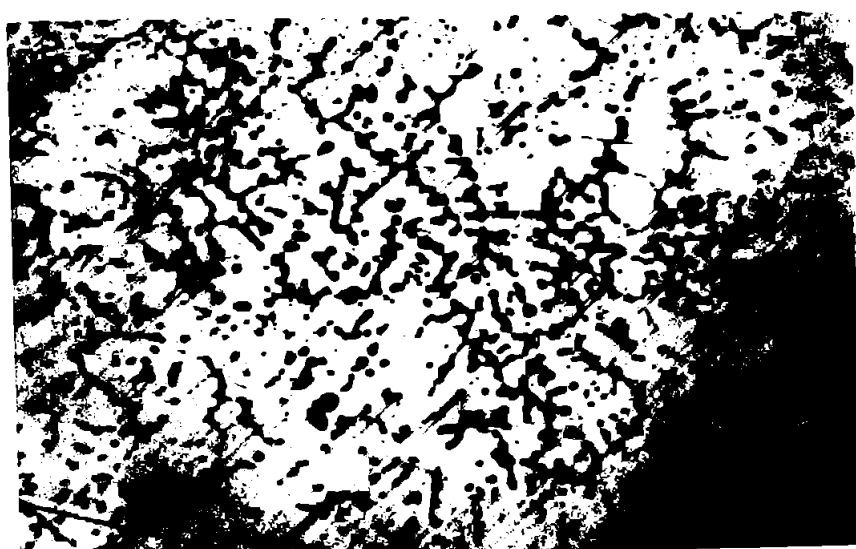
043  
Et.3

c - Aliaj cu 10 % Mg - modificat  
HF 1 %  $\times 100$



044  
Et.4

d - Aliaj cu 11 % Mg - modificat  
HF 1 %  $\times 100$



045  
Et.6

e - Aliaj cu 12 % Mg - modificat  
HF 1 %  $\times 100$

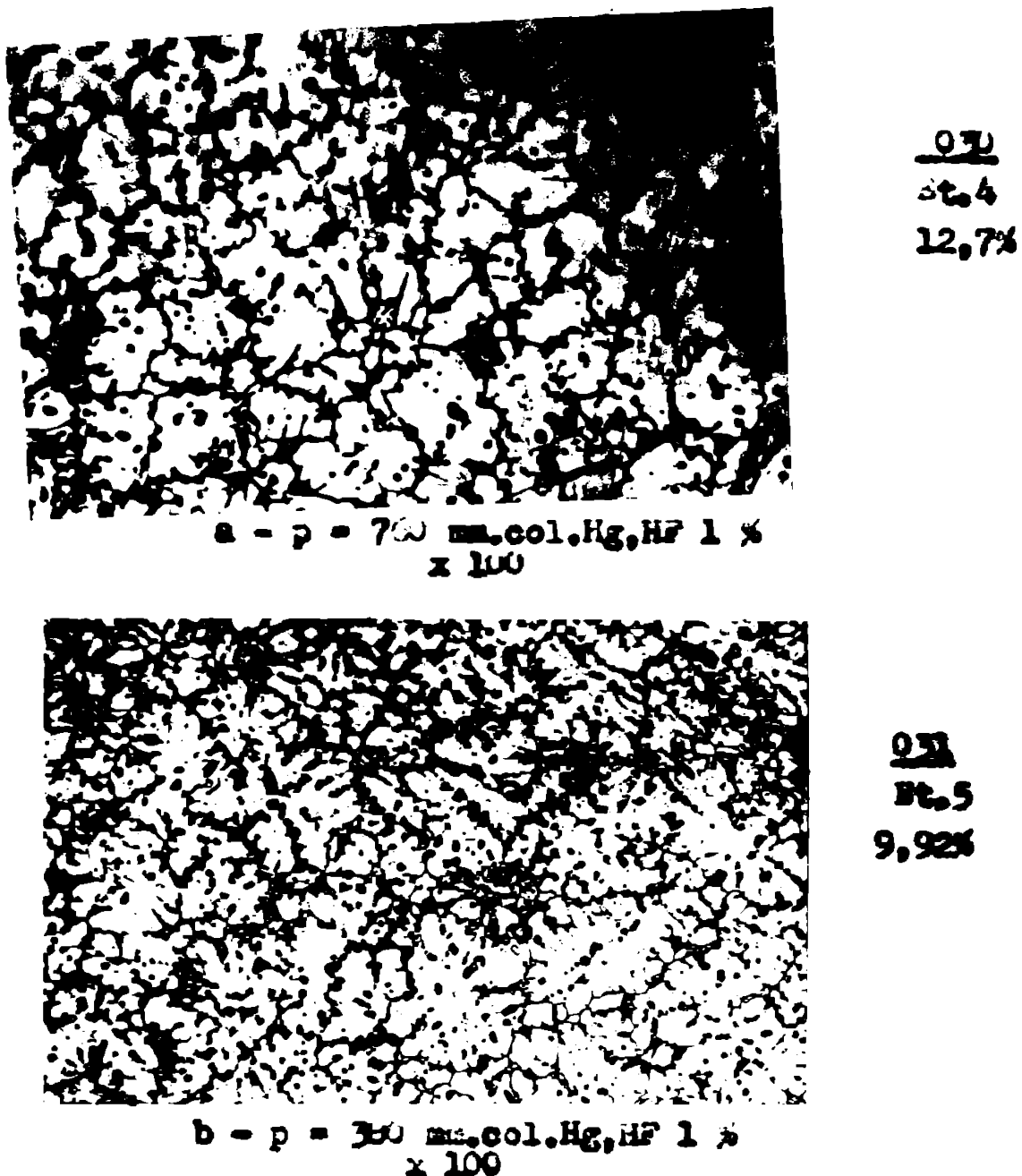
Fig.10.11

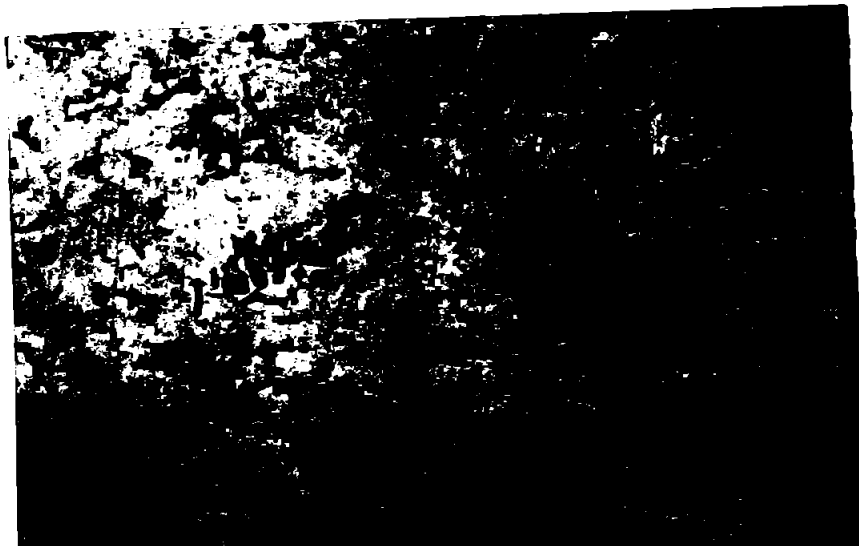
Influența conținutului în magneziu asupra structurii aliajelor Al-Mg, elaborate în viață la  $p = 100$  mm.col.Hg  
( aliaj modificat)

Totodată creșterea conținutului în magneziu, în domeniul de la 8 la 12 %, are implicații substanțiale asupra parametrilor tratamentului termic, în special asupra temperaturii de punere în soluție, al cărui palier se deplasează spre temperaturi mai înalte, o dată cu creșterea conținutului în magneziu din aliaj.

- O altă serie de experimentări s-au făcut cu scopul de a determina influența nivelului de vid, la elaborarea aliajului ATNglM asupra structurii sale primare. Aliajul elaborat a avut compozitia chimică corespunzătoare variantei C2/M2 (tabelul 8.3).

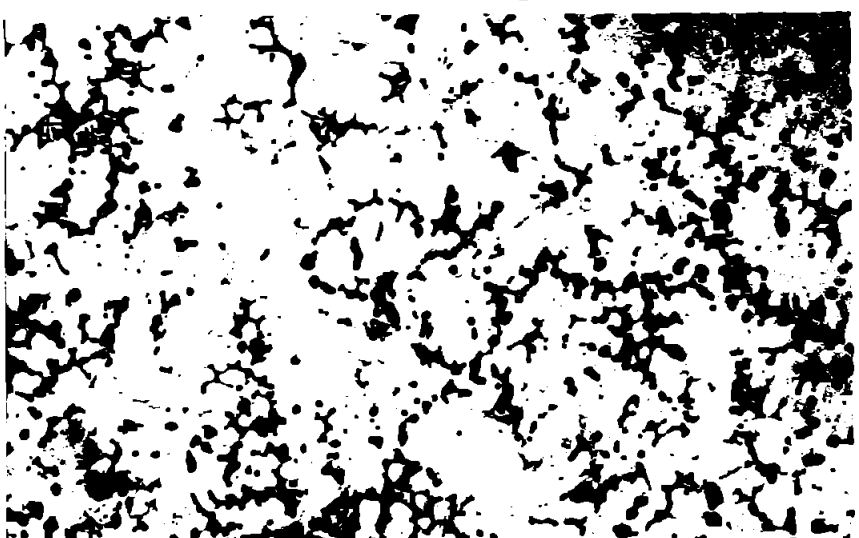
Aspectele metalografice obținute în urma ceroetirii micro-structurii sunt date în figura 18.12.





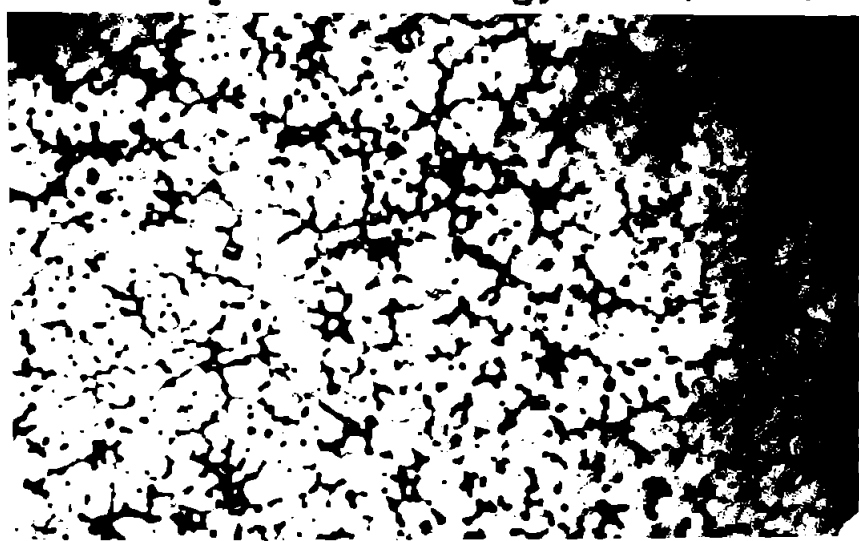
0.52  
Et.3  
8.43 %

c - p=190 mm.col.Hg, HF 1 % x 100



0.53  
Et.3  
8.30 %

d - p=100 mm.col.Hg, HF 1 % x 100

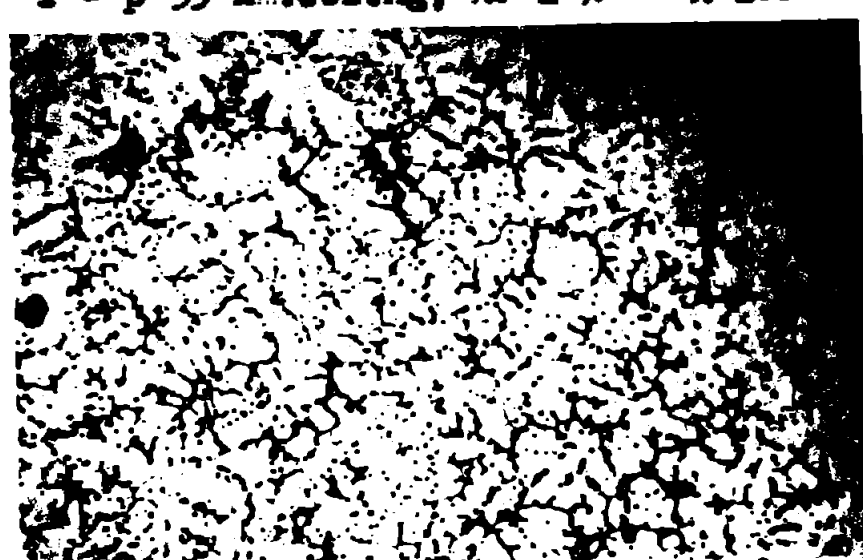


0.55  
Et.5  
9.69 %

e - p=50 mm.col.Hg, HF 1 % x 100

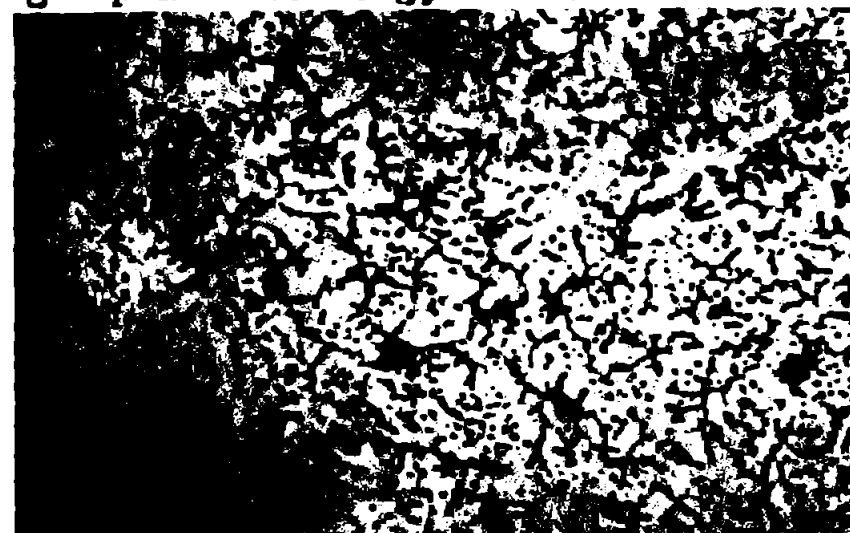


0.55  
Et.6  
10,96%



0.36  
Et.6  
11,03%

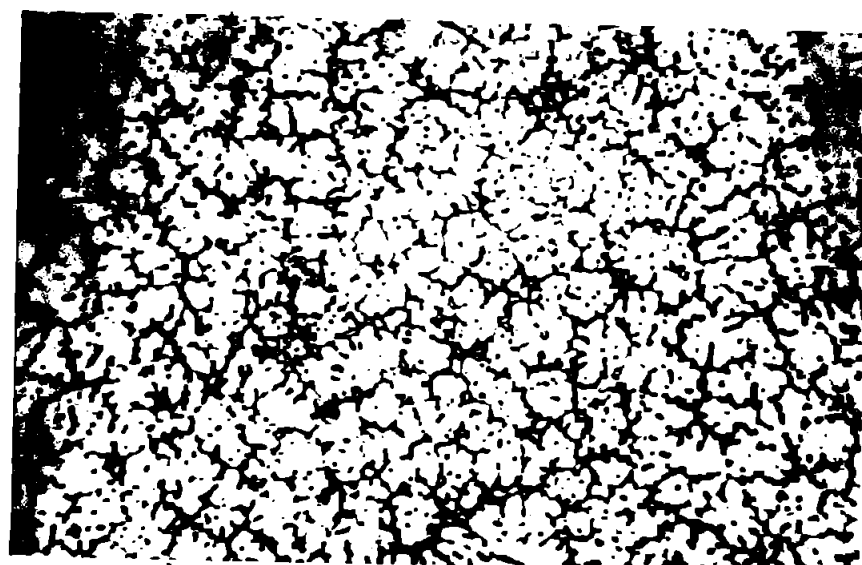
f - p=35 mm.col.Hg, HF 1 % x 100



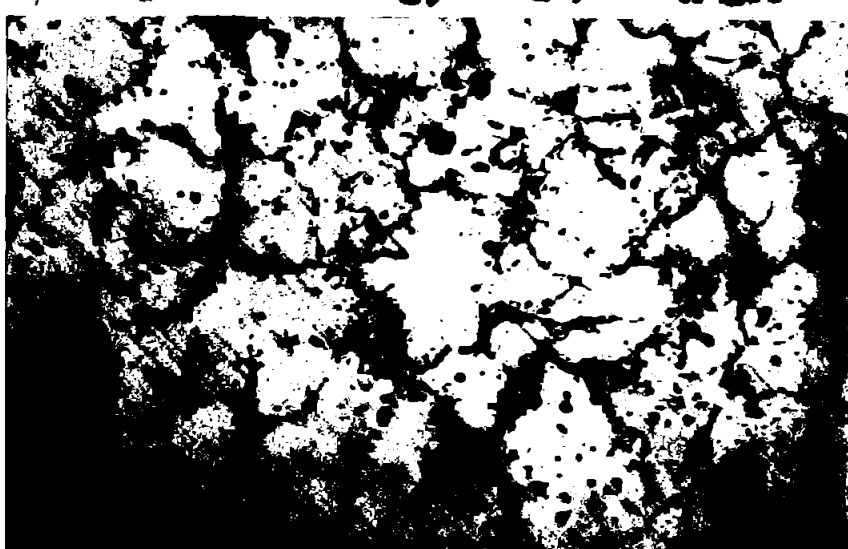
0.57  
Et.6  
11,34%

g - p=20 mm.col.Hg, HF 1 % x 100

h - p=10 mm.col.Hg, HF 1 % x 100

I -  $p=5 \text{ mm.col.Hg}$ , HF 1%  $\times 100$ 

036  
Et.5  
11,02%

J -  $p=10^{-1} \text{ mm.col.Hg}$ , HF 1%  $\times 100$ 

039  
Et.3  
4,54%

K -  $p=5 \cdot 10^{-2} \text{ mm.col.Hg}$ , HF 1%  $\times 100$ 

040  
Et.2  
1,86%

Fig.10.12

Influenta nivelului de vid, la elaborare-turzare asupra structurii aliajului ATC4g10 modificat.  
Structura brut turzata, varianta C2/M2

Studiul acestor microstructuri prezintă o variație accentuată a mărinii de grăunți cu nivelul de vid la elaborare. Se înregistrează astfel o creștere a numărului de grăunți pe unitatea de suprafață, concomitentă cu finisarea structurii, datorită amplificării efectului modificator al elementelor specifice (Ti, Zr).

Acest fenomen se explică printr-o creștere a eficacității modificatorului datorită:

- utilizării integrale, la nivale de vid ridicate (75-10 mm. col.Hg), a modificatorului prin reducerea integrală a ardărilor înregistrate la desfășurarea procesului de elaborare în atmosferă normală (760 mm.col.Hg) pe de o parte;

- purificarea avansată a topiturii înregistrată la nivale superioare de vid, duse la o stare de excitație termodinamică a stării lichide a aliajului ce crează prezilele unei activități mai intense a efectului de modificare. De altfel, în lipsa elementelor de modificare, aliajul are tendința de a forma o structură primară cu atit mai grosieră ca să crească nivelul de vid. Această predispoziție este determinată de reducerea la minim a incluziunilor din topitură, cu efect de centri exogeni de cristalizare. Acest fenomen este confirmat, în cadrul ceretărilor de acțiunea elementelor de modificare, intensificată și de eliminarea oricărui bariere creată de incluziuni solide sau de gaze, în continuitatea nasei metalice.

Purificarea accentuată a aliajului în stare solidă, relaxarea rețecii cristalină a soluției solide 23 oc (Al), impactul cu germenii modificatori întodată prin formarea compușilor intermetalici Al<sub>3</sub>Ti și Al<sub>3</sub>Zr, conduind la finalizarea promisătă a structurii.

Este un fenomen nou, contrar concepțiilor actuale prin care se consideră că accentuarea vidului la elaborarea aliajelor, prin purificare avansată condusă la creșterea mărinii de grăunți.

În sprijinul combinatorii acestei teorii, vine și constatarea că, la concentrații relativ mici de element modificator se înregistrează efecte maxime de finisare a structurii, la elaborarea în vid în comparație cu desfășurarea procesului tehnologic în atmosferă, la cantități similară de modificator (egantionul 030, comparativ cu egantionul 037). Rezultă că la elaborarea în atmosferă, pentru atingererea același grad de finisare a structurii, este necesară plasarea concentrației modificatorului la nivelul 0,30-0,35 %, lucru ce este de fapt folosit curent în practica industrială actuală.

In acest sens, se poate realiza, un program amplificat de cercetari, in vederea validarii experimentale si de practica industriala, a acestei teorii. Va fi o cale, prin care, la cantitati mai mari de elemente modificatoare sa se intregisteze efecte finisatoare importante, prin care se va obtine o importanta economie de materii prime scumpe si deficitare.

C influență importantă are, la structuri primare oare, de asemenea, viteza de răcire la solidificare si grosimea de perete a pielei sau epruvetelor turnate. In această direcție s-au realizat o serie de experimentări care să definească mecanismul de influențare a structurii primare.

Finisarea structurii prin răcirea urmă tip optim de viteza de răcire la solidificare si de grosime de perete, prin credibilitatea sa, transmite structurii secundare, după condiționarea termică, un grad ridicat de sărăcire, cu efecte imediate asupra caracteristicilor fizico-mecanice si tehnologice. Prezentate în figura 10.13, aspectele metalografice ale structurii reliefante o dimensiune pronunțată a sărăciei grăumentului cristalin. In creșterea vitezei de răcire, diminuarea grosimii de perete si sărarea nivului de vid. (Anexa IV).

Studiul s-a efectuat pe echantioane prelevate prin secțiunea longitudinală a probelor în trepte, ca în fig.10.2.

In final, s-a făcut un studiu usor: structuri secundare obținute prin diferite cicluri de condiționare termică cu variabilitatea temperaturii de punere în soluție, a vitezelor de căldură și a nivelului de vid în care s-a dezvoltat elaborarea și turnarea aliajului ATM<sub>10</sub>.

Spare astfel evident, din analiza structurilor obținute, evoluția sărăciei de grăumente corălată cu parametrii variabili.

Astfel, temperatura de punere în soluție are o influență hotăritoare în asigurarea unei disperșiuni oxogene, în toată masa, a compusului Al<sub>3</sub>Hg<sub>2</sub>. Optimizarea temperaturii palierului termic s-a făcut pe criteriul determinării unei structuri fine, discontinue, cu separări de Al<sub>3</sub>Hg<sub>2</sub> egal dezvoltate și uniform repartizate în toată masa de soluție solidă 350C (Al).

Preluind grăumentele primare, ca finisarea creditată împreună de solidificarea structurii aliajului elaborat în condiții de vid avansat (35-10 mm.col.Hg), condiționarea termică prin temperatură de transformare în stare solidă a asigurat plecarea în domeniul

de maximă solubilizare a constituentului  $\beta$  ( $Al_3Mg_2$ ) în rețeaua soluției solide SS  $\alpha$  ( $Al$ ), iar datorită vitezei de răcire pentru călire a finisat acest efect conducând la realizarea unei结构uri cu dispersie omogenă fină a compusului predominant.

Temperaturi sub valoarea optimă dană la obținerea unei structuri monogene, cu granulatie mare și separări de  $Al_3Mg_2$  sub formă unor precipitații incorrect dezvoltate, iar depășirea ei are ca efect creșterea evidentă a nărîmii structurii componenței cu o separare continuă a fazelor  $\beta$  ( $Al_3Mg_2$ ) la limita de cristal.

Aceasta favorizează pătrunderea facilă a agentilor de corozie și accelerarea degradării întii a limitelor și apoi a cristalinicii însuși.

Corelat cu temperatura de punere în soluție, viteza de răcire la călire influențează în mod hotărâtor fixarea structurii specifică transformării în stare solidă, de la temperatură palierului la cea a mediului ambient.

Totodată se ține cont și de necesitatea tensiunilor minime a stării solide, prin viteza de călire, dată de temperatura mediu-lui de răcire.

Această morfologie a structurii aliajului AMg10, elaborat în vid, în cursul tratamentelor termice aplicate este prezentată în figura 10.14.



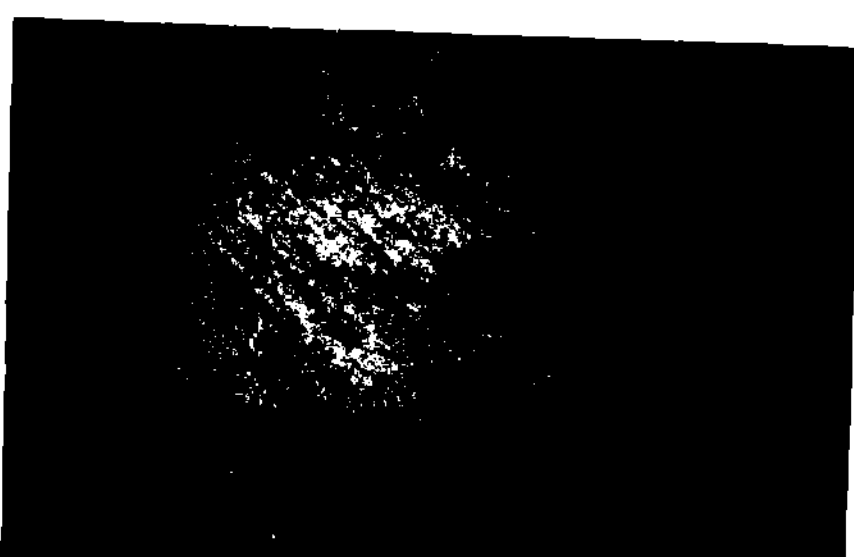
a - p = 35 mm.gol.Mg; IT=425°C/1h/4.20°C+  
+ 240 h/20°C; H<sup>3</sup> 1 z x 100



051  
Et. 3



052  
Et. 4

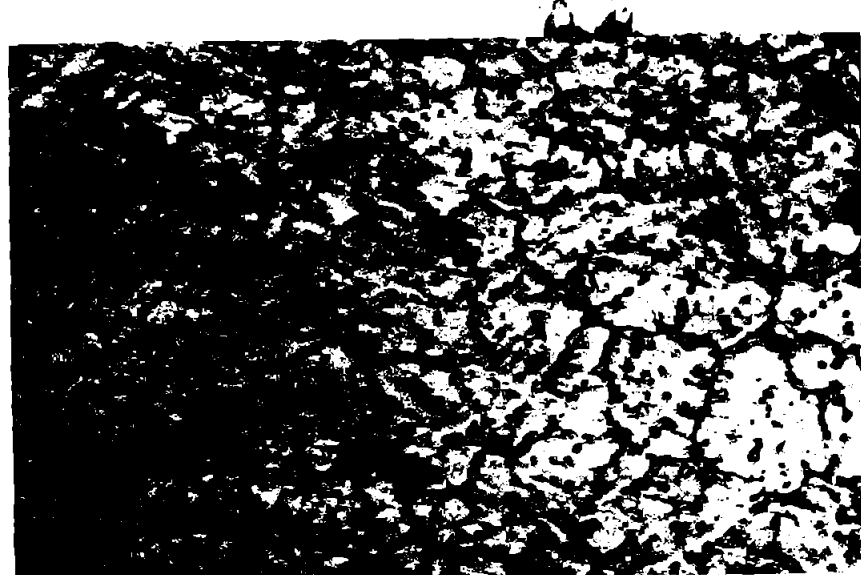


053  
Et. 3

b -  $P = 20 \text{ mm. col. He}$   
 $TT = 425^\circ\text{C}/16\text{h}/0.20^\circ\text{C} + 240\text{h}/20^\circ\text{C}$   
 $HF 1\% \quad \times 100$

c -  $P = 10 \text{ mm. col. He}$   
 $TT = 425^\circ\text{C}/16\text{h}/0.20^\circ\text{C} + 240\text{h}/20^\circ\text{C}$   
 $HF 1\% \quad \times 100$

d -  $P = 5 \text{ mm. col. He}$   
 $TT = 425^\circ\text{C}/16\text{h}/0.20^\circ\text{C} + 240\text{h}/20^\circ\text{C}$   
 $HF 1\% \quad \times 100$



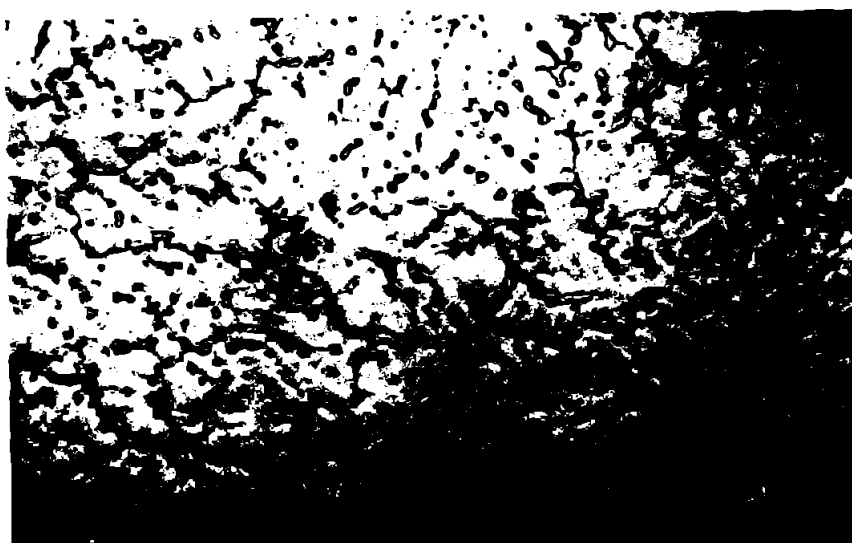
054  
Et.5

$\epsilon = p = 35 \text{ gm. col. Ig}$   
 $TT = 425^\circ\text{C}/10\text{m}/0,80^\circ\text{C}+240\text{h}/20^\circ\text{C}$   
HF 1%  $\times 100$



054

$\epsilon = p = 35 \text{ gm. col. Ig}$   
 $TT = 425^\circ\text{C}/10\text{m}/0,80^\circ\text{C}+240\text{h}/20^\circ\text{C}$   
HF 1%  $\times 200$



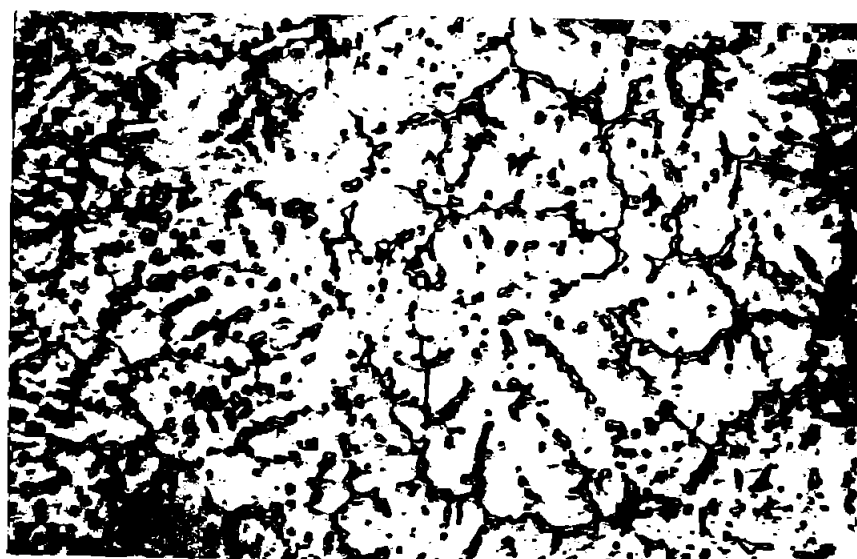
055  
Et.5

$\epsilon = p = 20 \text{ gm. col. Ig}$   
 $TT = 425^\circ\text{C}/10\text{m}/0,80^\circ\text{C}+240\text{h}/20^\circ\text{C}$   
HF 1%  $\times 100$



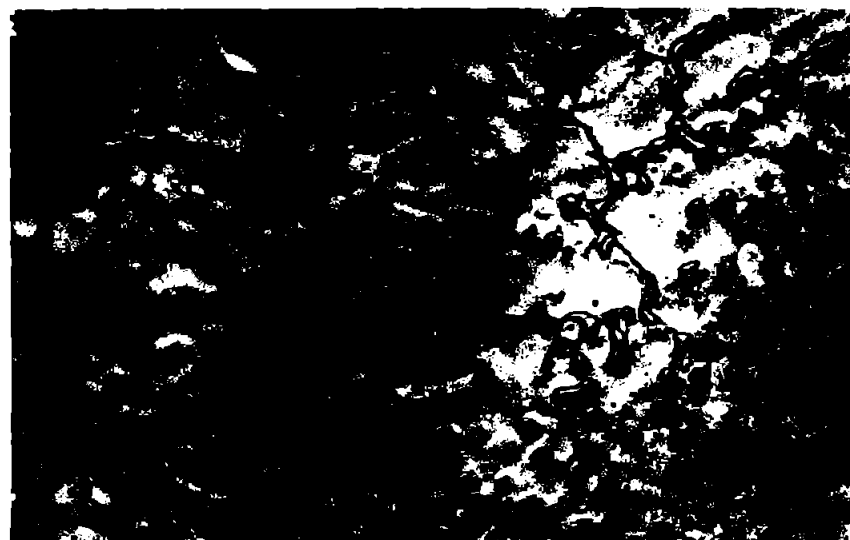
055

$n = p = 20 \text{ mm.ecl.Hg}$   
 $\text{TT} = 425^\circ\text{C}/16h/0.50^\circ\text{C} + 240h/20^\circ\text{C}$   
 $\text{HF } 1 \times \times 200$



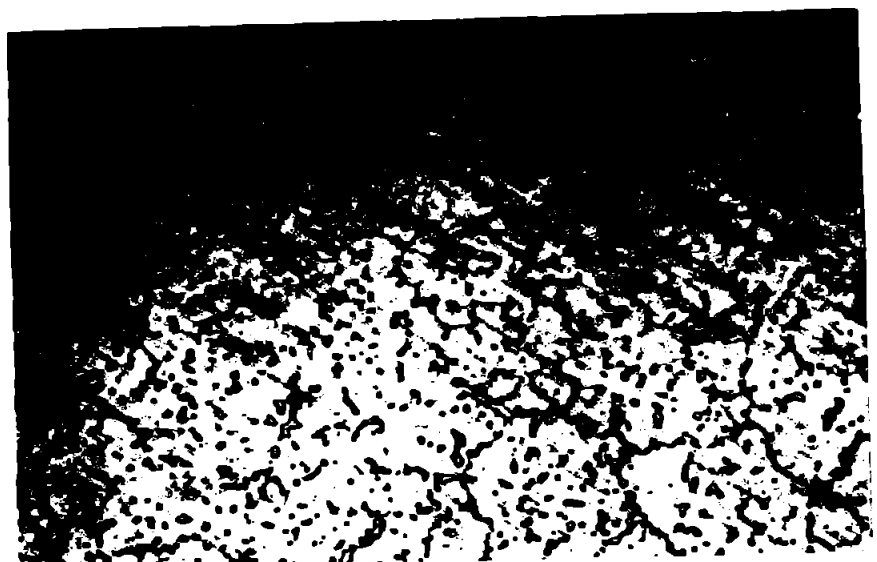
055  
Et.S

$i = p = 20 \text{ mm.ecl.Hg}$   
 $\text{TT} = 425^\circ\text{C}/16h/0.50^\circ\text{C} + 240h/20^\circ\text{C}$   
 $\text{HF } 1 \times \times 100$

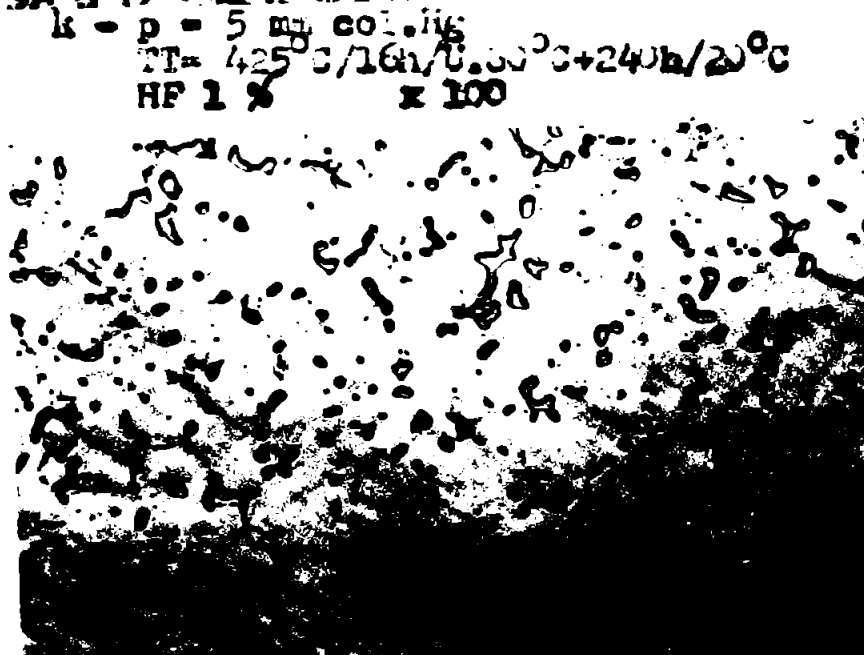


056

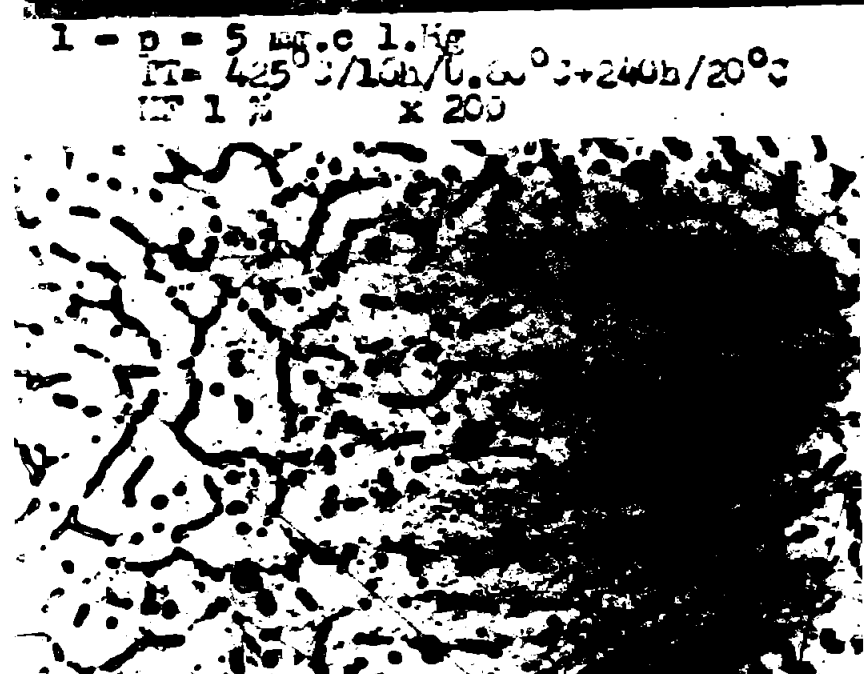
$j = p = 10 \text{ mm.ecl.Hg}$   
 $\text{TT} = 425^\circ\text{C}/16h/0.50^\circ\text{C} + 240h/20^\circ\text{C}$   
 $\text{HF } 1 \times \times 200$



057  
Et.7

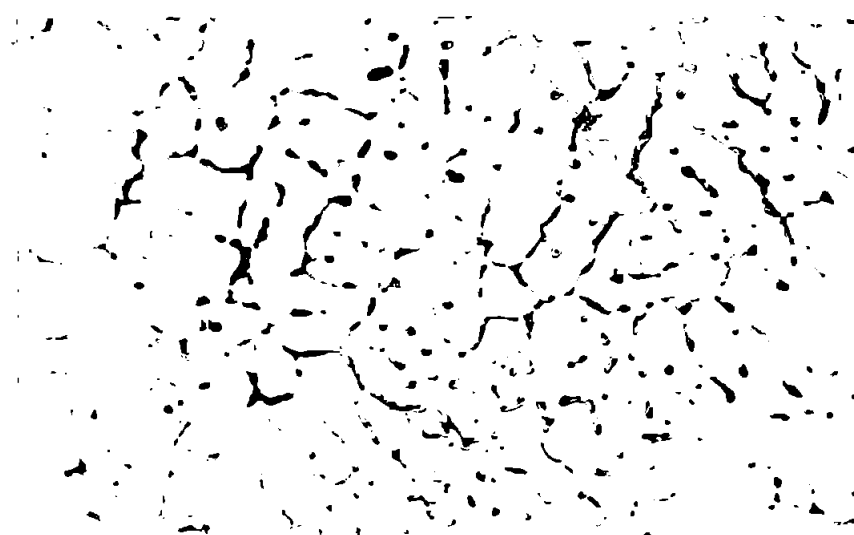


057

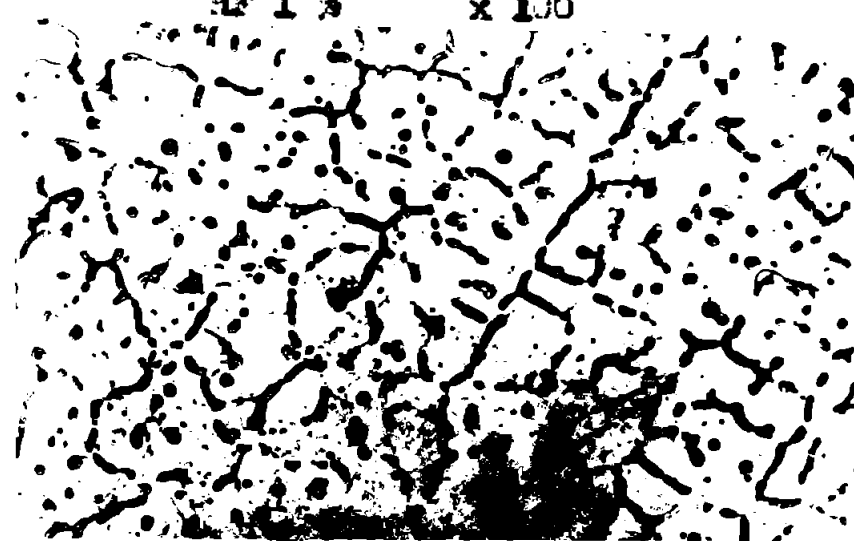


058  
Et.4

I - p = 5 mm.col.ig  
TT = 425°C/16h/U.350°C+240h/20°C  
HF 1% x 100



059  
Et.5



060  
Et.5



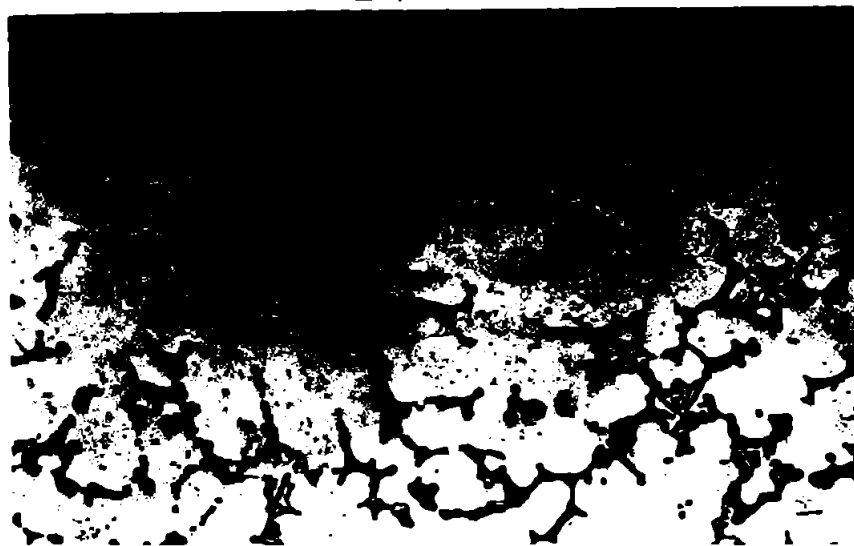
061  
Et.5

P = P = 5 m. col. Hg  
TP = 425°C/15h/0,160°C+24h/20°C  
HF 1 w x 100



062  
st.3

$t = p = 35 \text{ gm. col. lig}$   
 $TT = 400^\circ\text{C}/10\text{h}/U.80^\circ\text{C} + 240\text{h}/20^\circ\text{C}$   
 HF 1 %  $\times 100$



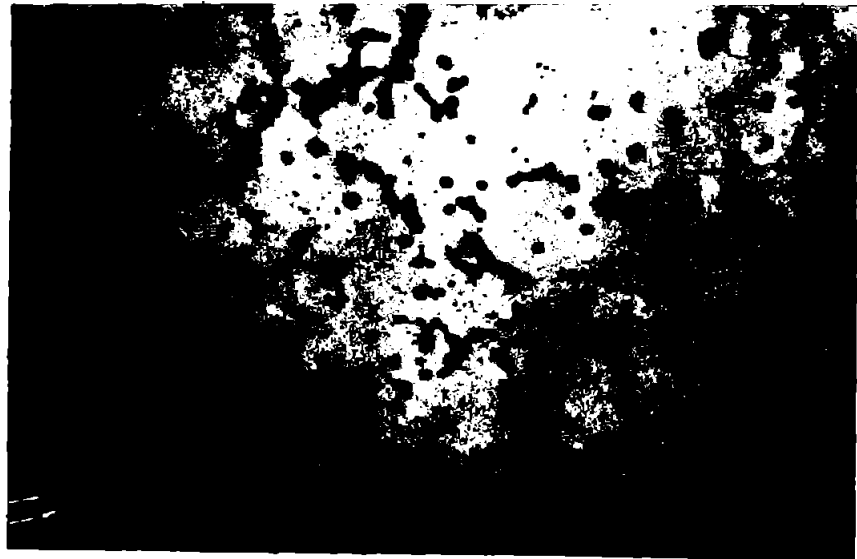
063  
st.3

$t = p = 27 \text{ gm. col. lig}$   
 $TT = 400^\circ\text{C}/10\text{h}/U.80^\circ\text{C} + 240\text{h}/20^\circ\text{C}$   
 HF 1 %  $\times 100$



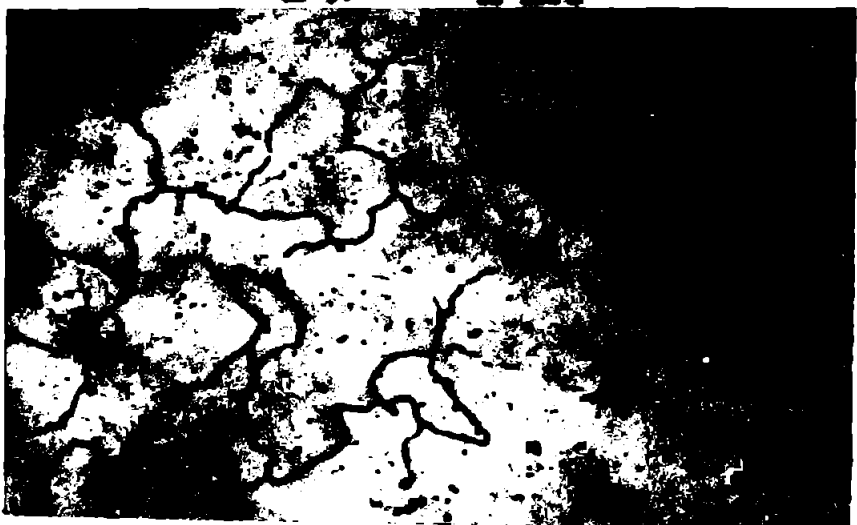
064  
st.4

$t = p = 19 \text{ gm. col. lig}$   
 $TT = 400^\circ\text{C}/10\text{h}/U.80^\circ\text{C} + 240\text{h}/20^\circ\text{C}$



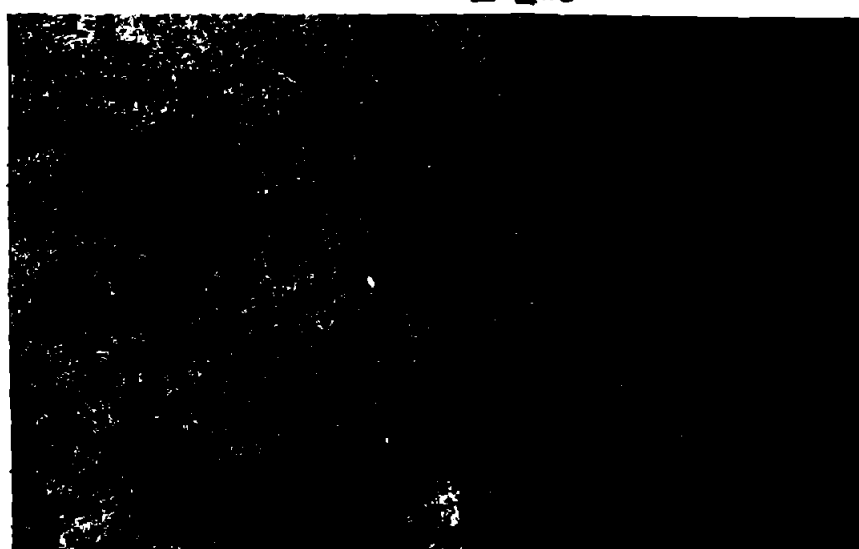
065  
Et.4

u - p = 5 mm.col.Hg  
Tt = 400°C/16h/U.80°C+240h/20°C  
HF 1 s x 100



066  
Et.2

v - p = 35 mm.col.Hg  
Tt = 500°C/16h/U.80°C+240h/20°C  
HF 1 s x 100



067  
Et.1

z - p = 20 mm.col.Hg  
Tt = 500°C/16h/U.80°C+240h/20°C  
HF 1 s x 100



$\times = n = 10 \text{ sec. col. } 14$   
 $T_p = 590^\circ\text{C}/16h/U.30^\circ\text{C}+240h/20^\circ\text{C}$   
 HF 1 %  $\times 100$

068  
24.1



069  
24.2

$\gamma = n = 5 \text{ sec. col. } 14$   
 $T_p = 590^\circ\text{C}/16h/U.30^\circ\text{C}+240h/20^\circ\text{C}$   
 HF 1 %  $\times 100$

Pic. 10.14  
 Influența prelucrării termice în stăte solidă  
 asupra strucției aliajului AlCrMgCl elabosat  
 și turnat la diferite nivele de vîd.

## CAPITOLUL XI - PROIECTAREA PROBELOR DE RICIRE

### 11.1. Determinarea vitezelor de ricire

Pentru a studia influența vitezelor de ricire asupra diverselor parametri tehnologici și asupra structurii aliajului s-a efectuat experimentări ce au constat, în principal, în două procedee de variere a ecocstanii și asemea:

a. S-a determinat o variație a vitezelor de ricire, prin modificarea temperaturii de preîncalzire a cochilelor de turnare, în datele prezentate în tabelul 5.3.

La turnarea probelui în trepte s-a realizat o variație a vitezelor de ricire prin preîncalzirea cochilei la temperaturile indicate în tabelul 5.3.

Proba de fizurabilitate, turnată în cochină preîncalzită la temperatură indicată în tabelul 11.4 și prezentată în figura 11.2, a condus la obținerea rezultatelor trecute în tabelul 11.4.

b. În cadrul aceleșași temperaturi de preîncalzire a cochilor, s-a efectuat studiul influenței vitezelor de ricire asupra structurii precum și a duratării pe probă în trepte, prin varierea grosirii probiei.

În urma acestor experimentări efectuate pe probă în trepte, prezentată în figura 11.1, s-au obținut rezultatele continute în tabelul 11.4.

Determinarea mărimea de grunțe, efectuată conform STAS 10013-73, pe ecara etalon nr.1, s-a efectuat în capitolul X, subcapitolul 1.2.



Fig.11.1  
Probă în trepte

Probă în trepte, pe care se fac determinările influenței vitezii de răcire sănt în stare brut turnată iar treptele probelor sănt urerotate de la 1 la 4, în ordinea grosinii, treapta 1 fiind cea grosină cea mai mică.

Tabelul nr.11.1  
Valori ale vitezei de răcire

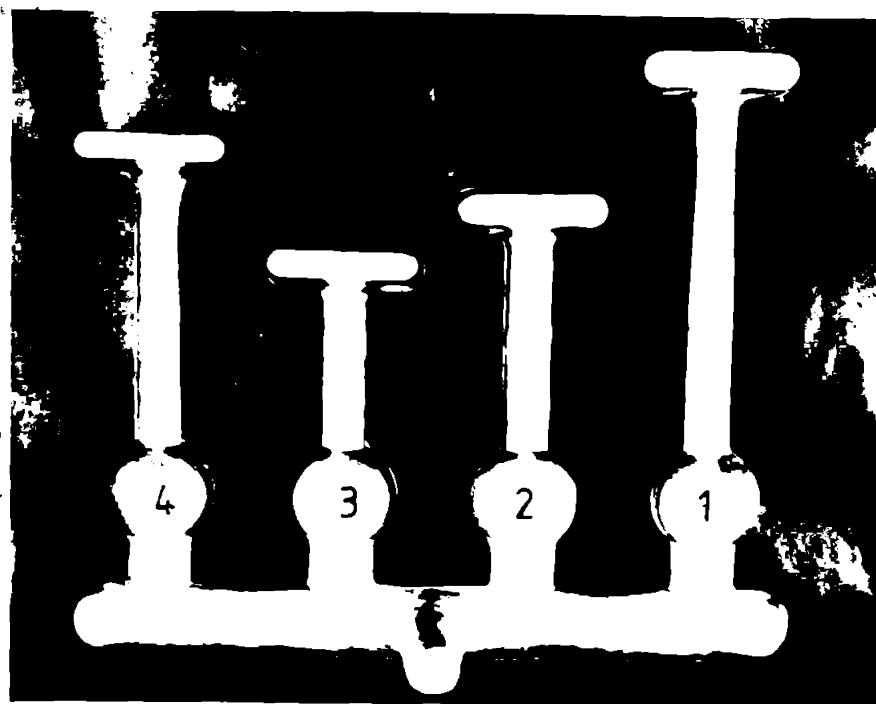
Nr. ordine probă condiții	Temperatură de preincalzire a coacăldei °C											
	175	225	300	350	400	450	500	550	600	650	700	750
	1	2	3	4	5	6	7	8	9	10	11	12
rezistență la compresie σ (kg/mm²)												
1	x	x	x	x	x	x	x	x	x	x	x	x
	82,70	56,40	50,10	55,10	59,20	56,50	54,90	52,40	57,30	53,50	51,20	49,30
	82,60	75,10	73,00	69,30	73,90	72,00	69,30	66,4	72,30	70,50	67,30	62,1
10	x	x	x	x	x	x	x	x	x	x	x	x
	86,20	82,30	79,20	75,20	86,30	82,30	79,20	75,20	84,50	80,10	79,50	75,40
	81,60	76,40	73,70	70,70	81,60	76,40	73,70	70,70	80,30	76,10	73,40	68,30
Nivel de vidi 100 mm col. Hz												
2	10	x	x	x	x	x	x	x	x	x	x	x
	80,70	76,70	74,70	70,50	80,70	76,70	74,70	70,50	77,40	74,20	72,60	67,30
	74,30	70,80	68,20	65,40	74,30	70,80	68,20	65,40	73,60	70,20	68,60	65,40
Nivel de vidi 50 mm col. Hz												
3	10	x	x	x	x	x	x	x	x	x	x	x
	81,30	77,90	75,20	72,40	81,30	77,90	75,20	72,40	79,20	74,10	72,30	68,60
	75,60	72,00	69,90	67,30	75,60	72,00	69,90	67,30	74,60	70,20	68,60	65,30
Nivel de vidi 25 mm col. Hz												
4	10	x	x	x	x	x	x	x	x	x	x	x
	79,40	76,70	73,00	70,70	79,40	76,70	73,00	70,70	76,10	72,30	69,20	66,70
	72,00	69,20	67,30	64,50	72,00	69,20	67,30	64,50	70,70	67,30	64,50	62,30
Nivel de vidi 10 mm col. Hz												
5	10	x	x	x	x	x	x	x	x	x	x	x
	82,70	70,50	75,50	72,00	82,70	70,50	75,50	72,00	79,00	73,20	71,00	69,60
	76,30	73,00	69,30	66,50	76,30	73,00	69,30	66,50	73,60	70,20	68,60	66,60

\* Valori în tab.10.3.(Anexa IV).

**11.2. Determinarea tendinței de fisurare la cald  
la contractie frinată**

Fisurarea la cald este specifică pieselor turnate cu forme ce produc, în special o contractie frinată asupra aliajului ce se solidifică. Aliajele de aluminiu și în special cele cu cupru și cele cu magneziu - ca element principal de aliere - au o tendință mai accentuată de fisurare la cald, în condiții de contractie frinată la solidificare. Pentru a studia coagularea aliajului cercetat, eliberat în diverse condiții, la fenomenul de solidificare în contractie frinată s-au făcut o serie de turnări, în diferite varianțe experimentale, în cochile pentru determinarea fisurabilității la cald, prezentate la cap.VI, în fig.6.5.

Proba turnată, a cărei formă este redată în fig.11.2, a fost caracterizată prin fisură - Da, sau compactă - Nu, în funcție de diversi parametri, rezultatele fiind trecute în tabelul nr.11.2.



**Fig.11.2  
Proba de fisurabilitate la cald**

**Tabelul nr.11.2**

**Variatia tendintei de fisurare la cald**

Nr. ord. con- di- ții	Condi- ții con- cen- tra- ție in co- chilei	Temperatură cochilei °C			Temperatură de tur- nare a aliajului °C				rezultate probel				
		175	225	275	720	630	660	640	Da	Nu	Da	Nu	Da
1	A	2	3	4	5	6	7	8	Da	Nu	Da	Nu	Da
2	B	2	3	4	5	6	7	8	Da	Nu	Da	Nu	Da
3	C	2	3	4	5	6	7	8	Da	Nu	Da	Nu	Da
4	D	2	3	4	5	6	7	8	Da	Nu	Da	Nu	Da
5	E	2	3	4	5	6	7	8	Da	Nu	Da	Nu	Da
6	F	2	3	4	5	6	7	8	Da	Nu	Da	Nu	Da
7	G	2	3	4	5	6	7	8	Da	Nu	Da	Nu	Da
8	H	2	3	4	5	6	7	8	Da	Nu	Da	Nu	Da
9	I	2	3	4	5	6	7	8	Da	Nu	Da	Nu	Da
10	J	2	3	4	5	6	7	8	Da	Nu	Da	Nu	Da
11	K	2	3	4	5	6	7	8	Da	Nu	Da	Nu	Da
12	L	2	3	4	5	6	7	8	Da	Nu	Da	Nu	Da
13	M	2	3	4	5	6	7	8	Da	Nu	Da	Nu	Da
14	N	2	3	4	5	6	7	8	Da	Nu	Da	Nu	Da
15	O	2	3	4	5	6	7	8	Da	Nu	Da	Nu	Da
16	P	2	3	4	5	6	7	8	Da	Nu	Da	Nu	Da

Continuare tabel II.2.

0	1	2	3	4	5	6	7	8	9	10	11	12	13	14	15	16
Presiunea atmosferică: 760 mm.col.Hg																
1	8	x	x	x	x	x	x	x	x	x	x	x	x	x	x	x
2	10	x	x	x	x	x	x	x	x	x	x	x	x	x	x	x
3	12	x	x	x	x	x	x	x	x	x	x	x	x	x	x	x
Nivel de vîză: 100 mm.col.Hg																
4	10	x	x	x	x	x	x	x	x	x	x	x	x	x	x	x
5	10	x	x	x	x	x	x	x	x	x	x	x	x	x	x	x
Nivel de vîză: 50 mm.col.Hg																
Nivel de vîză: 20 mm.col.Hg																
6	10	x	x	x	x	x	x	x	x	x	x	x	x	x	x	x

Continuare tabel 11.2

0	1	2	3	4	5	6	7	8	9	10	11	12	13	14	15	16
			x			x		x		x		x		x		x
Nivel de vidu 10 mm, col. Hg																
7	10	x				x		x		x		x		x		x
		x					x	x		x		x		x		x
		x				x		x		x		x		x		x
		x				x		x		x		x		x		x
		x				x		x		x		x		x		x
		x				x		x		x		x		x		x

S-a considerat ramură fisurată, numai dacă fisura s-a produs în zona contractiei frinate între cavitatea sferică și cea paralelipipedică de la capetele zonei cilindrice cu diametrul de 12,5 mm.

### 11.3. Determinarea contractiei liniare și a contractiei de volum

Determinarea valorii contractiei liniare și a celei volumice s-a efectuat pe epruveta utilizată pentru testarea etanșeității, a cărei schema este prezentată în figura 11.3. Dimensiunile standard ale cochilei sunt:

- l - lungimea epruvetei: 500,00 mm
- a - lățimea epruvetei: 32,00 mm
- b - înălțimea epruvetei: 32,00 mm

După turnare s-au măsurat dimensiunile epruvetei cu o precizie de 0,1 mm.

Contractia liniară s-a determinat prin raportarea lungimii standard la lungimea determinată prin măsurare, în exprimare procentuală.

Contractia volumică s-a obținut prin raportarea volumului standard al epruvetei de  $0,19456 \text{ dm}^3$  la volumul determinat de mărimile epruvetei măsurate, în stare brut turnată, în exprimare procentuală. Valorile obținute sunt prezentate în tabelul 11.3.

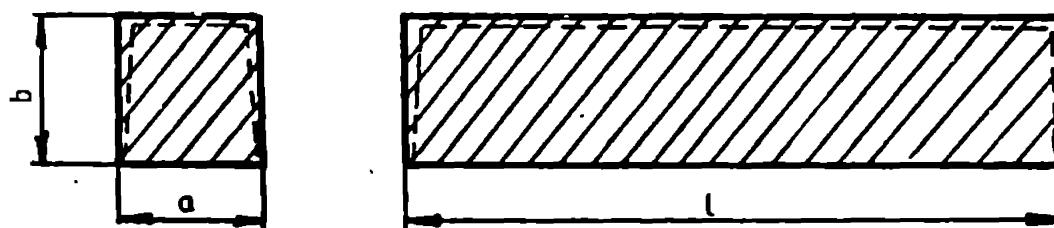


Fig.11.3  
Epruvetă de etanșeitate în prezentare schematică

Tabelul nr. 11.3.

**Contractia lineară și contractia  
de volum**

Nr. crt.	Dimensiuni standard			Dimensiuni măsurate			Contractie, %	
	a mm	b mm	t mm	a mm	b mm	t mm	Lineară	Volumică
0	1	2	3	4	5	6	7	8
A. Presiunea atmosferică: 760 mm.col.Hg								
1	32,00	32,00	190,00	31,5	31,5	187,0	1,600	4,35
2				31,7	31,4	187,1	1,550	4,47
3				31,5	31,6	187,4	1,580	4,30
4				31,7	31,5	187,2	1,490	4,08
5				31,5	31,4	187,2	1,490	5,08
6				31,6	31,6	187,4	1,580	3,97
7				31,5	31,5	187,0	1,600	4,86
8				31,7	31,4	187,2	1,490	4,41
9				31,7	31,5	187,1	1,550	4,24
10				31,6	31,4	187,0	1,600	4,36
Valoarea medie							1,513	4,50
B. Nivel de vid: 10 mm.col.Hg								
1	32,00	32,00	190,00	31,6	31,5	187,5	1,33	4,24
2				31,7	31,5	187,5	1,33	3,91
3				31,7	31,6	187,7	1,23	3,43
4				31,7	31,5	187,5	1,23	3,53
5				31,6	31,5	187,4	1,33	4,30
6				31,7	31,6	187,5	1,33	3,59
7				31,7	31,6	187,4	1,38	3,64
8				31,6	31,7	187,3	1,44	3,70
9				31,7	31,6	187,3	1,44	3,70
10				31,7	31,4	187,4	1,33	4,30
Valoarea medie							1,35	3,84

Valorile sunt determinate pentru aliajul elaborat în varianță C2/M2.

#### 11.4. Determinarea etanșeității la gaze

Comportarea pieselor turnate și a epruvelelor speciale în etanșeitatea la gaze, s-a determinat pe epruvele din cu diametrul de 25 mm și grosimea de 1,6 mm, prelevate din piese sau din probă pentru testarea etanșeității, din fig.11.4, turnată în coacăla prezentată în fig.6.3.



Fig.11.4  
Epruve pentru determinarea echității

După prelucrare și finisare, eșantioanele se împerechează în stare tratată termic, săint supuse testării în dispozitivul prezentat în fig.6.4, la o presiune de  $7 \text{ kgf/cm}^2$ , realizată cu aer comprimat sau azot uscat, pierderile prin neechitatea intercalului fiind determinate cu manometru cu domeniul 0-2 bari, pentru întreaga scăldă.

Determinările s-au făcut pentru aliejul eliborat în varianță C2/N2, valorile obținute fiind prezentate în tabelul 11.4.

Tabelul 11.4  
Echitățea la gaze

Nr. ord.	Pierderi prin presiune $10^{-3}$	Nivel de vid, m. col. 12								
		700	500	190	100	50	35	20	10	5
1	proba nr.1	215	174	102	62	25	5	0	0	0
2	proba nr.2	186	152	95	54	16	5	0	0	0
3	proba nr.3	203	155	104	60	20	2	0	0	0
4	proba nr.4	175	139	104	42	14	0	0	0	0
5	proba nr.5	162	142	92	50	12	1	0	0	0
Valoarea medie		183,2	152,4	99,6	53,6	17,4	2,2	0	0	0

Din fiecare epruve s-au debitat 5 plăciute disce de testare, valoarea din tabel fiind media a 5 determinării pentru fiecare probă în parte.

### 11.5. Defecte de turcare

Pentru evidențierea defectelor de turcare localizate în probele tehnologice turcate precum și în piese s-a realizat un studiu defectoscopic nedistructiv, în raze X.

Metoda și parametrii de lucru nu sunt standardizați, regimul de lucru fiind stabilit prin tatonări.

Rezoluția maximă a secțiunii piesei și evidențierea clară a defectelor a constituit obiectivul, în urma căruia s-a stabilit metodica de analiză.

Încercările s-au efectuat cu un defectoscop cu raze X tip RUF 250 KV (URSS).

Pentru punerea în evidență mai clară a rezoluției imaginii obținute, datorită variației grosimii de perete, s-au folosit două regimuri de expunere, prin varierea timpului de aplicare a radiației.

Cercetarea prin defectoscopie nedistructivă cu raze X s-a aplicat asupra probelor în trepte pentru a evidenția localizarea și tipul de defecte în funcție de grosimea de perete. Probele s-au turcat în diverse condiții (atmosferă sau vid), în forme metalice permanente, preincălzite la aceeași temperatură ( $225^{\circ}\text{C}$ ) protejate cu vopsea refractară VCA.2, din aliaj cu compoziție chimică în varianta C2/M2 (tabel nr.8.3), la aceeași temperatură de turcare ( $630^{\circ}\text{C}$  în atmosferă și  $640^{\circ}\text{C}$  în vid) și condiționate termic.

Parametrii de lucru și metodei au fost:

- tensiunea :  $U = 120 \text{ KV}$  ;
- curentul :  $I = 5 \text{ mA}$  ;
- distanța focală :  $F = 800 \text{ mm}$  ;
- timpul de expunere :

a - unic, pentru toate treptele probei:  $t = 30 \text{ sec}$  ;  
b - specific - pentru treptele 1-2:  $t = 30 \text{ sec}$  ;  
                        - pentru treptele 3-4:  $t = 60 \text{ sec}$  .

Prin aplicarea acestei metode, se pun în evidență următoarele tipuri de defecte:

- retasuri și microretasuri interne ;
- incluziuni nemetalice ;
- porozitate datorată ramenantă de gaze sau influenței acestui proces formării temporare de turcare ;
- retasuri externe, datorate contractiei .

Pentru corectarea tendinței de retasură, prin depărtarea continutului său de masă, s-a folosit proba de etanșeitate, care nu dă informații utile și asupra localizării în secțiunea epruvetă a inclusiunilor de gaze.

Metoda are, în această fază un caracter calitativ, deoarece nu dispunem de etaloane care să stabilească condițiile de acceptare sau respingere a probelor testate.

Rezultatele încercărilor efectuate, precum și stabilirea defectelor evidențiate pe reproducerea foto a planfilmelor rezultante în urma expunerii în raze X, și prezentate în fig.11.5-11.14, sunt centralizate în tabelul nr.11.5.(fig.11.5-11.7, în Anexa IV).

Regimul de lucru pentru proba de etanșeitate, din fig.11.12, tip „C” - are următorii parametri:

- tensiunea :  $U = 145 \text{ KV}$  ;
- curentul :  $I = 5 \text{ mA}$  ;
- distanța focală :  $F = 800 \text{ mm}$  ;
- timpul de expunere :  $t = 2 \text{ min}$ .

Tabelul nr.11.5

## Defecte de turnare

Nr. crt.	Tip epruve	Regim de lucru	Figura în care se prezintă	Condiții de realizare a epruvetăi corectate	Tip defect conform referirea bibliografică	Densiitate defect
0	1	2	3	4	5	6
1 Proba în trepte	a	11.5+ 11.13	11.5+	A.-Aliaj elaborat în atmosferă; degazat cu hexaclorotan 0,4% + vid.	B.111-Suflare endogene, datorate metodologiei de elaborare	0,15
				B.-Aliaj elaborat în atmosferă, dublu degazat: a-hexaclorotan 0,6% b-barbotare cu argon (4min cu 3-5 l/min)		0,20
				C.-Aliaj elaborat în atmosferă, dublu degazat: a-hexaclorotan 0,6% b-barbotare cu argon (2min cu 2-3 l/min)		0,60
				D.-Aliaj elaborat în atmosferă, degazat cu hexaclorotan 0,7%		0,30

Continuare tabel 11.5.

0	1	2	3	4	5	6
2	Proba in trep- te	b	11.6	- idem punct 1  A B C D	Idem punct 1	0,20 0,17 0,20 0,20
3		b	11.7	- idem punct 1.B treapta T3-vop- sea cu grafit treptele T1,T2,T4- vopsea VCA 2	Idem punct 1	0,35 0,15
4		b	11.8.a	1.Aliaj elaborat in vid: (p=10 mm.col.Hg) 1.Vopsea refractara pe baza de emulsie de grafit pe T3  2.Vopsea refractara VCA 2 pe T1,T2,T4,	B.111-Sulfuri- ri exogeni datorata vop- selei re- fractare.	0,1
		a	11.8.b	1-idem punct 4.1 2-idem punct 4.2	lipsa defec- te	-
5	Proba in trep- te	b	11.9.a	1.Aliaj elaborat in vid p = 10 mm.col.Hg vopsea refractara VCAP	lipsa defecte	-
6		a	11.9.b	Idem punct 5.1	lipsa defecte	-
		b	11.10.a	Aliaj elaborat in vid: p = 50 mm.col.Hg vopsea refractara VCA 2,	B.111-Sulfuri endogeni	0,06
		c	11.10.b	Aliaj elaborat in vid: p = 100 mm.col.Hg vopsea refractara VCA 2,	Idem punct 5.a	0,10
7		b	11.11.a	Aliaj elaborat in vid: p = 35 mm.col.Hg vopsea refractara VCA 2	Idem punct 6.a	0,04
		b	11.11.b	Aliaj elaborat in vid: p = 20 mm.col.Hg vopsea refractara VCA 2	Idem punct 6.a	0,02
8		c	11.12.a	Aliaj elaborat in atmosfera vopsea refractara VCA 2	B.111-Sulfuri endogeni	0,00070
		c	11.12.b	Aliaj elaborat in vid: p = 10 mm.col.Hg vopsea refractara VCA 2	B.111-Sulfuri endogeni	0,00051

Continuare tabel II.5.

9	1	2	3	4	5	6
8	Proba de studiu ședință- to	e	II.12.e	Aliaj elaborat în vid: $p = 50$ mm.col.Hg vopsea refractară VCA 2	Idem punct S.a.	0,00035
		e	II.12.d	Aliaj elaborat în vid: $p = 35$ mm.col.Hg vopsea refractară VCA 2	Idem punct S.a	0,00013
		e	II.12.c	Aliaj elaborat în vid: $p = 20$ mm.col.Hg vopsea refractară VCA 2	Idem punct	0,00010
9	Piese tur- nata	Re- pro- ducere foto	II.13	Pieseă turnată din aliaj elaborat în atmosferă și de- gasat în vid. $p = 50$ mm.col.Hg temp = 20 min.	B. III. Suflu- re exogenă datorată turnării în atmosferă	0,2
			II.14	Pieseă identică din aliaj elaborat și turnat în vid. $p = 20$ mm.col.Hg vopsea refractară VCA 2		

În analiza fotografiilor prezentate în fig.II.5-II.14 se desprind următoarele constatări (Anexa IV).

a - referitoare la tehnica de determinare defectoscopică:

- pentru decelarea mai bune a microporozităților localizate (sită) este indicată utilizarea regimului „a“ de lucru;
- pentru evidențierea suflurilor disperse mai groase, se va folosi regimul de lucru „b“;
- pentru piese cu grosimi de perete mai mari de 30 mm, se utilizează regimul de lucru „c“.

b - referitoare l. tipul, repartizarea și densitatea defectelor de turăre ce apar pe radiografiiile prezente:

- în toate cazurile defectele puze în evidență sunt sufluri (B.III), endogene - datorate răsunării de gaze în aliag și exogene - datorate reacției dintre aliagul turnat în coacăla și vopseaua refractară (emulsie de grafit solzi în apă) încorrect aleasă, din punct de vedere tehnologic (fig.II.8-9). Apără atât că suflare

groasă, localizată pe treapta III, atât în casul turnării în cochile a aliajului elaborat în atmosferă (fig.11.8) cît și în vid (fig.11.9) se dostrează gazelor rezultante din arderea grafitului lui la contactul cu aliajul lichid, decarce, în nici un alt caz, atunci cind s-a folosit vopseala refractară VC 2.2 nu a mai apărut acest defect;

- aliajul elaborat în atmosferă, degazat prin diferite tehnologii prezintă o variație a defectelor de turcare datorate rezanșei de gaze (sufluri și sită - B.111) cu efect minim la vîndă de degazare finală prin vidare ( $p = 25-55$  mm.col.Hg; timp vidare = 20-25 min). Media defectelor evidențiate prin anumite regimuri de lucru este minimă pentru degazare prin vidare și maximă la degazarea elaiică cu hexacloruran ( $0,7\text{ A}$ ) ;

- la nivele de vacum ridicate, ponderea de apariție a defectelor datorate rezanșei de gaze scade substanțial, la  $p = 10$  mm. col.Hg, ele disparașind complet. Se dovedește astfel că la ca. 10-15 mm.col.Hg se poate obține un aliaj aproape complet lipsit de gaze, cu o masă metalică continuă și oxigenă, lipsită de defecte și deosebit cu caracteristici fizico-mecanice și tehnologice ridicate ;

- în general, la grosimi nici de perete (treapta T1) scad tendința de localizare a inclusiunilor de gaze, datorită răcirii rapide și reducerii posibilității de adsorbție a gazelor din formă de turcare. De asemenea, susculța poziționată pe treapta T.4 își manifestă efectul de întărire a solidificării, care permite gazelor să se evacueze prin ea. În general, localizările de defecte se agronează în treptele medii (T2,T3) de preferință pe T3, unde timpul de solidificare este mai mare și gazele au tendința de a se grăbi în acesta;

- realizarea unui sistem de alimentare corect, din punct de vedere tehnologic, condus la eliminarea canzelor de porozitate în piasele turcate. Aceasta este clăr evidentiată de proba de etanșeitate, care, chiar la turcarea în atmosferă și la secțiuni din trunchi de măr ( $\phi 30$ ) nu acumulează gaze rezanșante în secțiunea utilă a probei, comparativ cu nivelul de defecte concentrat în probă în trepte, turcată în aceleși condiții. La acest tip de sistem de alimentare, cantitatea de defecte localizată în probă este de peste 300 ori mai mic decât la proba în trepte, turcată direct prin susculță ;

- la degazarea prin vid a aliajului elaborat în atmosferă și

turnat în aceleși condiții, defectele tind să se localizeze spre suprafața piesei, ca sufluri oxigene, datorită contactului aliajului lipit de gaze cu peretele formei de turnare unde există generatori de gaze. Adsorbția acestoru în masa piesei nu se realizează pe adâncime mare datorită solidificării superficiale a aliajului pe peretele formei de turnare. Acest tip de defect nu are repercuși negativi asupra calității pieselor turnate deoarece secțiunile piesei rămân lipsite de defecte, în massa ei, iar stratul exterior cu sufluri, în cele mai multe cazuri coincide cu adâncul de prelucrare la piesele turnate. Se estimează astfel că această metodă conduce la diminuarea substanțială a rezultatului datorat acestui tip de defect.

Densitatea de defecte s-a dat ca raport procentual între suprafața totală a defectelor evidențiate și suprafața piesei turnate.

Radiografile prezентate au fost realizate prin dublu reproducere pentru a conserva astfel aspectul inițial al filmului radiografic obținut la analiza defectoscopie nedistructivă în raze X.

**Partea III - a PRELUCRAREA SI INTERPRETAREA  
REZULTATELOR EXPERIMENTALE**

**Cap. XII - Corelatii Structura Proprietati**

**12.1. Relatia**

proprietati mecanice —— nivel de vid

In vederea determinarii relatiei biunivoce

proprietati mecanice —— nivel de vid

s-a efectuat un studiu asupra variației caracteristicilor mecanice, în stare brut turnată, a aliajului ATCMg10, cu compoziția chimică dată de varianta C2/M2 elaborat în diferite condiții de vid.

Realizind reprezentarea grafică a variației caracteristicilor mecanice funcție de nivelul de vid aplicat la elaborarea aliajului, pentru starea brut turnată, (fig.12.1), se obțin o serie de considerații necesare elucidării acestui mecanism de influențare.

Astfel, rezistența la tracțiune înregistrează o creștere continuă, cu mărirea nivelului de vid, datorită amplificării efectului de modificare și a lipsei de defecte, prezintând un maxim în domeniul (20 - 5 mm.col.Hg).

Peste nivelul  $p = 5 \text{ mm.col.Hg}$ , datorită încoperii vaporizării magneziului, apare o reducere accentuată a rezistenței la tracțiune, cauzată de modificări ale compozitiei chimice și a structurii.

In aceleși condiții de variabilitate a nivelului de vid la elaborarea și turnarea aliajului, alungirea relativă prezintă o creștere permanentă după o funcție:

$$A3 = f(a \cdot \times \eta v^2 + b)$$

în care:  $\eta v$  = nivelul de vid;

a,b = coeficienți constanți

efect explicit de influență nivelului de vid asupra gradului de vaporizare a magneziului la elaborarea în vacum.

După un palier desfășurat pînă la limita începutului de apariție a vaporilor de magneziu din topitură, duritatea Brinell ca-

păti o cădere pe curba de variație, datorită reducerii elementului de durificare, datorat constituantului  $\beta$  ( $Al_2Mg_2$ ), a cărui concentrație în structură scade și dată cu pierderea de magneziu prin vaporizare la  $p > 5$  mm.col.Hg.

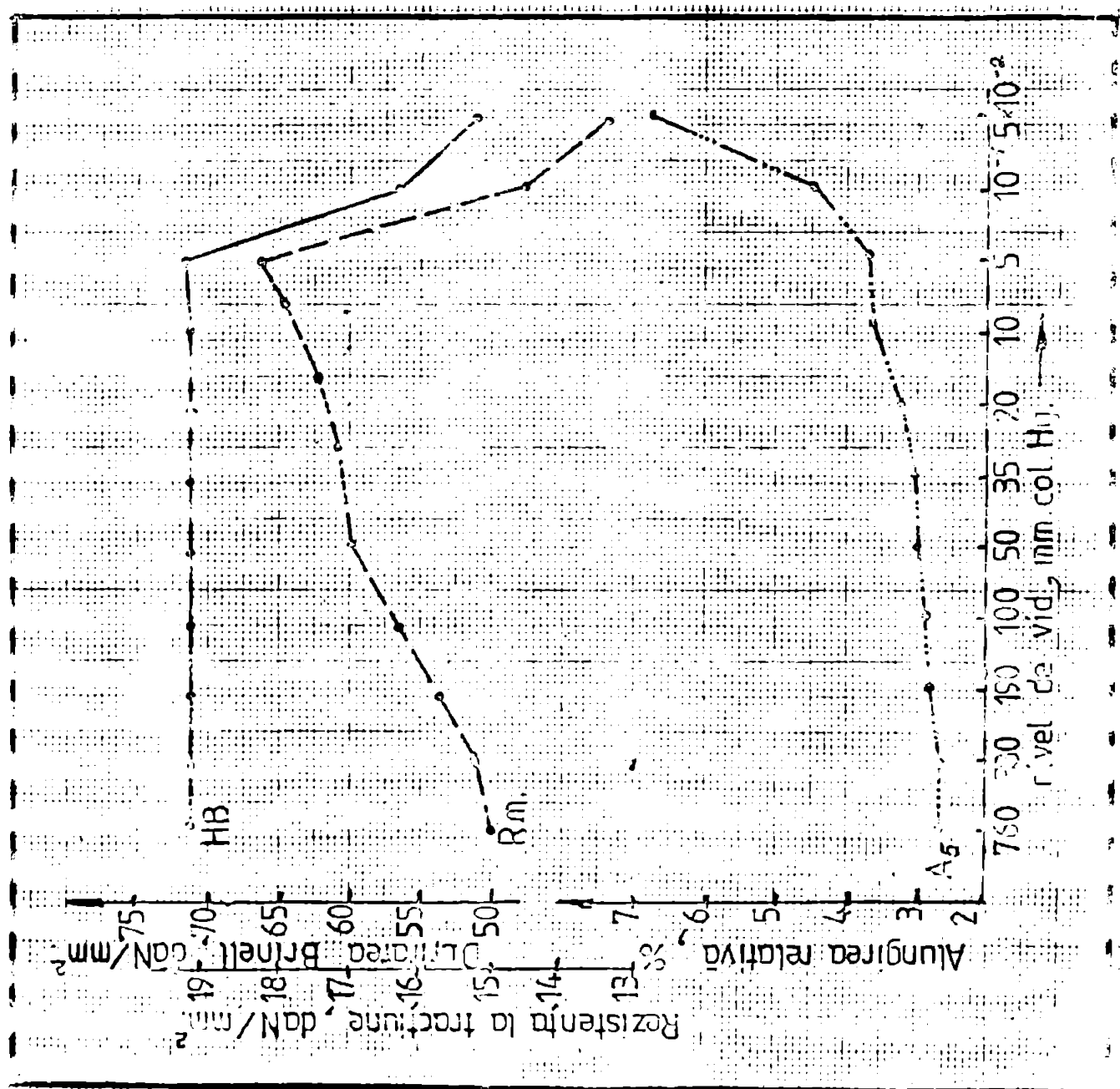
Făcind o analiză statistică a rezultatelor înregistrate în această etapă de experimentări, după metodele indicate de DIETER [59], în funcție de frecvența de apariție a rezultatelor și a frecvenței cumulate, prezentată valorile în tabelul 12.1 și grafic în fig. 12.2 - 12.7, se pot extrage o serie de concluzii și amene: (Fig. 12.2-12.7 în Anexa V).

Tabelul nr. 12.1

Tablarea frecvenței caracteristicilor mecanice

Caracteristici mecanice	Media inter- valo- lui $X_i$	Frec- vență $n_i$	$n_{1..Xi}$	Frec- vență din total %	Frec- vență cumu- lată	Frec- vență cumu- lată %
0	1	2	3	5	5	6
$R_m$ - Rezistența la tracțiune - $\text{daN/mm}^2$						
125 - 135	130	8	1040	6,0	8	6,0
136 - 140	138	8	1104	6,0	16	12,1
141 - 145	143	8	1144	6,0	24	18,2
146 - 150	148	13	1924	9,8	37	28,0
151 - 155	153	12	1836	9,1	49	37,1
156 - 160	158	14	2212	10,6	63	47,7
161 - 165	163	11	1793	8,3	74	56,1
166 - 170	168	15	2520	11,4	89	67,4
171 - 175	173	22	3806	16,7	111	84,1
176 - 180	178	19	1780	7,6	121	91,7
181 - 185	183	5	915	3,8	126	95,5
186 - 190	188	5	940	3,8	131	99,2
191 - 195	193	1	193	0,8	132	99,9
$A_5$ - Alungirea relativă, %						
2,0 - 2,5	2,25	11	24,75	8,3	11	8,3
2,6 - 3,0	2,80	52	145,60	39,4	63	47,7
3,1 - 3,5	3,30	31	102,30	23,5	94	71,2
3,6 - 4,0	3,8	14	53,20	10,6	108	81,8
4,1 - 4,5	4,3	6	25,80	4,5	114	86,4
4,6 - 5,0	4,8	3	14,40	2,3	117	86,6

- Stare lemn tratate -



Variația extensibilității și rezistenței la tracție în funcție de  
durată și starea lemnului tratat

Continuare tabel 12.1

0	1	2	3	4	5	6
5,1 - 5,5	5,3	3	15,90	2,2	125	98,9
5,6 - 6,0	5,8	3	17,40	2,3	123	93,2
6,1 - 6,5	6,3	3	18,9	2,2	126	95,5
6,6 - 7,0	6,8	2	20,4	1,5	120	97,0
7,1 - 7,5	7,3	3	21,9	2,3	131	99,2
7,6 - 8,0	7,8	0	0	0	131	99,2
8,1 - 8,5	8,3	1	8,3	0,8	132	99,9
HB - Duritatea Brinell - $\text{kg/mm}^2$						
48,0 - 49,9	48,95	4	195,80	3,0	4	3,0
50,0 - 51,9	50,95	4	203,80	3,0	3	6,1
52,0 - 53,9	52,95	4	211,80	3,0	12	9,1
54,0 - 55,9	54,95	6	229,70	4,5	13	13,6
56,0 - 57,9	56,95	5	234,75	3,8	23	17,4
58,0 - 59,9	58,95	1	58,95	0,3	24	18,2
60,0 - 61,9	60,95	0	0	0	24	18,2
62,0 - 63,9	62,95	0	0	0	24	18,2
64,0 - 65,9	64,95	0	0	0	24	18,2
66,0 - 67,9	66,95	0	0	0	24	18,2
68,0 - 69,9	68,95	16	1103,20	12,10	40	30,3
70,0 - 71,9	70,95	75	5321,25	56,3	115	87,1
72,0 - 73,9	72,95	17	1240,15	12,9	132	99,9

- Distribuția frecvenței de apariție a rezultatelor cu frecvență maximă, prezentată în fig.12.2; fig.12.4 și fig.12.6, indică prin peakurile curbei, domeniul de densitate mare a rezultatelor obținute pentru un vacum de  $(35 \pm 5)$  mm.col.Hg.

Această concluzie vine să întărească considerațiile rezultante din diagrame de variație biunivocă a caracteristicilor mecanice funcție de nivelul de vid.

- Prezentarea datelor inserate în tabelul nr.12.1 sub forma distribuției cumulate este unor preferată distribuției de frecvență, deoarece este mai puțin influențată de nodul de alegare a limitelor intervalului decât distribuția frecvenței.

Această reprezentare a valorilor inserărilor mecanice, obținute la diferite nivele de vid utilizate în procesul tehnologic de elaborare a aliajului cerșetat, exprimă probabilitatea ca va-

lorile rezistenței la tracțiune, alungirii relative și duratătii Brinell și fie mai mici sau egale cu cele determinante experimentale.

Distribuția frecvenței cumulate a valorilor rezistenței la tracțiune (fig. 12.3) are o placare mediană domeniului de împrejmuire a valorilor corespunzătoare nivelelor optime de vid.

Cmparativ cu aceasta altura distribuției frecvenței cumulate a valorilor alungirii relative este deplasată spre ordinatii, marind domeniul de dominanță a rezultatelor înregistrate pentru aceleasi nivale de vid.

In schimb, curba de variație a distribuției frecvenței cumulate pentru duritatea Brinell prezintă o inflexiune deteriorată lipsită valorilor înregistrate pentru domeniul  $(60,0 - 69,9)$  dall/ $\text{mm}^2$ .

Din analiza completă, realizată prin studiu, grafic și statistică al valorilor caracteristicilor mecanice determinante pentru starea brut turată se desprinde concluzia generală că domeniul optim de elaborare al aliajului ATCig10, în vid este reprezentat prin  $p = (35 - 10)$  mm.col.Hg unde se obțin rezultatele maxime pentru rezistență la tracțiune și medii pentru alungire și durată, corelate cu o structură primară cu predispoziție favorabilă pentru tratamentul termic de punere în soluție și întărimise materială.

## 12.2. Relație

niv. de vid  $\rightleftharpoons$  proprietăți mecanice  $\rightleftharpoons$  condi-

---

ționare termică

Studiul relației triple niv. de vid - proprietăți mecanice - condiționare termică s-a realizat printr-o exprimare grafică spațio-planară care evidențiază mai concret modul de variație a caracteristicilor mecanice funcție de parametrii tehnologici de prelucrare termică în stare lichidă și solidă a aliajului cercetat.

In plus, elementul variant - tratamentul termic (TT) este studiat prin cele două aspecte de influențare principale: temperatură de punere în soluție și temperatură de călăre.

Se realizează astfel o cercetare la parametri cincipli de variație, ceea ce conduce la o apreciere sintetică a mecanismului de influențare și determinare a valorilor caracteristicilor mecanice.

A această expoziție grafică, a valorilor experimentale inserate

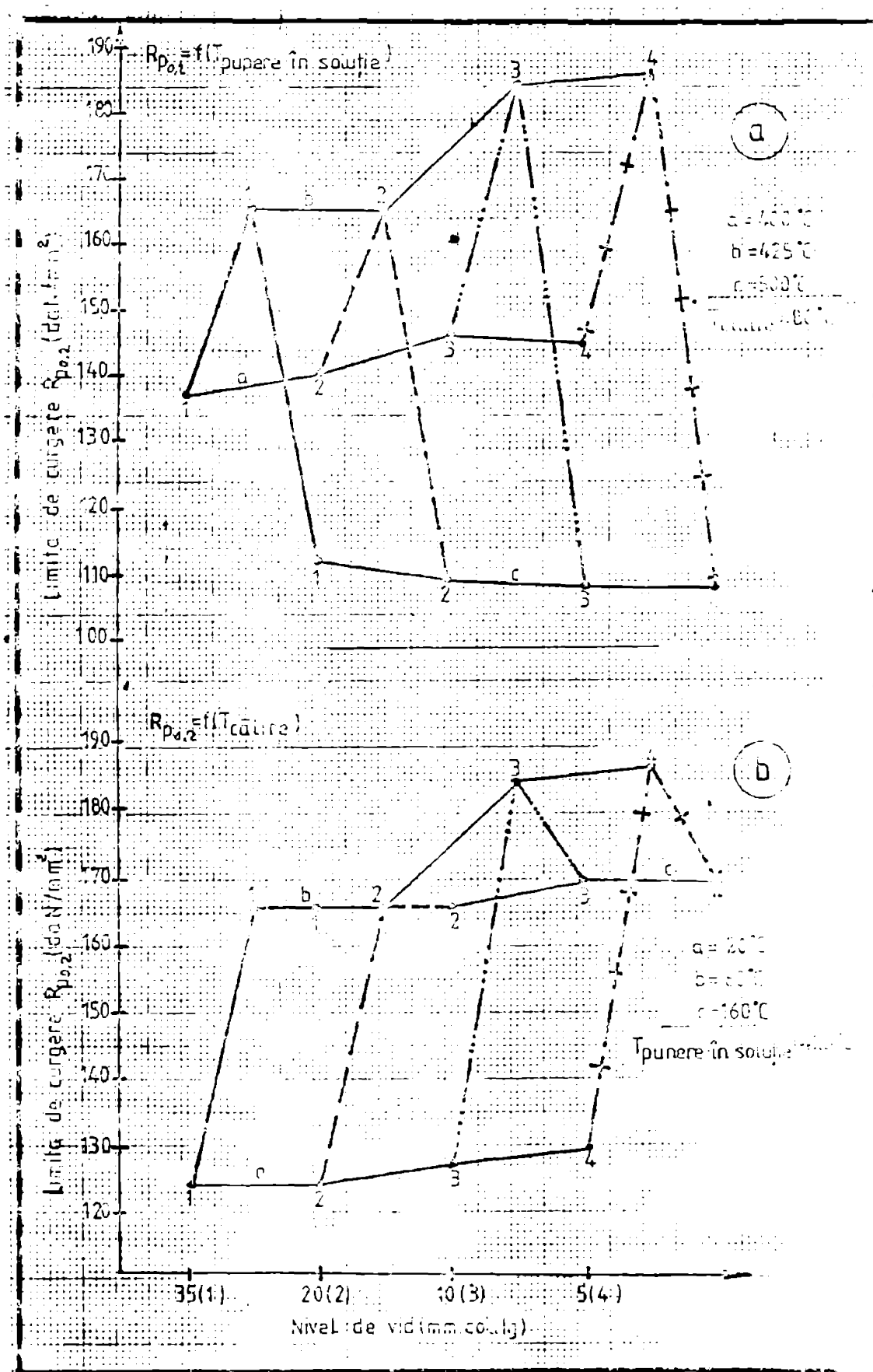


Diagram of variation triplets  $T\cdot T \rightleftharpoons R_{p0,2} \rightleftharpoons R_v$

**a.** variation parameter  $T\cdot T$ : purification in solution

**b.** variation parameter  $T\cdot T$ : solid

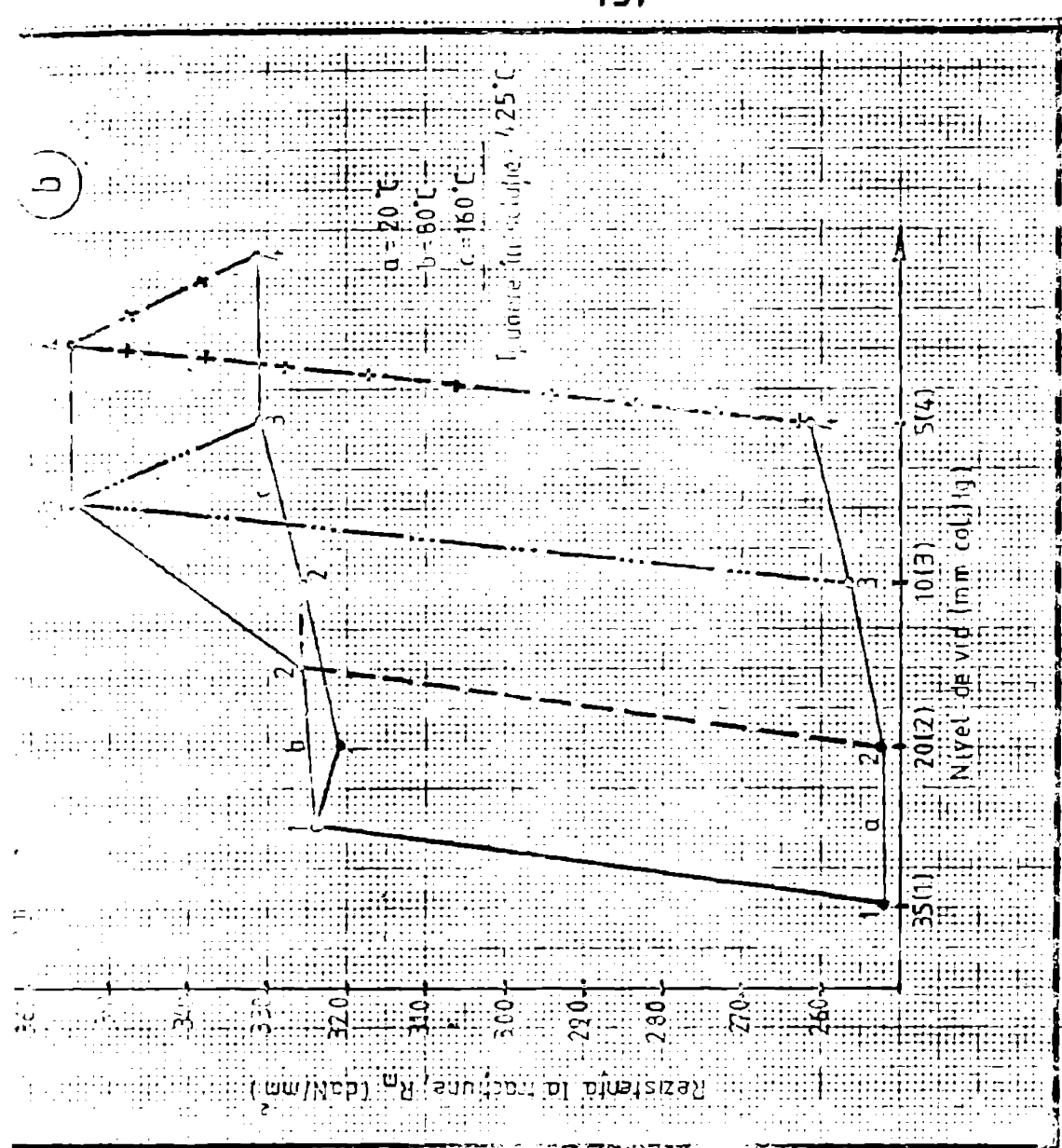


Fig. 12.9.b  
Diagram de variație a rezistenței la tracțiune și  
variația parametrului  $\tau_{tsp}$  în  
durata parcurgută  $\tau_{tsp}$  în  
searașare

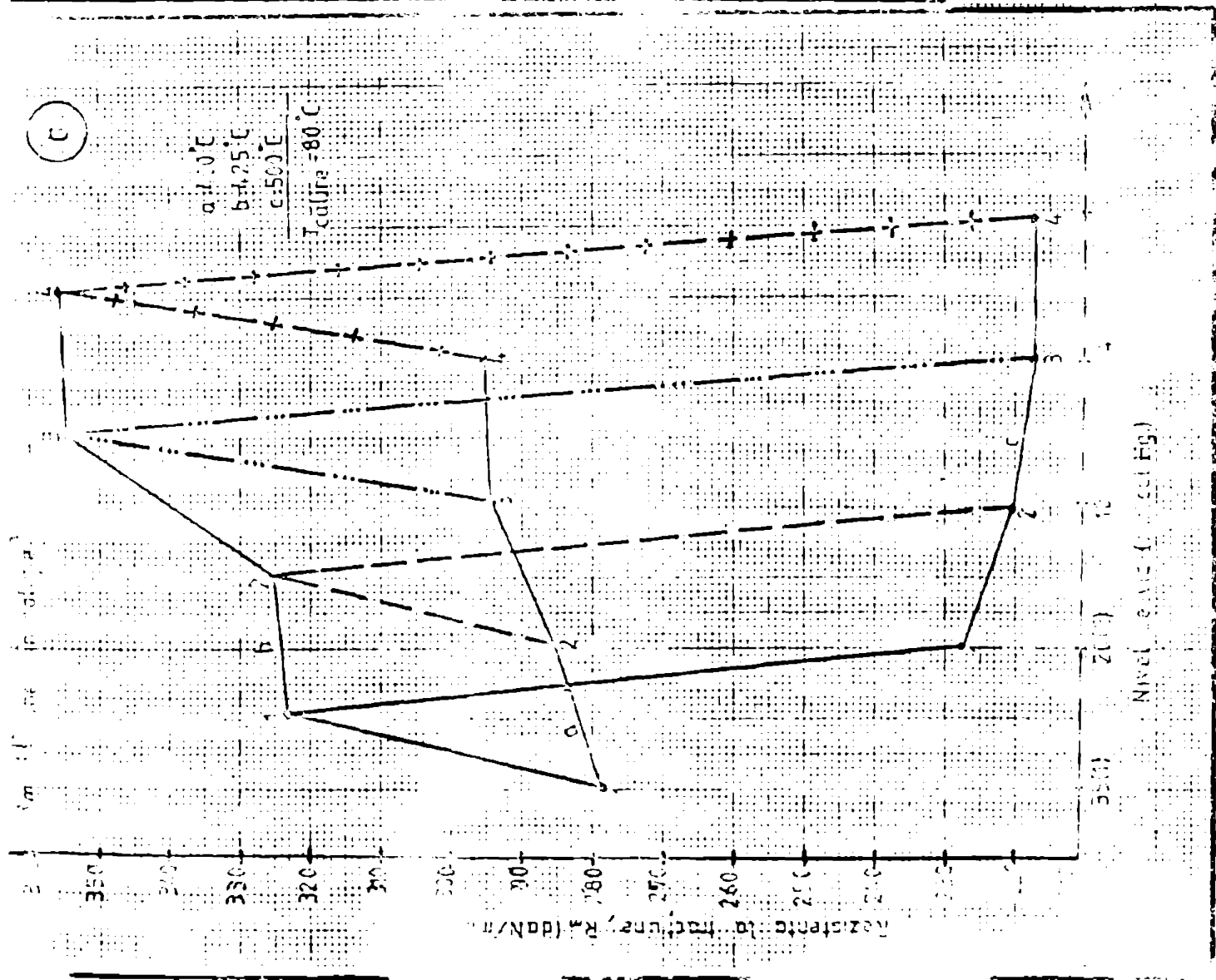
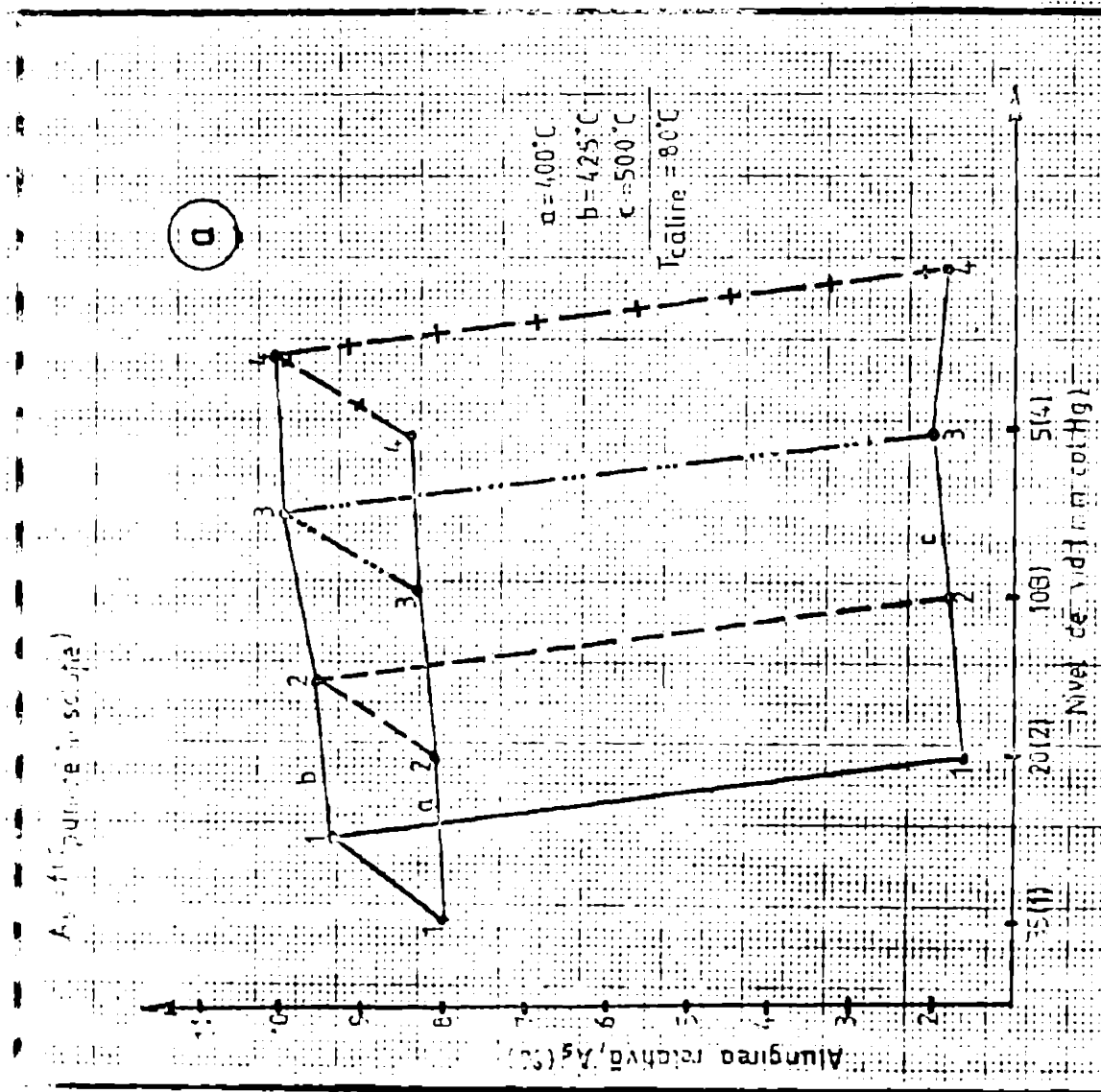
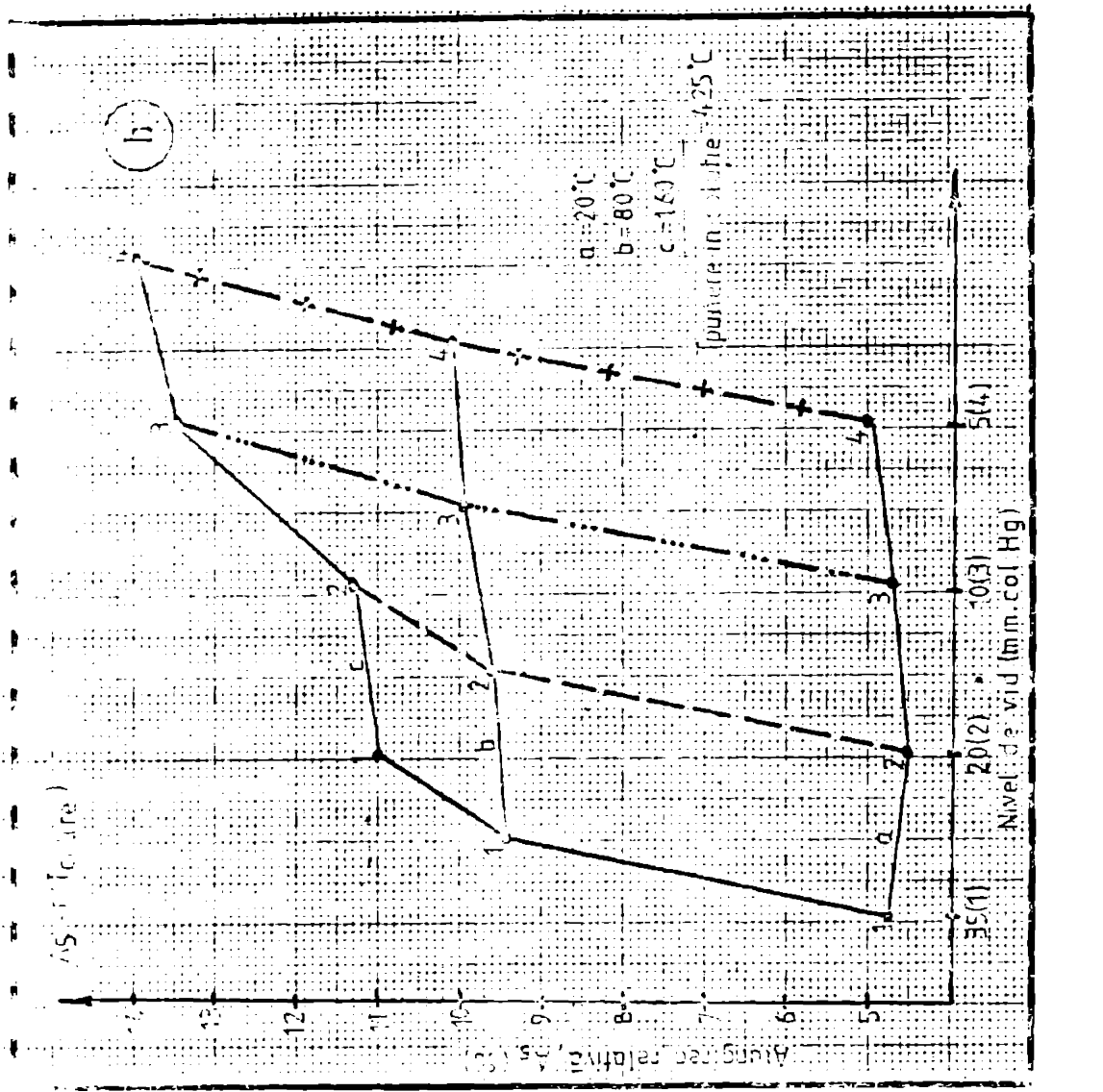
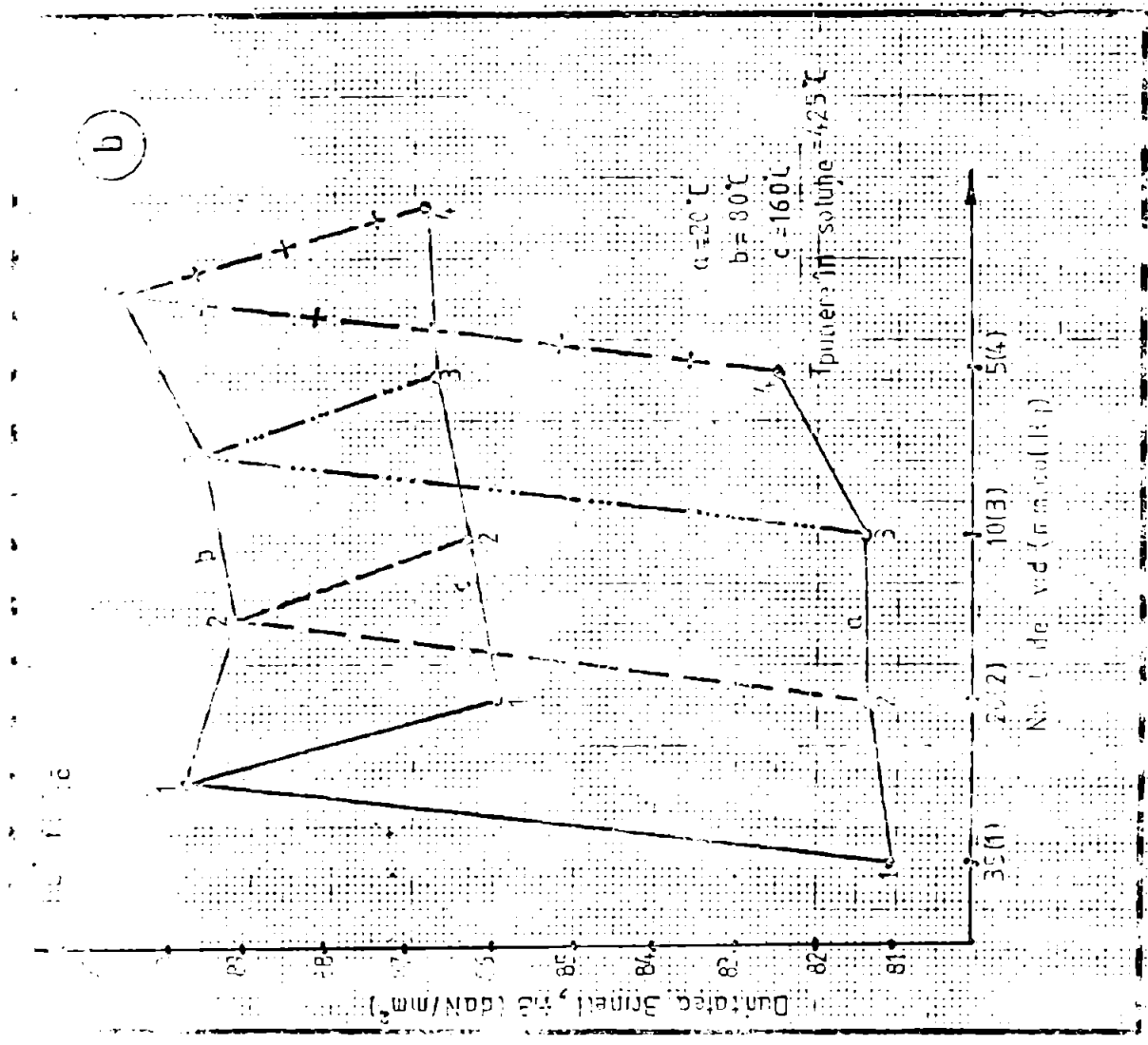


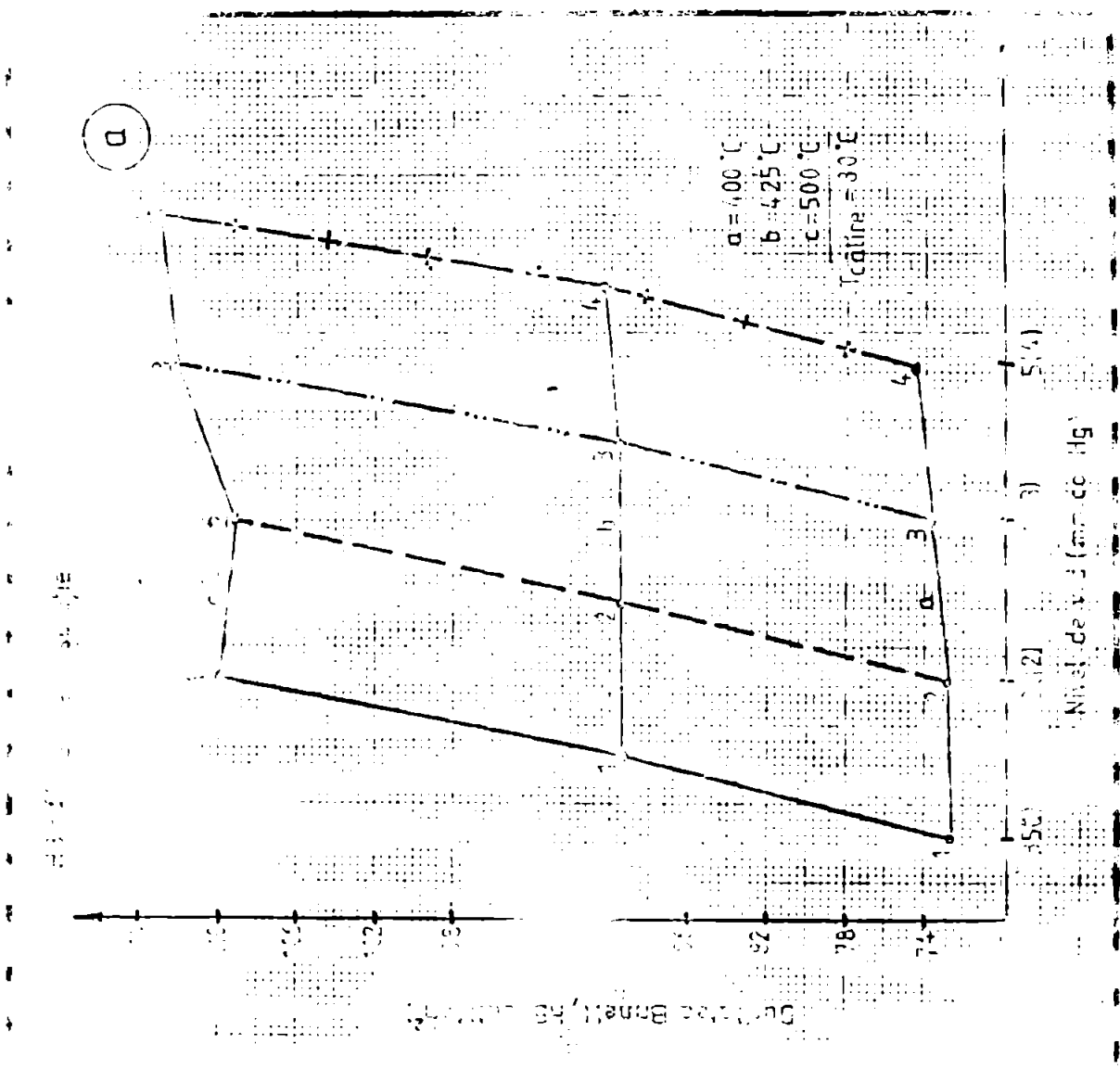
Fig. 12.9.c

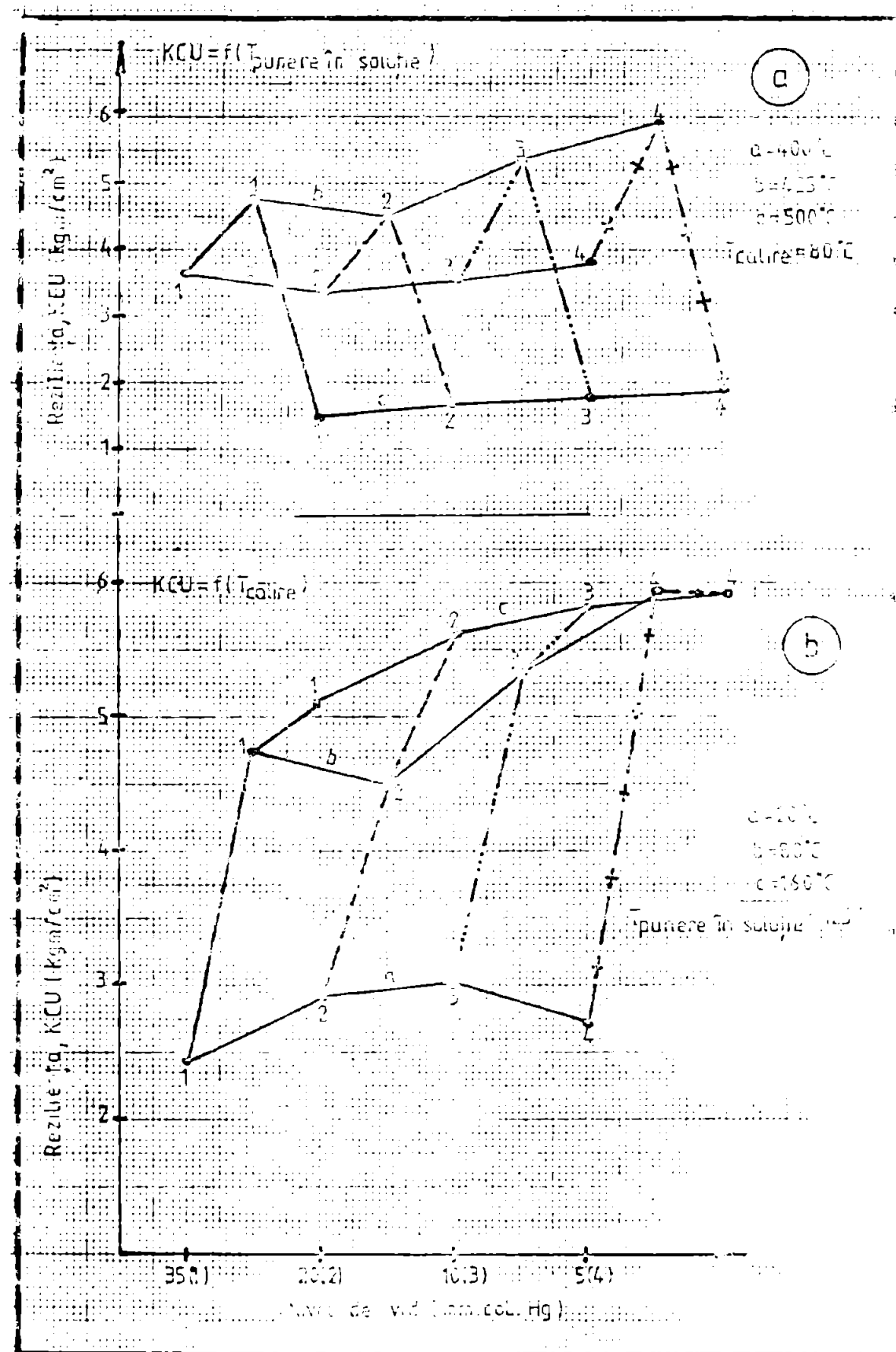


**Fig. 12.19**  
Diagramme de variation triple!  
a - variation par température T° ;  
b - variation en soluté



**Fig. 12.11**  
Diagrama de variação tripla:  
 $\text{f.pt.} \rightleftharpoons \text{vpd} \rightleftharpoons \text{v.p.d.}$   
**b** - variação paralela entre  $\text{f.pt.}$  e  $\text{v.p.d.}$





în tabelul nr.9.2(exp.IX), este realizată în diagramele din figurele 12.8 - 12.12.

În fiecare diagramă este reprezentată o familie de curbe(a; b; c) ce reproduc variația bilaterală - caracteristică mecanică -> nivel vid (N<sub>v</sub>).

Prin unirea punctelor corespondente valorilor omologe, prin curbile(1;2;3;4) se obține o a doua variație biunivocă:

proprietate mecanică -> temperatură punere în solu-  
ție(a)

sau:                    proprietate mecanică -> temperatură de călare (b).

Cele două reprezentări planare sunt conjugate pseudospațial, închizind domeniul de variație triplă:

tratament termic -> proprietate -> nivel de vid.

Astfel, curbile (a,b,c) devin locul geometric al punctelor de variație a caracteristicilor mecanice - funcție de parametrii condiționarii termice în stare solidă.

Alături și modul lor de mișcare prin domeniul de variație conduce la optimizarea regimului termic la tratamentul în stare solidă, corelat cu nivelul favorabil, de vid, pentru obținerea de caracteristici mecanice superioare.

Totodată grupul de curbe(1,2,3,4), dă indicații concrete asupra modului de influență a vacuumului, aplicat în cursul elaborării pentru obținerea de caracteristici mecanice cu valori ridicate.

Astfel :

a. Lăsita de curgere Rv 0.2, prezentată, în variabilitate triplă în fig.12.8.a - 12.8.b, înregistrează o creștere a valorilor sale în domeniul (35-5) mm.coil.Ng, pentru temperaturile de punere în soluție de 400°C și respectiv 425°C, și o reducere a lor pentru temperatură de 500°C.

Același aspect îl prezintă și variația funcție de temperatură de călare, unde valorile minime ale limitei de curgere sunt înregistrate pentru temperatura de 20°C.

b. Resistența la tracțiune R<sub>tr</sub>, a cărei variabilitate este redată în fig.12.9.a-12.9.b, prezintă același aspect al curbelor, cu valori maxime pentru temperatură de punere în soluție de 425°C și de călare în vîrstă la 80°C.

c. Alungirea relativă A<sub>5</sub>, are graficul de variație similar, în funcție de temperatură de punere în soluție(cu axă la T =

$425^{\circ}\text{C}$ ), dar relevă valori mai mari pentru călirea în ulei la  $160^{\circ}\text{C}$  (fig.12.10 a și b).

d - Duritatea Brinell, HB, prezentată în diagramele din figurile 12.11.a - 12.11.b, evidențiază o creștere continuă a valorilor pentru temperatură de punere în soluție pe întreg domeniul de încălziri ( $400\text{--}500^{\circ}\text{C}$ ).

Aceasta trădează un început de ardere a aliajului, în cursul tratamentului termic la  $500^{\circ}\text{C}$ , prin tăpirea limitelor de cristal.

Funcție de temperatură mediană de călire, duritatea prezintă un maxim pentru  $T_c = 80^{\circ}\text{C}$  și o diminuare a mărínilor ei la  $T_c = 160^{\circ}\text{C}$ , cind, datorită transformărilor deconfigurate cu o viteză mai redusă, are loc o creștere substanțială a graniților cristalini de  $\text{SS}\alpha\alpha$  ( $\text{Al}$ ) cu duritate mult mai mică, iar separările de  $\beta$  ( $\text{Al}_3\text{Mg}_2$ ), sunt fin repartizate la limita de grăunte, cu un efect durificator mai redus.

e - Rezistența MCV, cu diagramele de variație prezentate în fig.12.12.a - 12.12.b, exprimă valori mai mari, starea de tensiune, rezistență, după condiționarea termică în stare solidă, a aliajului ATCMg10.

Funcție de temperatură de punere în soluție, rezistența prezintă o variație analogă cu celelalte parametrii mecanici studiați, luând valori maxime pentru palierul de  $425^{\circ}\text{C}$ .

În schimb, starea de relaxare maximă a structurii, se instalează la o temperatură de călire de  $160^{\circ}\text{C}$ , cind, prin viteză mai redusă de răcire, se asigură o diminuare semnificativă a tensiunilor interne din aliaj.

Totuși călirea în ulei, la temperatura de  $80^{\circ}\text{C}$ , asigură obținerea unor valori medii, dar cu mărime absolută destul de mare comparativ cu cea obținută la alte aliaje.

Acest fapt, deosebită că elaborarea în vid, duce la o eliminare avansată a ineluțiilor nemetalice și a gazelor, determinând obținerea unei结构uri compacte și continue în totală masa materialului.

Aceasta este reliefată, de altfel și de obținerea celor mai mari valori ale rezistenței pentru nivelele de vid superioare ( $\nu = 5 \text{ mm.col.Hg}$ ).

Din studiul comparat al întregului sistem de prezentare grafică a relației triple:

tratament termic  $\longleftrightarrow$  proprietăți mecanice  $\longleftrightarrow$  nivel de vid

rezultă că valorile optime ale caracteristicilor mecanice, înințind coint și de condițiile și posibilitățile de aplicare la scara industrială a rezultatelor cercetărilor întreprinse, se pot obține prin realizarea următorilor parametrii tehnologici de lucru:

- nivel de vid, la elaborarea aliajului, sau la degazarea prin vid a acestuia;

$$N_V = (35 - 20) \text{ mm.col.Hg.}$$

- temperatură de punere în soluție, în cursul tratamentului termic :

$$T_{P,S} = 425 \pm 10^\circ\text{C}$$

- temperatură mediului de răcire, la călire:

$$T_C = 80^\circ\text{C}$$

- mediu de călire: ulei.

### 12.3. Relația

#### proprietăți mecanice ↔ structură

Relația proprietăți mecanice ↔ structură este deosebit de complexă deoarece în influențarea lor reciprocă intervin o serie de factori tehnologici ca:

- viteza de răcire la solidificare ;
- nivelul de vid la elaborare ;
- grosimea de perete ;
- compozitia chimică ;
- tipul și cantitatea de modifier ;
- parametrii tratamentului termic ;
- calitatea materiilor prime, s.a.

Exprimarea său grafică ar fi deosebit de dificilă, studiul în bivariatie sau chiar în sistem trivariant nu ar reflecta necesarul complex de influențare.

Totuși, pentru structura primară a stării brut tozinate s-a traseat curbele de variație ale rezistenței la tracțiune și alungiri relative funcție de structură, folosind ca parametru variabil cantitatea separărilor fazei  $\beta$  ( $\text{Al}_3\text{Mg}_2$ ) în valori procentuale raportate la mărimea cimpului cercetat, prin planimetru (fig.12.13)

Traекторia celor două curbe traseate prezintă aceeași formă de variație, datorită interdependenței biunivocе dintre rezistență și alungire. Se observă cum, la grade mari de dispernie a compusului lui  $\beta$  ( $\text{Al}_3\text{Mg}_2$ ) pentru nivele peste limite tehnologice de lucru ( $p = 10 \text{ mm.col.Hg}$ ) are loc o creștere a plasticității aliajului în

stare brut turnată datorită reduscerii conținutului de magneziu prin vaporizare.

Pentru vidul groaier, unde separările de fază  $\beta$  sunt dezvoltate, înconjurând practic limita de cristal cei doi parametrii mecanici indică o scădere a valorilor prin reducerea conținutului dințre cristale.

La creșterea gradului de dispersie a fazei  $\beta$ , obținută la nivele de vid între 5 - 10 mm.col.Hg atât rezistență cît și alungirea iau mărimi crescătoare continuu pînă la atingerea limitelor tehnologice de lucru.

Structura secundară, obținută prin condiționare termică în stare solidă, beneficiajă de o ereditate cristalină, preia aceste influențe peste care se suprapune mecanismul transformărilor în stare solidă.

Astfel, la temperaturi pentru palierul de punere în soluție plasate la limita valorii de  $400^{\circ}\text{C}$ , structura nu exprimă o transformare completă, însăși de o precipitare optimă a fazei  $\beta$ .

Acest fenomen se reflectă în valori mai mici ale caracteristicilor mecanice.

Atingerea temperaturii de transformare ( $425^{\circ}\text{C}$ ) este pusă în evidență, structural, printr-un grad avansat de precipitare și de dispersie a fazei  $\beta$ , însăși de creșteri semnificative ale proprietăților mecanice.

În plus, introducerea unei noi variabile, pentru acest al doilea tip de tratament ( $T_{ps} = 425^{\circ}\text{C}$ ), și anume viteză de răcire la cald, aduce noi influențe asupra structurii secundare și a caracteristicilor mecanice.

La viteza de răcire accelerată (ulei la  $20^{\circ}\text{C}$ ) se observă o înghețare<sup>\*</sup> a structurii transformate pe palierul de punere în soluție, astfel că nici după precipitarea prin inhibiținirea interzisă ( $240\text{h}/20^{\circ}\text{C}$ ), separările de  $\beta$  ( $\text{Al}_3\text{Mg}_2$ ) nu capătă o dezvoltare corespunzătoare concentrației de magneziu din aliaj.

Poate fi spus, că proprietățile mecanice nu ating valurile impuse, ducind la o diminuare a lor cu circa 30 %, față de cele atinse la o viteză mai moderată de răcire ( $0.80^{\circ}\text{C}$ ).

La viteză medie de răcire (ulei la  $80^{\circ}\text{C}$ ) considerată inițial ca optimă și confirmată în cadrul experimentărilor efectuate, se înregistrează o repartizare ideală, în structură, atât cantitativ, cît și ca formă și dispersie a fazei  $\beta$  ( $\text{Al}_3\text{Mg}_2$ ).

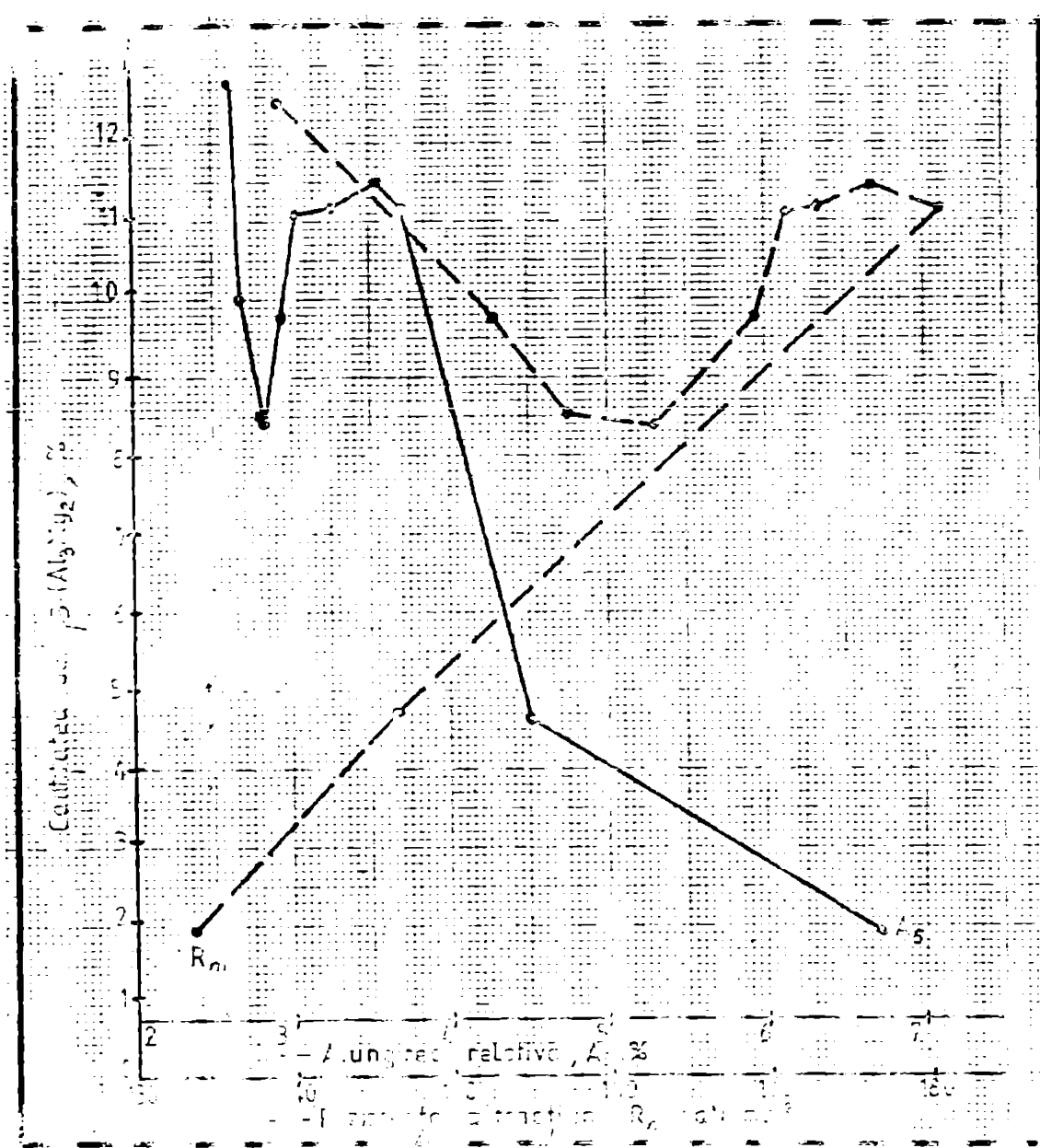


Fig.12.13  
Variatia rezistentei la tracțiune și a alungirii relative functie de structură (cantitatea de  $\beta$ ) (variatie dată de determinări planimetrică pe structura eșantioanelor 030-040)

Măruntirea corectă a fazei  $\beta$ , concomitent cu localizarea ei discontinuă, la limita cristalelor de 53  $\alpha$  (Al), creează prezile obținerii unor înalte caracteristici mecanice și a unei foarte bune rezistențe la coroziune.

Influența nivelului de vid se manifestă și în acest caz prin adințirea gradului de finisare și dispersie a structurii, la creșterea nivelului său.

La răciri lente (vid la  $160^{\circ}\text{C}$ ), structura prezintă separări mai mari de  $\beta$  ( $\text{Al}_2\text{Mg}_2$ ) dar tot discontinue și repartizate uniform în structură. Beneficiul acestui tip de structură este dat mai mult de creșterea alungirii relative, rezistența la tracțiune înregătrindu-se în moduri minime.

La depășirea temperaturii punctului critic de transformare în stare solidă ( $475^{\circ}\text{C}$ ) prin tratamentul de punere în soluție la  $500^{\circ}\text{C}$  apar modificări structurale esențiale ce conduce la disimilitudinea substanțială a caracteristicilor mecanice.

La această temperatură, structura este puternic influențată prin creșterea concentrației mărimei de grăunți, repartizarea continuă a fazei  $\beta$  și apariția punctelor de topire zonala interstitială.

Prin cercetarea procesului de influențare proprietăți mecanice  $\leftrightarrow$  structură, s-au adus unele clarificări asupra mecanismului de determinare a modificărilor structurale, în sensul obținerii unui anumit nivel pentru caracteristicile mecanice, dar această problemă fiind deschisă de complex, necesită continuarea studierii sale în special prin extinderea cercetărilor prin difracție, microdifracție și microscopie electronică.

La acest nivel de investigație se poate găsi și soluționează interacțiunea structură-proprietăți și fundamentele legile de variație și interdependență reciprocă.

#### 12.4. Relația

$$\text{compoziție chimică} \rightleftharpoons \text{structură} \rightleftharpoons \text{nivel de vid}$$

Relația de interdependență a structurii cu compozitia chimică pe de o parte și cu nivoul de vid, pe de altă parte a fost studiată prin intermediul unor parameetri strucurali legați de densitatea fazei  $\beta$  ( $\text{Al}_3\text{Mg}_2$ ) în cimpul structurii și de mărimea grăunțului cristalin.

În plus, s-a determinat variabilitatea conținutului în magneziu și a gradului său de assimilare făcă de nivoul de vid la operația de elaborare, ca factori de influențare a structurii primare.

Astfel, variația conținutului în magneziu dată de tabelul nr. 8.4, în varianta C2/M2 pentru  $p \leq 330 \text{ mm.col.Hg}$  și în tabelul 8.2 varianta C2 pentru  $p = 760 \text{ mm.col.Hg}$ , prezentată în fig. 12.14 evidențiază o ușoară diminuire a sa în domeniul  $p = (760 - 330 \text{ mm.col.Hg})$  datorită cantității de oxigen rămășent în atmosfera captorului care crește relativ oxidabilitatea acestuia.

Apoi curba se îndreaptă pe o pantă ascendentă pînă la  $p = 10 \text{ mm.col.Hg}$ , considerată, din acest punct de vedere, ca limită tehnologică de elaborare pentru acest aliaj.

Peste aceasta, evaporarea accelerată a magneziului datorată reduserii presiunii de vaporii, duce la scăderea bruscă a magneziului

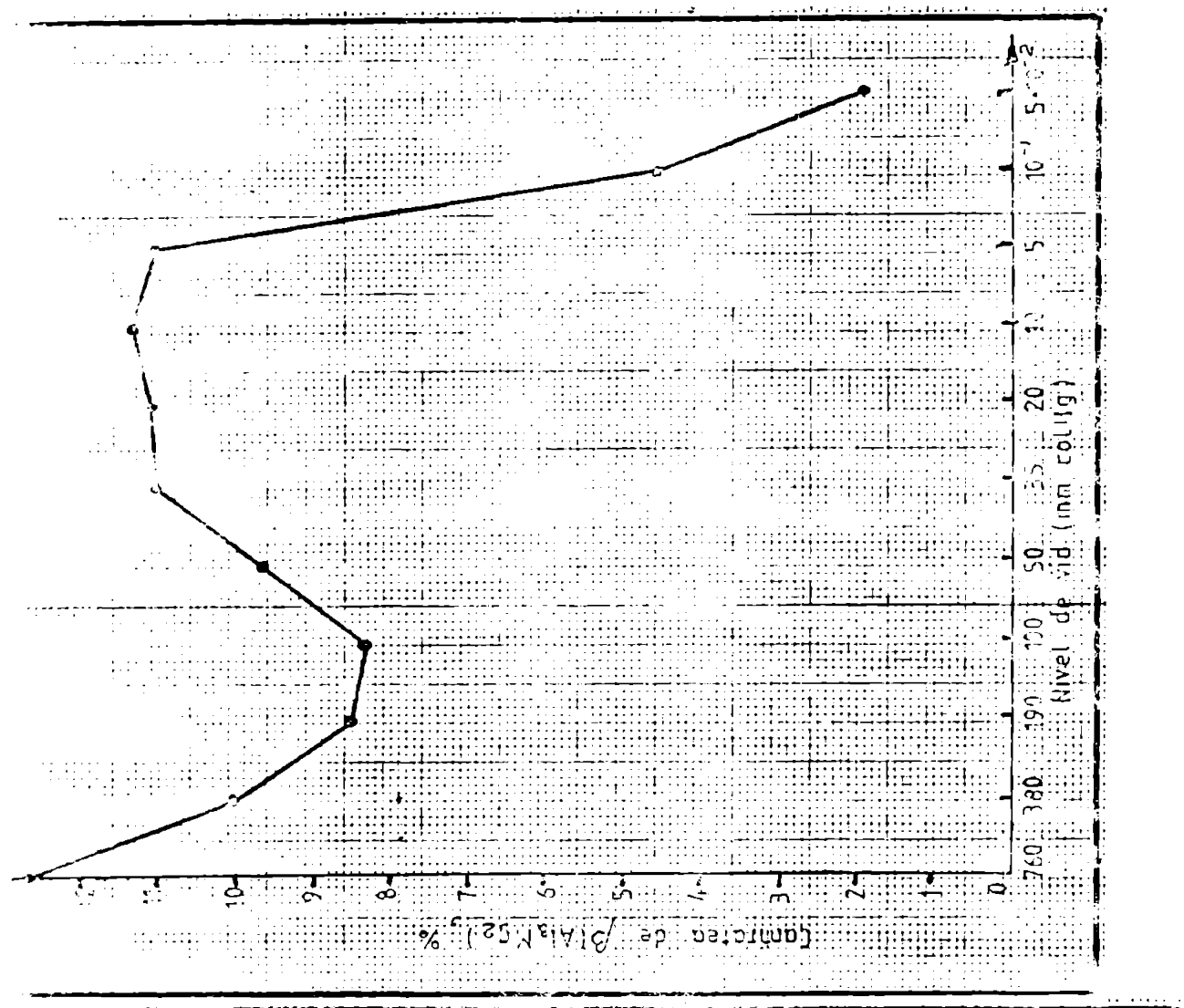


Fig. 12.14  
Variación constante de presión en la primera fase de un ciclo fundamental.  
En este caso se aplica la ecuación de la tensión de la redonda (eq. 12.12),  
que es válida para elásticos elásticos y rígidos.

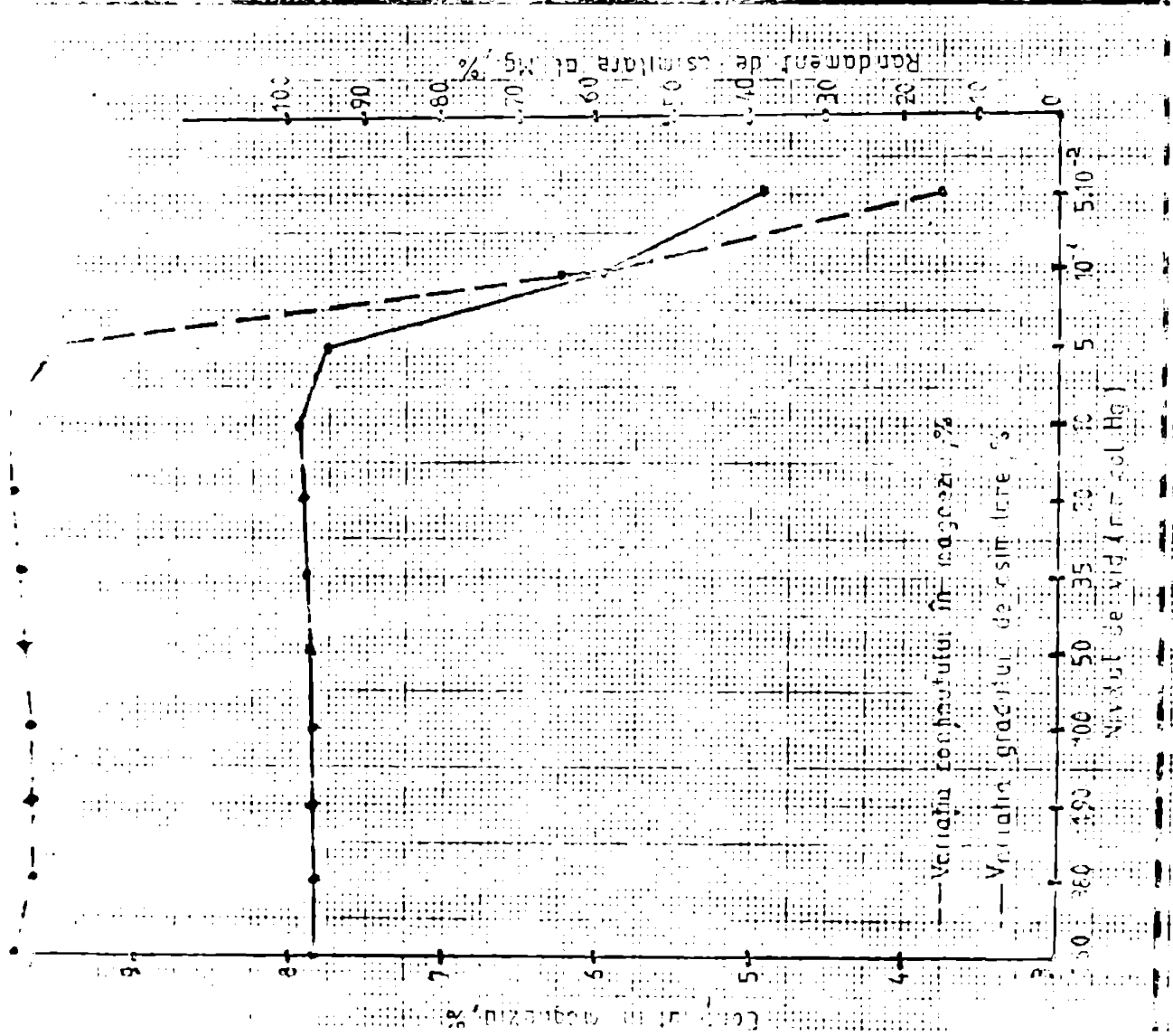


Fig. 12.15  
Variación constante de presión en la primera fase de un ciclo fundamental.  
En este caso se efectúa el cálculo al aplicar la ecuación (12.12) a los datos de determinación planteados en la figura anterior; son los que se obtienen.

din aliaj.

Acest fenomen este, de altfel subliniat și de variația gradului de asimilare a magneziului (fig.12.14) inițial crescătoare, la limita tehnologică înregistrând aceeași descreștere accentuată.

Constituentul predominant în structura aliajului AlMg10 -  $\beta(\text{Al}_3\text{Mg}_2)$  - separat pe limita de cristal al soluției solide  $\beta\alpha$  (Al) prezintă o serie de particularități de formare. Variația cantității de separări  $\beta$ , în raza metalei de bază, funcție de nivelul de vid (fig.12.15) redă unul dintre aceste aspecte.

Astfel, în prima fază a procesului de vidare, datorită turbulentei create de eliminarea puternică de gaze se produce un dezechilibru dinamic al stărilor de presiune în fază lichidă care determină o parte din magneziu să fie fixat, în locul golurilor create de eliminarea inclusiunilor nemetallice și de gaze, între dendritele de  $\beta\alpha$ .

Astfel, se poate considera existența unei a treia pseudofaze, și nume - „spațiul interdendritic liber (SIL)”. În acest caz structura aliajului, elaborată la nivele de vid  $p = (3.0 - 100 \text{ mm.col.Hg})$ , devine:



Acest spațiu interdendritic liber poate capta o parte din atomi de magneziu ce tind să migreze spre limitele graumtelui cristalin, formând coagulația  $\beta'$ .

Astfel, aparent poate apărea o diminuare a cantității de magneziu, înfrângând de componența chimică ce nu înregistrează modificări esențiale ale conținutului în acest element, și de nivelul caracteristicilor mecanice în stare brut turnată.

Prin creșterea depresiunii create, are loc o reechilibrire a termodynamicii procesului de generare a fazei  $\beta$ , iar spațiuul interdendritic liber se diminuează și prin creșterea eficiențăi modificatorului.

Aceasta determină o fărâmitare avansată a dendritei și în primul rând, împiedică creșterea și dezvoltarea dendritelor secundare și mai ales a celor terțiere. Apără un fenomen de blocare reciprocă a dezvoltării dendritelor ce are drept consecință reducerea zonelor SIL.

În acest mod, cantitatea de  $\beta$ , evidențiată în structură va crește într-o fază mai rapid și apoi mai lent, pe măsură ce se refac echilibrul de dezvoltare a acestor constituyenți.

La atingerea pragului tehnologic limită ( $p = 5 \text{ mm.col.Hg}$ ), apare o micșorare ireversibilă a cantității de fază  $\beta$ , prin efectul de vaporizare a magneziului.

La condiții tehnologice de lucru identice, se înregistrează de aceeași influențare structurii, prin concentratia în Mg, din aliaj, manifestată prin creșterea corelată a mărini de grăunte (fig.12.16). Raliul manifestat pentru proporții de 9-10 % Mg, reprezentă elementul de tranziție dintre aliajale mediu și cele finalt aliante cu magneziu.

Totodată aceasta explicitează și ipoteza existenței compusului solid  $\beta'$ , la nivale de vid groaier și concentrații sub 10 % Mg. Trecind în domeniul aliajelor bogate în Mg, cantitatea de fază  $\beta$  crește.

Ajuns însă la limita de migrare spre limită de grăunte, aceasta are un efect de frinare a creșterii grăuntelor, fenomen similar cu cel realizat de modificării cu acțiune superficială, ce realizează bariere prin statorile de adsorbție formate, în special la aliajale din grupa Al-Si.

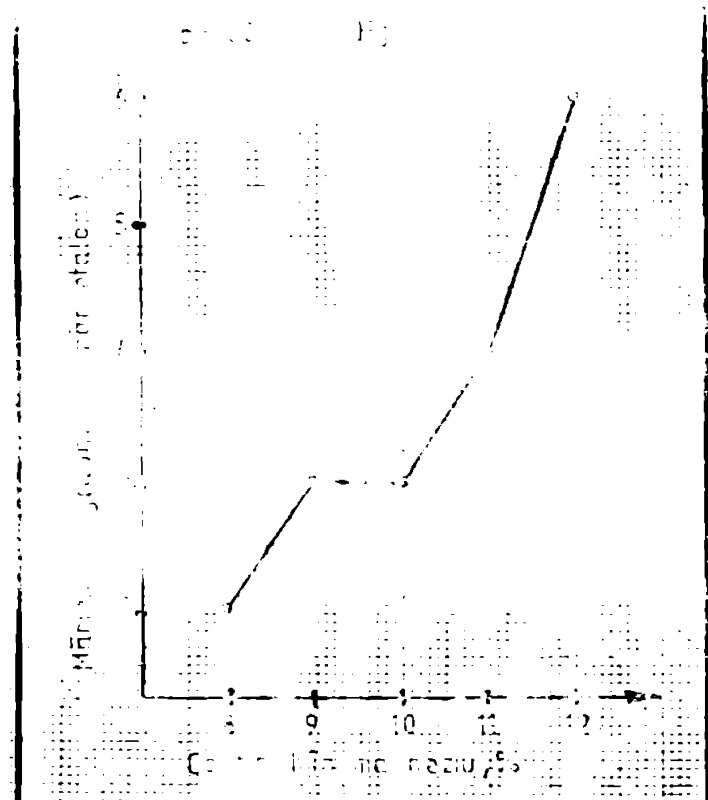
Fig.12.16  
Variația mărini de grăunte în funcție de conținutul în magneziu (variație dăta de studiul structurii cavitărilor 041e045)

91.

Pentru realizarea caracteristicilor fizico-mecanice superioare, pe fondul obținerii unei structuri secundare favorabile, este necesar de a asigura stării brut turcate, condițiile necesare de apariție a unei structuri primare fine.

Acest efect îl realizează elementele modificatoare, a căror acțiune, exprimată prin cantitatea de modifier introdusă se repercuzează în mod evident asupra mărini de grăunte corespunzătoare structurii primare (fig.12.17).

Din aceste cercetări întreprinse, pentru stabilirea unei relații între compoziție chimică-structură-nivel de vid, se desprind o serie de instrumente de influențare a modului și mărini de cristalizare a celor două faze principale -  $3S\alpha$  (Al) și  $\beta$  (Al<sub>2</sub>



$\text{Al}_2\text{O}_3$ ), în anumite direcții care să conduce la final la obținerea unui aliaj cu caracteristici superioare.

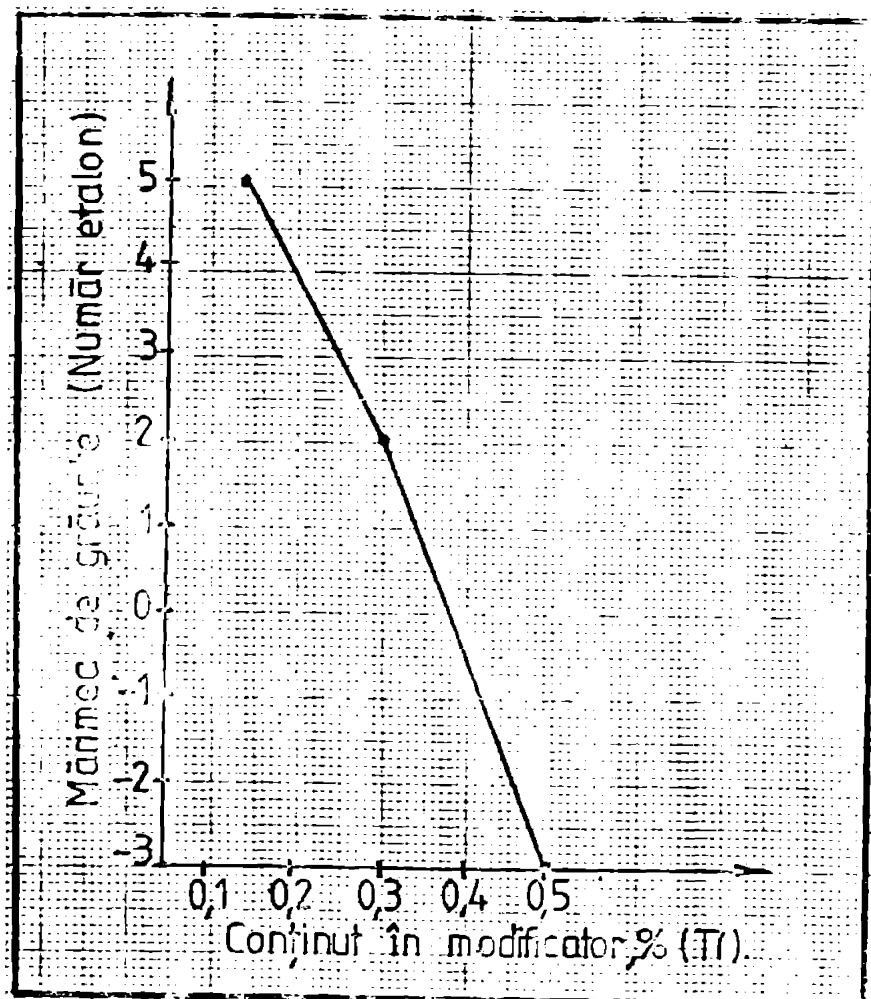
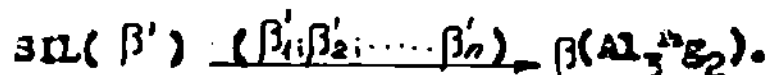


Fig.12.17  
Variatia numarului de găuri cu cantitatea de modificator (variatie data de studiul structurii esantionelor 011, "14, "15).

Concluzionând se poate spune că, determinant pentru obținerea unei amanite structuri, cu caractere favorabile și predispozitie optimă pentru condițiile termice se impune ca, pe lângă respectarea calității materialelor, a prescripțiilor de lucru recommended și a limitelor tehnologice pentru nivelul de vid este nevoieștei de transformări în stare solidă



Acest fenomen se desfășoară atât în strucutură primară cît și în strucutură secundară, într-un mod foarte nedeterminat.

S-a pus în evidență faptul că, la presiune atmosferică și la nivale de vid groșier (pînă la 100 mm.col.Hg) există o posibilitate mai mică de transformare  $\beta' \rightarrow \beta'$ . La nivale de vid mai mari, și sub influența, probabil a modificatorului stabilitatea compusului  $\beta'$  scade, reacția desfășurindu-se în sensul formării fazei  $\beta(\text{Al}_3\text{Ag}_2)$ .

Este de acord, posibil ca, prin existența unor mai mari concentrații de atomi de magneziu pe interfața cristalelor  $\alpha\beta$  să se crească condițiile precizante de formare a compusului  $\beta'$ , dar tehnicele acestei formări mult mai complexe vor putea fi elucidate în viitor printr-un studiu aprofundat, în acest domeniu.

### 12.5. Relația

#### parametrilor tehnologici — structură

"Relația bilaterului parametrii tehnologici — structuri exprimă modalitatea practică de influențare directă a caracteristicilor mecanice, prin intermediul variației într-un mod sau altul a tipului de structură, al fazelor evidențiate și a mărimiilor de grăunțe.

Respectând fazele procesului tehnologic, prima posibilitate de influențare a structurii primare este metoda aplicată la elaborare.

În primul rînd, pentru a elibera complet factorii perturbatori reprezentati de impuritățile neutre și active fizico-chimice, inoluțiuni de origine exogenă și elemente cu actiune nocivă se impune utilizarea obligatorie a unor materii prime și materiale tehnologice de primă calitate, testate chimic la introducerea în procesul de fabricație și eliminarea oricărora posibilități de contaminare posttezut.

Aplicarea corectă, printr-o disciplină tehnică bine înțeleasă, a parametrilor fazei de elaborare, prin respectarea temperaturilor prescrise, a cantităților de materiale dozate corespunzător și a sculelor și SDW-urilor preghitite corect, conduse în final la eliminarea oricărei posibilități de contaminare și impurificare a topiturii.

Totuși acești factori enumerate, cu influență directă asupra structurii nuau la abaterea din limitele recomandate, respectarea lor conducând doar la garantarea calității corespunzătoare tehnologiei de lucru impuse.

În secundă etapă unul din factorii cu influență directă asupra structurii este reprezentat prin nivelul de vid din camera de elaborare în vacum.

În graficul din fig. 12.13 este prezentată variația mărimiilor de grăunțe în funcție de nivelul de vid la care s-a configurat elaborarea altuijului.

Facind un studiu corelat al acestor variabilități, cu diagrame

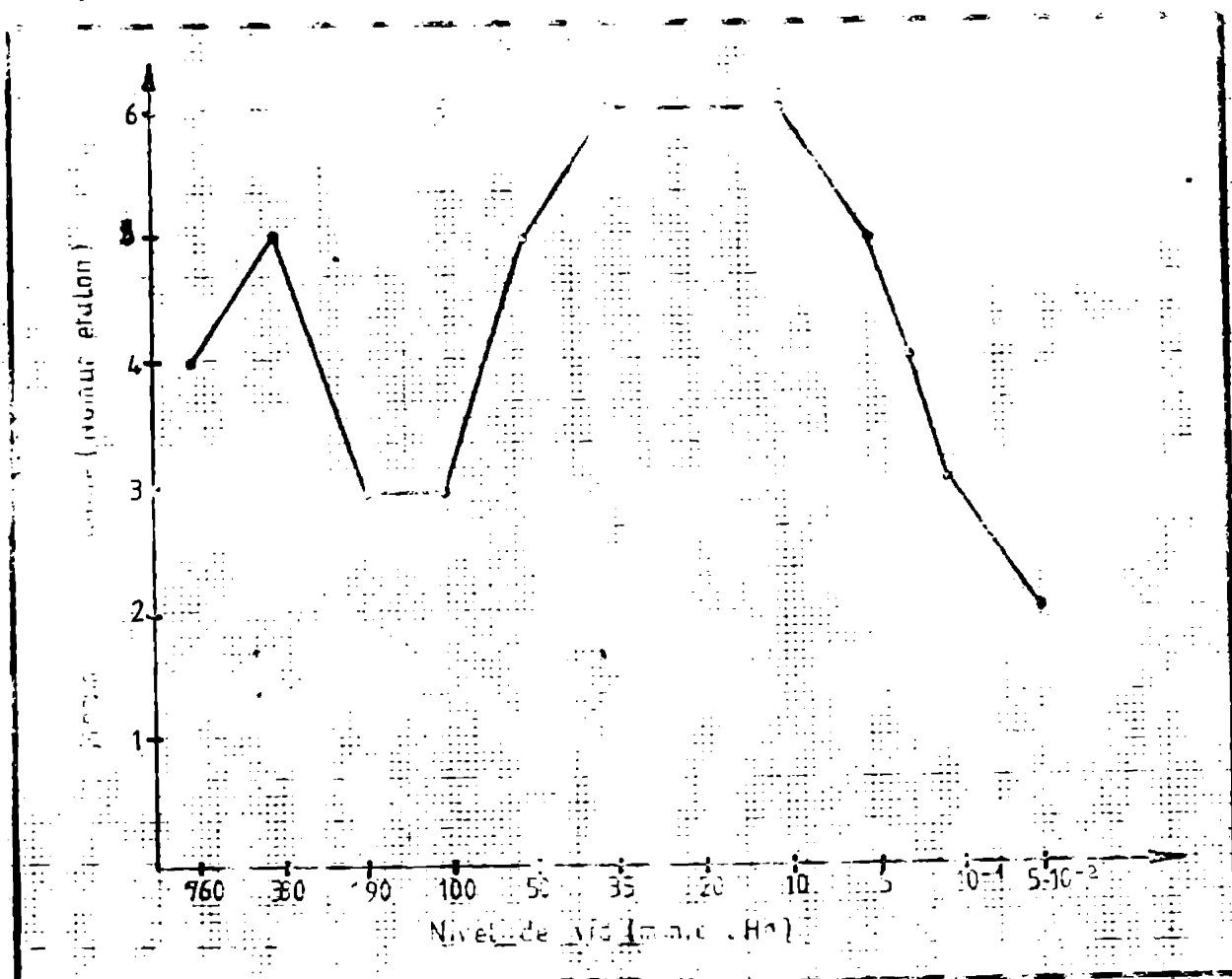


Fig.12.13  
Influenta nivelului de vid la elaborare asupra mărimiilor de grăunțe, pentru starea brut turnată.  
(variație datea de studiul structurii eșantioanelor 030 - 040)

za de germinare a fazei  $\beta$  (Al<sub>2</sub>Ag<sub>3</sub>) din fig.12.15 se observă o traiectorie similară a celor două curbe. Fenomenologic ele sunt dependente de efectul zonelor S.I.L., datorat blocării aparente a unei părți, relativ reduse din conținutul de magneziu, în aceste spații.

Pe de altă parte, elirinarea incluziunilor, la nivel de rețea crează disponibilitate de sucesiune intensificată a magneziului, depășind pragul teoretic pentru o temperatură dată, de solubilizare a lui în rețeaua de SS.cL (Al).

Reducerea, în parte finală a curbei, a mărimiilor de grăunțe, la nivale de vid superioare limitei tehnologice ( $p < 10 \text{ mm.col.Hg}$ ), se explică prin același fenomen de moștare a vaporizării magneziului prin suprasa echilibrului presiunilor parțiale în topituri și crearea condițiilor de sărire a presiunii de vaporizare a magneziului.

Studind condițiile tehnologice impuse, la transversa aliajului în forme permanente, funcție de nivelul de vid aplicat și influența acestora asupra structurii, exprimată sintetic prin mărimea de grăunțe s-a realizat o exprimare grafică cunoașterii, prezentată în fig.12.19.

Corespunzătoarea vitezelor de răcire, în diverse variante, cu grosimea de perete variabilă a probei în trepte și nivelul de vid la elaborare, a condus la obținerea unei serii de diagrame de modificare a structurii.

Astfel, p.m. serie de trei diagrame din variația simultană a mărimii de grăunțe funcție de viteză de răcire( $V_R$ ), grosimea corespunzătoare pentru fiecare din cele patru trepte( $T_1; T_2; T_3; T_4$ ) ale probei tehnologice, la nivele de vid constante pentru fiecare dintre cele trei familii de curbe.

Se observă cum, la creșterea grosimii treptei, concomitent cu reducerea vitezei de răcire apare o creștere a mărimii de grăunțe, cu toate că la unele curbe apare un fenomen invers pentru treapta  $T_4$  și mai puțin la  $T_3$ .

Această abuzare de la regula generală se explică prin apariția unor condiții favorabile de germinare a  $\beta$  ( $Al_2Ni_2$ ) într-o proporție mai mare, datorită efectului apropiat al masclotei, pozitionată pe treapta  $T_4$  și a nivelului de vid.

La viteză de răcire constantă se pune în evidență în a doua familie de diagrame, o creștere permanentă a măruntirii structurii, datorată utilizării integrale a efectului modificantilor, pentru nivele de vid crescătoare.

Făcând un studiu asupra mărimii de grăunțe, pe fiecare treaptă în parte, deci la grosime de perete constantă se înregistrează o creștere constantă și continuă a granulației structurii, atât la viteza de răcire constantă(grupul III de diagrame) cât și la nivele de vid constante(grupul IV de diagrame), fenomen eluzios explicațat prin mărirea progresivă a timpului de solidificare și deci de creștere permanentă a dendritei datorată convecției de metal cald spre rezurile ei secundare sau terțiere.

Prelucrarea prin conditionare termică a structurii primare conduce la o altă metodă de influențare a structurii, prin care î se asigură o certă stabilitate și morfologie finală.

Variantele de tratament termic studiate conține fiecare la obținerea unui anumit tip de structură, incomplet transformată, pos-

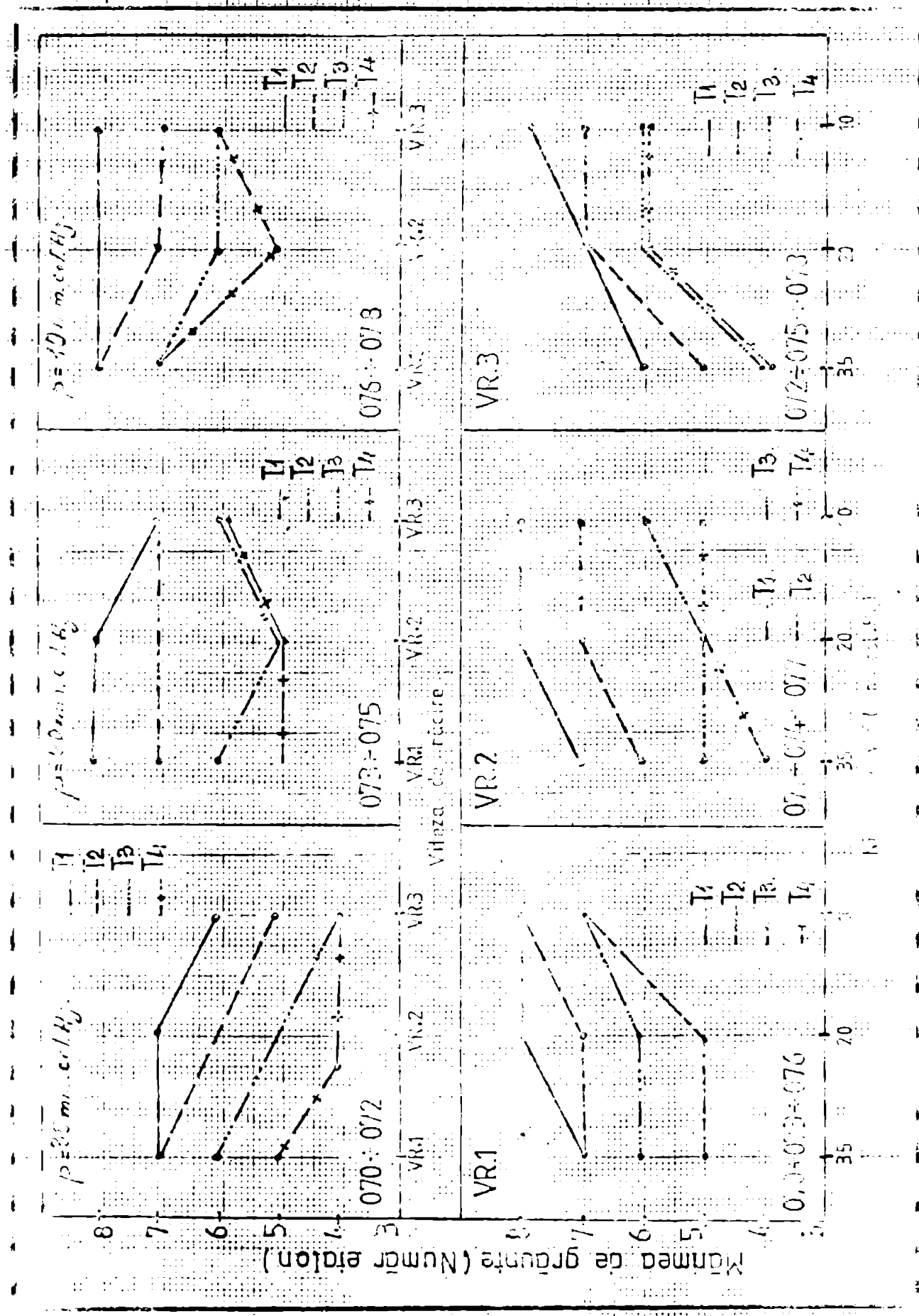
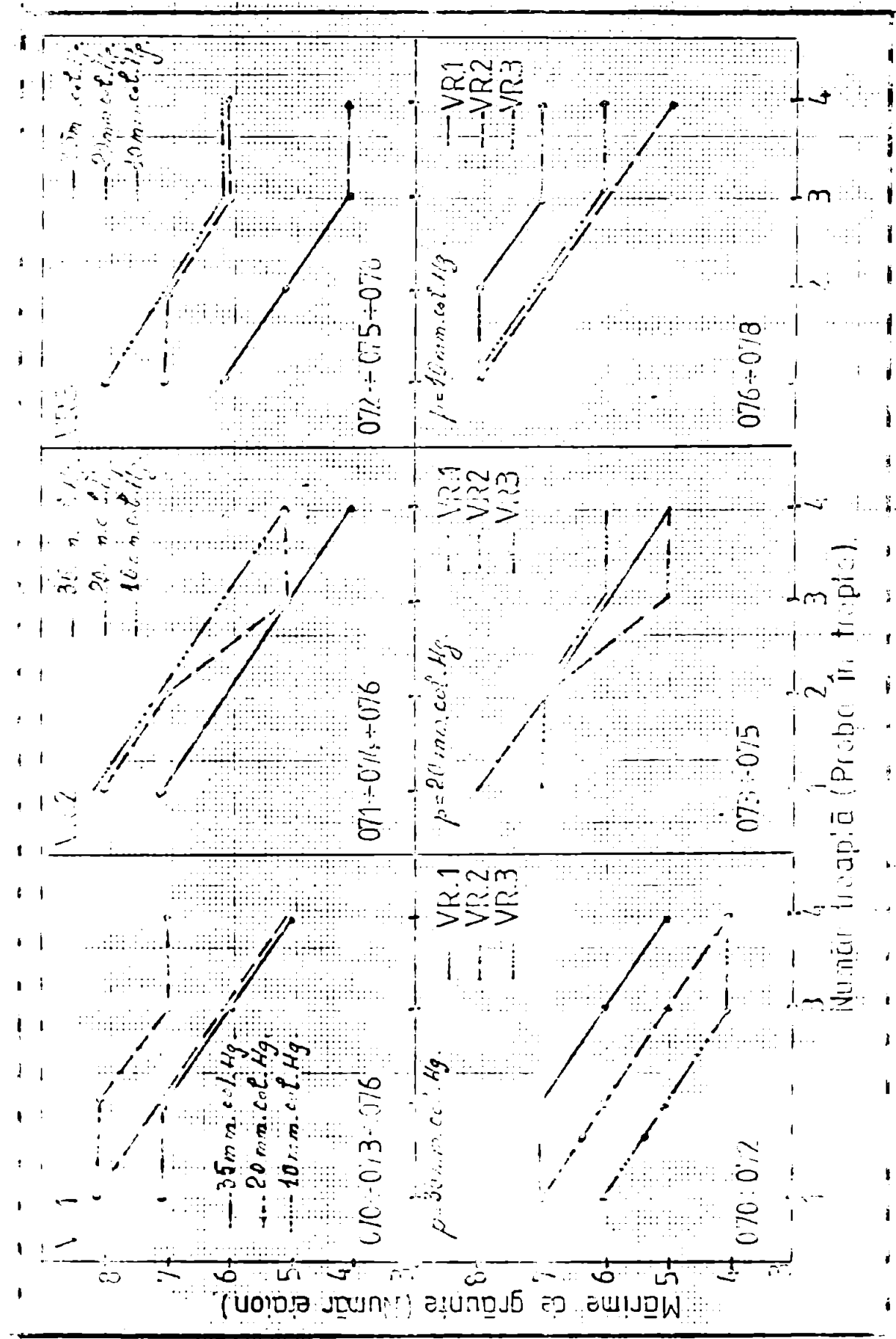


Fig.12.19.a.  
Variação nómica do gruante da resistividade - variações de resistividade (grau de penetração) - VR1, VR2 e VR3



**Fig. 12.19, b**  
Variâncias estruturais de grãos de fósseis de perito, nível da vila, visto de reto - variância de stratum estrutural espacial (070 - 078)

trei temperaturi de punere în soluție la  $400^{\circ}\text{C}$ , transformată, pentru  $425^{\circ}\text{C}$  și cu început de creșteri avansate de cristal și chiar cu topiri zonale la limita de grăunte pentru  $500^{\circ}\text{C}$ .

ACESTE efecte se traduc prin variații de mărime de grăunte și implicit prin cantitatea separărilor secundare de fază  $\beta$  la limita de cristal. Diagrama din fig.12.20 evidențiază aceste caracteristici, prezintând un maxim de cărătură a structurii pentru temperatură palierului de punere în soluție corespunzătoare valorii de  $425^{\circ}\text{C}$ .

Totodată, prin temperatură de călire se fixează la temperatură ambientă structura specifică temperaturii de transformare în stare solidă. La viteze mari de răcire pentru călire acest obiectiv se atinge complet, dar apăr tensiuni în material, de rezanță obiceiua este legată anumită în funcționarea pieselor.

Temperaturi ridicate ale mediului de călire, crescând prezența unui precipitat grosier a fazei  $\beta$  și deci predispoziție pentru apariția eroziunii intercristaline accelerată.

Optimal termic al condiționării în stare solidă, evidențiat și de curbele de variație din fig.12.20 este reprezentat prin:

- temperatură de punere în soluție :  $425^{\circ}\text{C} \pm 10^{\circ}\text{C}$  ;
- temperatură de călire în ulei:  $80^{\circ}\text{C} \pm 10^{\circ}\text{C}$ .

Eficacitatea tratamentului aplicat aliajului elaborat la diferite nivele de vid este redată în diagrama prezentată în figura 12.21, unde variația mărimi de grăunte specific fiecarui tip de tratament termic este dată în funcție de vidul utilizat.

Se distinge clar că, la creșterea nivelului de vid, chiar peste limită tehnologică de 10 mas.-% Fe, crește eficiența tratamentului termic, decarca structura primară are dezastru, și finisare avansată a structurii.

## 12.6. Relația

parametrii de lucru  $\rightleftharpoons$  proprietăți  $\rightleftharpoons$  structură

Mecanismul precipitării și evogenizării compusului  $\text{Al}_3\text{Fe}_2$  din  $25\% \alpha(\text{Al})$  este deosebit de dificil de interpretat, în ceea ce privește mecanismul de formare a compozitului  $\text{Al}_3\text{Fe}_2$ . Deosebit de complexă este forma sa, care poate să se dezvoltă în formă de cristale de  $\beta(\text{Al}_3\text{Fe}_2)$  sau  $\beta'(\text{Al}_3\text{Fe}_2)$  sau chiar în formă de amorfă.

Ceretarea acestui mecanism nu se poate realiza doar pentru aliajele elaborate în condiții deosebite, preferabil în vid și

mai din anterii prime de înaltă calitate.

Orică cantitate semnificativă de impurități (în special Cu, Fe și Mn etc.,) condin la creșteri substantiale ale observațiilor și rezultatelor obținute.

Conditiocarea termică în stare solidă trebuie efectuată la temperaturi de  $420\text{--}430^{\circ}\text{C}$  (sub  $450^{\circ}\text{C}$  - temperatura autoctoñă) sau  $450\text{--}450^{\circ}\text{C}$  pentru aliajale cu peste 10 % Mg (se poate atinge chiar  $520^{\circ}\text{C}$ ).

După călăre aliajul este supus precipitării prin îmbătrinire naturală.

Încercările de testare a secundanșului de precipitare și a modificărilor structurale se procedă precipitarea, prin solicitări la socuri mecanice (reziliență), reprezentând o tehnică foarte sensibilă de corectare.

Combinarea acestaia cu difracția electronică, microscopia electronică și încercările de corozie poñe elucida modificările structurale și schimbările asociate privind proprietăile mecanice.

Precipitarea  $\beta$  ( $\text{Al}_3\text{Mg}_2$ ) survine de preferință pe (100) și apoi pe (120), diferit de cea evidențiată, de exemplu pentru aliajale Al-Cu, să poate fi continuu sau discontinu, depinzând de temperaturile regimului termic utilizat.

Precipitarea continuă este însoțită de formarea a unei noi cantități de soluție solidă SS  $\alpha$  (Al), pe cind precipitarea discontinuă generează o structură Widmanstätten, a cărei sărime și ropea descrezătoare o dată cu creșterea temperaturii (lanțele de  $\beta$  ( $\text{Al}_3\text{Mg}_2$ ) precipită după trei direcții cristalografice).

Durificarea completă a aliajului nu survine înaintea precipitării totale a  $\beta$  ( $\text{Al}_3\text{Mg}_2$ ) în structură și chiar atunci, creșterea înregistrată, a durată, este mai mică decât spre exemplu la aliajale Al-Cu.

Curba de durată funcție de temperatură de punere în soluție și nivelul de vid (fig. 12.11.a) arată un maxim cu valoare puñin mai mică fañă de cea iniñială (în stare brut turnată) pentru  $400^{\circ}\text{C}$  și o creștere ceea mai mare pentru  $425^{\circ}\text{C}$ .

Tratamentul termic pentru aliajul binar AlMg10 prin durificare structurală și îmbătrinire artificială nu dă proprietăți mecanice utile, aceasta arăsfindu-și substanțial valorile prin precipitarea deasfuzată la temperatură ambientală ( $20^{\circ}\text{C}$ ).

Să considerăm o soluție solidă de magneziu în aluminiu, cu

Fig. 12.20  
Variation of  $\Delta H_{\text{m}}$  with time at 25°C  
and 50°C (variations of  $\Delta H_{\text{m}}$  with time at 25°C and 50°C)

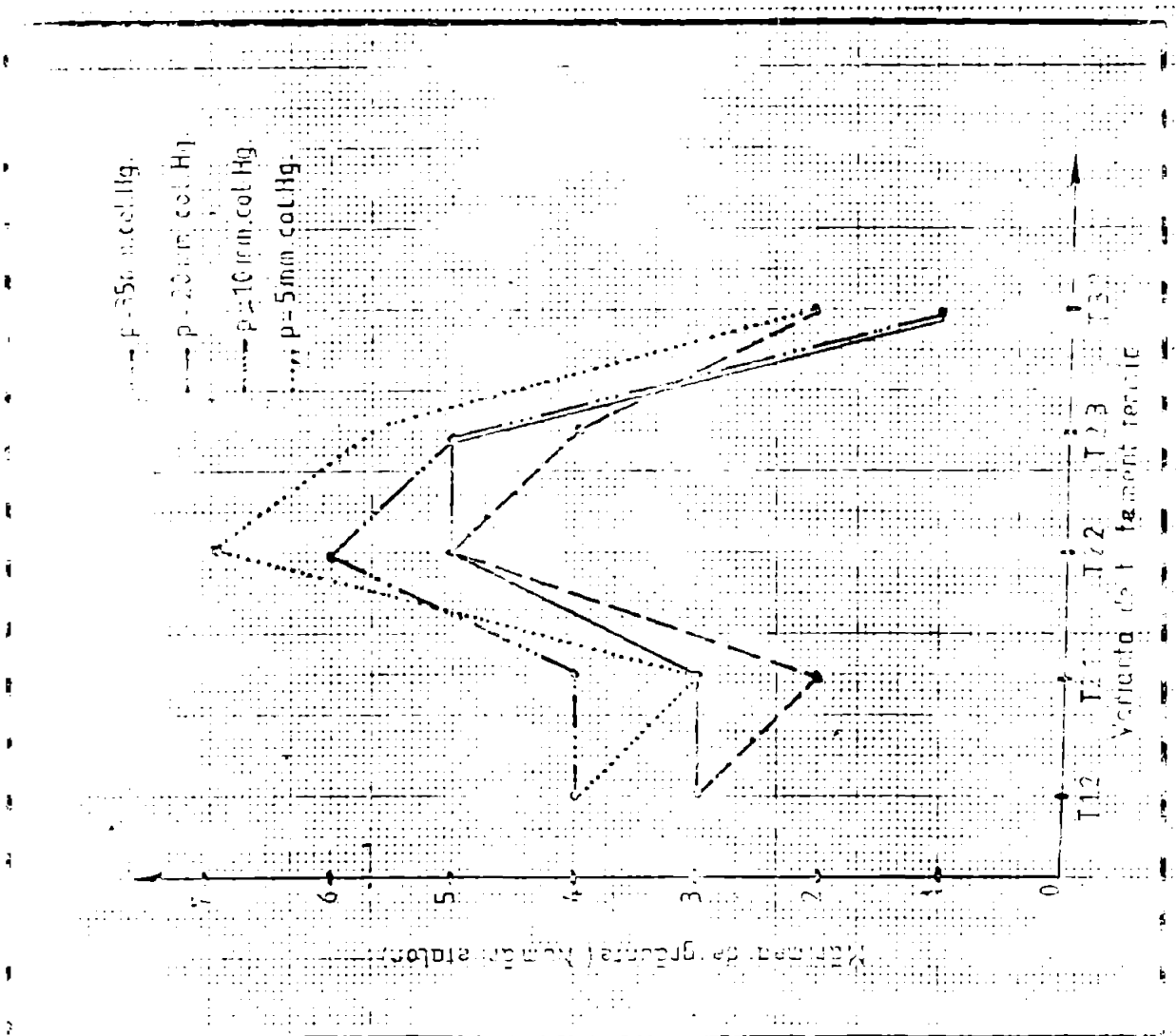
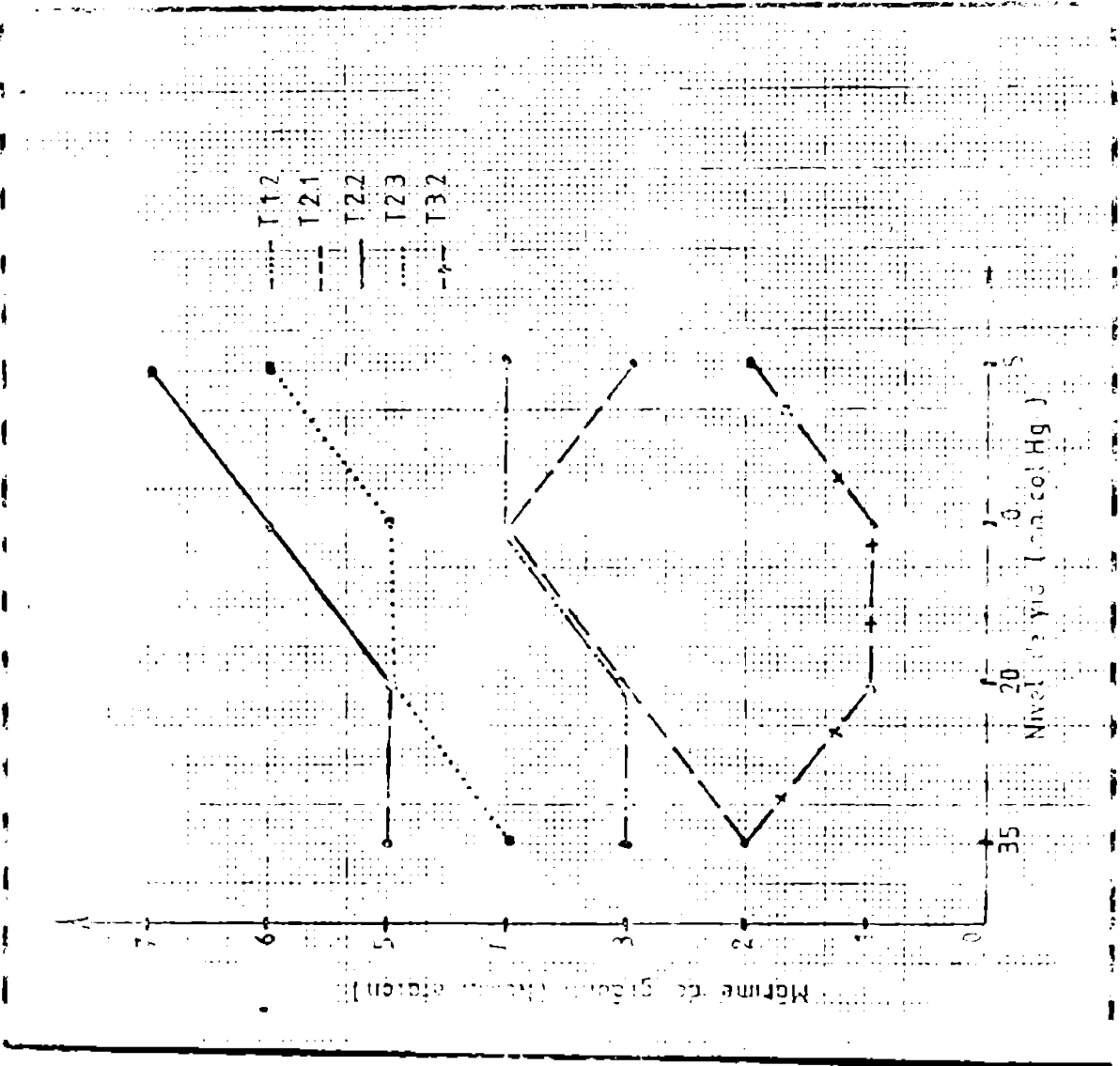


Fig. 12.21  
Variation of  $\Delta H_{\text{m}}$  with time at 25°C (variations of  $\Delta H_{\text{m}}$  with time at 25°C)



10 % Mg, la o temperatură de  $425^{\circ}\text{C}$ . Solutia solidă 33 % (Al) este heterogenă, în sensul că ea conține o structură celulără tipică.

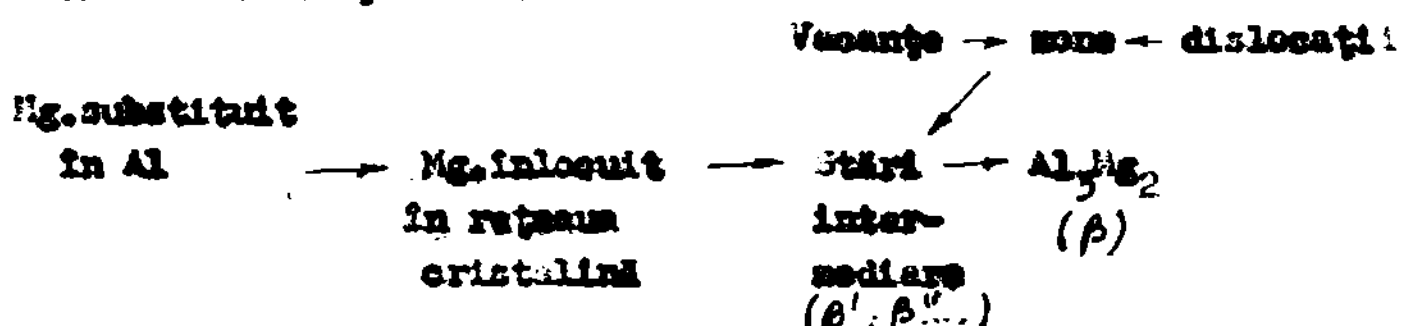
Conținutul în magneziu variază în fiecare subdiviziune, iar fiecare celulă are concentrația maximă în marginile sa.

Pătratul de sărare  $\sqrt{6}$  pentru Mg este 1,12, astfel că volumul său atomic este mai mare de 1,41 ori față de Al. Efectele de vîlvență produsă atracție între atomi care vor contrabalanșa fenomenele atâtice (fiecare atom de Mg este legat de doi vecini, față de trei cătăreți Al).

În urma scăderii temperaturii sub  $340^{\circ}\text{C}$ ,  $\beta$  ( $\text{Al}_3\text{Mg}_2$ ) se separă în grupări de celule continând 1173 atomi. Astfel, trebuie să existe un corectare proces evoluțional gradat, între starea magneziului în soluția solidă de substituție formată inițial din marginile celulei și existența sa separată, complexă, ca  $\text{Al}_3\text{Mg}_2$ , putând exista între cele două stări o mare varietate de stadii intermediare.

Noi mult, dislocațiile existente se pot interfera cu mișcarea atomilor de Mg, de la limita celulelor sau din soluția solidă.

Schemă acestui proces este:



Investigațiile efectuate, date în literatură de specialitate cu scopul de a explica fenomenul de durificare a magneziului în aluminiu sunt numeroase, existând numai cîteva date cu caracter definitiv.

Duritatea, utilizată ca fenomen fizic de explicitare și determinare a acestui mecanism este o tehnică împroprie, descrisă chiar concepția de duritate fiind atât de complexă nu are încă o fundamentare teoretică antificitară.

De asemenea măsurările de rezistivitate electrică nu aduc clarificări în plus, astăzi exceptând a rezistivității nu este însă suficient înțeleasă.

Cea mai bună tehnică de cercetare este ea prin microscopie electronică pe felii, prin microdifracție și examinare prin transmisie.

Initiate de JAUINIER [54], aceste cercetări au confirmat că  $\text{Al}_3\text{Mg}_2$  cristalizează în sistem cubic (tip  $a.\bar{f}.c.$ ), cu  $a = 29,13\text{\AA}$ , având totuși un sistem de difracție foarte difuz.

VAN LANKER [20] a continuat studierea mecanismului de precipitare a  $\text{Al}_3\text{Mg}_2$ , constatănd că după  $\beta'$  sau  $\beta$  cristalizarea din soluția solidă  $\alpha\zeta$ . La o temperatură plasată sub curba de solubilitate, atunci vor fi două faze în echilibru:  $\text{SS} \alpha\zeta(\text{Al})$  și  $\beta$  (sau  $\beta'$ ).

În îmbătrinirea naturală, magneziul se supune în corespondență cu diagrama de echilibru formând, pe de o parte, zone intermedii precedind precipitarea, încotitură de tensiuni interne (relatări de difuziunea inelelor de difracție) și pe de altă parte, zonă  $\beta'$  încotitură de o nouă soluție solidă cu un conținut mai mic de magneziu și o constantă de rotație mai mică.

Faza  $\beta'$  ( $\beta'_1, \beta'_2, \dots, \beta'_n$ ) prezintă ocașională la propagarea dislocărilor, acest fenomen putând fi observat la microscopul electronic în imediata vecinătate a  $\text{Al}_3\text{Mg}_2$ .

Atozi substituți, de magneziu, sunt încadruiți de eci de aluminiu și de v. amga. Călirea retine atozi substituți și vaseptele, la temperaturi ridicate, într-o proporție mai mică sau mai mare.

Soluția solidă  $\text{SS} \alpha\zeta$  - răcită este acum suprasaturată în magneziu cît și în SII (spații interedriditice libere) făcând astăzi de magneziu contribuind cu doi atomi la fiecare SII.

În realitate reale, spațiiile libere - SII - se comportă ca o entitate de cădere.

Calculele facute pe microscopuri de difracție electronică vor da concentrația (și frunția atomică) a vaseptelor (SII), la temperatură lăsată în considerație și frunția atomică a SII retinute de călire, cind se pot forma discouri generând inele de diaforezați pe {111} . [62].

Grupurile de atozi de magneziu și de SII, constituite numărul ce dă în formarea de ZDNs, cu compozitia apropiată de cea a compusului intermetallic și care sunt responsabile de mărirea duratății.

Zonale de tipul 2 - QUINIER-PRESTON (Q.P.2) sunt de fapt compusi intermetalici, supramisite de altfel și compusi QUINIER-PRESTON, cu structură cristalografică bine definită.

Pentru aliajele Al-Mg, compusul QUINIER-PRESTON este de fapt  $\beta'$  cu o rotație diforită față de cea a  $\beta$  ( $\text{Al}_3\text{Mg}_2$ ), și a cărui com-

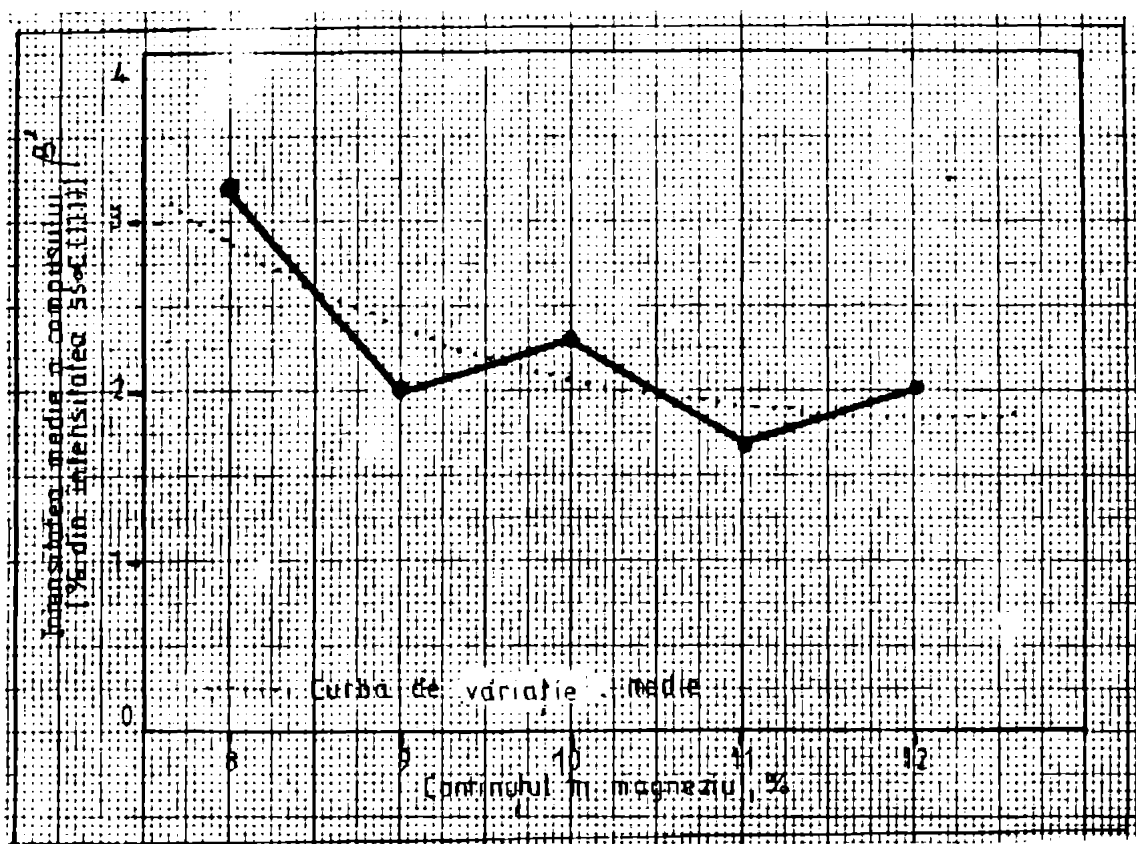


Fig.12.22  
Variația conținutului fazei  $\beta'$  în funcție de  
% Mg(stare brut turnată)

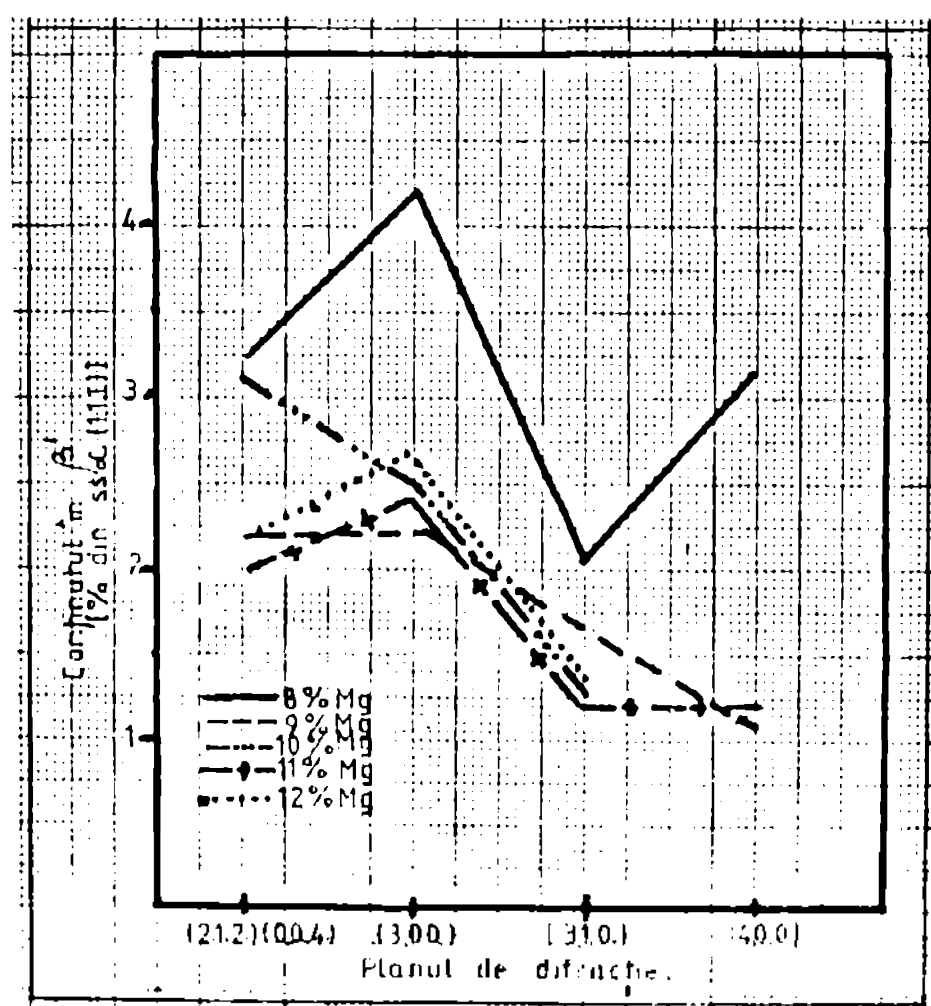


Fig.12.23  
Cantitatea de  $\beta'$  pentru diferite planuri  
de difracție(stare brut turnată)

portare este funcție de factorul de mărire  $\times$  al soluției solide.

Intensitatea linilor lui  $\beta'$ , reportată procentual la cea corespunzătoare SS  $\propto$  (111) considerată ca 100 % (data în tabelul nr. 12.2), pe difractogramale probelor analizate prezintă o variație diferențială funcție de conținutul în magneziu al aliajelor în stare brută turnată.

În funcție de planul de cristalizare, prezintă o precipitare preferențială pe planele (212) (004) și (300).

Totodată reprezentarea grafică a cantității de fază  $\beta'$  funcție de conținutul în magneziu (fig. 12.22 - 12.23), reliefuază independența sa de condițiile tehnologice, fiind condiționată însă de prezența unor concentrații crescănde de magneziu.

Bine se corelează variația cantității compusului  $\beta'$  funcție de conținutul în magneziu (fig. 12.22) cu cea a măririi de grăunțe, deci a structurii variabilă tot cu % Mg (fig. 12.16) se observă că pe măsură ce crește granulația prin măruntirea structurii datorată măririi cantității de  $\beta'(\text{Al}_3\text{Mg}_2)$ , compusul  $\beta'(\text{Al}_3\text{Mg}_2)$  scade prin mecanismul de transformări intermedii ( $\beta'_1, \dots, \beta'_n$ ).

Acest fenomen este evidentiat corect pe difractograme prin subpeakele duble sau triple ale unui peak corespondator acelașiui linii ( $\bar{\theta}_x$ ).

Înăl, pentru un conținut de 10 % Mg, în aliajul elaborat la diferite nivele de vid și condiționat termic în diferite variante, nu are evidență dependența sa de condițiile tehnologice de lucru (fig. 12.24). Anexa V).

Tabelul nr. 12.2

**Valori de corelație  
structuri - parametri**

Nr. crt.	Cod probă	% Mg	Planuri de difracție				Valo- rea medie $\beta'$ %	Stare de tec- tare
			(212)(004)	(300)(110)	(400)	Conținut în fază $\beta'$ , %		
0	1	2	3	4	5	6	7	8
1	090	9,	2,5	2,2	-	1,1	2,0	Stare brut tur- nată
2	091	10	3,1	2,5	1,3	-	2,3	
3	092	11	2,0	2,4	1,2	1,2	1,7	
4	093	12	2,0	2,7	1,3	-	2,0	
5	094	6	3,2	4,2	2,1	3,2	3,2	
6	095	10	2,6	2,6	1	0,5	1,7	Sfag/200°C-240°C/ 20°C
7	096		4,1	5,9	1,5	-	3,8	

Continuare tabel 12.2

0	1	2	3	4	5	6	7	8
8 097	10	6,3	2,5	-	2,0	3,7	2,2	425°C/16h/080°C
9 098		5,0	7,0	3,5	2,5	4,5	-20°C/24h h	
10 099		4,0	4,5	1,5	2,0	3,0		
11 100		5,5	3,0	2,0	2,0	3,7	2,2	425°C/16h/080°C
12 101		5,0	3,0	-	-	5,0	-20°C/6 hudi	
13 102		4,0	4,0	-	1,5	3,2		
14 103		2,5	4,0	3,0	2,5	3,0	2,2	
15 104		6,0	5,0	2,0	2,0	3,8	400°C/16h/	
16 105		6,0	6,0	1,0	2,5	3,9	080°C-20°C/	
								240 h

Astfel o temperatură de punere în soluție ridicată duse la o dislocarea compusului  $\beta'$ , cauzată de accelerarea migrației vacanțelor SLL.

De acestora, în aliajul Al<sub>14</sub>Mg<sub>10</sub>, elaborat la diferite nivele de VMA și conditionat termic se poate în evidența, în fig.12.24, o reducere a prezentaui compusului  $\beta'$ , pentru un vacuum de  $p = 20$  mbar col.Hg, datorită probabili micșorările spațiilor libere(SLL) prin purificarea avansată a topiturii.

Nechil de influențare a caracteristicilor fizico-mecanice de către compusul  $\beta'(\text{Al}_x\text{Mg}_y)$  nu a fost încă determinat deoarece nu a fost finalizată caracterizarea completă a acestuia.

Este necesar ca prin realizarea unui program cupluit de cercetare fundamentală prin difracțometrie în reza I, prin microscopie electronică corelat și cu un studiu pe microscopii pentru determinarea compozitiei chimice a compusului  $\beta'$ , să se continue studiul acestuia în vederea caracterizării sale complete.

Se poate însă concluziona că, din nivelul la care a fost adăugată cercetarea acestor fenomene asupra mecanismului de interacțiuni complexe:

parametrii de lucru  $\leftrightarrow$  proprietăți  $\leftrightarrow$  structură  
se pot extrage condițiile tehnologice optime, la nivel de aplicare industrială, care să permită dirijarea obținerii celor mai favorabile tip de structură pentru realizarea unui nivel relativ înalt al caracteristicilor fizico-mecanice.

**Cap. XIII. PRELUCRAREA DATELOR EXPERIMENTALE**  
**PRIN PROGRAM DE CALCUL**

Multitudinea datelor experimentale și a parametrilor de lucru poate conduce la o dispersare a concluziilor finale. Reprisarea grafică și prin analiză statistică a corelațiilor duble sau triple:

parametri  $\longrightarrow$  structură  
 proprietăți  $\longrightarrow$  structură

parametri  $\longrightarrow$  structură  $\longrightarrow$  proprietăți

a condus la obținerea unor modalități de variație funcție de structură cu un grad bun de sugestivitate și concordanță.

Pentru a mări nivelul corectitudinii în aprecierea influenței structurii și a mecanismului de formare a diverselor faze, asupra caracteristicilor mecanice prin varianța parametrilor de lucru s-a trăsut la întocmirea unui program pe calculator realizat pe dotarea cu tehnici de calcul a întreprinderii Electropuțere Craiova.

Acest program s-a bazat pe stabilirea unor corelații și ecuații de regresie biunivoce, pe doi parametri, în varianță directă.

S-a calculat dispersia a două elemente bivariate,  $\sqrt{a_x}$  și  $\sqrt{a_y}$ , coeficienții de corelație și de regresie precum și dreapta de regresie și regresia nelinieră.

Initial s-a considerat că variația reciprocă a doi parametri, dintre care unul a fost permanent structura, exprimată în mărimea de grăunte, iar al doilea, unul din parametrii de lucru sau din caracteristicile mecanice, este sub forma unei drepte de forma:

$$ax + b$$

Ecuția de calcul a valorilor minime ale regresiei drepte, datei de relația (13.1) :

$$\min \Phi(a, b) = [y - ax - b]^2 \quad (13.1)$$

a fost apoi derivată în funcție de cei doi coeficienți a și b astfel :

$$\frac{\partial \Phi}{\partial a} = (y - ax - b)x = xy - ax^2 - bx = 0 \quad (13.2)$$

$$\frac{\partial \Phi}{\partial b} = (y - ax - b)1 = y - ax - b = 0 \quad (13.3)$$

având ca rezultat următoarele ecuații de gradul II.

$$ax^2 + bx = xy \quad (13.4)$$

$$a\bar{x} + b = \bar{y} \quad (13.5)$$

Calculul dispersiei  $\sqrt{x}$  și  $\sqrt{y}$ , a celor doi parametri  $a$  și  $b$  se efectuează prin introducerea în determinanță a relațiilor (13.4) și (13.5). Se obține :

$$\delta = \begin{vmatrix} \bar{x}^2 & \bar{x} \\ \bar{x} & 1 \end{vmatrix} = \bar{x}^2 - (\bar{x})^2 \quad (13.6)$$

și pentru determinarea constantelor  $a$  și  $b$  vom avea :

$$\delta = \begin{vmatrix} \bar{xy} & \bar{x} \\ \bar{y} & 1 \end{vmatrix} = \bar{xy} - \bar{x} \cdot \bar{y} \quad (13.7)$$

$$\delta = \begin{vmatrix} \bar{x}^2 & \bar{xy} \\ \bar{x} & \bar{y} \end{vmatrix} = \bar{x}^2 \cdot \bar{y} - \bar{x} \cdot \bar{xy} \quad (13.8)$$

Rezultat :

$$a = \frac{\delta_a}{\delta} = \frac{\bar{xy} - \bar{x} \cdot \bar{y}}{\bar{x}^2 - (\bar{x})^2} \quad (13.9)$$

$$b = \frac{\delta_b}{\delta} = \frac{\bar{x}^2 \bar{y} - \bar{x} \cdot \bar{xy}}{\bar{x}^2 - (\bar{x})^2} \quad (13.10)$$

iar coeficientul de corelație (CORE), va fi :

$$r = \frac{\bar{xy} - \bar{x} \cdot \bar{y}}{\sqrt{x} \cdot \sqrt{y}} \quad (13.11)$$

Calculul regresiei nliniare este bazat pe formula (13.12)

$$\Phi(a, b, c) = [y - ax^2 - bx - c]^2 \quad (13.12)$$

In care  $(ax^2 + bx + c)$  este expresia curbei de variație nlinieră a parametrului  $y$ .

Derivarea expresiei (13.12) în funcție de coeficienții  $a, b, c$  ai curbei de varianță :

$$\frac{\partial \Phi}{\partial a} = [y - ax^2 - bx - c] x^2 - x^2 y - ax^4 - bx^3 - ax^2 = 0 \quad (13.13)$$

$$\frac{\partial \Phi}{\partial b} = [y - ax^2 - bx - c] x - xy - ax^3 - bx^2 - ax = 0 \quad (13.14)$$

$$\frac{\partial \Phi}{\partial c} = [y - ax^2 - bx - c] = y - ax^2 - bx - c = 0 \quad (13.15)$$

are ca rezultat următorul sistem de ecuații :

$$\begin{cases} ax^4 + bx^3 + cx^2 = x^2 y \\ ax^3 + bx^2 + cx = xy \\ ax^2 + bx + c = y \end{cases} \quad (13.16)$$

din care urmăriți să se determine, ca valori medii, următoarele elemente :

$$\bar{x}^4; \bar{x}^3; \bar{x}^2; \bar{x}; \bar{x}^2y; \bar{xy}; \bar{y}.$$

Transcrierea sistemului de ecuații (13.16) sub formă de determinanți, conduce la obținerea ecuațiilor de regresie patratică ce stau la baza programului de calcul. Se obține:

1. Dispersia generală :

$$D = \begin{vmatrix} \bar{x}^4 & \bar{x}^3 & \bar{x}^2 \\ \bar{x}^3 & \bar{x}^2 & \bar{x} \\ \bar{x}^2 & \bar{x} & 1 \end{vmatrix} =$$

$$= \bar{x}^4 \cdot \bar{x}^2 + 2\bar{x}^3 \cdot \bar{x}^2 - (\bar{x}^2)^2 - (\bar{x})^2 \cdot \bar{x}^4 - (\bar{x}^3)^2 \quad (13.17)$$

2. Dispersia pentru "a" :

$$D_a = \begin{vmatrix} \bar{x}^2y & \bar{x}^3 & \bar{x}^2 \\ \bar{xy} & \bar{x}^2 & \bar{x} \\ \bar{y} & \bar{x} & 1 \end{vmatrix} =$$

$$= \bar{x}^2y \cdot \bar{x}^2 + \bar{xy} \cdot \bar{x} \cdot \bar{x}^2 + \bar{x} \cdot \bar{x}^3 \cdot \bar{y} - (\bar{x}^2)^2 \bar{y} - (\bar{x})^2 \cdot \bar{x}^2y - \bar{x}^3 \cdot \bar{xy} \quad (13.18)$$

3. Dispersia pentru "b" :

$$D_b = \begin{vmatrix} \bar{x}^4 & \bar{x}^2y & \bar{x}^2 \\ \bar{x}^3 & \bar{xy} & \bar{x} \\ \bar{x}^2 & \bar{x}^2y & 1 \end{vmatrix} =$$

$$= \bar{x}^4 \cdot \bar{xy} + \bar{x}^3 \cdot \bar{y} \cdot \bar{x}^2 + \bar{x} \cdot \bar{x}^2 \cdot \bar{x}^2y - (\bar{x}^2)^2 (\bar{xy}) - \bar{x} \cdot \bar{x}^2 \cdot \bar{y} - \bar{x}^3 \cdot \bar{x}^2y \quad (13.19)$$

4. Dispersia pentru "c" :

$$D_c = \begin{vmatrix} \bar{x}^4 & \bar{x}^3 & \bar{x}^2y \\ \bar{x}^3 & \bar{x}^2 & \bar{xy} \\ \bar{x}^2 & \bar{x} & \bar{y} \end{vmatrix} =$$

$$= \bar{xy} \cdot \bar{x}^2 \cdot \bar{y} + \bar{x}^3 \cdot \bar{x} \cdot \bar{x}^2y + \bar{x}^2 \cdot \bar{x}^3 \cdot \bar{xy} - (\bar{x}^2)^2 \cdot \bar{x}^2y - \bar{x} \cdot \bar{xy} \cdot \bar{x}^4 - (\bar{x}^3)^2 \cdot \bar{y} \quad (13.20)$$

valorile constantelor obținindu-se prin raportul dispersiilor și amemne :

$$a = \frac{D_a}{D} \quad b = \frac{D_b}{D} \quad c = \frac{D_c}{D} \quad (13.21)$$

Aceasta schema logică a programului de calcul a fost aplicată în sistemul numeric la determinarea corelațiilor bilaterale structuri  $\leftrightarrow$  proprietăți și structură  $\leftrightarrow$  parametrii de lucru, în două părți distincte și arunice:

- corelații biunivoce, funcție de structura primară

-corelații biunivoce, funcție de structura secundară.

Ambale studii de corelație s-au efectuat pentru diverse parametri de lumen variabili, conform schemei de interdependență prezentată în fig.13.1.

Drept criterii de bază în aprecierea intensității de influență s-au considerat:

- a. coeficientul de corelație, COH<sub>t</sub>, C.C. - cu gradele de intensitate date de următoarea scara:

$$I_X (\text{maxim}) = 1$$

$$P_p (\text{foarte puternic}) = 0,8 - 0,999$$

$$P (\text{puternic}) = 0,6 - 0,799$$

$$M (\text{mediu}) = 0,4 - 0,599$$

$$S (\text{ slab}) = 0,2 - 0,399$$

$$F_S (\text{foarte slab}) = 0,1 - 0,199$$

$$n (\text{nihil}) \leq 0,099$$

- b. coeficientul de regresie, C.R. - cu același grade de intensitate, dar că valoarea pentru maxim poate fi  $|k| \geq 1$ .

- c. regresia nelinieră, RN - cu intensitatea de influențare gradată după scara:

$$P_p > 200$$

$$S = 1,0 - 9,99$$

$$P = 50 - 192,99$$

$$P_S \leq 0,99$$

$$U = 10 - 49,99$$

pentru coeficientul "a" corespunzător termenului în  $x^2$ .

Discutia valorilor duble prin expresia dreptei de regresie, mi conferă o interpretare reală a gradului de influențare decarat, în general, graficul de variație este reprezentat printr-o curbă.

Dreapta de regresie secționând mai mult sau mai puțin medianul de împărțiere a valorilor parametrului variabil, nu poate reflecta legea de variație biunivocă  $y = f(x)$ .

Comparind datele experimentale obținute, pentru starea brut turnată, cu reprezentarea lor grafică funcție de caracteristicile structurii prisene (fig.12.1 și 12.19 a și b) și cu rezultatele programului de calcul prezentate în schema de interdepe densă din fig. 13.1, se evidențiază o unealtă evoluție valorică a corelațiilor programului cu graficul de evoluție a parametrilor în diferite condiții de cerere.

Variatia gradului de assimilare a magneziului, exprimat prin

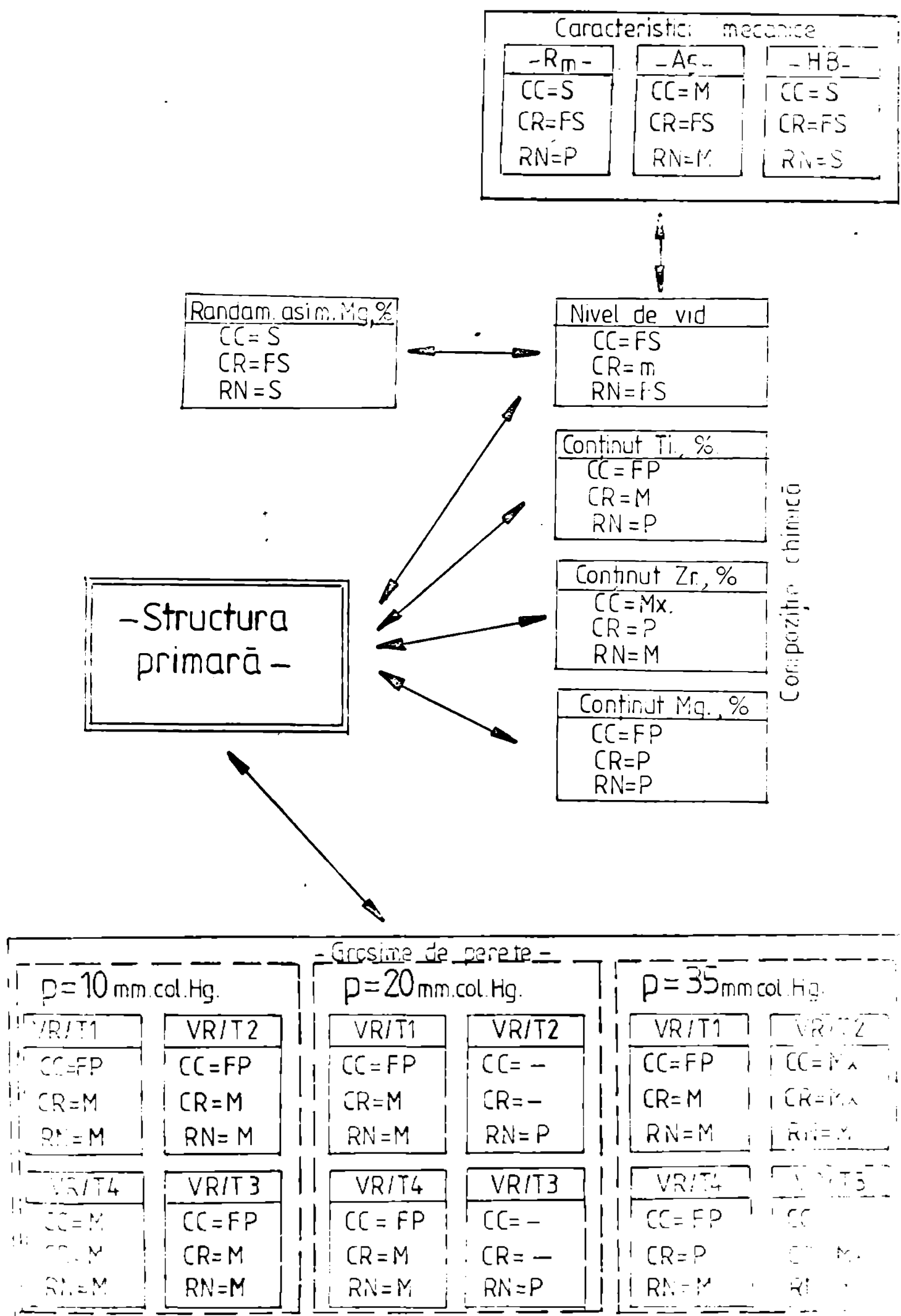


Fig.13.1.- Schema de interdependentă a compozitiei chimice și a caracteristicilor mecanice și tehnologice cu structura primară.  
 (CC=coeficientul de corelație; CR=coeficientul de regresie; RN=regresia reziduală)

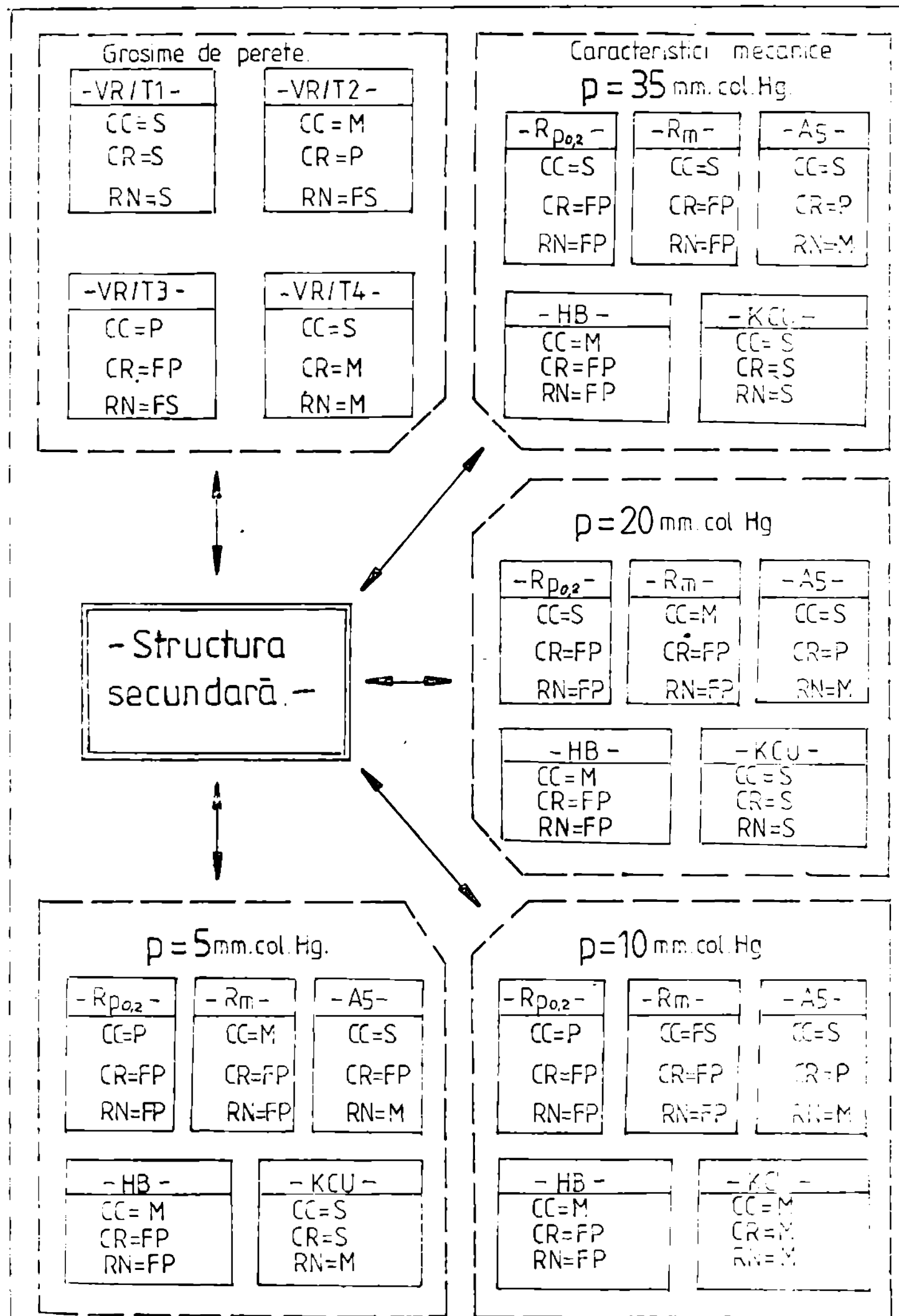


Fig 13.2.- Schema de interdependentă a caracteristicilor mecanice și tehnologice cu structura secundară.  
(CC=coeficientul de corelație; CR=coeficientul de regresie;  
RN=regresia neliniară).

fundamentul de assimilare(R.a.Fg) funcție de nivelul de vid are un nivel slab de influențare deoarece și-a considerat variabilitatea numai pînă la limita tehnologică de lucru( $p \geq 10$  mm.col.Hg).

Sub aceasta variabilitatea celor doi parametri fiind puternic influențată de creșterea tensiunii de vaporizare a magneziului la mărirea vacuумului din spațiul de lucru al cuptorului de elaborare.

Intensitatea de modificare a structurii primare prin varierea vitezei de răcire dată de grosimea de perete, pentru nivelul de vid de 20 mm.col.Hg, pentru treptele T2 și T3, prezintă valori mari pentru coeficientii de corelație și de regresie, deoarece dispersia funcție de " $x$ "(Dx) se anulează prin identitatea mărimii de grăunte date prin numărul etalon, pentru toate valorile corespondente lui " $y$ ".

In acest caz ecuația regresiei nelinieră dă informațiile necesare asupra modalității de interdependență a celor doi factori.

Totodată variația proprietăților mecanice în funcție de nivelul de vid este o funcție tranzitorie de acest parametru, prin corelație triplă proprietăți  $\leftrightarrow$  nivel de vid  $\leftrightarrow$  structură, se poate ajunge în final la expresia dependenței directe proprietăți  $\leftrightarrow$  structură.

Refectarea prelucrării termice în stare solidă asupra structurii secundare este realizată prin determinarea dependenței caracteristicilor mecanice obținute pentru diferite variante de tratament termic aplicat aliajului elaborat la diverse nivele de vid.

Este prezentată astfel o imagine mai completă asupra modalității de determinare a proprietăților mecanice printr-un anumit tip de structură obținută prin condiționare termică.

Schemă de interdependență dată în fig.13.2, reflectă, prin asociații parametri considerați cu influență determinantă - coefficientul de corelație, CC, coefficientul de regresie CR și regresia nelinieră - cu scara identică a gradelor de intensitate mecanismelor de transformări structurale.

Informațiile relevante de această schemă, corelate cu rezultatele experimentale și cu reprezentarea lor grafică în variatie dublă sau triplă corespund concluziilor generale asupra morfologiei structurii și a determinărilor acesteia asupra caracteristicilor mecanice și a parametrilor de lucru.

In concluzie, programul de calcul realizat extrage corelații-

le și nivelul de influențare exercitat de structura primară și se cunoscă a aliajului ATMG10, putind fi utilizat atât pentru certificarea ei și pentru producție la scara industrială ca modalitate de determinare a anumitor proprietăți fizico-mecanice în funcție de scopul și solicitările impuse pieselor turnate.  
(Listinul programului de calcul este în Anexa VII).

**Partea a IV - a CONTRIBUȚII LA APLICAAREA  
IN PRACTICA A CERCETARILOR  
PREZENTATE ÎN LUCRARE**

**Cap. XIV - OPTIMIZAREA CERCETARILOR**

Ca urmare a cercetărilor ce au fost întreprinse asupra aliajului AlCrMg10, s-a constatat, necesarul de înțeleptare, metodica și parametrii de lucru, precum și nivelul minim și maxim al rezultatelor obținabile, funcție de o serie întreagă de factori.

În primul rînd, se impune utilizarea obligatorie numai a materialelor prime și materialelor tehnologice de puritate ridicată, indicată în tabelale 3.2 - 3.3, iar pentru materialele tehnologice conforme standardelor de produs la calitatea cea mai ridicată.

Apoi, pentru realizarea caracteristicilor fizico-mecanice impuse se va da o atenție deosebită respectării tehnologiei de lucru și a parametrilor corespunzători fiecărui etape.

Conditionarea termică în stare optimă este cea tip TB, conform STAS 201/2 - 80.

Optimizarea cercetărilor s-a întocmit rezumativ, sub forma unor fișe tehnice pentru parametrii de lucru, compoziția chimică, structuri și caracteristici fizico-mecanice, în valori medii.

Această formă de prezentare se va propune pentru fundamentarea tehnică a aliajului AlCrMg10 în vederea reintroducerii sale în STAS 201/2 - 80.

**14.1 FISA TEHNICA**

**Parametrii de lucru optimizați  
pentru aliajul AlCrMg10**

**Tabelul 14.1**

Nr. crt.	Parametrul de lucru	Domeniul optimizat	Valoarea medie optimizată
0	1	2	3
<b>a. Parametrii de lucru ai tehnologiei de elaborare în atmosferă</b>			
1	Temperatura de elaborare	660-700°C	680°C
2	Temperatura de degazare	700-720°C	710°C
3	Temperatura de modificare	690-720°C	700°C

Continuare tabel 14.1

<u>Q</u>	<u>1</u>	<u>2</u>	<u>3</u>
<u>4</u>	Temperatura de turnare	670 - 700 °C	680 °C
<u>b. Parameterii de lucru și tehnologice de elaborare în vid</u>			
<u>5</u>	Temperatura de elaborare	650 - 670 °C	660 °C
<u>6</u>	Temperatura de modificare	660 - 680 °C	670 °C
<u>7</u>	Temperatura de turnare	630 - 650 °C	640 °C
<u>8</u>	Nivel de vid	35-10mm.col. Hg	20mm.col. Hg
<u>c. Parameteri unici</u>			
<u>9</u>	Nivel de vid la degazarea prin vid	20-32mm.col. Hg	20mm.col. Hg
<u>10</u>	Viteza de răcire la solidificare	vr2	
<u>11</u>	Temperatura de preincălzire a coșulelor	175 - 250 °C	225 °C
<u>12</u>	Groasimea de perete	T1 - T3 La T4 se impune utilizarea răcitorilor	6-15 mm
<u>13</u>	Temperatura de punere în soluție	420 - 430 °C	425 °C
<u>14</u>	Durata palierului de punere în soluție	15 - 17 h	16 h
<u>15</u>	Temperatura de călăre	70 - 90 °C	80 °C
<u>16</u>	Mediu de călăre	vid	-
<u>17</u>	Temperatura de însăriere	15 - 25 °C	20 °C
<u>18</u>	Durata perioadei de însăriere	182 - 238 h	240 h

## 14.2 FISA TEHNICA

Compoziția chimică optimizată pentru aliajulAlCuMg10

Tabelul 14.2

Elemente de bază, %							Inconvenită, max., %							Tot in-
Al	Mg	Si	Fe	Ti	Zr	CrCu	Mn	Zn	Fe	Na	Ca	Sn		
rest	9,5- 10,5	0,15- 0,25	0,003- 0,006	0,05- 0,10	0,05- 0,10	0,005- 0,150	0,150	0,050	0,100	0,005	0,005	0,005	0,005	0,1

Este obligatorie analizarea de control a tuturor materialelor prime și materialelor tehnologice utilizate în vederea însăriirii lor în condițiile impuse.

La folosirea de prealaje pe baza de Si, Ti, Zr, Be, calculul de sarcini se va efectua numai după analiza chimică a acestora pentru determinarea compozitiei.

#### 14.3 VISA TEHNICA

##### Structura cutică favorabilă obținerei caracteristicilor fizico-mecanice

Luminoză.

Tabelul nr. 14.3

Nr. crt.	Componente structurii	Proportie in structura (%)	Mărime grăunțe (nr. stări)	Tip separări
<b>a. structuri primare</b>				
1	SS $\alpha$ (Al)	rest		intercristalin
2	$\beta$ ( $Mg_2Al_3$ )	10 - 12	6-8	semicontinuu
3	$Mg_2Si$	0,2 - 0,5		pentru $\beta$ ( $Mg_2Al_3$ )
<b>b. structuri secundare</b>				
1	SS $\alpha$ (Al)	rest		disecontinuu
2	$\beta$ ( $Mg_2Al_3$ )	8 - 10	6-8	periat-intercristalin
3	$Mg_2Si$	0,1 - 0,2		pentru $\beta$ ( $Mg_2Al_3$ )

#### 14.4 VISA TEHNICA

##### Caracteristicile fizico-mecanice optimizate ale aliajului ATOM 10

Tabelul nr. 14.4

Starea de testare a proprietăților	Caracteristicile fizico-mecanice, min.								
	Rm daN/mm <sup>2</sup>	Rp0,2 daN/mm <sup>2</sup>	A5 %	HB daN/mm <sup>2</sup>	ICU daNm/cm <sup>2</sup>	$\delta$ g/ cm <sup>3</sup>	$\sigma^{20^\circ C}$ $\mu\Omega \text{cm.}$	$\lambda_{\text{gal}}^{\text{cal}}$ sec °C	$\frac{1}{\rho}$ $10^6$ (20°C)
Stare brut turnat, H	14,0- 18,0	-	2 - 3,5	66- 72	-	2,685		-	23,0- 30,0
Stare condiționată termic, TB	250- 300	140- 160	4 - 8	70 90	6	2,59 9,2	8,5- 0,21- 0,22	24- 24,5	

**Cap.XV. PREZINTAREA INSTALATIEI DE DEGAZARE  
IN VID PENTRU PROIECTIE**

In urma cercetarilor efectuate in domeniul elaborarii aliajelor de aluminiu in vid, s-a intocmit un program de aplicare la scara industriala a acestei tehnologii.

Pentru prima etapă a programului pe termen lung, s-a propus realizarea unei instalatii de degazare in vid a aliajelor de aluminiu pentru a testa, la nivel de productie industriala, eficiența tehnico-economică a metodei. Aceasta va crea promizante tehnice in vederea trecerii de la o fază superioară tehnologic și urmă la elaborarea completă in vid a acestor aliaje.

Ultima etapă a programului, prevăzută pentru perioada 1990 - 1992, realizarea unei instalatii complexe, cu grad ridicat de automatizare și robotizare, pentru elaborarea și turarea, in flux continuu a pieselor din aliaje de aluminiu.

Instalația de degazare și mantinere in vid a aliajelor de aluminiu este realizată pe principiul acțiunii rapide și eficiente a aplicării unui anumit nivel de vacum asupra băii de topitură.

Degazarea prin băile, datorită redusorii presiunilor parțiale a gazelor din topitură produce o „fierbere” a aliajului, prin parcursarea coloniei de metal. Transportul de gaze, pe adâncimea băii, spre suprafață, asigură și un transport masiv al inclusiunilor nemetalice, asigurind o purificare avansată în sistemul gaz-solid.

Astfel, prin crearea unei depresiuni deasupra băii de topitură, corelată cu temperatură și sareală aliajului se provoacă o eșapare accelerată a gazelor.

Aceasta asigură o purificare medie a aliajelor industriale de aluminiu, contaminarea ulterioară cu inclusiuni gazoase, în timpul turării fiind minimă.

Dacă se aplică flăcări de protecție pe oglinda caldei de turărire, iar operația de turare se aplică respectând rigurose indicații tehnologice, transvezarea cuptor-cală de turare - formă, nu conduce la rezăvarea aliajului, dacă în proporție de maxim 2-5 % din nivelul stînă de aliajul degasat prin vacumare.

Se obțin astfel condiții tehnologice, optime la acest nivel, pentru realizarea în producția de serie a unor piese turnate cu indici calitativi net superioiri tehnologiei actuale de lucru în atmosferă.

Din testările în faza pilot s-a determinat o acuratețe avansată a secțiunii de poroș a pieselor, constătindu-se o ușoară influență la interfața metal-anestezic sau metal-anestezic formare, datorată adsorbției de gaze generate fizice sau chimice de anestezicele folosite.

Totuși prin aplicarea, pe suprafața formelor sau miercurilor, a unor vopsele refractare minerale, cu componente stabile la temperaturi de max. $800^{\circ}\text{C}$ , și prin utilizarea de forme temporare și miercuri, în stare uscată se poate elibera aproape complet această influență negativă. De asemenea stratul influențat, de adsorbția de gaze nu condamne la diminuarea calitativă a pieselor turnate, deoarece în mareea majoritate a caselor acesta coincide cu adăosul de prelucrare al suprafețelor respective, ce se îndepărtează ușoară, prin prelustrări.

În turarea în forme metalice permanente, acest efect nu se evidențiază, structura piesei fiind compactă pe întreaga grosime a peretelui, sau a secțiunii piesei.

"Edareea evansată a hidrogenului, din topituri, corelată și cu o purificare de inaluxuri nonmetalice, asigură pieselor turnate, prin degazarea aliajului în vid, caracteristici fizico-mecanice și de etanșitate net superioare celor realizate în practica curentă industrială.

Principial, instalatia de degazare și menținere în vid a aliajelor de aluminiu, cod UN 2774 (dosar de inovație nr. 51/1982) este formată din trei părți componente principale:

- a. cuporul propriu-zis, de menținere, cu rezistență electrică, de construcție specială ;
- b. instalația de vidare ;
- c. instalațiile anesteziante și de deservire.

a. Cuporul de menținere - încălzit cu rezistență electrică de construcție specială este realizat pe principiul vidării numai a crucezătilor plasat între capace din otel refractor.

În acest fel, se asigură un spațiu vidat mai redus, ceea ce cuporului nu se mai realizează în construcție de recipient de vid, iar accesul și depansarea sistemului de încălzire să fie mai facilă.

De asemenea trecerile electrice prin carcasa cuporului sunt normale, electroigienante, nemărfind necesară etanșarea lor.

Totodată, în situații de avarie prin fisurarea creuzetului se asigură o securitate mai mare a cuporului și a întregii instalații.

La partea superioară a carcasei creuzetului este asamblat prin sudură inelul de etanșare, rădit prin circuit fortat de apă pentru protecția garniturii de etanșare. Închiderea spațiului de lucru, în momentul vidării se realizează printr-un capac mobil, asigurat prin asamblare cu șuruburi pe garnitura de etanșare.

Capacul de etanșare este astfel conceput pentru a asigura realizarea degazării alternative a uneia din cele trei cupoare de mantinere ce compun linia de producție.

În perioadele de lucru în atmosferă, izolarea termică pentru eliminarea pierderilor prin radiație se realizează, printr-un alt capac, rabatabil ce acoperă suprafața superioară a inelului de etanșare.

Pecărește linia de degazare prin vid este prevăzută să deschidă sectorul mașinilor hidraulice de turnare în forme statice permanente, materialul după prelucrarea în vacuum este preluat în cale de mîndă pentru turnare.

În vederea asigurării permanente cu aliaj degazat și având în vedere că perioada de turnare în cochile este destul de lungă, se poate repeta operația de degazare de 2-3 ori, pînă la epuizarea topiturii.

Cantitatea tampon din creuzet este de min.20 % din sarcină, la această limită procedindu-se la o nouă reinchidere a creuzetului.

După efectuarea degazării aliajului dintr-un cupor, capacul de etanșare, se menține închis, în situația stocării sau se deschide și se trasează la un alt cupor pentru prelucrarea topiturii prin vidare.

Carcasa creuzetului este astfel proiectată și realizată pentru a asigura o durată de funcționare pentru 300-500 sarcini.

Mantinerea ei în poziția de lucru se face prin sprijinirea pe un suport refractor de la baza cuporului, iar etanșarea sa termică de carcasă exterioară se face prin șanț de arbecă.

b. Instalația de vidare - este concepută în sistem compact-proiectat, elementul principal constituind-l pompile de vid, cu inele de lichid, tip NIL 402, în număr de două. Circuitul de apă

pentru înălții de stânzare al pompelor de vid cît și pentru ridicarea inalelor de stânzare ale cupoarelor se realizează primele electro-pompă tip Gras 50.

Pentru protecția pompelor de vid cît și pentru apurarea gazelor absorbite din înălță vidată pe circuitul de vacumare este prevăzut un separator răcoritor.

Inhibarea sau deschiderea circuitului de vid se realizează prin robinete de vid tip DN 32, iar măsurarea nivelului de vid realizat se face cu vacuumetre cu membrană tip DIAVAC.

Intregul agregat este amplasat la una din extremitățile hărției de cupoare, legătura cu aceasta realizându-se prin conducte metalice.

c. Instalațile speciale de degazare - este compusă din :

- panoul de comandă, de la care se realizează comanda centralizată a procesului tehnologic și care cuprinde instalația electrică de comună și control, și AMC-urile respective ;
- construcția metalică tip grinda, dotată cu un palan manual cu nese de 1 t și cu angori manipularea capacului de stânzare pentru degazare precum și montarea și demontarea carcsei creuzetalui;
- brațamentele de apă și energie electrică necesare funcționării instalației.

Elementele principale ale proiectului acestui instalație sunt compuse din :

- aranjament general UM - 1774 - 00 - 00 ;
- cupor pentru mantinere aliaje de aluminiu, cod UM-1774-02-00;
- schema de vid, cod UM 1774 - 13.

Instalația de degazare în vid a aliajelor de aluminiu, în curs de montaj, va intra în probe tehnologice în prim. III.2000 și va fi pusă în producție în cursul prim. IV.1995, după omologarea sa și a tehnologiei de lucru.

De astăzi și prin aplicarea acestui procedeu tehnologic, se va reduce robotul actual înregistrat de 3-4 %, ajungind la cea 1-1,5 %, decarcaza oca mai mare parte din eșantele de robot, la piesele turnate este lipsa rezistenței la stânzitare.

Principalele caracteristici tehnice ale instalației de degazare prin vid a aliajelor de aluminiu, la scara industrială, sunt următoarele :

- capacitatea creuzelului: cca. 340 Kg Al(1000 Kg.com) ;
- creuzet din grafit, fără conținut de siliciu ;
- manta de protecție a creuzelului din oțel refractar ;
- nivel de vid realizat : 35-400 mm.col.Hg;
- temperatură maximă de lucru : 750°C ;
- puterea instalată a curtorului : 54 Kw ;
- rezistențe de încălzire din Cr2/R140, spirale ;
- sistem de răcire - apă de la rețea ;
- consum de apă de răcire : 100 l/h ;
- dimensiuni de gabarit: ⌀ 1600 x 1500 ;
- greutate netă: G = 3500 Kg.

Testarea temperaturii aliajului se realizează indirect, prin intermediul carcasei creuzelului.

Cuptoarele sunt termostatate, prin termocuple cromel-alumel, pentru asigurarea stocării optime a aliajului.

**CAP. XVI - ASPECTE TEHNICO-TEHNICALE  
LA SCARA INDUSTRIALA**

**15.1. Tehnologia de elaborare și turnare a  
aliajului ATmg10**

Aliajul ATmg10 este destinat realizării pieselor turante cu proprietăți fizico-mecanice superioare și cu o foarte bună rezistență la coroziune.

În funcție de destinația și nivelul solicitărilor, piesele turante se vor realiza după una din schemele tehnologice prezentate în cele ce urmăscă. De menționat că în etapa actuală, întreprinderea Electropuțere Craiova, dispune de o instalație de degazare prin vid, realizată ca urmare a cererilor prezentate în acestă lucrare.

Ulterior, cînd se va realiza instalația de elaborare-turare în vid, se va utiliza tehnologia prezentată la cap. III.

Schemele tehnologice, prezentate sub formă tabulară, de proces tehnologic cunoscut și ușor de pus în practică, se dau pentru elaborarea aliajelor intermedii binare (prealiaje) și pentru elaborarea aliajului ATmg10, în două variante pentru metoda de degazare, și anexe : (Anexa VI).

a. Degazarea aliajului ATmg10, elaborat în cupor electric prin inducție la medie frecvență, în atmosferă, prin bărbătarea cu gaze inerte (argon).

Această tehnologie este destinată realizării pieselor turante cu caracteristici fizico-mecanice și de coroziune, bune, destinate fabricării produselor cu solicitări normale, din producția de serie.

b. Degazarea aliajului ATmg10 în vacuum, în instalația de degazare în vid, în care aliajul eloborat în atmosferă este transvatat. Metoda este aplicată la realizarea pieselor turante cu nivel calitativ superior celui din schema tehnologică anterioră și conduce în plus și la diminuarea substanțială a coeficientului de robot. Această tehnologie are un rîs de robot de max. 0 = 1,5  $\mu$ , în comparație cu prima metodă la care procentul mediu de robot este de 3 - 5 %.

Tehnologia de degazare prin vid donează la diminuarea evenimentării a prezentului de robot, valoarea înregistrată fiind deținută, în principal utilizările accidentale a unor materii prime de calitate mai redusă, prin depășirea timpului de stocare a aliajului în cuporul electric și rezistență a instalației de degazare în vid, sau în timpul deconfigurării operațiilor de turnare, prin trecerea posibilei limite de efect optim al fenomenului de modificare.

Timpul limită de stocare a aliajului în cuporul instalației de degazare prin vid este de  $60 \pm 120$  min., de la efectuarea degazării.

Pentru aceasta trebuie luate măsuri tehnologice operative de turnare, în timp optim, a aliajului.

În cele ce urmăru se descriu procesele tehnologice de turnare a prealiajelor AlBe<sub>3</sub>, AlTi 3.5 + AlZr 5 și a aliajului AlMg10, în cele două varianțe, (Anexa VI).

### 16.2. Tehnologia de tratament termic a piezelor furnizate din aliajul ATMg10

Tratamentul termic aplicat piezelor furnizate din aliajul ATMg 10, conform diagramei prezentată în cap. IV (fig. 4.1) este specific aliajelor cu autodurifacare. El este alcătuit dintr-o încălzire pentru punerea în soluție a magneziului și compozitorilor intermetalici  $\text{Al}_3\text{Fe}_2$  și  $\text{Fe}_2\text{Mg}$ , urmată de o eliberare pentru calore în vederea fizurii structurii pallerului de încălzire, la temperatură ordinată.

Urnează un fenomen specific aliajelor aluminiu-magneziu, în special a celor cu conținut ridicat și în magneziu, de autodurifacare prin precipitare la temperatură ambientă, realizată prin îmbătrânire naturală, timp de min 192–240 h.

După precipitarea foarte fină adusă de îmbătrânirea naturală, piezele capătă caracteristicile recentice, fizice și de coroziune deosebite și o bună stabilitate a acestora în funcționare, însă, fără a se depăși temperatura de max.  $80^{\circ}\text{C}$ .

Peste această temperatură apar, în structura materialului, modificări esențiale de repartizare și cărare a precipitărilor compozitorilor intermetalici pe limite de cristal, care condus la diminuarea substanțială a caracteristicilor specifice și de coroziune.

Totodată corozierea ciclului de tratament termic impune o riguroasă respectare a indicatiilor date în procesul tehnologic prezentat ulterior, cu precădere asupra restrințorii la maxim a piezelor temperaturilor de lucru și a tipului de transfer.

Intreruperile accidentale ale ciclului de tratament datecate funcționării utilajului sau a interrupterii alimentării cu energie, ce nu duc la redarea temperaturii din spațiul de lucru cu mai mult de  $25-40^{\circ}\text{C}$ , prolungează timpul de tratament cu timpul de avarie. Redarea temperaturii sub anseata valori, prin interruperi în ciclul termic, sunt considerate drept tratament compromis, purtând relații de la momentul inițial, prin retracțare.

Pentru producția de serie, este obligatoriu utilizarea unor captoare de tratament termic, cu vîtră mobila, sistem de amovire pe verticală a dispozitivelor de apăsare a piezelor și băie de ulei, plasată sub captor, termoizolată.

Cuptorul, cu încălzire prin rezistențe electrice, va trebui să adă nevoie de ventilatoare de bolță pentru oxigenarea cimpului termic în toate zonele incintei, și o distanță minimă, de la rezistențe la pieze, va fi de cca. 30–40 mm pentru a nu produce sur-

pea îmbunătățiri locale în pieșe.

These AAC-urile termice vor avea împărțirea cu bandă pentru înregistrarea grafică a diagramei de tratament.

### 16.3. Îndelungări tehnico-economice

Datorită faptului că aliajul AT Mg10 are o densitate mult mică decât cea a altor aliaje prezentă în același pieză, turnatii din acest aliaj sau din aliaj Al-Cu sau Al-Si se diminuază cu circa 6,2 %. Deși se ține cont de aceasta, că ridicarea caracteristicilor fizico-mecanice permite reducerea grosimii de perete, cu menținerea același valori și a parametrilor de lucru și cu fiabilitate similară, se poate aprecia că diminuarea totală a greutății piezelor turnate este în medie de 3 %.

Acasă și oportunitatea de a redresa o greutatea piezelor turnate constă:

- la diminuarea greutății totale a produsului pe care se mențină această pieză turnată;
- reducerea prețului de cost al piezelor turnate (lei/kg), luând în considerare un preț plafon mediu pentru pieze turnate în formă metalice permanente, de aprox. 53 lei/kg, conform Legei nr.1 din Ordinul M.C.N.R. 10330/1982, cu aplicare din 01.07.1982, cu cîrca 4 lei/kg, la un grad mediu de complexitate a piezelor turnate.

Această diminuare consecutivă a densității aliajului AT Mg10 este evident reliefată de curba prezentată în fig.16.1, comparativ cu o serie de mărci de aluminiu.

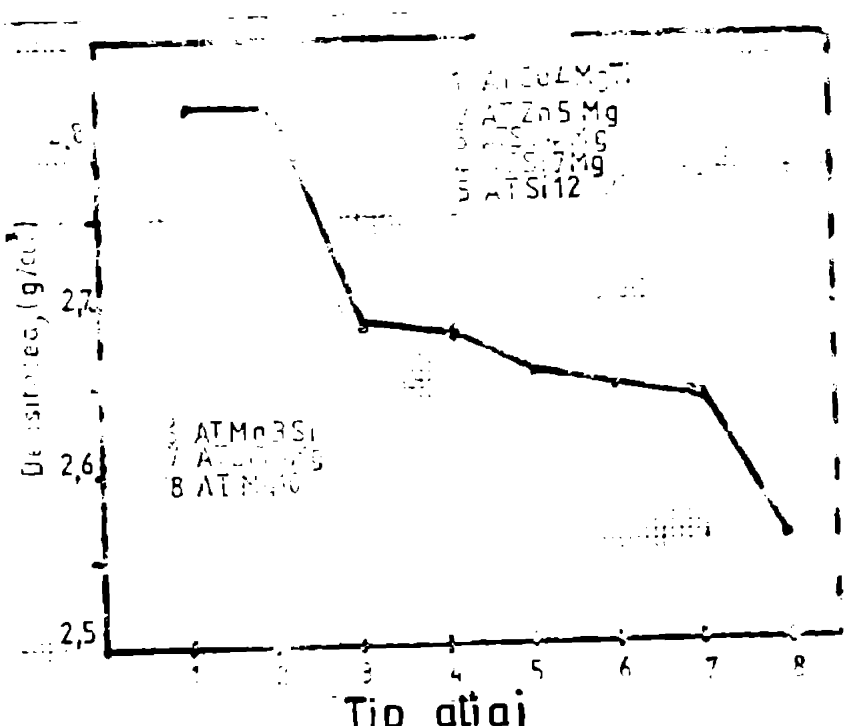


Fig.16.1  
Variația densității funcție de mărca mărcii de aluminiu

O altă posibilitate de diminuare a prețului de cost al acestui aliaj se rezarcă din creșterea rendamentului de utilizare al materiilor prime în cursul procesului de elaborare-turnare în vid.

Prin diminuarea ardorilor cauzate de oxidabilitatea atmosferică, de la aprox. 3 %, în condiții normale (în valoare medie), la max 0,5-1 % (0,75 % în valoare medie) se mărește rendamentul de utilizare al metalului de la 97 % la 99,25 % și deci prețul de cost nou realizat va fi:

$$\frac{53 \times 0,97}{0,995} \approx 51,7 \text{ lei/Kg aliaj}$$

înregistrându-se o reducere de cca. 1,3 lei/Kg.

In fine, cu mai accentuată metodă de reducere a consumurilor de materiale, specifică, deci și a prețului de cost unitar este diminuarea accentuată a roburăului.

În condiții tehnologice normale, de elaborare și turnare în atmosferă, se înregistrează, actual, în aliujele de aluminiu elaborate curent, în Turnătoria IEPC, un robut mediu de 3,5 %.

La elaborarea în atmosferă și degazarea prin vid, ca primă etapă tehnologică nouă cu aplicare industrială, se estimează, în urma probelor pe stație de la laborator, o reducere a roburăului la nivelul a 2,0 - 2,2 %. Se înregistrează o reducere a prețului de cost unitar cu :

$$\frac{53 \times 0,965}{0,979} \approx 52,2 \text{ lei/Kg}$$

adică:  $53,0 - 52,2 = 0,8 \text{ lei/Kg}$

La elaborare-turnare în vid, ce urmăzi să se aplique în anii următori, în baza experienței acumulată pe instalația de laborator se apreciază că scăderea roburăului va fi mai accentuată, ajungind la valoarea de max. 0,5 - 1,5 %, reducerea prețului de cost în acest caz în casă, fiind :

$$\frac{53,0 \times 0,965}{0,99} \approx 51,7 \text{ lei/Kg}$$

adică :  $53,0 - 51,7 = 1,3 \text{ lei/Kg}$ .

Po lîngă acestea, se mai pot lua în calculul diminuirii prețului de cost următoarele avantaje aduse în urma corectărilor efectuate și anumite:

- reducerea cu aprox. 50 % a cantității de modifieri, utilizat în prezent în proporție de 0,3 %, în aliujele turnate în producție.

Aceasta dă în reducerea substanțială a importului pe rețea D.L., elementele modificatoare fiind materiale deosebit de scumpe și deficitare. În un preț mediu de cca. 45 lei/kg, și la un curs mediu de revizuire de cca. 15 lei/\$, rezultă o reducere a prețului de cost de cca 1 leu/kg.

$$45 \times 15 \times 0,0015 = 1 \text{ leu/kg aliaj}$$

- micșorarea temperaturii de tratament termic cu cca. 100°C (550°C - temperatură actuală de punere în calduri, fără de 425°C, la aliajul ATmg10), condusă la economii de energie electrică, deci de reducere a cheltuielilor de producție. Totuși, aceasta nu poate fi luată în calcul, fiind contrabalanșată de necesitatea încălzirii electrice a miliilor de tone pentru calibrare și de instalația de degazare în vid sau de dispozitivele auxiliare a instalațiilor de elaborare-turcare în vid.

Consumul suplimentar, specific acestui aliaj, și anume cel de beriliu, este complet necorespunzător în balanța prețului de cost unitar. În un preț mediu de 60 lei/kg și la același curs de revizuire de 15 lei/dolar, pentru un consum de 0,004 % Be, rezultă o creștere a prețului de cost cu :

$$60 \times 15 \times 0,0004 = 0,036 \text{ lei/kg aliaj.}$$

Păinind un total al efectelor economice rezultante din avantajele tehnico-economice rezultante în urma aplicării industriale a cercetărilor efectuate, pentru metoda de degazare prin vid a aliajului elaborat în atmosferă rezultă:

- din reducerea densității aliajului, prin micșorarea creșterii /piesă ..... 4 lei/kg
  - din micșorarea ardorilor și creșterea rendementului de utilizare (apreciată, la această tehnologie la cca. 15 % din cea înregistrată la tehnologia desfăgurată complet în vid) ..... 0,2 lei/kg.
  - prin diminuarea consumului specific de modificator ..... 1 lei/kg
  - din reducerea robotului ..... 0,8 lei/kg
- o economie totală, cifrată prin reducerea prețului de cost unitar de cca. 6 lei/kg.

În o producție anuală de piese turcate realizate din acest aliaj de 250 t, aplicând și tehnologia de degazare prin vid se obține o economie antecalculată de :

$$6000 \times 150 = 900000 \text{ lei/ani.}$$

Instalația de degazare prin vid, realizată prin autoutilare de Intr.Electropuțere Craiova, conform devizului de post calculat a costat 968.300 lei (utilaj cod.UK.1774).

Plăcind o apreciere simplă a amortizării cheltuielilor de realizare a acestei instalații numai prin diminuarea cheltuielilor de fabricație, rezultă că valoarea ei este acoperită de eficiența economică a metodei în cca.1,1 ani.

În plus tehnologia noastră, ca rezultat a cercetărilor întreprinse mai recentă și o altă serie de avantaje tehnico-economice și sociale ce însă nu au mai fost luate în vedere în antecalcoul economic, răuînind să fie evaluate în final, prin postcalcul și urmă:

- prin creșterea rendamentului de asigurare se aplică și coeficientul de scoatere, crescând indirect producția fizică și productivitatea ;
- diminuarea pierderilor prin ardere și prin rebut, conduse la reducerea consumurilor specifice de materiale, a cheltuielilor de producție și implicit a cheltuielilor la 1000 lei producție marfă ;
- tot prin diminuarea pierderilor tehnologice și a rebutului, la o anumită producție fizică rezultată se poate reduce sensibil manșiera de fabricație;
- prin aplicarea metodei de degazare prin vid se îmbunătățesc condițiile de muncă din teritoriile prin eliminarea nemului generat de procedul de degazare cu hemalorietan.

#### 16.4. CONCLUZII GENERALE SI PROBLEME DE VIITOR

Cercetarea efectuată asupra modificărilor structurale evidențiate în alin.º ATmg10, elaborat și turnat în vid, a avut ca scop determinarea mecanismelor de influențare a morfologiei structurii într-o serie de condiții ~~adesea~~ utilizate de practica industrială.

În general, tehnologiile cu desfășurare integrală sau parțială în vacuum, se aplică industrial la elaborarea sau numai la degazarea obiectelor, în special a calor mediu sau înalt aliata.

Nebordată încă pe plan național, tehnica vidului în metalurgia aliajelor neferoase pe baza de aluminiu pentru turnarea în pieze, va conduce în următori la pagi importante în acest domeniu, prezentând deosebite avantaje tehnico-economice.

Înădărât pe acest domeniu, studiul realizat deschide un domeniu

niu nou de activitate, atât pentru cercetarea cu caracter aplicativ cât și pentru cercetarea fundamentală.

Interferența dintre tehniciile moderne de investigație și parametrii de lucru, industriali, generează o nouă tehnologie și rezultate, pe planul interesului tehnic, util diverselor industrii, aliajul bogat în magneziu, marca AMg20.

Considerat ca dificil de stăpinit tehnologie, cu o redată reproductibilitate a rezultatelor ce se situează la nivale modeste, fără de aliaje similare elaborate în diverse state și mai ales cu o turabilitate medieocă, acest aliaj a fost exclus din standardul de aliaje de aluminiu turante în piese - STAS 201/2-60.

De asemenă, cercetările efectuate s-au extins tocmai în acest domeniu, aducind pe cît posibil noi lămuriri și noi aspecte tehnice și tehnologice.

Formularea, experimentarea și realizarea practică a unei tehnologii complete de elaborare în vid (cap. II din partea II-a), pe o stație pilot originală, proiectată și realizată (proiectată în cap. VII, partea a II-a) și emulogată în cadrul cercetărilor, a condus la creerea prevederilor de bază pentru progresul, de lungă durată, cu privire la asimilarea în producție la Intreprinderea Electroputere Craiova a tehnologicii bazate pe utilizarea vidului în sectoarele calde.

Totodată, prin proiectarea, realizarea și punerea în funcțiune a unei instalații de degazarea în vid a aliajelor de aluminiu, împreună cu un colectiv plurispecializat (cap. XV din partea a IV-a), s-a creat posibilitatea tehnică de aplicare industrială a cercetărilor întreprinderii anterioare.

Atât în fază de laborator așa și la nivel de stație pilot s-au obținut o serie de caracteristici fizico-mecanice superioare celor obținute pînă în prezent, la nivel național, rezuind că ne apropiem de calea ale aliajelor similare elaborate în țări cu tradiție în acest domeniu (cap. VIII-IX, din partea a II-a).

Aceasta deschide posibilități imediate de utilizare a aliajului AMg20 în domeniile de vîrf, ca de exemplu în industria aerospațială, navală și de autovehicule.

Totodată pentru cercetarea turabilității aliajului, în vederea caracterizării sale complete, s-au introdus o serie de noi probe și SDV-uri, ce au intrat deja în practica industrială la IEPC (cap. VI din partea a II-a).

Pentru a evidenția eficiențatea tratamentului în vid, a aliajului topit, asupra nivelului de gaze remanente în piesele turnate s-a fundamentat experimental, o metodă, în această formă, calitativă, pentru determinarea conținutului în hidrogen, prin analiză spectrală.

S-a optat pentru această metodă, deoarece utilajul de bază, spectrometru - 24 se află în dotarea majorității laboratoarelor fizico-chimice din țară, iar pe acesta se pot realiza analize cu caracter rapid (cap. VIII, subcap. 8.3).

În completarea metodicii de determinare a calității pieselor turnate din acest aliaj, s-a efectuat un studiu prin difracție nedestructivă în raze X, pentru evidențierea tipului și a cauzelor generatoare de defecte (cap. XI din partea a II-a).

Studiul macrostructurii și microstructurii aliajului ATMag10, efectuat prin variabilitatea unei multitudini de parametrii tehnologici - viteză de ridicare, grosime de perete, nivel de vid, compozitie chimică, tipuri și cantități diferite de codificatori, condiționare termică, metode tehnologice de lucru - a condus la punerea în evidență a structurii optime precum și a mecanismului modificărilor structurale survenite atât la elaborarea aliajului în etapele fără cit și în vid (cap. X, din partea a II-a).

În cadrul unor experimentări pe linie de cercetare fundamentală a structurii aliajului ATMag10, s-a realizat un program de determinări prin difracțometrie în raze X, efectuat în colaborare cu specialistii Institutului de Cercetări Metalurgice București, în urma căreia s-a reușit punerea în evidență a unui constituent nou, codificat  $\beta'$ . Fundamentat teoretic de SAULNIER și VAN LANCKER ca stare intermediară ( $\beta_1; \beta_2; \dots; \beta_n$ ), forma  $\beta'$  devine o realitate dovedită experimental, reușind totodată și determinarea principaliilor săi parametri cristalografici (cap. VIII, subcap. 8.2.).

Interdependența parametrii-proprietăți-structură, realizată prin corlații bimivoce, grafic, statistică și prin program de calcul a condus la obținerea unei imagini de ansamblu a influenței structurii, precum și a mecanismului de modificare a structurii în sensul obținerii caracteristicilor fizico-mecanice favorabile (cap. XII - XIII, din partea a III-a).

Totuși acestea au condus în final, la realizarea unei tehnologii de elaborare, turnare și tratament termic, aplicabile industrial, pentru aliajul ATMag10 (cap. XVI, din partea a IV-a), și la op-

minimarea parametrilor acestui aliaj sub formă unei faze tranzicioase.

În vederea continuării acestui studiu, pentru fundamentarea completă a mecanismelor ce guvernează modificările structurale în aliajul studiat, cu repereuri încă hotărîtoare asupra caracteristicilor fizico-mecanice obținute, se impune extinderea și profundizarea cercetărilor prin difuzometrie în reza X, combinate cu analize în microsondă și microscop electronic pentru elucidarea morfologiei și proprietăților constituantului  $\beta^1$ . De asemenea, se impune studierea saii în preluvime a genoului existenței și influenței spațiului liber interdandritic - SIL "cavitate cristalină", strukturii și proprietăților aliajului ATMg10.

Pentru a completa necesarul de informații tehnologice, utile, în timpul elaborării acestui aliaj, cu posibilități în intervenție operativă în prelucrarea sa, în stare lichidă, este necesar să se finalizeze metoda rapidă de determinare a hidrogenului rezidual, prin analiză spectrală cu caracter cantitativ.

Aplicarea în producție, a uneia sau altăia din tehnologiile propuse, cu desfășurarea elaborării și turării în vid sau numai de degazare în vid, va trebui să se facă selectiv, în funcție de cunostințele de caracteristici impuse pieselor turante.

Altfel, la piesele cu utilizări moduli importante, cu suprafețe ce se prelucrează mecanic ulterior, cu rezistență la stărișorile de pînă la 60 Kgf/cm<sup>2</sup> se poate aplica, cu rezultate foarte bune metoda de degazare prin vid. Acele însă, unde se cer proprietăți fizico-mecanice finale, cu foarte bună rezistență la corozie, completă cu solicitări la presiuni de peste 60 Kgf/cm<sup>2</sup> se impune adaptarea, cu avantaje tehnico-economice evidente a tehnologiei de elaborare-turare în vid a acestor piese.

Programul de assimilare a acestei tehnologii va trebui însă să fie corelat, la nivel național cu un program de realizare a agregatelor de vid de puteri mari și a instalațiilor lor aferente.

Totodată este necesară assimilarea în pasă a prealialului aluminiu-beriliu, marca AlBe 3, într-o întreprindere specializată (I. M. V. salin).

De asemenea, prin Institutul Român de Standardizare și Institutul Central pentru Secoare Calde - ICSITPCB București, se vor lua măsurile necesare în vederea reintroducerii aliajului ATMg10 în prima revizuire a standardului STAS 201/2-Aliaje de aluminiu turante în piese.

**- B I B L I O G R A F I E -**

1. NICOLAE CRABIRSCU  
- Raport la cel de al XIII-lea Congres al Partidului Comunist Român.
2. OPREA, F.  
- Teoria proceselor metalurgice, Ed. Didactică și Pedagogică, București, 1971.
3. x x x  
- Anuarul Statistic al Republicii Socialiste România-1984, Direcția Centrală de Statistică.
4. x x x  
- Vacuumnaya metallurgiya, Moskva, 1973.
5. WINKLER, O., BARISH, R.  
- Metallurgy in vacuum, London, Elsevier Publishing Company, 1972.
6. URKA, S. Z.  
- Obtinerea de piese turnate în vacuu, American Vacuum Society, New York, 1969.
7. VAN OLRAVEN, A. D.  
- Vacuum process lowers investment casting costs, Iron Age, Nr. 29, 1976, p. 36-37.
8. ALMÉR, K.  
- Degazage par la vide des alliages d'aluminium de fonderie, Fonderie, 1975, Nr. 350, p. 393-400.
9. NIKHENDZI, In., g.o.  
- Vlijanie plavk i razlivki v vacuume na litinovye svoistva splavov. Liteinoje Svoistva metallov i splavov. Iz. Nauka, Moskva, 1976, p. 60-65.
10. x x x  
- Domenii și tendințe în utilizarea aluminiului pe plan mondial, Institutul pentru studierea conjuncturii internaționale, București, 1973.
11. SZWEYGER, M.  
- Volba Zlaku pro odplýnerani Slováckých slitin hliníku vakuevaním, Slováckství, Nr. 30, 1982, p. 36-38.
12. STUMMER, F. G.  
- Welche Probleme kann das Vakuumverfahren bei Aluminium-Druckgussleusen, Giesserei, 1977, 54, Nr. 9, p. 236-239.
13. TOKAREV, J. B.  
- Opredelenie parametrov tehnologii litii aluminievih splavov vakuumnykh vsasivaniem. Liteinoe preizvedstvo, Nr. 8, p. 28-29, 1978.
14. TOKAREV, J. B. g.o.  
- Obrazovanie zazorov mejdú otlivkou i formou pri litii vakuumnih vsasivaniem. Liteinoe preizvedstvo, Nr. 7. 1975. n. 21-22.

15. SPERNER, F., FLOMIER, J. - Evolutia turării de precizie în vid, American Vacuum Society, New York, 1969.
16. ILANSEN, M., ANDERKO, K. - Constitution of binary alloys, Mc.Graw-Hill Book Company Inc., New-York, 1958.
17. SUZANA, G., PROTOPOFESCU, M. - Aliaje neferoase, Ed.Tehnică, Bucureşti, 1965.
18. SRUNK, A. F. - Constitution of binary alloys, Second Supplement, Mc.Graw-Hill Book Company Inc. New York, 1972.
19. GIDKA, S., PETRESCU, M. - Metalurgie fizică și Studiul metalelor, Ed.Didactică și Pedagogică Bucureşti, 1979.
20. VAN LAECKER, M. - Metallurgy of Aluminium Alloys, Chapman and Hall Ltd, London, 1967.
21. TRUSCULESCU, M. - Studiul metalelor, Ed.Didactică și Pedagogică, Bucureşti, 1971.
22. GORNY, Z. S. A. - Turnarea metalelor neferoase, Ed.Tehnică, Bucureşti, 1969.
23. PETROVA, N., S. A. - Svoistva splava Al-9,5 % Mg s titanem, tironiem, molibdenem i berom pri rastiaghivaiusciih i udarnih nagryzkah, Metalovedenie i termicescain obrabotka metallov Nr.5, 1971, p.6-8.
24. VLADOI, M., S. A. - Metale și aliaje neferoase de turătărie, Ed.Scrierul Românesc, Craiova, 1981.
25. x x x - Catalog ASTM.
26. PARRET, Ch., MASSALSKI, B. T. - Structure of metals, Mc.Graw Hill Book Company Inc., New York, 1966.
27. BALLY, O. - Metode fizice în studiul corpușului solid, Ed.Didactică și Pedagogică, Bucureşti, 1966.
28. x x x - International Tables for X-ray crystallography, vol I-III, The Kynoch Press, 1967.
29. KLUG, H. P., ALEXANDER, L. B. - X-ray Procedures New York, John W Wiley Sons, 1967.
30. MIRKIN, C. I. - Sprawecinie po rentgenostrukturalismu analizu, Fiz. Maṣghiz, 1961
31. CUDNY, K. - Wpływ zawartości magnesu i stopnia ucieśnienia na właściwości stopów aluminium-magnes stęczanych na konstrukcje obrótowe, Bielownictwo Chretows, 1971, p.46-48.
32. MARCU, P., PAUNIL, M. A. - Compararea unor aliaje de aluminiu la coreziune, în diverse medii naturale, Metalurgia, 2e, Nr.11 1968, p.646-650.

33. SONTEA, S.  
 - Cercetări pentru elaborarea unor aliaje nefereante, deficitare și a unor aliaje cu proprietăți mecanice ridicate, Craiova, Electropuțere, 1969-1972.
34. CIURLANU, G. R.  
 - Cauzele apariției incluziunilor dure la piesele turnate din aliaje de aluminiu, Metalurgia 18, Nr. 5 1966, p. 275-278.
35. x x x  
 - DIN Taschenbuch, Nichteisennmetalle, Beuth-Vertrieb GmbH, Berlin, 1974.
36. x x x  
 - Aluminium and Magnesium Alloys, Data of Properties and Specifications, Prospect-Sterling Metals, Ltd., England.
37. x x x  
 - STAS 201/2-71 Aliaje de aluminiu turnate în piese.
38. x x x  
 - Metals Handbook, 3-th, Edition American Society for Metals, Metals Park, Ohio.
39. x x x  
 - Vakuumie protessi v tvetnoi metalurgii, Izdatelstvo Nauka, Alma Ata, 1967.
40. WINTERHAGER, H., KOCH, M.  
 - Untersuchungen zur Vacuumgasung von Aluminium-Schmelzen, Gießerei, 65, 1979, Nr. 19, p. 505-510.
41. BRADSHAW, A. V.  
 - Vide, Pergamon Press, London, 1968.
42. WARNER, A. N.  
 - J. Iron Steel Inst. Nr. 207, 1968, p. 44.
43. SZULYOVSZKY, A.  
 - Ultravakuum berendezesek tervezés-kegyes kerdesei, Finomechanika, Nr. 8, 1969, p. 327-330.
44. APA, L.  
 - Observatii și contribuții la teoria degazării oteturilor în vid înaintat Metalurgia, Nr. 16, 1972, p. 668-670.
45. APA, L.  
 - Contribuții la teoria proceselor de vaporisare în vid a elementelor de aliaje volatile, Metalurgia, Nr. 1, 1972 p. 43-45.
46. MAITOV, M. V.  
 - Modificarea structurii metalelor și aliajelor, Ed. Tehnică, București, 1966.
47. KURDIUMOV, A. V. și alii  
 - Plavka i zatverdyanie splavev tvetnykh metallov, Izd. Metallurgija, Moskva, 1968.
48. POPESCU, N., VITALESCU, C.  
 - Tehnologia tratamentelor termice, Ed. Tehnică, București, 1974.
49. GERU, N.  
 - Teoria structurală a proprietăților metalelor, Ed. Didactică și Pedagogică București, 1980.
50. LINDENV, V. M., și alii  
 - Turnarea pieselor din aliaje de aluminiu, Ed. Tehnică, București, 1972.
51. SOFRONI, L. Ș. A.  
 - Bazele teoretice ale turnării, Ed. Didactică și Pedagogică, București, 1980.

52. DOBRESCU, L.
53. HUDSON, F.
54. EDWARDS, J.O., COUTURE, A.
55. EDWARDS, J.O., COUTURE, A.
56. x x x
57. MARCU, P., PAUNEL, A.M.
58. x x x
59. DIETRICH, G.E., Jr.
60. x x x
61. DUSCIU, N.
62. GIDEA, S., ș.a.
63. BECKERT, K.
64. VILDANOVA, I.F., ș.a.
65. MANTEA, St., ș.a.
66. x x x
67. x x x
68. x x x
- Fenomene de suprafata la metale si aliaje, Ed. Academiei RSR, Bucuresti, 1970.
  - The economic production of high density gunmetal castings made in sand molds, Modern castings, Mart. 1965, p. 85-107.
  - Het tearing of Copper-Base Alloys, Mode of solidification of Copper-Base Alloys, Modern Castings, febr. 1967, p. 83-86.
  - Etude des critques et de la solidification dans les alliages cuivre, Fonderie 261, Nov. 1967, p. 444-445.
  - FMA-Informationen aus Technik und Forschung, (prospect al firmai Feinmechanik-Anstalt, Idechteinstein).
  - Comportarea unor aliaje de alumini la coroziune in diversele medii naturale, Metalurgia, 2c (1968), Nr.11 p. 646-659.
  - Atlas international al defectelor de turnare, Ed. Tehnică, Bucuresti, 1977.
  - Metalurgie mecanică, Ed. Tehnică, Bucuresti, 1970.
  - Isleevanie procesov vakuumnoi degazacii aluminievih splavov, EI-Tekhnologija i sberudovaniye litaego proizvodstva, 1970, Nr. 6, p. 10-22.
  - Contributii la măsurarea conductibilității termice a barelor metalice și semiconductoare în regim termic nestatician, Studii și cercetări de fizică, Nr. 2, tom 24, 1972, Academia RSR, p. 155-164.
  - Metalografie, Ed. Didactică și Pedagogică, 1974.
  - Handbuch der metallographischen Atzverfahren, Springer Verlag, Berlin, 1976.
  - Electronnomicrescopicescos insu-nie Al-Mg splavov, ohlajdenii și razlicinimi acerestiamii et temperaturi geneghenisatti, Fizika metalev i metallovedenie, Izdatelstvo „Nauka“, Moskova, 1978.
  - Metalurgie fizică, Ed. Tehnică, Bucuresti, 1970.
  - STAS 261/2-80 Aliaje de aluminiu turnate în piese.
  - STAS 7501-66 Analiza dilatometrică
  - STAS 4203-74 Luarea și pregătirea probelor metalografice.

69. \*\*\*
- STAS 10013-75 Metoda pentru determinarea mărimii de grăunțs.
70. \*\*\*
- STAS 1400-75 Încercarea de încovoiere prin șec pe epruvete cu creștere în U.
71. DUMITRU, B.G., ș.a.
- Introducere în spectroscopia experimentală, Ed. Tehnică, București, 1966.
72. BCURGETTE, D.T., SIMKOVICH.
- Transactions Vacuum metallurgy conference, 1969, American Vacuum Society, New York.
73. DEAN, W.A.
- Effects of Alloying Elements and Impurities of Properties Aluminium, vol. I, Edited by Kent R. Van Horn, 1967.
74. ALKER, K.
- Vakumentagung von Aluminium-Gusslegierungen, Giesserei 61, 1974, Nr. 123, p. 693-696.
75. BAIULESCU, GE., MASCUTIU, T.
- Metode fizice de analiză a urmărilor, Ed. Tehnică, București, 1974.
76. DROUZY, M., ș.a.
- Reziliența și stabilitatea aliajului A-Gle cu siliciu turnat sub presiune, Fonderie, aug. 1967, 258.
77. BARAT, A., ș.a.
- Relații ale limitelor de elasticitate cu sarcina la rupere și alungirea la aliajele de aluminiu de turătoare, Fonderie 259, sept. 1967.
78. PARISIEN, J.
- Epruvate brute turnate în cochile pentru controlul aliajelor ușoare de turătoare, Fonderie 252, febr. 1967.
79. DROUZY, M., ș.a.
- Incluziuni dure nematice în piese le turnate din aliaje ușoare, Fonderie 254, apr. 1967.
80. \*\*\*
- Aliaj de aluminiu cu înaltă rezistență X 149, pentru piese turnate, Modern Casting, 1968, iulie, p. 93-96.
81. DROUZY, M.
- Oxidarea aluminiului și a aliajelor Al-Mg lichide, Revue de Metallurgie, sept. 1970, p. 773-781.
82. NORDBERG, H., ș.a.
- Studiul microfotografic al vitezei de propagare al fisurilor de obrazdă la cîteva aliaje de aluminiu, Revue de Metallurgie, dec. 1969, p. 861-865.
83. GRANDJEAN, P., ș.a.
- Epruvete de referință ISO pentru controlul caracteristicilor mecanice ale aliajelor de aluminiu turnate în cochile, Fonderie 287, febr. 1970, p. 70-74.
84. JACOB, S., ș.a.
- Contribuții la studiul maseletajului aliajelor de aluminiu turnate în nisip, Fonderie 296, dec. 1970, p. 393-406.

85. MATLOCK,Z.,ș.a.
86. TIMOFEEV,G.I.,ș.a.
87. KAVICKA,F.,ș.a.
88. CLEGG,A.J.
89. SULAVSKII,A.
90. DANIILIN,B.S.,MINAICHEV,V.E.
- Unele rezultate ale funcționării statiei de vid de tipul IH, Hutni Listy,R.S.C.,Nr.11,nov.1974. P.7
  - Oxidarea aliajelor de aluminiu în mantinere și turnare,Litaiene și isvedastve,Nr.9,1975,p.18-19.
  - Calculul analogic al termocineticii cristalizării aluminiului,Slovar stvi 23,Nr.1,1975,p.6-9.
  - Punerea la punct a unei instalații de încercare pentru procedeul de turnare sub vid,Foundry Trade Journal,142,Nr.3108,mart.1977,p.662-670.
  - Cîteva probleme de proiectare a instalațiilor cu vid înaintat,Fin-Mechanica,Nr.11,nov.1969.
  - Bazele proiectării sistemelor de vid,Energhia,Moscova,1972.

## C U P R I N S

<b>Partea I-A - ASPECTE GENERALE</b>	
<b>Cap.I. INTRODUCERE .....</b>	<b>1</b>
1.1. Generalități .....	
1.2. Evoluția tehnologiilor de elaborare-turnare bazate pe utilizarea vidului .....	4
1.3. Scopul lucrării .....	6
1.4. Optimiștarea asupra aliajului cercetat .....	7
1.5. Prezentarea lucrării .....	10
<b>Cap.II. FUNDAMENTARI TEORATICE .....</b>	<b>12</b>
2.1. Diagrama de echilibru a sistemului binar Al-Mg .....	12
2.2. Aliaje de aluminiu-magneziu-turnate .....	15
2.3. Cinetică degazării în vid .....	17
2.4. Modificarea structurii aliajelor aluminiu- magneziu turnate .....	22
2.5. Conditionarea termică în stare solidă a aliajului AlMg10 .....	26
<b>Partea II-a - TEHNOLOGII DE LUCRU.</b>	
<b>EXPERIMENTARI, ANALIZE, INCERCARI ..</b>	<b>29</b>
<b>Cap.III. TEHNOLOGIA DE ELABORARE-TURNARE             DE LABORATOR .....</b>	<b>29</b>
3.1. Elaborarea aliajului cercetat, în atmosferă .....	29
3.1.1. Compoziția chimică standard a aliajului .....	32
3.1.2. Materii prime și materiale tehnologice Calculul împărăturii .....	32
3.1.3. Elaborarea aliajelor intermediare binare .....	37
3.1.4. Ciclul de elaborare a aliajului AlMg10, în atmosferă .....	39
3.2. Elaborarea aliajului cercetat, în vid .....	41
<b>Cap.IV. TEHNOLOGIA DE TRATAMENT TERMIC             UTILAJE DE LABORATOR .....</b>	<b>45</b>
<b>Cap.V. VARIANTE EXPERIMENTALE .....</b>	<b>47</b>
5.1. Variante de compozitie chimică .....	47

5.2. Variante de elemente modificatoare .....	43
5.3. Variante ale vitezelor de reacție la turnare în forme metalice .....	43
5.4. Variante ale nivelului de vid în cursul elaborării oliajului .....	49
5.5. Variante ale prelucrării termice în stare solidă .....	49
<b>Cap.VI. TIPOURI DE EPRUVATE SĂ SJU-ARI UTILI- ZATE ÎN ELABORAREA ..... 51</b>	
6.1. Formă metalică pentru epruvete de încercări meccanice .....	51
6.2. Formă metalică în trepte .....	51
6.3. Formă metalică pentru determinarea etanșoabilității .....	52
6.4. Formă metalică pentru determinarea fisur- abilității la cald .....	53
<b>Cap.VII. Echipamentele laboratoriale de laborator .....</b>	<b>54</b>
7.1. Principii de realizare a instalației de elaborare-termică în vid .....	54
7.2. Prezentarea instalației de elaborare- turnare în vid, de laborator .....	55
7.3. Parametrii de lucru .....	56
<b>Cap.VIII. ANALIZE FIZICO-CHEMICE .....</b>	<b>57</b>
8.1. Analiza chimică a oliajului studiat .....	57
8.1.1. Rezultatele varianteelor experimentale .....	57
8.2. Analiza roctoare-structurală pe difracțometru de gaze I .....	62
8.3. Determinarea conținutului rezistent de hidrogen în oliajul MIGKO .....	67
8.4. Determinarea punctelor de transformare prin dilatometrie .....	72
<b>Cap.IX. INCARCARI MECANICE .....</b>	<b>76</b>
9.1. Determinarea caracteristicilor mecanice .....	76
<b>Cap.X. ANALIZE STRUCTURALE .....</b>	<b>81</b>
10.1. Prelucrarea și prezentarea probelor metalo- grafice .....	81
10.2. Determinarea macrostructurii și mărimi de grămezi .....	83
10.3. Determinarea mică ostructurii, formă și constituenți .....	89

<b>Cap.XI. INSTRUMENTI DE INVESTIGARE .....</b>	<b>112</b>
11.1. Determinarea vitezei de răcire .....	112
11.2. Determinarea tendinței de fierbere la cald, în contractie frântă .....	114
11.3. Determinarea constriucției liniare și a contractiei de volum .....	116
11.4. Determinarea elasticității la gaze .....	117
11.5. Defecte de turcare .....	119
<b>Partea III-a. PRELUCRAREA SI INTERPRETAREA</b>	
<b>REZULTATELOR EXPERIMENTALE .....</b>	<b>125</b>
<b>Cap.XII. CORRELATII INTRACONSTITUENTI-STRUCTURA .....</b>	<b>125</b>
12.1. Relația proprietăți mecanice-nivel de vid ...	125
12.2. Relația proprietăți mecanice-condiții mase termice- nivel de vid .....	129
12.3. Relația proprietăți mecanice-structură .....	137
12.4. Relația compozitie chimică-structură-nivel de vid .....	140
12.5. Relația parametrii tehnologici-structură ...	145
12.6. Relația parametrii de lucru-proprietăți- structură .....	150
<b>Cap.XIII. PRELUCRAREA DATELOR EXPERIMENTALE</b>	
<b>PRIN PROGRAM DE CALCUL .....</b>	<b>158</b>
<b>Partea IV-a. CONTRIBUȚII LA APLICAȚIA ÎN PRACTICĂ</b>	
<b>A CERCETARILOR REALIZATE ÎN LUCEA .....</b>	<b>156</b>
<b>Cap.XIV. OPTIMIZAREA CERCETARILOR .....</b>	<b>166</b>
<b>Cap.XV. PREZINTAREA INSTALAȚIEI DE DEGAZARE</b>	
<b>II. VID PENTRU PRODUCTE .....</b>	<b>169</b>
<b>Cap.XVI. ASPECTE TEHNICO-ECONOMICE .....</b>	<b>174</b>
16.1. Tehnologia de elaborare și turcare a aliajului AlMg10 .....	174
16.2. Tehnologia de tratament termic a pieselor turcate din aliajul AlMg10.....	176
16.3. Indicatori tehnico-economici .....	177
16.4. Concluzii generale și probleme de viitor ....	180
<b>BIBLIOGRAFIE</b>	
<b>CURSUS</b>	

**MINISTERUL EDUCAȚIEI ȘI ÎNVĂȚAMINȚULUI  
INSTITUTUL POLITEHNIC „TRAIAN VULP” TIMIȘOARA  
FACULTATEA DE MECANICA**

**-ANEXE -**

**Ing.Vlădoi Mircea**

**TEZA DE DOCTORAT  
Cercetări privind modificarea structurii  
aliajului de aluminiu - magneziu AlMg10,  
elaborat și turnat în vid.  
- Anexe -**

**Conducător științific  
Prof.Dr.ing. TRUSCUMĂCU MARIN**

**Annex Mr.I**

- **Tabelul 2.2.**
- **Tabelul 2.3.**
- **Tabelul 2.4.**
- **Figura 2.3.**
- **Figura 2.5.**

> = crește ; < = scade ; 0 = influență născătoare sau nula

Efectuări	Influență elementelor de lume și uipamentele turistică									
	Recreație	La trivale	La turisme	În urgență	În caza de urgență	În călătorie	În sănătatea	În caza de sănătate	În caza de urgență medicală	În caza de urgență socială
Necesitări	0	0	0	0	0	0	0	0	0	0
Recreație	<	0	0	0	0	0	0	0	0	0
La trivale	0	<	0	0	0	0	0	0	0	0
În urgență	0	0	<	0	0	0	0	0	0	0
În caza de urgență	0	0	0	<	0	0	0	0	0	0
În călătorie	0	0	0	0	<	0	0	0	0	0
În sănătatea	0	0	0	0	0	<	0	0	0	0
În caza de sănătate	0	0	0	0	0	0	<	0	0	0
În caza de urgență medicală	0	0	0	0	0	0	0	<	0	0
În caza de urgență socială	0	0	0	0	0	0	0	0	<	0

Tabloul Nr.2.2  
Influența elementelor de lume și uipamentele turistică  
pe caracteristica turistică a unui aeroport

**Compoziția chimică a aliajelor Mungo, de tehnologie**

Număr de însemnat	Număr de standarde	Nr.	Tg.	Compoziție chimică (%)				Al.	Tg.
				max.	med.	min.	max.		
L - 8	C35F 2635-63	9,5 -	max.	0,30	0,20	0,20	0,20	-	rest
AG - 10	PW 6301-3027	9,5 -	max.	0,30	0,20	0,20	0,20	rest	rest
IN - 10	3.3. 1450	9,5 -	max.	0,10	0,25	0,10	0,25	rest	Anglia
A - 6.11	UNI 1725/2	9,5 -	max.	0,30	0,30	0,05	0,30	0,10	rest
A - 6.10	NPA 57-702	9,5 -	max.	0,30	0,20	0,20	0,20	rest	rest
306	UNI/AT	9,5 -	max.	0,30	0,25	0,25	0,25	rest	Franta
B - XIV	UNIC 4/3	9,2 -	max.	0,10	0,10	0,10	0,10	rest	rest
220	Alloy A51 B.25	9,5 -	max.	0,25	0,25	0,25	0,25	rest	rest
M. 10.16	1.3.0.	9,5 -	max.	0,10	0,25	0,10	0,25	0,12 -	rest
SC 100/A	STAS 201/2-70	9,5 -	0,20 -	0,50	0,50	0,10	0,50	0,05 -	rest

XII STAS 201/2 - 30 - nu mai apare mica - SC 210.

Tabelul Nr.2.4

**Caracteristile fizico-mecanice ale turitelor  
din lemn doar la mijloc**

Nume de lajuliu	standar dul	R <sub>m</sub> kN/mm <sup>2</sup>	R <sub>pJ,2</sub> kN/mm <sup>2</sup>	Caracteristica AS m/2,00	L m/2,00	d mm	$\beta_{20^{\circ}}$ $\mu\Omega\text{cm}^2$	$\lambda_{20^{\circ}}$ $\mu\Omega\text{cm}^2$	$\alpha_{\text{fria}}$ gr/m <sup>2</sup>	Fara
N. 8	C.31-2635-63	29,5	16,5	12	22	-	2,60	0,12	0,21	$1 \cdot 10^6$
N.10	PN 62/11-83/027	23,5	15,0	6	75	75,6	2,57	0,5-	0,22	24,0
N.10	B.3.2430	20,5 - PN.5	15,17	3-12	95	-	2,57	0,2	-	Polonia
Arc 12	PNII	25	-	15-20	3-20	6,76	2,62	0,5-	0,21	Anglia
PNII/10	PNII-57-702	27,5	-	16,0	6	75	-	0,0	-	It. E.G.
Arc 20	PNII	23,5	16,0	8	75	-	2,62	0,22	-	34,5
PN6	PNII:2	23,5	16,0	8	75	-	2,60	0,18	0,23	Stata
B.III	V.1036.1/VB	27,5	16,0	10	50	51,0	2,54	0,22	0,23	Italia
220 Altev	PNI.3.26	33,5	19,0	16	75	65,0	2,57	0,21	0,21	Italia
A1.10.12	1.3.0.	20,5	17,0	8	75	61,0	2,57	0,20	0,20	Italia
ATC/10/17	PNII	20	10	6	75	-	-	-	-	România
	203/2 - 71									

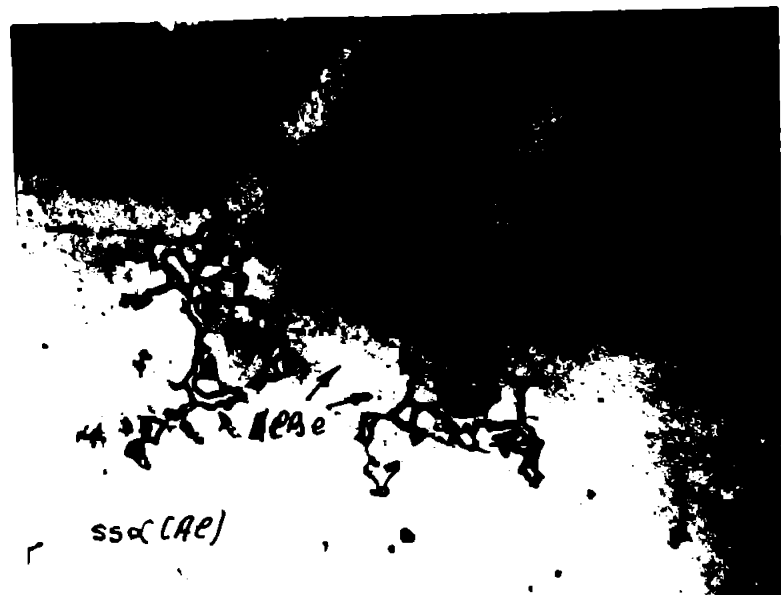
\* La PN6 201/2 = 80, nu sunt date date de la PN6.



$\text{ss}\alpha + \beta (\text{Al}_3\text{Mg}_2) + \text{Al}_3\text{Ti}$   
HF 1 %  $\times 200$



$\text{ss}\alpha - \text{b} - \beta (\text{Al}_3\text{Mg}_2)$   
soluție complexă R3  $\times 200$



ssα(Al)

$\text{ss}\alpha + \text{Al}3\text{Mg}2 + \beta (\text{Al}_3\text{Mg}_2)$   
HF 1 %  $\times 500$



$\text{ss}\alpha (\text{Al}) + \text{Al}_3\text{Mg}2 + \beta (\text{Al}_3\text{Mg}_2)$   
HF 1 %  $\times 200$

Fig. 2.3  
Microstrucatura compusilor din aliajul  
 $\text{AlMgSi}$

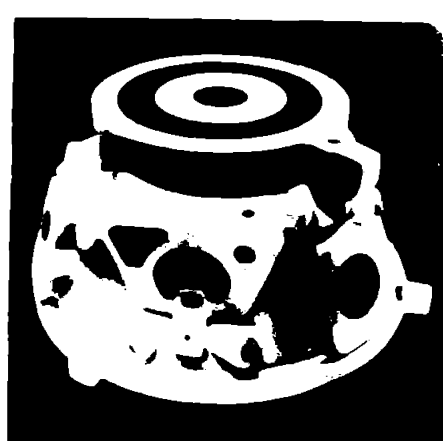
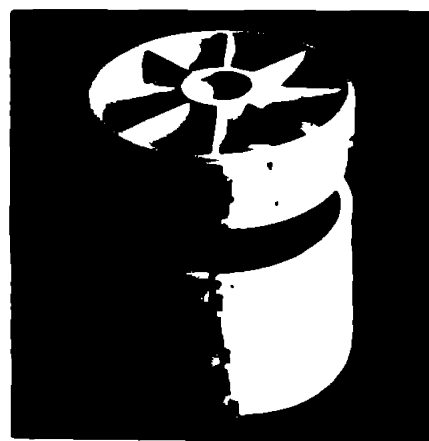
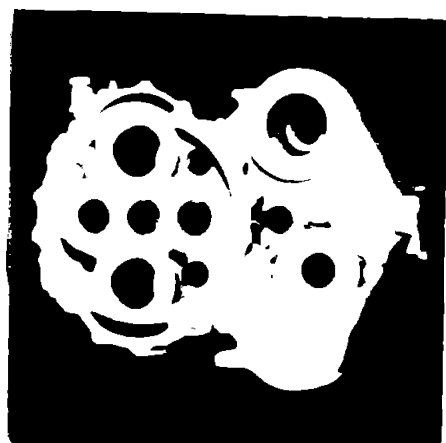


Fig. 2.5  
Piece turned in light

**Anotații Fig. II**

- Figura 6.1.
- Figura 7.1.
- Figura 7.2.
- Figura 7.3.
- Figura 7.4.
- Figura 7.5.
- Figura 7.6.
- Figura 7.7.
- Reproducere foto a instalației de laborator.

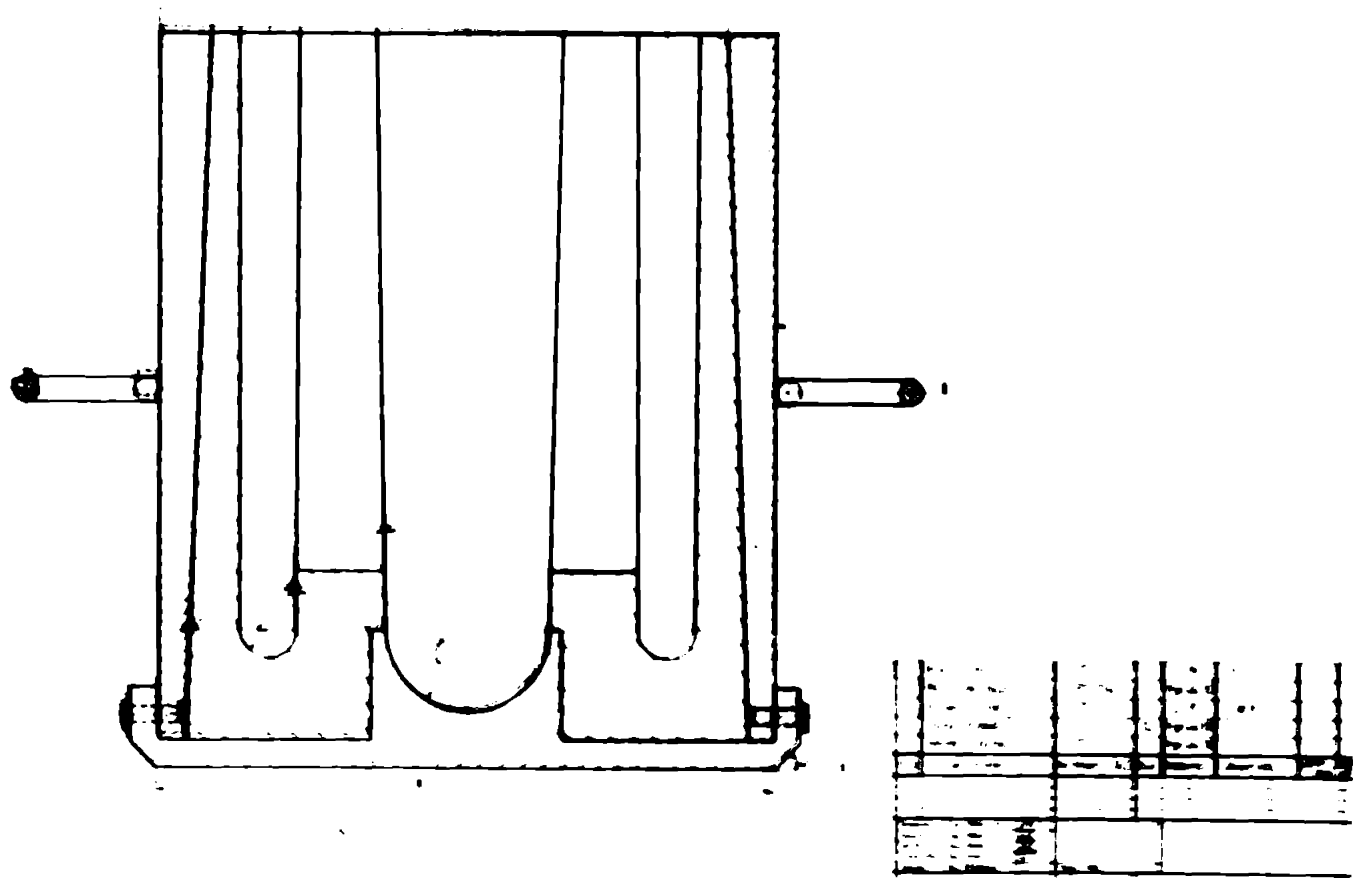
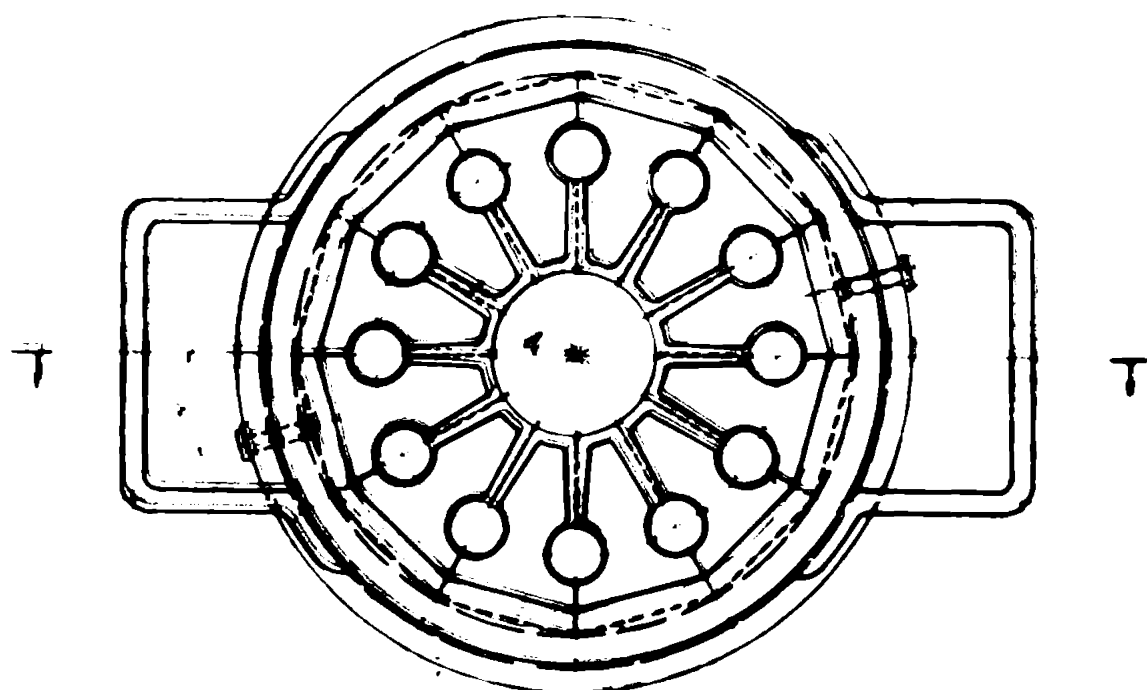


Fig.6.1  
Cochilă specială pentru probe de  
tracțiune, turnată în via

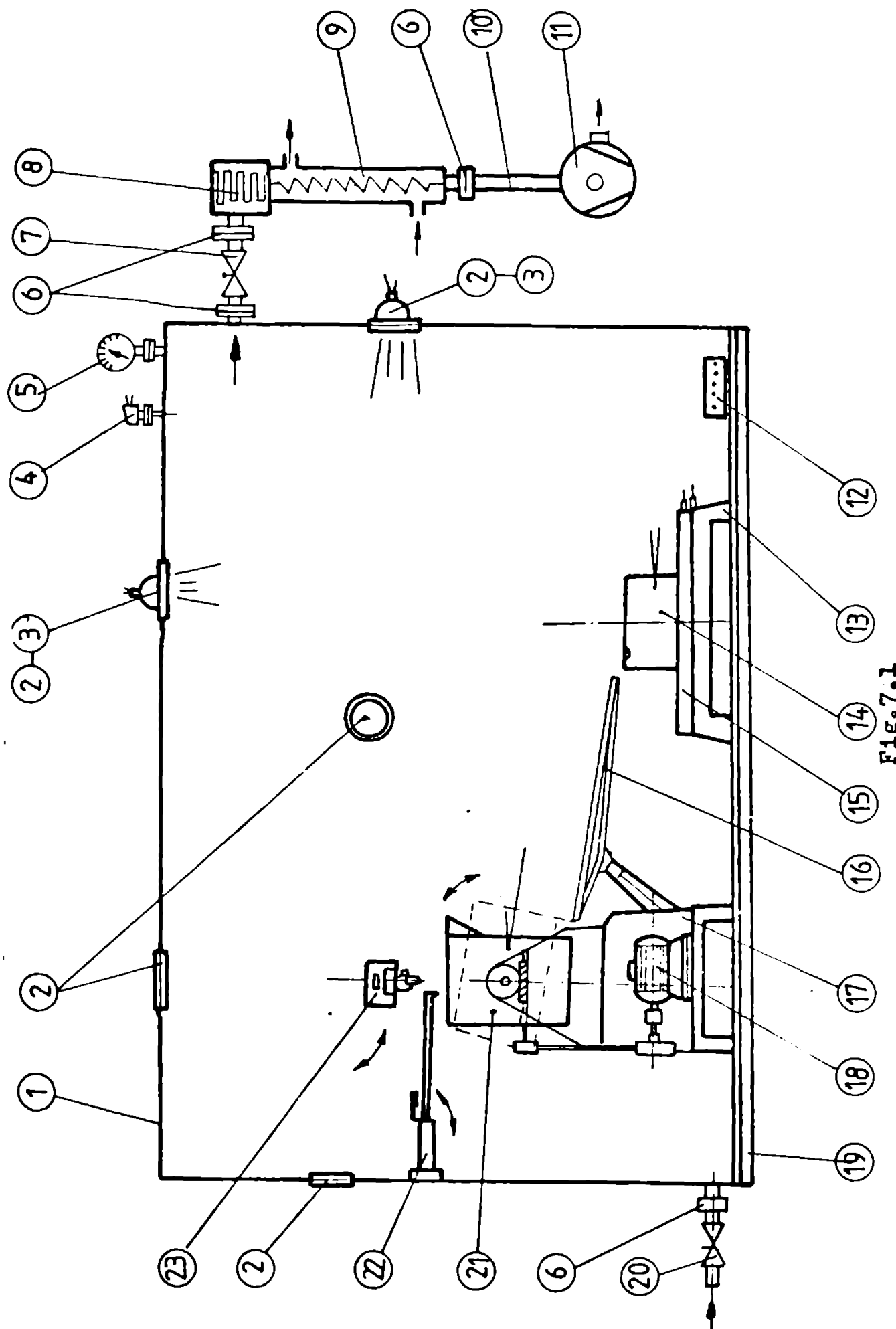


Fig. 7.1

Schema de principiu a instalației de elaboreare în vid, de laborator  
 1-carcasă; 2-vizor; 3-luminiator; 4-termorezistor pt.100; 5-manometru; 6-jojă cuplare; 7-robinet vidar; 8-filtru;  
 9-răcitor gaze; 10-furtun; 11-pompă vid; 12-priză multiplă; 13-suport dispozitiv înalțare coșile; 14-coșile;  
 15-dispozitiv înalțare coșile; 16-jgheab reglabil; 17-suport suptor; 18-mecanism basculare suptor; 19-placă ba-  
 ză; 20-robinet devideare; 21-suptor; 22-dispozitiv testare temperaturi aliaj; 23-robinet

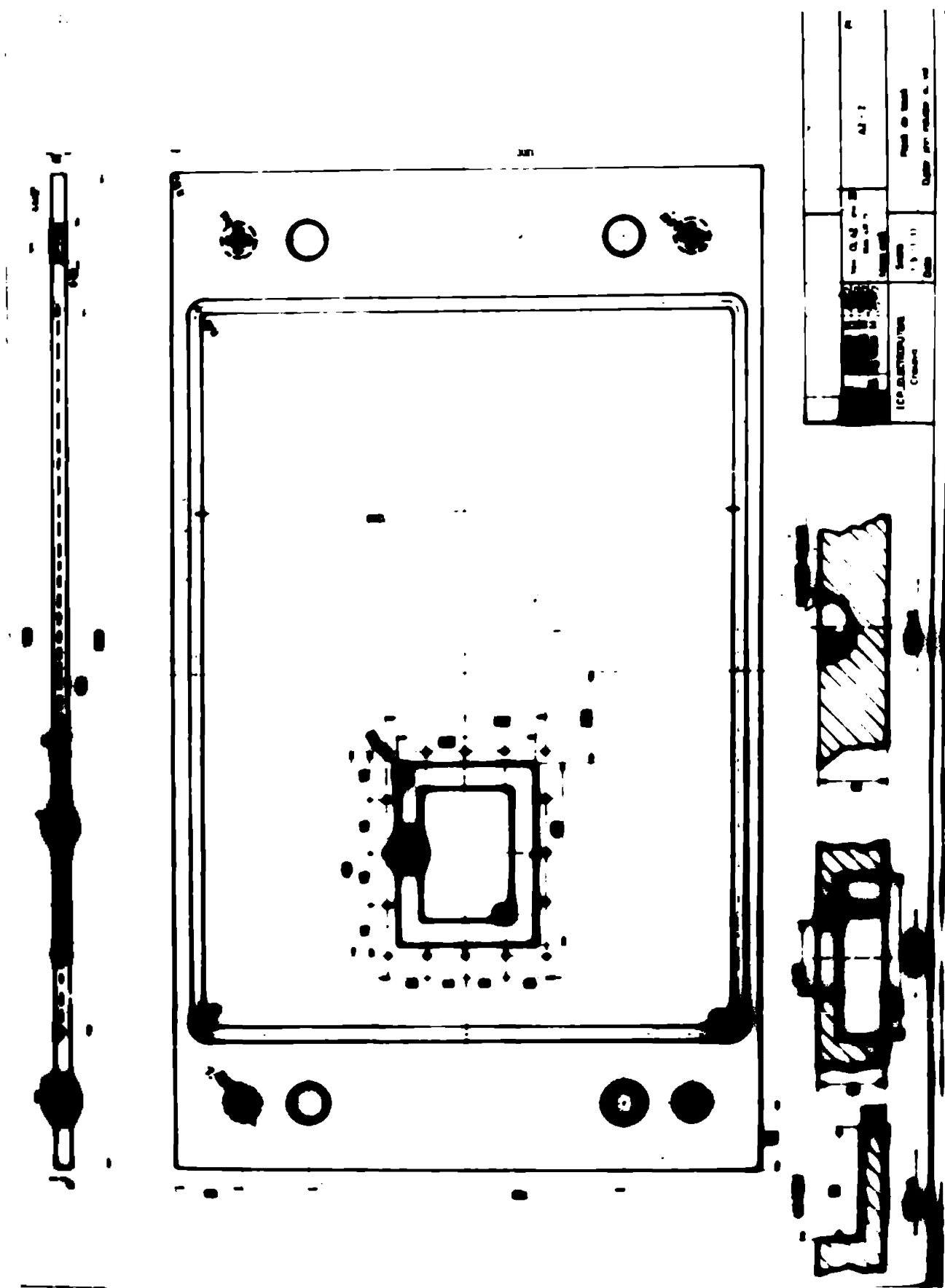


Fig. 7.2  
Placa de bază - instalație de 1 kvarter

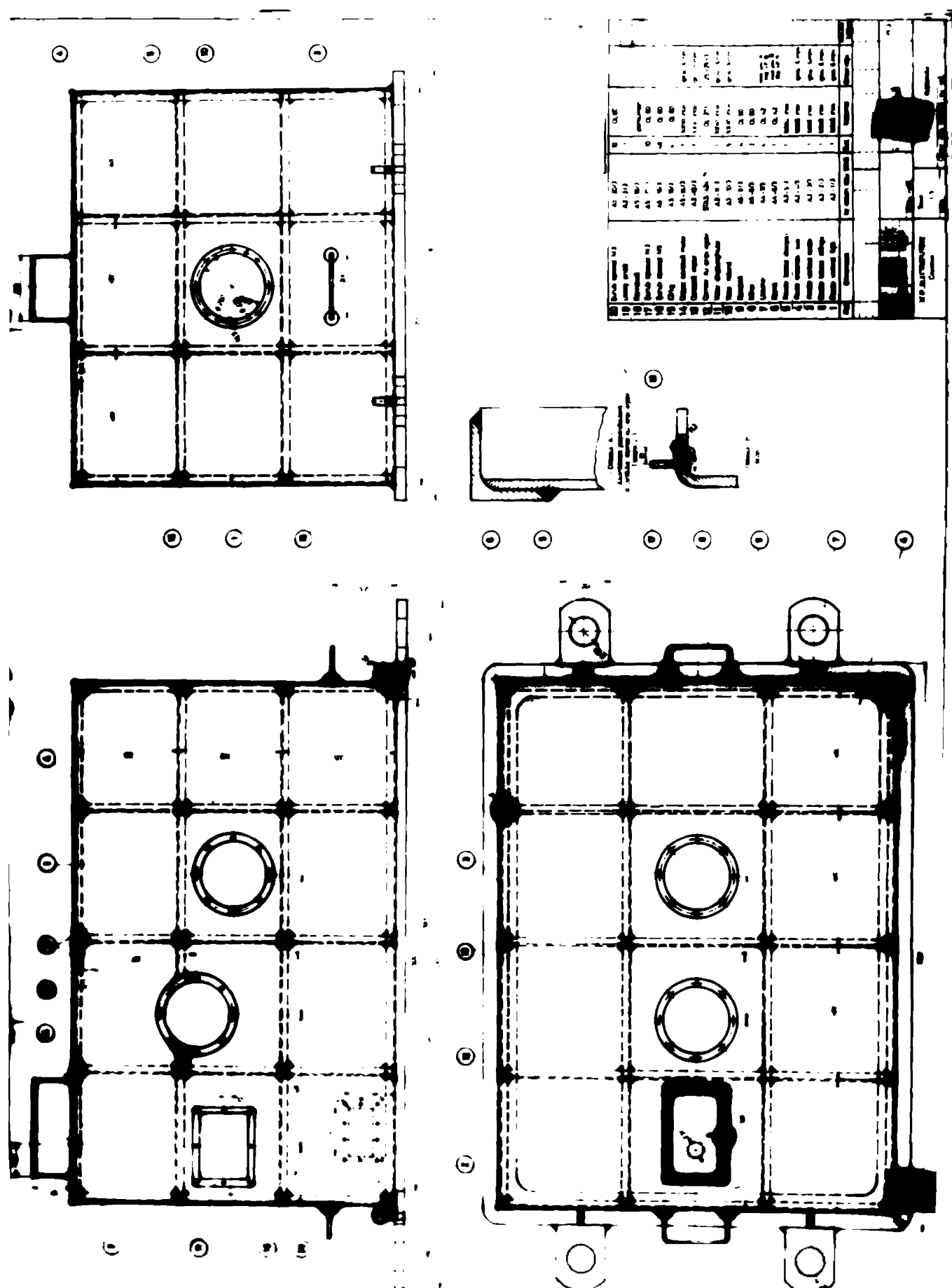


Fig. 7.2  
Control circuit panel

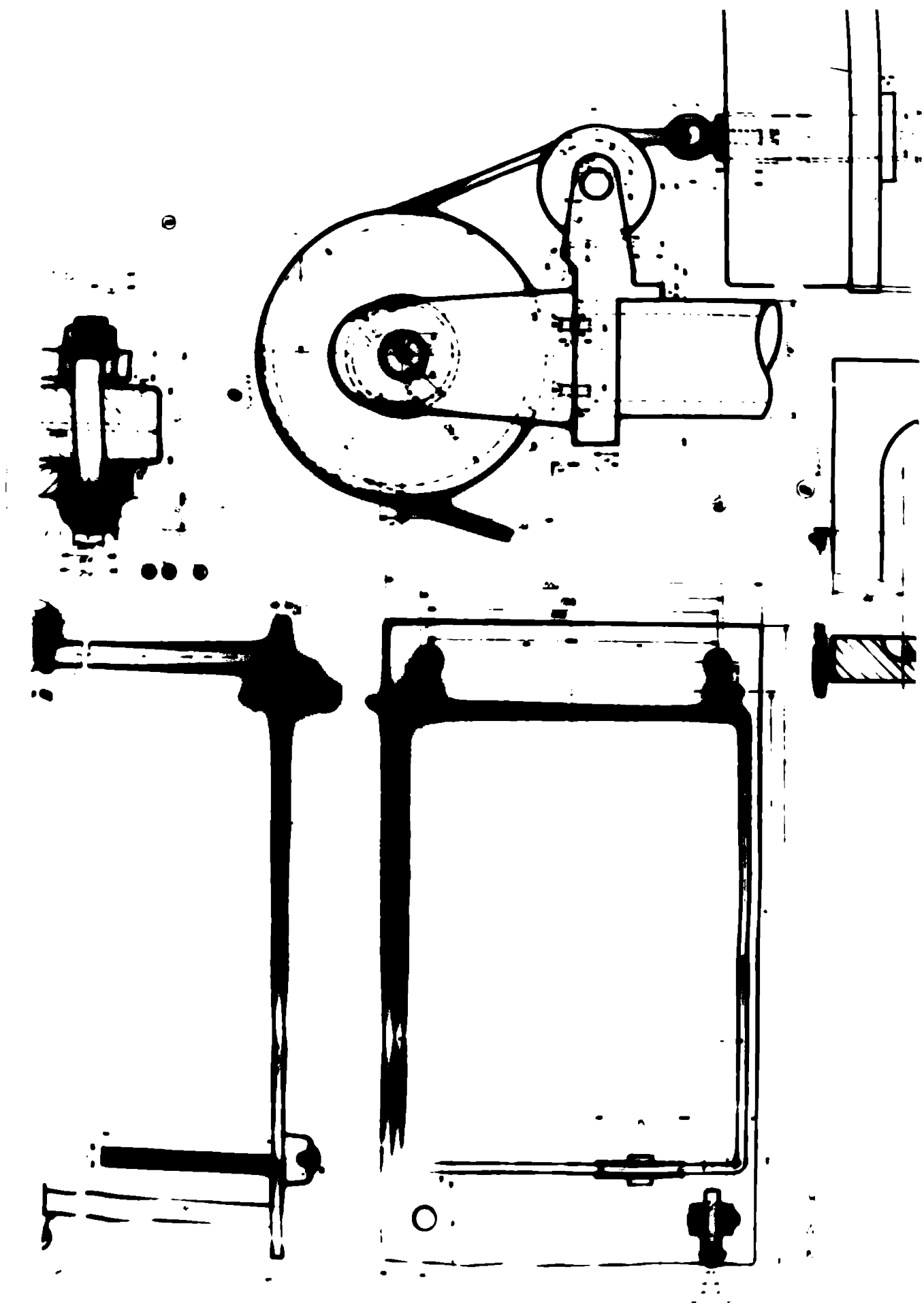
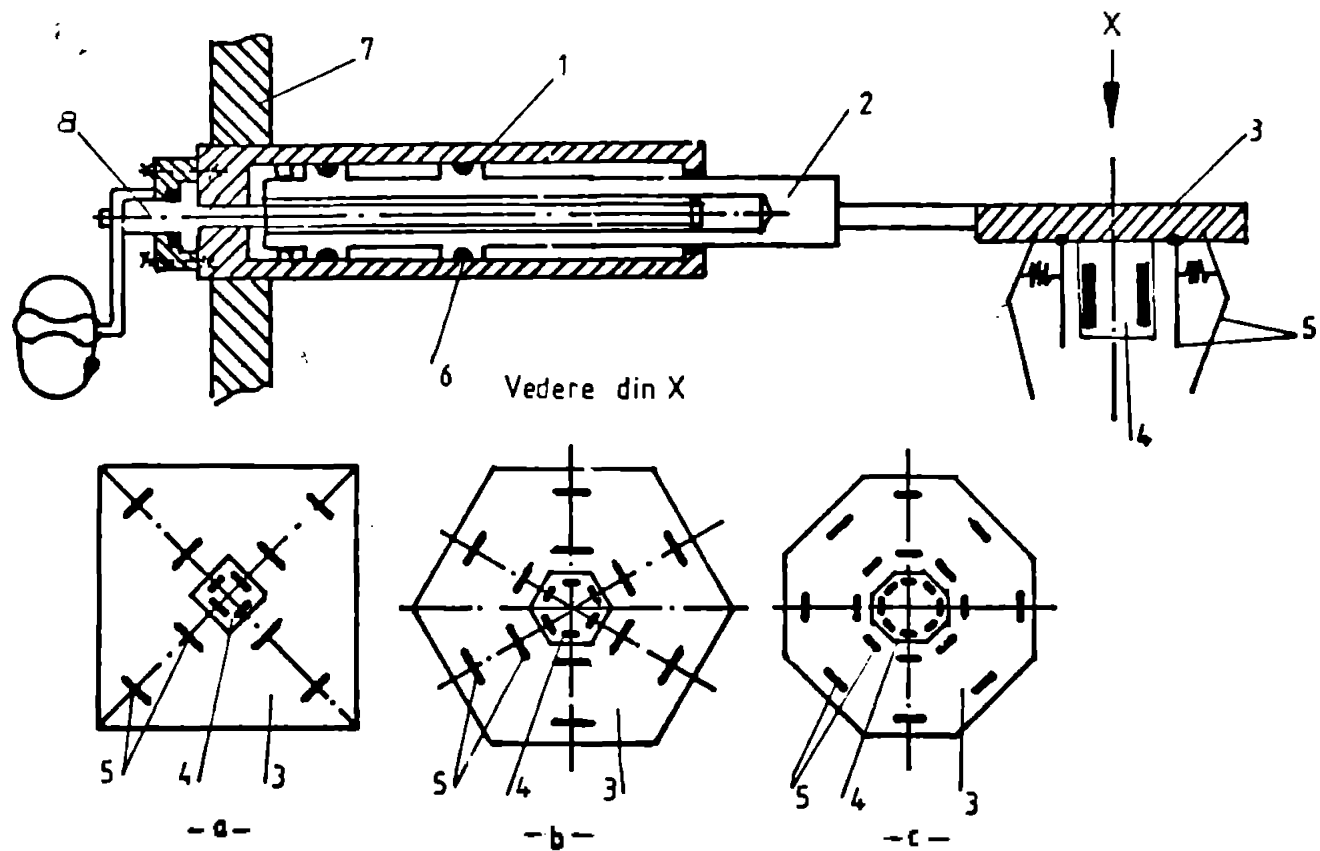
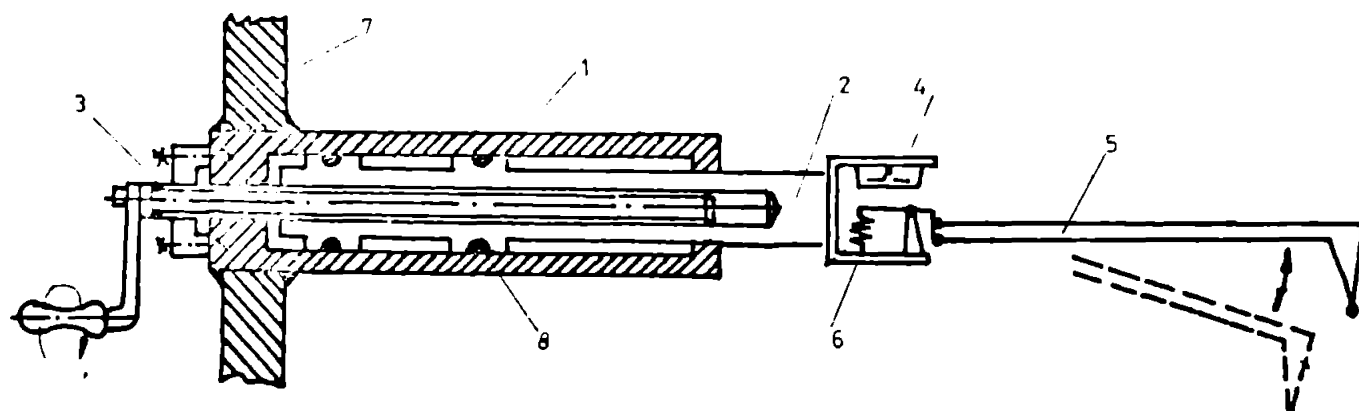


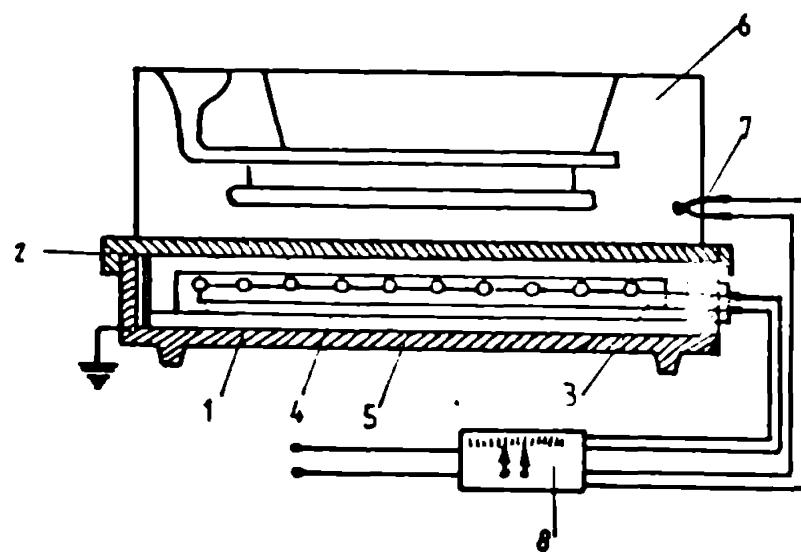
Fig.7.4  
Mecanismul de ridicare



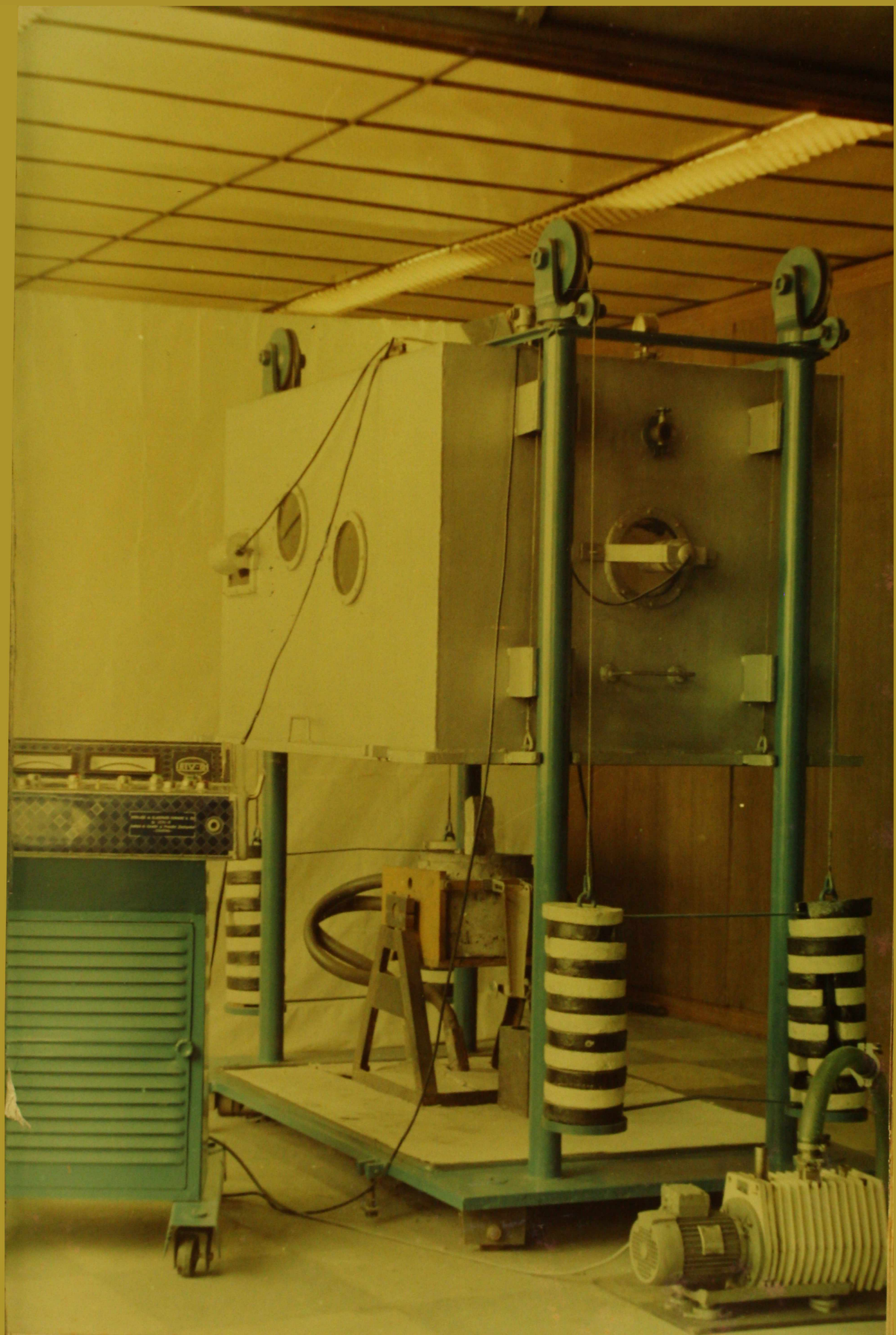
**Fig. 7.5. Dispozitivul teleco endut de adâncuri. 1-carcasa din plasticulului; 2-brat teleco end; 3-urub suport; 4-electromagnet multiplu; 5-cleste; 6-sil ering etanjare; 7-curea di suport; 8-gubă de acționare**

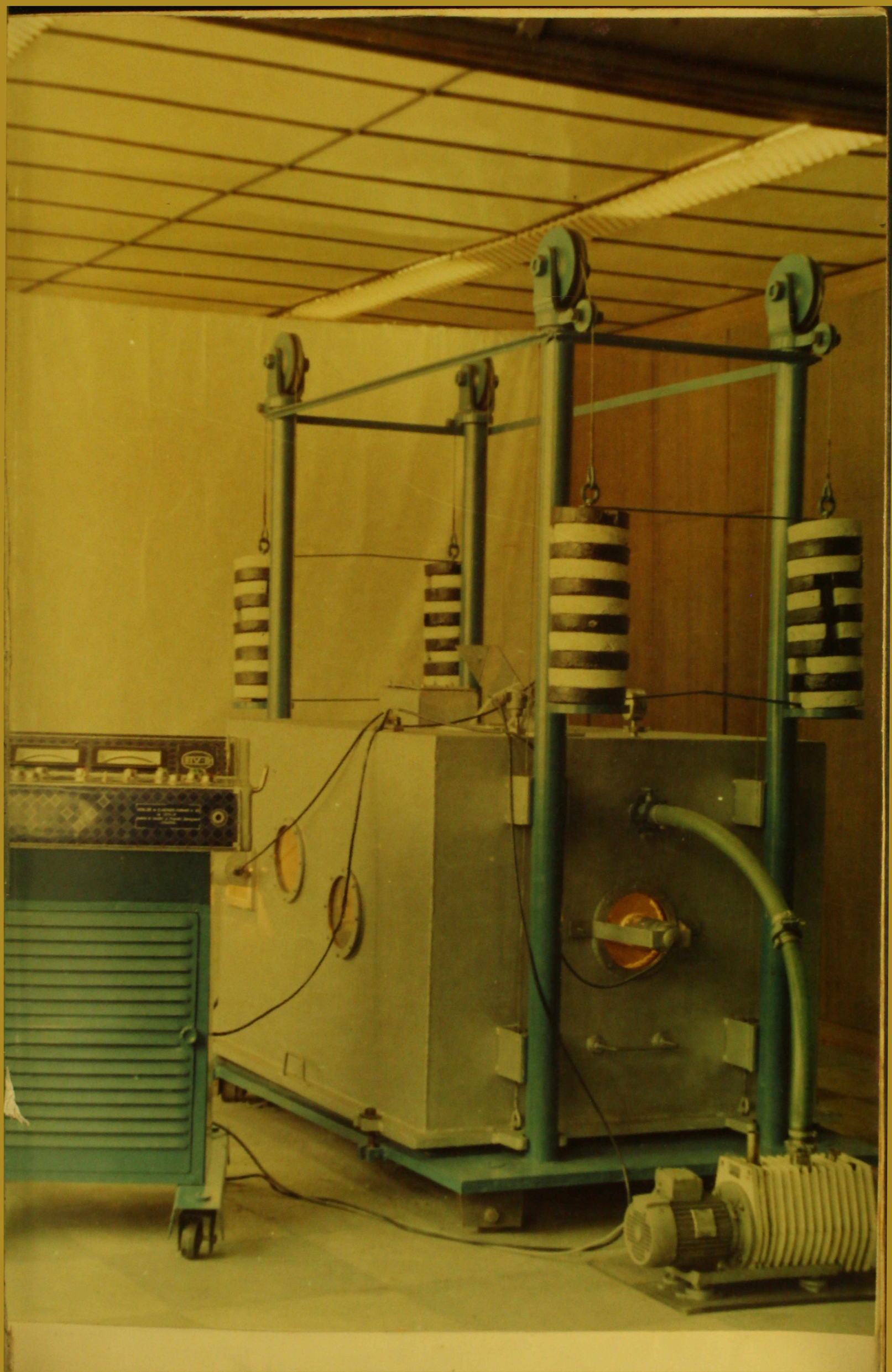


**Fig. 7.6. Dispozitivul de tăiat și a tinereturii magnetului. 1-carcasa dispozitivului; 2-brat teleco end; 3-urub do scăi bare; 4-electromagnet; 5-torș cuplu; 6-resort; 7-carcasa suportului; 8-sil ering etanjare**



**Fig. 7.7. Dispozitivul de pre-tensiune. 1-carcasa; 2-șec; 3-urub refre- tură; 4-re distanță de in- cileire; 5-acest; 6-formă de tăiere; 7-torș cuplu.**





### **Adunătă III**

- Tabloul 8.4.**
- Tabloul 8.5.**
- Difracțogramile probelor 090-145**
- Figura 8.3.**
- Figura 8.4.**
- Figura 8.5.**
- Figura 8.6.**

.

Tabelul Nr. 3.4

Analiza chimică,  
Rezultate experimentale, - Seria IV

Nr de vîrstă	PNA sp. team	PNA sp. team	Vîrstă	PNA sp. team	Vîrstă	PNA sp. team	Vîrstă	PNA sp. team	Vîrstă	PNA sp. team	Vîrstă	PNA sp. team	Vîrstă
$\gamma_1$	C <sub>2</sub> H <sub>2</sub>	380	9,72			9,68	C <sub>2</sub> H <sub>2</sub>	20	9,65			9,49	
			9,55			9,71			9,75			9,52	
			9,63			9,70			9,72			9,51	
			9,71	Valoare medie		9,72			9,30	Valoare medie		9,54	
			9,71	Rândament asimilare,		97,20			9,42	Rândament asimilare,		95,40	
			9,66	C <sub>2</sub> H <sub>2</sub>	2	9,72			9,77	C <sub>2</sub> H <sub>2</sub>	10	6,25	
			9,72			9,75			9,32			5,84	
			9,70			9,59			9,76			5,66	
			9,675	Valoare medie		9,61	Valoare medie		9,70			6,02	
			96,75	Rândament asimilare		97,77	Rândament asimilare					6,35	
$\gamma_2$	C <sub>2</sub> H <sub>2</sub>	190	9,75			9,73	C <sub>2</sub> H <sub>2</sub>	10	9,35			5,35	
			9,67			9,72			9,92			5,33	
			9,72			9,74			9,77			6,14	
			9,66	Valoare medie		9,74			9,75	Valoare medie		5,97	
			9,69	Rândament asimilare		97,40			9,50	Rândament asimilare		9,70	
			9,73	C <sub>2</sub> H <sub>2</sub>	35	9,68			9,90	C <sub>2</sub> H <sub>2</sub>	30,10	3,52	
			9,70			9,75			9,95			3,71	
			9,72			9,75			9,87			3,65	
			9,70	Valoare medie		9,56	Valoare medie		9,56			4,02	
			97,00	Rândament asimilare		97,77	Rândament asimilare					3,56	
$\gamma_3$	C <sub>2</sub> H <sub>2</sub>	100	9,67			9,73	C <sub>2</sub> H <sub>2</sub>	5	9,62			3,92	
			9,75			9,60			9,55			3,71	
			9,51			9,75			9,51			3,63	
			9,72	Valoare medie		9,77			9,43	Valoare medie		3,76	
			9,74	Rândament asimilare		97,70			9,56	Rândament asimilare		37,00	

Tabelul nr.8.5  
Parametrii rețelei cristaline determinați  
prin difractometrie

Nr. nr.	$\theta_{hkl}$	$d_{hkl}$	(hkl)					$\beta'$
			SSC	$Mg_2Si$	$Al_3Si_2$	$Al_2Ti$	$Al_3Zr$	
0	1	2	3	4	5	5	7	8
Proba 090								
1	$5^{\circ}45'$	2,330	(111)		(300)	(113)	(114)	
						(202)		
2	$9^{\circ}10'$	2,228		(220)	(12.2.0)			
3	$10^{\circ}$	2,040	(200)				(200)	
4	$11^{\circ}15'$	1,819					(204)	
5	$12^{\circ}25'$	1,651	(111)					(212)
								(004)
6	$12^{\circ}40'$	1,618		(400)				(212)
								(004)
7	$15^{\circ}45'$	1,493			(15.9.5)			
8	$14^{\circ}05'$	1,458	(022)		(18.6.2)			
9	$24^{\circ}50'$	1,386						(300)
10	$16^{\circ}20'$	1,262				(206)		
						(331)		
11	$26^{\circ}50'$	1,225	(311)					(200)
12	$17^{\circ}30'$	1,180	(222)					
13	$19^{\circ}40'$	1,054						(400)
14	$20^{\circ}25'$	1,027	(400)					
15	$22^{\circ}15'$	0,937	(311)					
Proba 091								
1	$8^{\circ}40'$	2,330	(111)		(300)	(113)	(114)	
						(202)		
2	$9^{\circ}05'$	2,240		(220)	(12.2.0)			
3	$9^{\circ}55'$	2,060	(200)				(200)	
4	$10^{\circ}25'$	1,963		(311)		(220)		
5	$11^{\circ}25'$	1,793					(211)	
6	$12^{\circ}40'$	1,618					(215) (212)	
								(004)
7	$13^{\circ}50'$	1,424			(15.9.5)		(208)	
8	$14^{\circ}15'$	1,442	(022)					
9	$14^{\circ}50'$	1,386						(300)

Continuatie tabel nr.3.5

0	1	2	3	4	5	6	7	8
10	$15^{\circ}30'$	1,328						(310)
11	$16^{\circ}15'$	1,268				(206)		
						(331)		
12	$16^{\circ}40'$	1,237	(311)					
13	$17^{\circ}25'$	1,186	(222)					
14	$18^{\circ}40'$	1,109					(320)	
15	$20^{\circ}15'$	1,029	(400)					
16	$20^{\circ}30'$	1,013	(400)					
17	$22^{\circ}20'$	0,934	(311)					

Proba 092

1	$8^{\circ}40'$	2,350	(111)		(880)	(113)(202)	(114)	
2	$9^{\circ}20'$	2,189		(220)	(12.2.0)			(008)
3	$10^{\circ}$	2,044	(200)					
4	$11^{\circ}10'$	1,830					(204)	
5	$12^{\circ}35'$	1,629						(212)(004)
6	$13^{\circ}50'$	1,484			(15.9.5)			
7	$14^{\circ}10'$	1,450	(022)		(18.6.2)			
8	$14^{\circ}45'$	1,394						(300)
9	$15^{\circ}25'$	1,335						(310)
10	$16^{\circ}15'$	1,268				(204)(331)		
11	$16^{\circ}40'$	1,237	(311)					
12	$17^{\circ}40'$	1,169	(222)			(117)(442)		
13	$19^{\circ}30'$	1,060						(400)
14	$20^{\circ}10'$	1,029	(400)					
15	$22^{\circ}$	0,937	(311)					

Proba 093

1	$8^{\circ}40'$	2,350	(111)		(880)	(113)(202)	(114)	
2	$9^{\circ}20'$	2,180		(220)	(12.2.0)			(008)
3	$10^{\circ}$	2,040	(200)					(200)
4	$10^{\circ}40'$	1,917		(311)		(220)		
5	$11^{\circ}30'$	1,730						(211)
6	$12^{\circ}25'$	1,651						(212)(004)
7	$13^{\circ}45'$	1,493			(15.9.5)			
8	$14^{\circ}10'$	1,450	(022)		(006)(224)			
9	$14^{\circ}45'$	1,394						(300)
10	$15^{\circ}30'$	1,328						(310)

Continuation tabel nr.3.5

1	2	3	4	5	6	7	8
11	16°15'	1,263			(206)(331)		
12	16°35'	1,243	(311)				
13	17°20'	1,191	(222)				
14	20°15'	1,025	(400)				
15	22°05'	0,944	(331)				
Proba 094							
1	8°35'	2,370	(111)	(880) (113)(202)	(114)		
2	9°25'	2,160		(220) (991)		(003)	
3	10°	2,040	(200)			(200)	
4	11°30'	1,940		(311)	(220)		
5	11°10'	1,830				(204)	
6	11°50'	1,730				(100)(001)	
7	12°35'	1,629					(212)(004)
8	13°20'	1,530		(15.5.9)			
9	14°15'	1,440	(022)	(18.6.2)(006)(224)			
10	14°50'	1,380				(300)	
11	15°30'	1,320					(310)
12	16°25'	1,256			(206)(331)		
13	16°50'	1,220	(311)				
14	17°35'	1,175	(222)		(117)(422)	(333)	
15	19°40'	1,054					(400)
16	20°15'	1,025	(400)				
17	22°10'	0,937	(331)				
Proba 095							
1	8°40'	2,350	(111)	(80) (113)(202)	(114)		
2	9°25'	2,160			(004)		
3	10°	2,040	(200)			(200)	
4	11°55'	1,719				(118)(213)	
5	12°30'	1,640					(212)(004)
6	13°	1,578					(215)
7	14°05'	1,458	(022)	(18.6.2)			
8	14°50'	1,386					(300)
9	15°25'	1,335		(422)			(310)
10	16°40'	1,274					(111)
11	16°45'	1,237	(311)				
12	17°25'	1,186	(222)				
13	19°40'	1,054					(400)

Continuare tabel nr. 8.5

0	1	2	3	4	5	6	7	8
14	20°15'	1,025	(400)					
15	22°05'	0,944	(331)					
Probe 096								
1	8°40'	2,350	(111)		(880) (113)(202)			
2	9°15'	2,200		(220)	(12.2.0)			
3	10°	2,044	(200)			(200)		
4	10°55'	1,870				(220)		
5	11°25'	1,793					(211)	
6	12°35'	1,629						(212)(004)
7	13°40'	1,500			(15.9.5)			
8	14°15'	1,440	(022)		(18.6.2)			
9	14°55'	1,379						(300)
10	15°20'	1,342						(320)
11	15°20'	1,262				(206)(331) (300)		
12	16°40'	1,237	(311)					
13	17°30'	1,180	(222)					
14	18°20'	1,128		(620)				
15	19°	1,090					(206)(331)	
15	20°20'	1,020	(400)					
17	22°15'	0,937	(331)					
Probe 097								
1	8°40'	2,350	(111)		(880) (113)(202) (114)			
2	9°05'	2,240		(220)	(12.2.0)			
3	10°	2,040	(200)			(200)		
4	11°20'	1,800				(204)		
5	12°	1,707					(118)(213)	
6	12°40'	1,619						(212)(004)
7	13°20'	1,539			(15.9.9)			
8	14°10'	1,450	(022)					
9	14°20'	1,433			(18.6.2) (006)(224)			
10	14°30'	1,386						(300)
11	15°55'	1,294		(422)				
12	16°15'	1,268				(206)(331)		
13	16°40'	1,237	(311)					
14	17°30'	1,180	(222)			(117)(422) (201)		
15	18°	1,148				(006)(224)		

Continuare tabel nr. 8.5

0	1	2	3	4	5	6	7	8
16	19°40'	1,098						(400)
17	20°20'	1,021	(400)					
18	22°10'	0,940	(311)					

Probă 098

1	5°15'	2,440		(10.4.2)				
2	6°45'	2,350	(111)		(300) (113)(202) (114)			
3	9°20'	2,228		(221)	(12.2.0)			
4	9°30'	2,150			(391) (004)			
5	10°	2,040	(200)				(200)	
6	10°50'	1,868			(220)			
7	11°15'	1,319					(204)	
8	11°40'	1,755			(222)			
9	12°40'	1,598					(212)(004)	
10	13°50'	1,434		(15.9.5)				
11	14°10'	1,450	(022)					
12	14°55'	1,379					(300)	
13	15°20'	1,396			(400)			
14	15°35'	1,321					(311)	
15	15°55'	1,294		(422)				
16	16°20'	1,262			(206)(351)			
17	16°40'	1,237	(311)					
18	17°25'	1,186	(222)					
19	19°45'	1,090					(400)	
20	19°35'	1,042					(400)	
21	20°20'	1,020	(400)					
22	22°10'	0,940	(311)					

Probă 099

1	5°40'	2,350	(111)	(300) (113)(202) (114)				
2	9°20'	2,108		(220) (12.2.0)				
3	10°	2,040	(200)				(200)	
4	10°25'	1,960		(311)		(221)		
5	11°35'	1,767					(211)	
6	12°35'	1,629		(400)			(212)(004)	
7	13°40'	1,502			(15.9.5) (200)			
8	14°20'	1,434	(022)		(13.6.2)(006)(224)			
9	14°55'	1,279					(300)	

Continuare tabel nr. 8.5

0	1	2	3	4	5	6	7	8
10	15°30'	1,325						(320)
11	16°30'	1,249	(311)					
12	17°35'	1,173	(222)				(117)(422) (333)	
13	19°45'	1,050						(400)
14	20°20'	1,021	(400)					
15	22°15'	0,937	(311)					
Proba 200								
1	3°40'	2,350	(111)		(800)	(113)(202)	(114)	
2	9°15'	2,200		(220)	(12.2.0)			
3	10°	2,040	(201)					(200)
4	11°30'	1,780					(211)	
5	12°30'	1,640						(212)(004)
6	13°20'	1,590		(400)				
7	14°15'	1,440	(022)		(18.6.2)	(220)	(220)	
8	14°40'	1,400						(300)
9	14°35'	1,379						(300)
10	15°35'	1,320		(422)				(2.01.0)(310)
11	16°40'	1,237	(311)					(301)
12	17°25'	1,136	(222)					(220)
13	18°05'	1,143					(006)(224)	
14	19°35'	1,059						(400)
15	20°15'	1,025	(400)					
16	22°10'	0,940	(311)					
Proba 201								
1	3°35'	2,370	(111)		(800)	(113)(202)	(224)	
2	9°35'	2,132			(991)	(004)		
3	10°10'	2,010	(200)					
4	10°25'	1,932		(311)		(220)		
5	11°30'	1,700						(211)
6	11°35'	1,767						(211)
7	12°40'	1,618						(212)(004)
8	13°30'	1,434	(022)		(18.9.3)			
9	14°15'	1,442			(18.6.2)	(006)(224)		
10	14°50'	1,306						(300)
11	15°10'	1,274					(206)(331)	
12	16°40'	1,237	(311)					
13	17°25'	1,106	(222)					

Continuare tabel nr.8.5

0	1	2	3	4	5	6	7	8
14	18°30'	1,099					(320)	
15	20°20'	1,021	(400)					
16	22°15'	0,937	(331)					
<u>Probe 102</u>								
1	8°40'	2,350	(111)		(330)	(113)(202)	(114)	
2	9°35'	2,130			(991)			
3	10°	2,040	(200)				(200)	
4	10°35'	1,930		(311)		(220)		
5	11°25'	1,790					(211)	
5	11°55'	1,710					(118)(213)	
7	12°20'	1,660				(204)(311)		
8	12°40'	1,610					(212)(004)	
9	13°55'	1,470				(15.9.4)		
10	14°25'	1,425	(022)			(18.6.2) (006)(224)		
11	14°55'	1,379					(300)	
12	15°20'	1,260				(206)(331)		
13	16°40'	1,237	(311)					
14	17°25'	1,180	(222)					
15	17°55'	1,150				(226)		
16	19°40'	1,054					(400)	
17	20°20'	1,021	(400)					
18	22°15'	0,930	(331)					
<u>Probe 103</u>								
1	8°45'	2,350	(111)		(330)	(113)(202)	(114)	
2	9°30'	2,130		(2,2,0)	(12,2,0)	(004)		
3	9°55'	2,060	(200)				(200)	
4	11°20'	1,800					(204)	
5	11°50'	1,730					(301)(209)	
6	12°40'	1,610					(212)(004)	
7	14°20'	1,440	(022)			(18.6.2)		
8	14°50'	1,386					(300)	
9	15°30'	1,328		(422)			(310)	
10	16°15'	1,268				(206)(331)		
11	16°45'	1,231	(311)				(311)	
12	17°30'	1,130	(222)				(422)	
13	19°50'	1,046					(400)	
14	20°20'	1,021	(400)					

Continuare tabel nr. 8.5

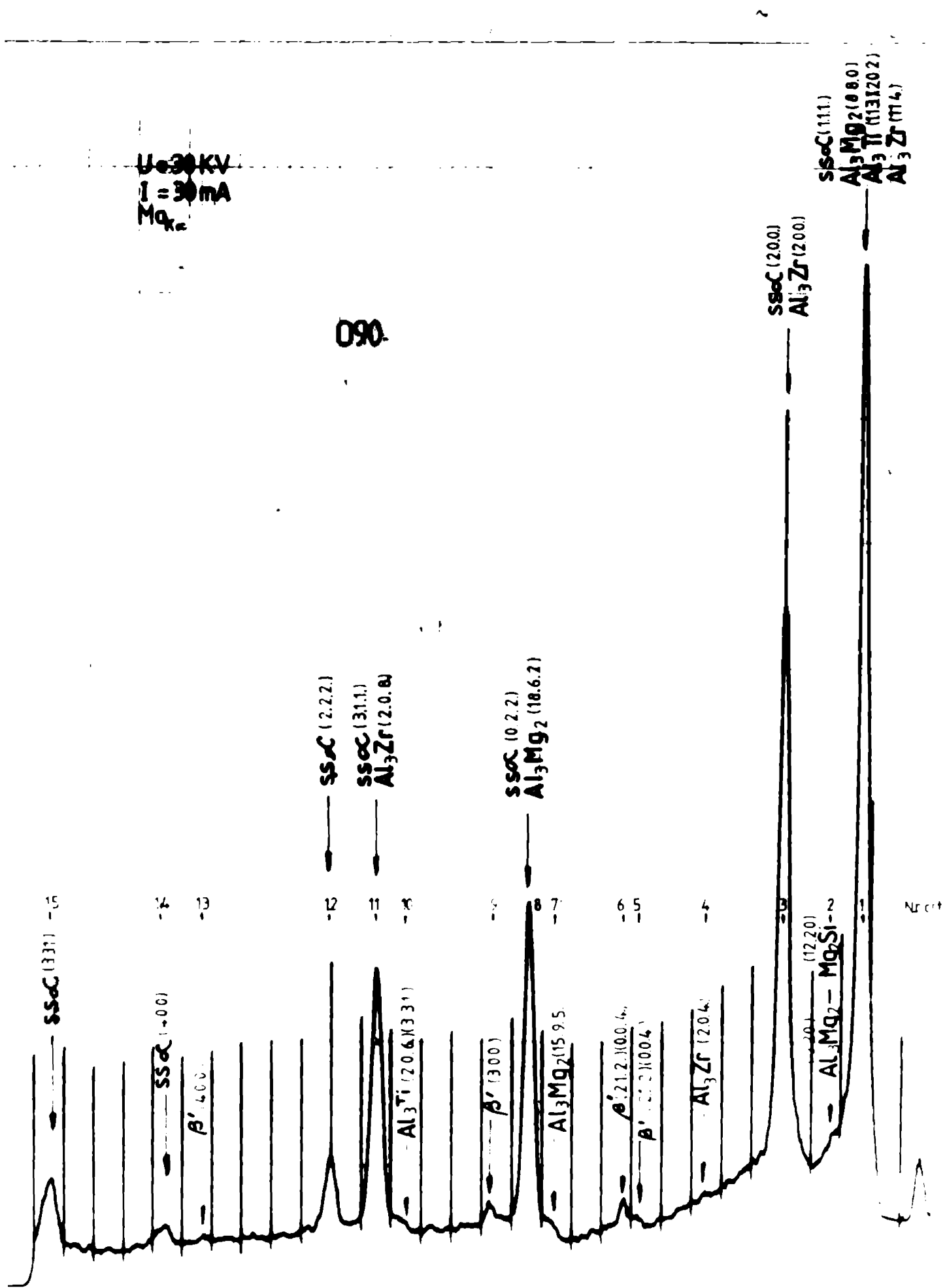
0	1	2	3	4	5	6	7	8
15	22°10'	0,937	(331)					

Prob. 104

1	8°45'	2,350	(111)	(890)	(113)(202)	(114)		
2	9°30'	2,150		(220)	(991)			
3	10°	2,040	(200)				(200)	
4	10°35'	1,930		(311)		(220)		
5	11°20'	1,800						(204)
6	12°45'	1,608						(212)(004)
7	13°40'	1,578		(400)				
8	13°40'	1,507			(15.9.5)			
9	14°15'	1,440	(022)		(18.6.2)			
10	14°40'	1,402						(300)
11	15°35'	1,321				(400)	(2.61.0)	(310)
12	15°25'	1,256				(206)	(351)	
13	15°45'	1,231	(311)					
14	17°30'	1,180	(222)			(226)		
15	19°45'	1,050						(400)
16	20°20'	1,020	(400)					
17	22°25'	0,930	(331)					

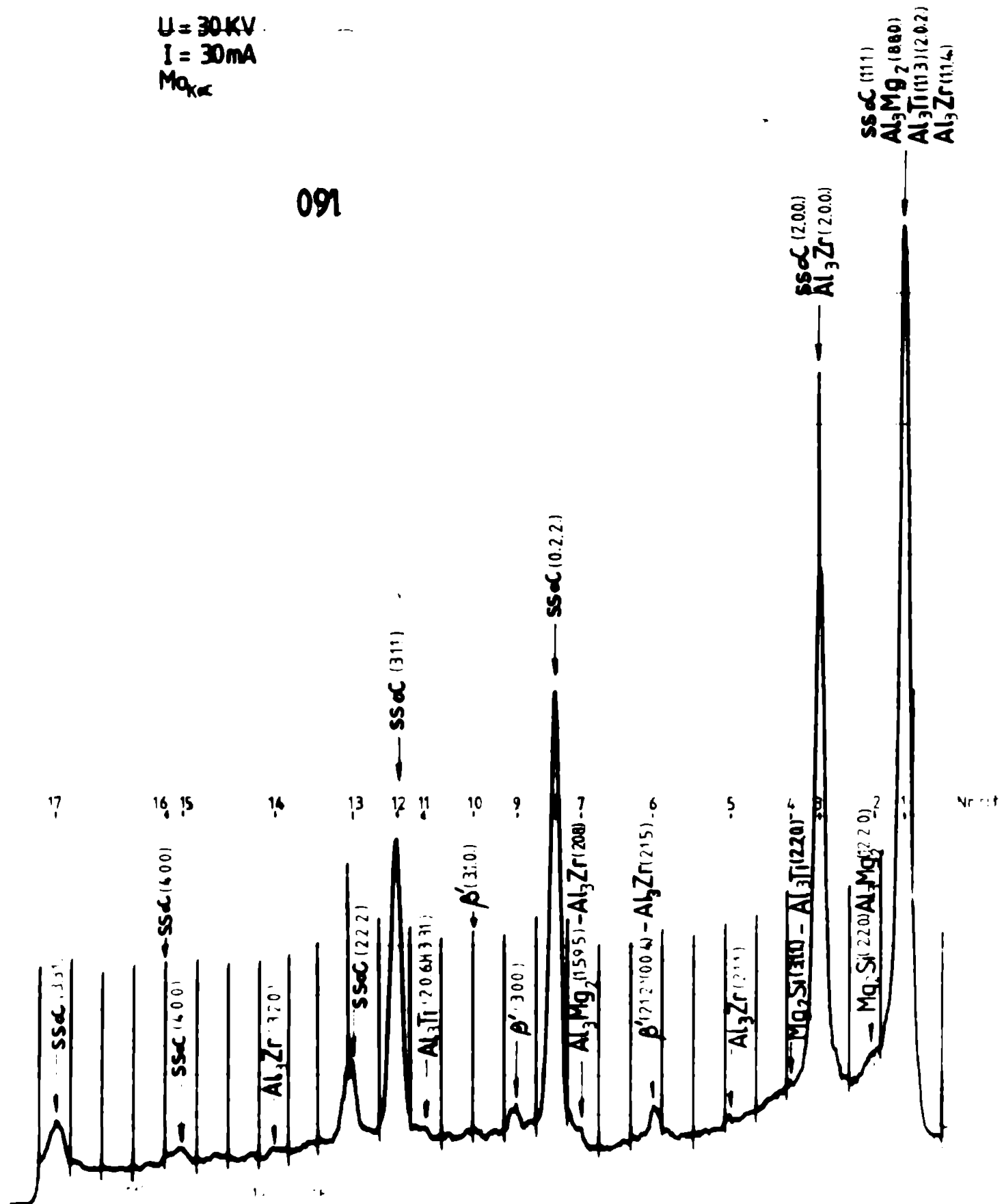
Prob. 105

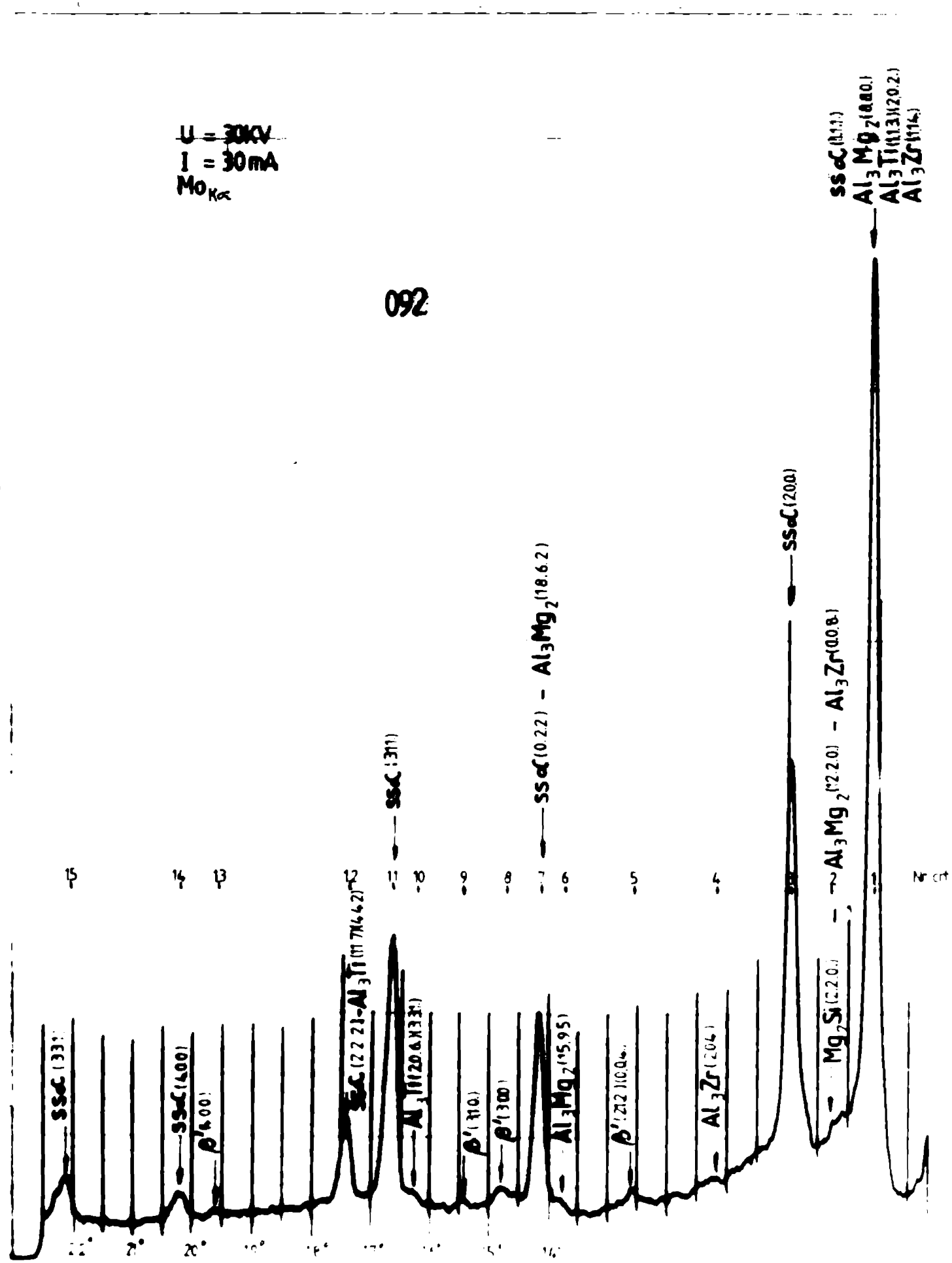
1	8°40'	2,350	(111)	(890)	(113)(202)	(114)		
2	9°15'	2,206		(220)	(12.2.0)			
3	10°	2,040	(200)				(200)	
4	11°30'	1,730						(109)(001)
5	12°35'	1,529		(400)				(212)(004)
6	14°15'	1,442	(022)			(006)(224)		
7	14°50'	1,380						(300)
8	15°25'	1,355						(310)
9	15°15'	1,268				(206)(351)		
10	15°45'	1,231	(311)					
11	17°25'	1,186	(222)			(117)(422)		
12	18°30'	1,118						(320)
13	19°45'	1,050						(400)
14	20°20'	1,021	(400)					
15	22°10'	0,930	(331)					

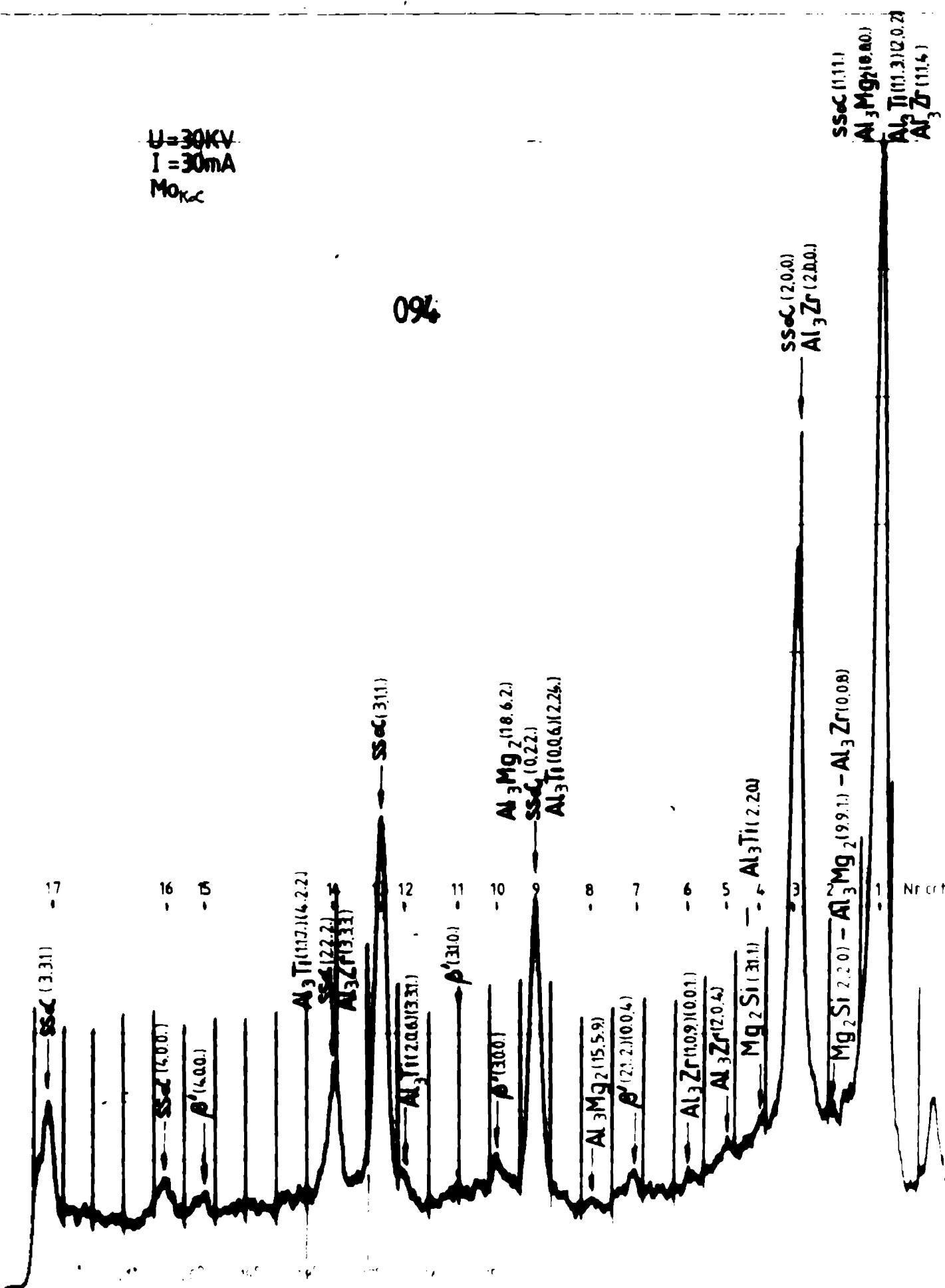


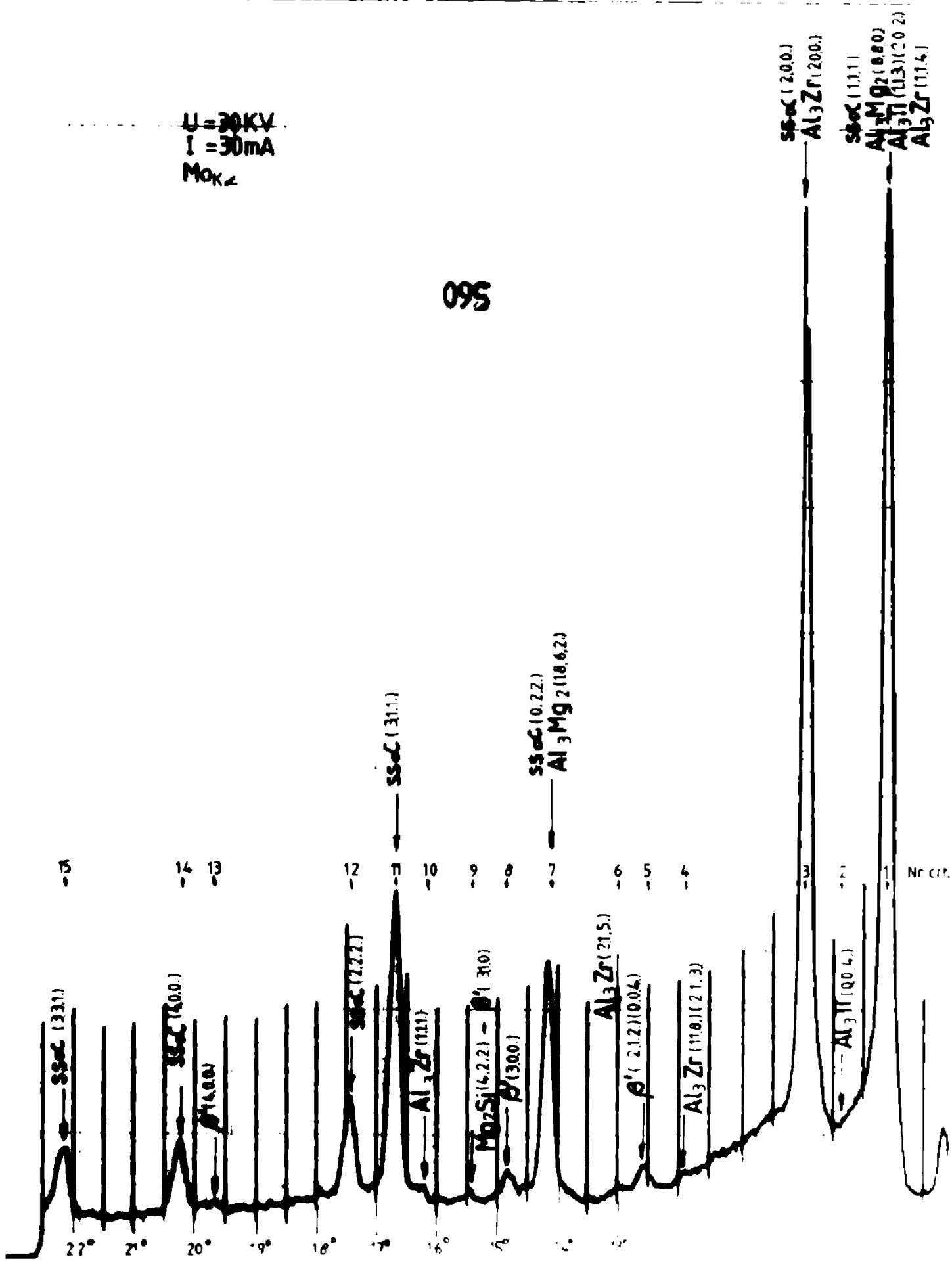
$U = 30 \text{ kV}$   
 $I = 30 \text{ mA}$   
 $\text{Mo}_{\text{K}\alpha}$

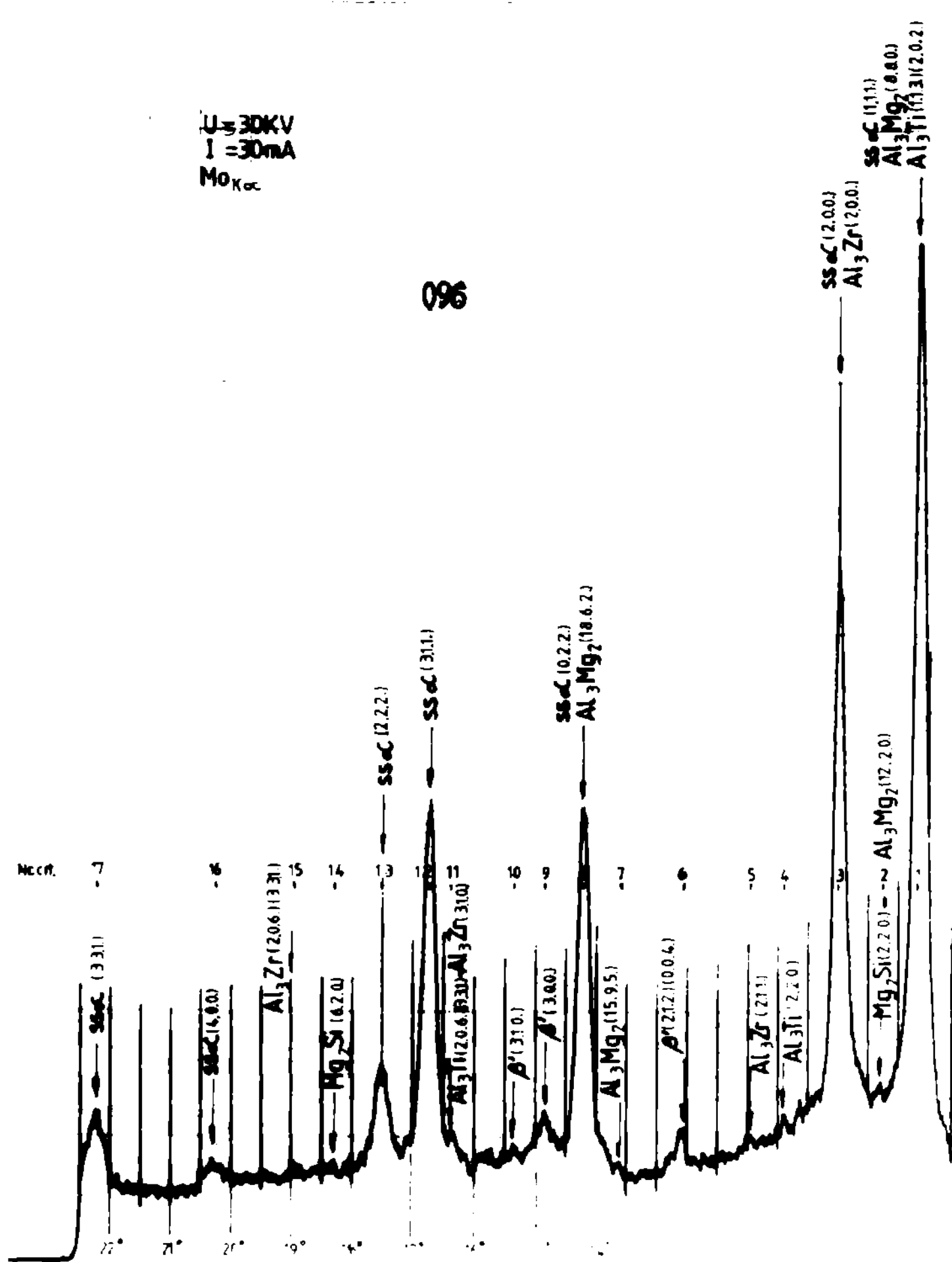
091

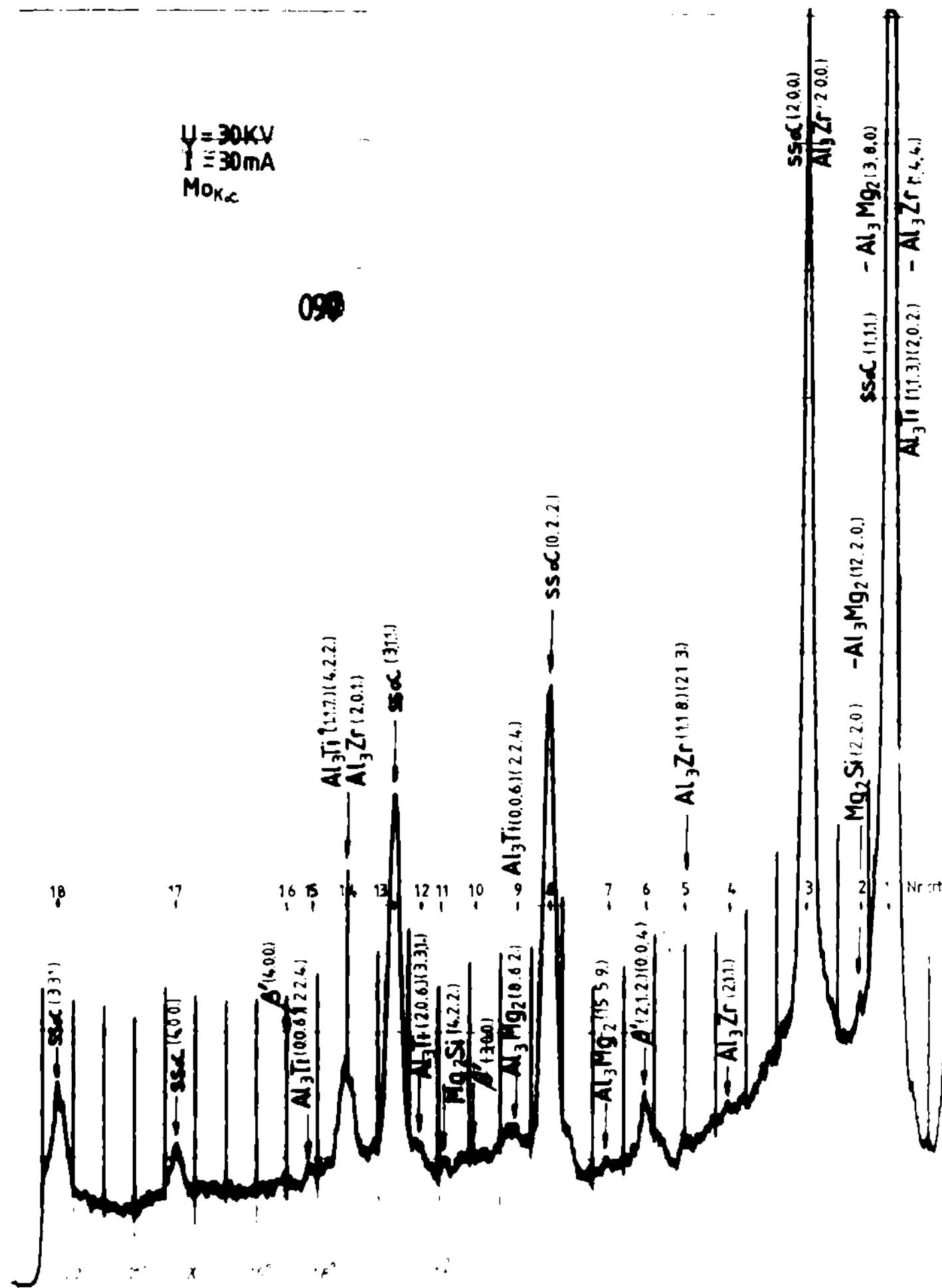


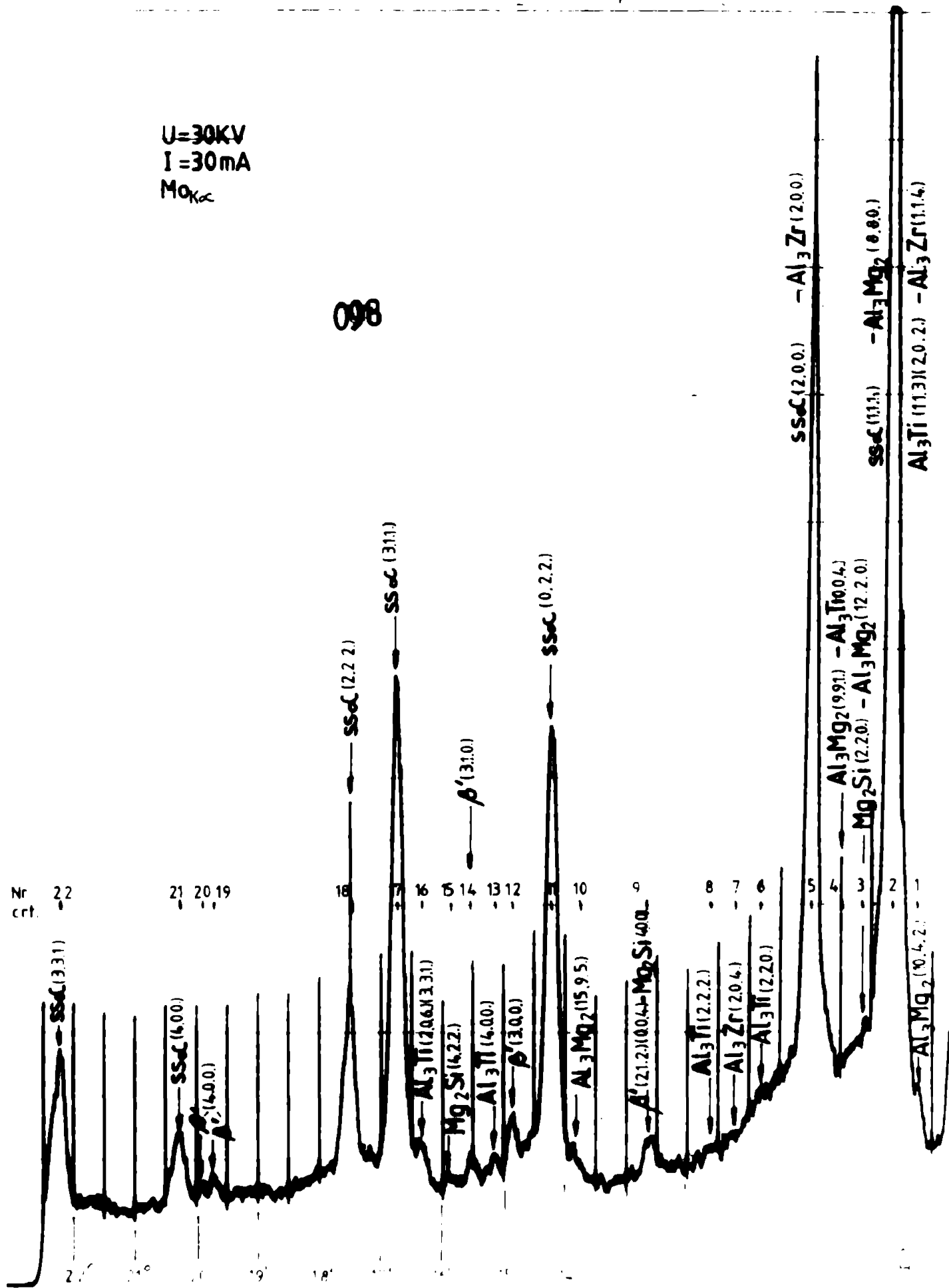


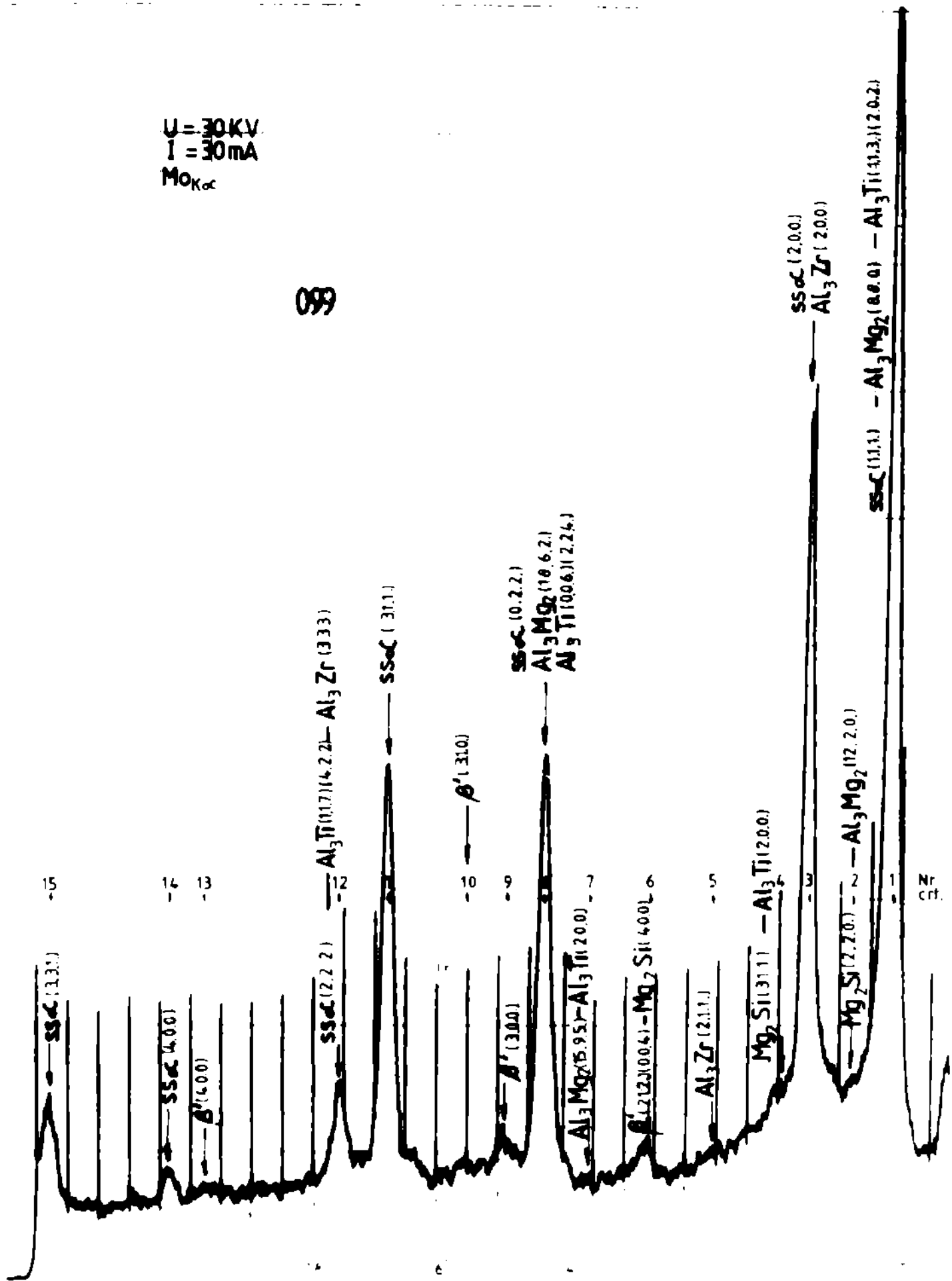


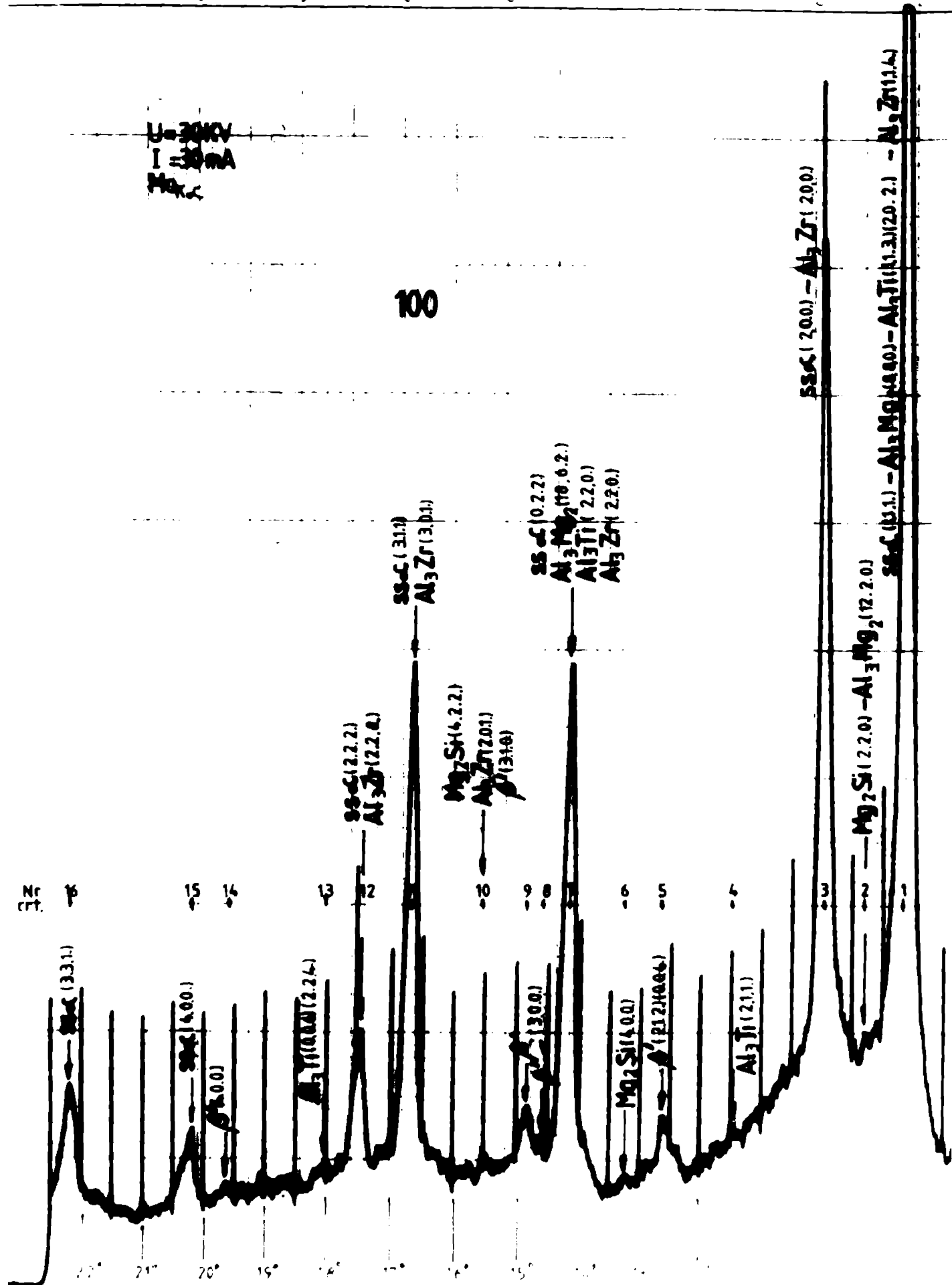






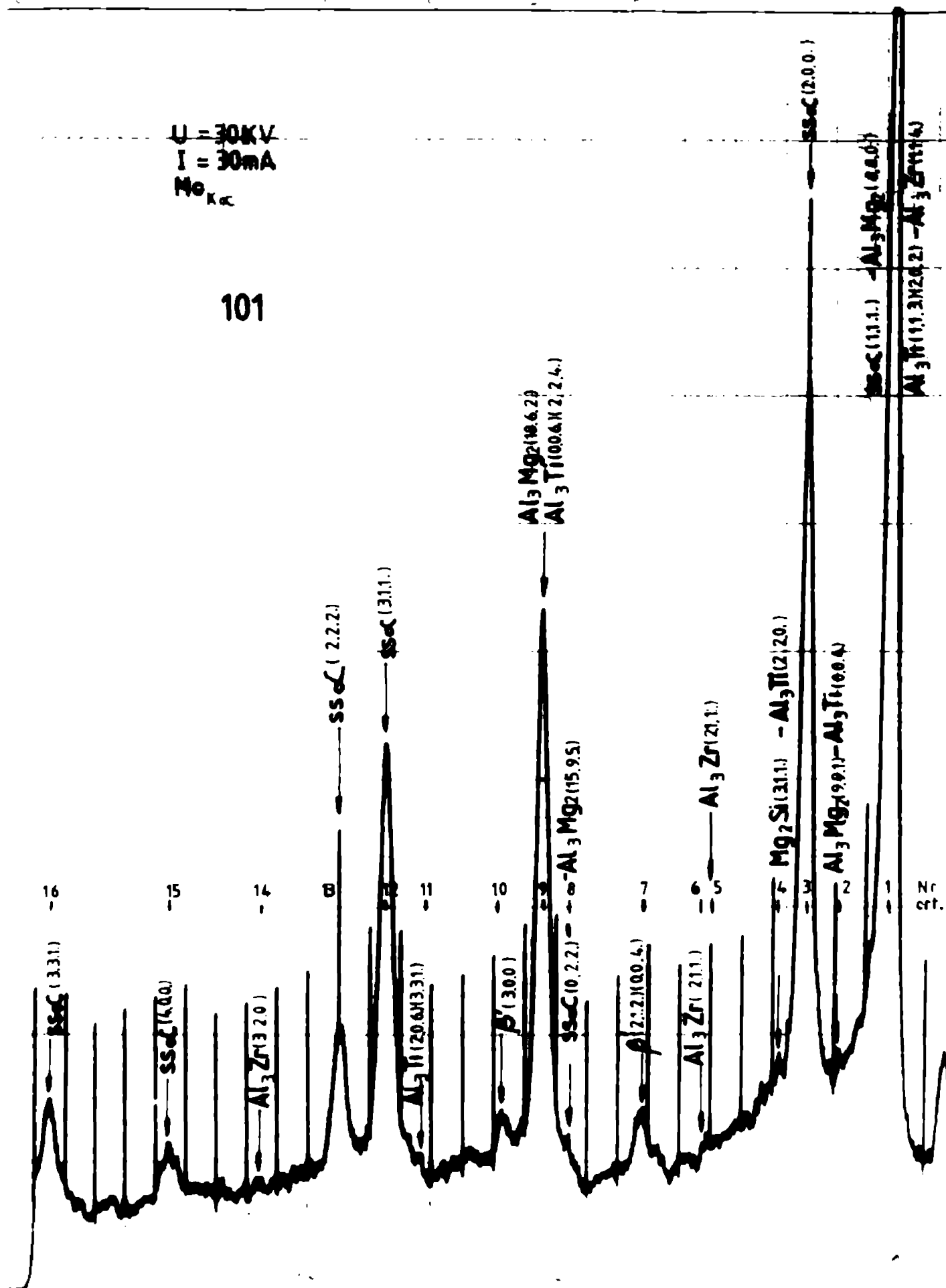






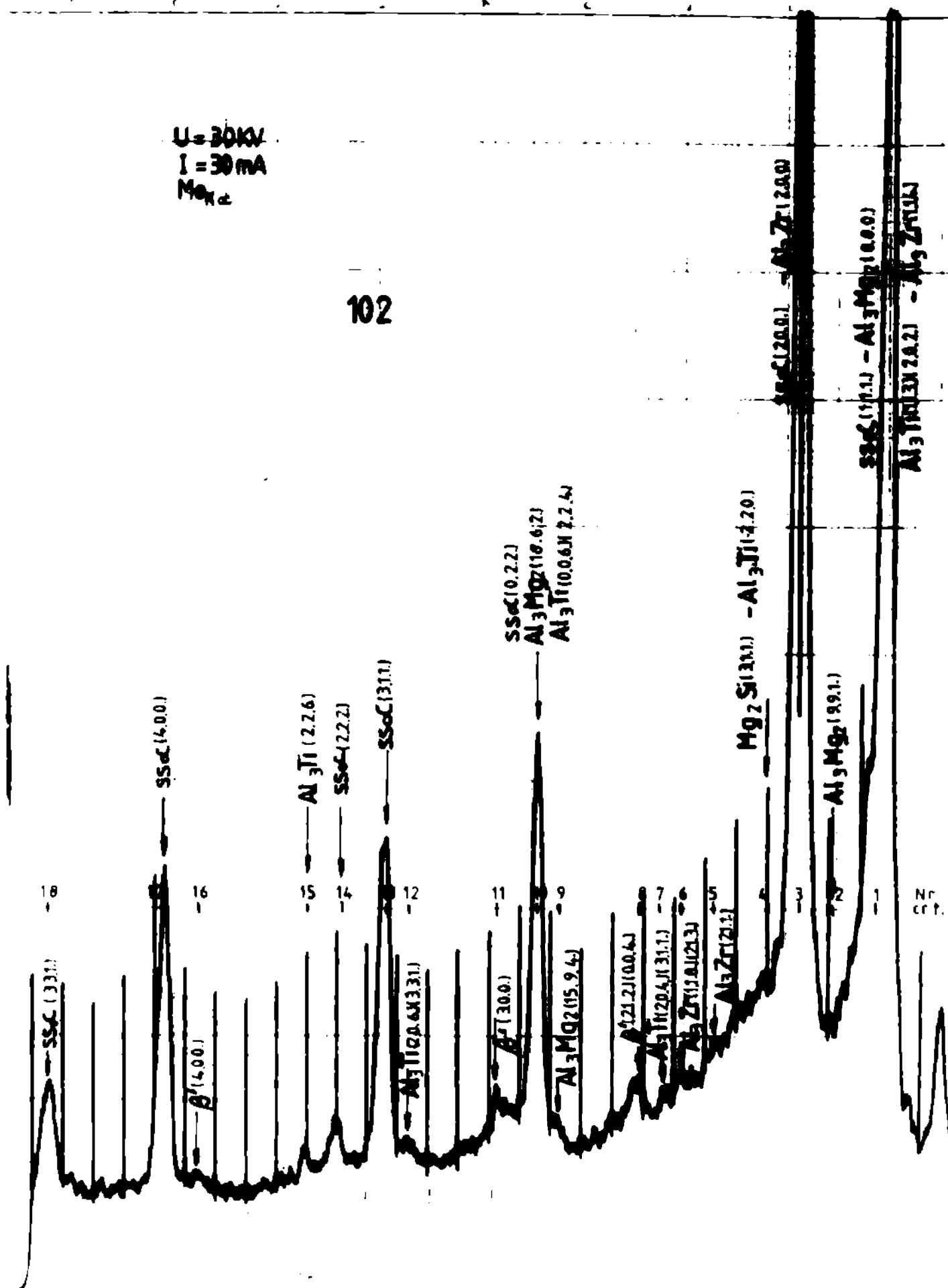
$U = 30\text{ kV}$   
 $I = 30\text{ mA}$   
 $\text{Mo}_{K\alpha}$

101



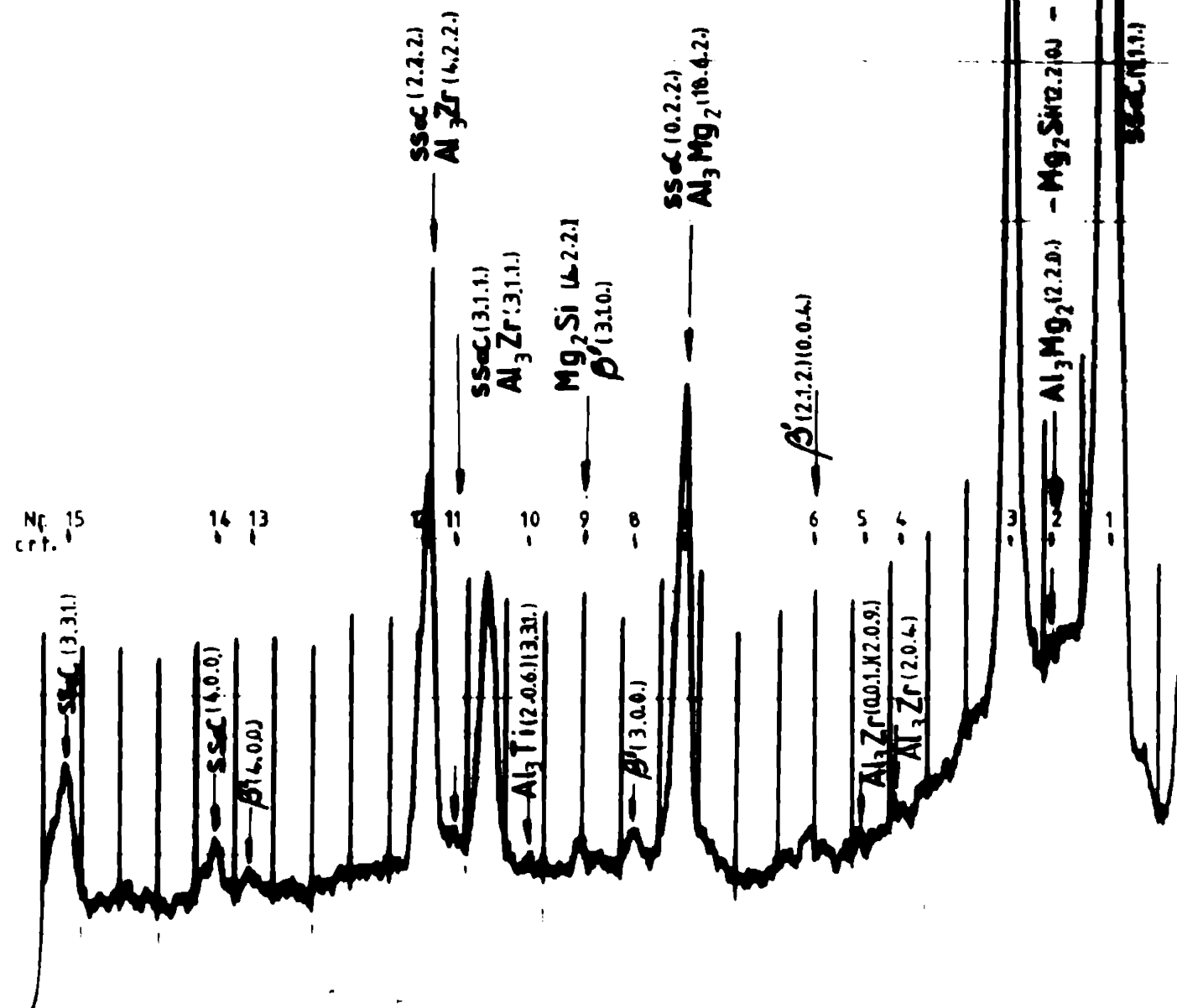
$U = 30 \text{ kV}$   
 $I = 30 \text{ mA}$   
 $\text{Mo}_K\alpha$

102



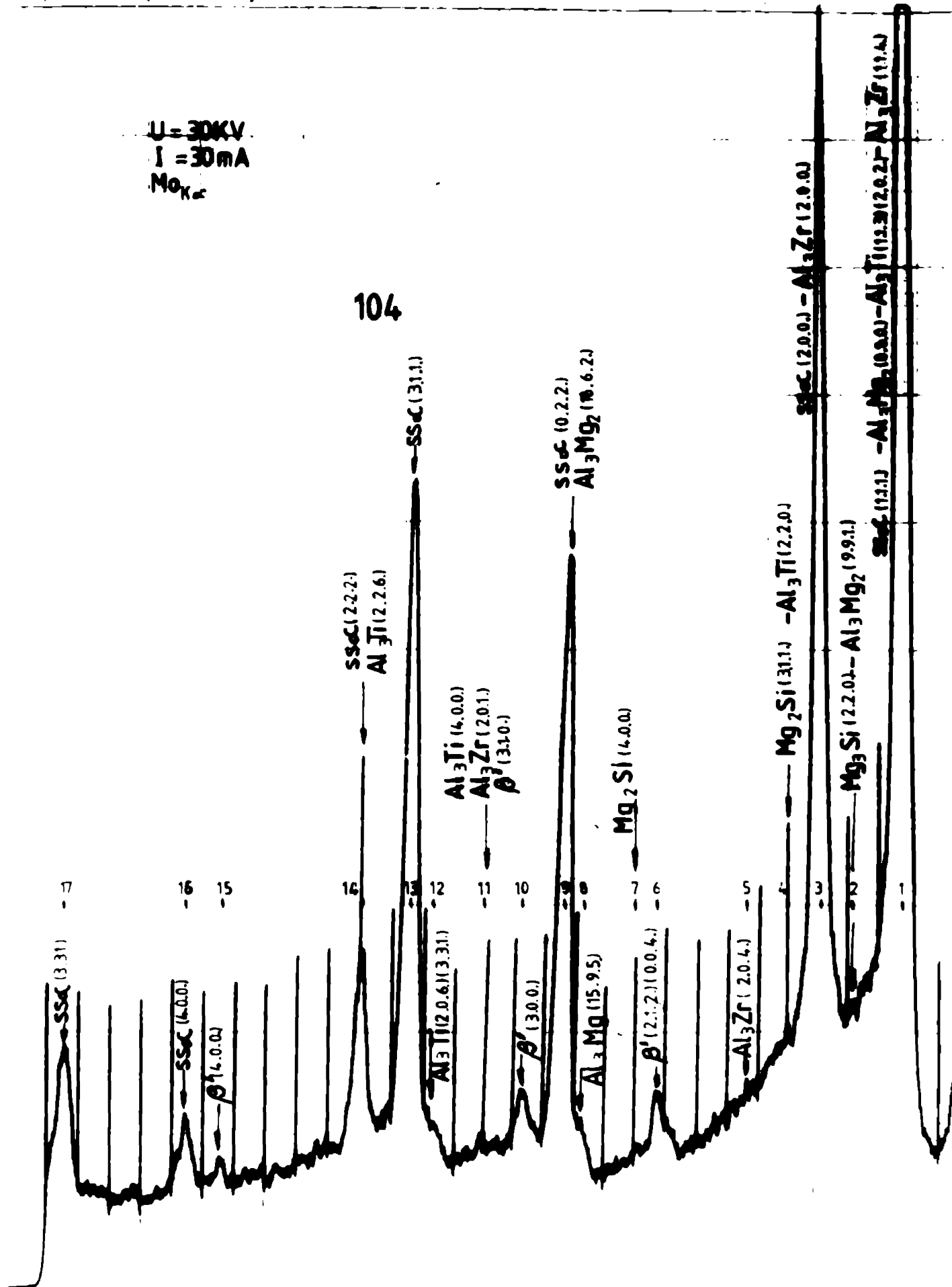
$U = 30\text{KV}$   
 $I_{K_A} = 30\text{mA}$

103



$U = 30 \text{ kV}$   
 $I = 30 \text{ mA}$   
 $\text{MoK}\alpha$

104



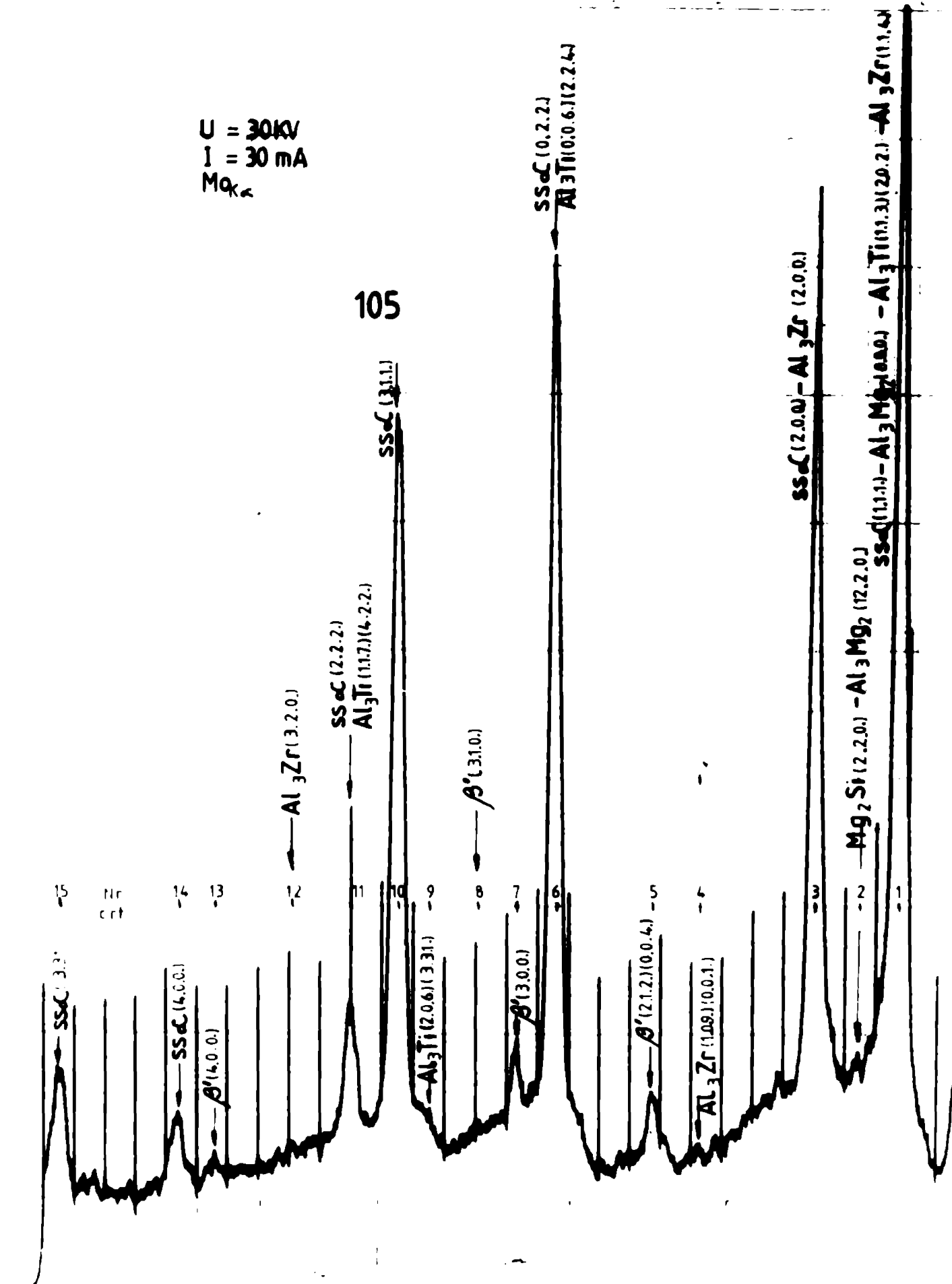
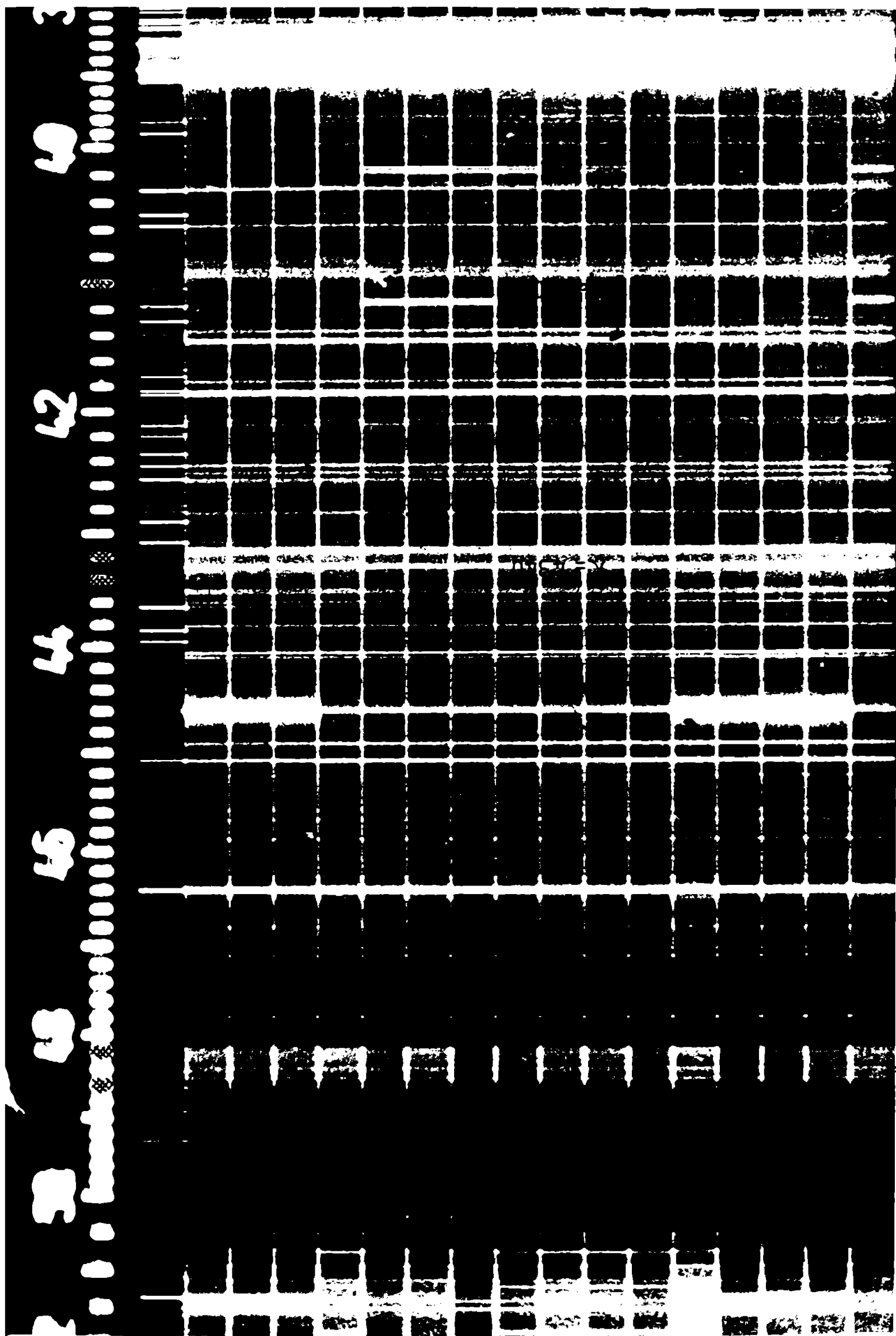
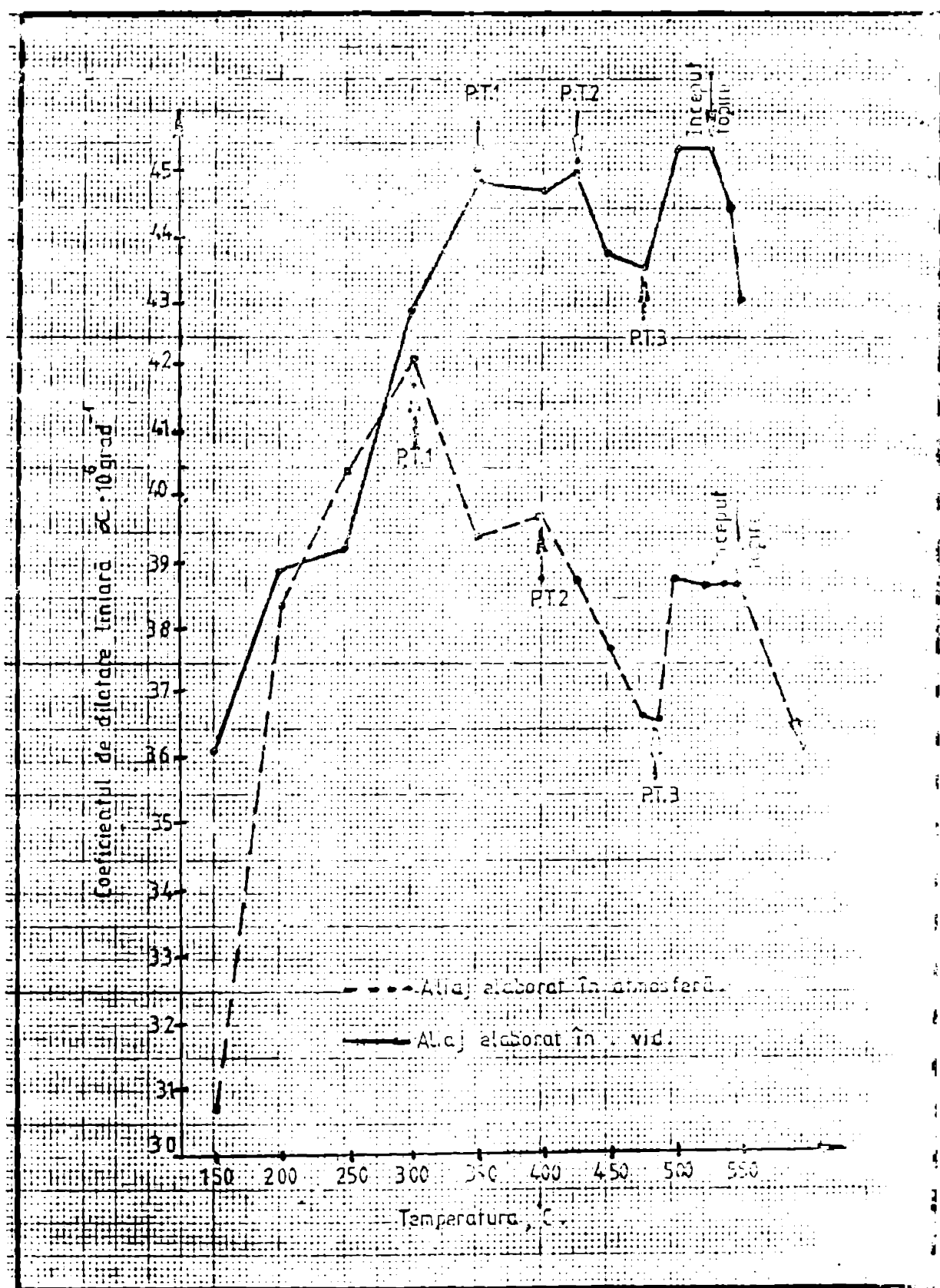


Fig. 8.3.-Liniile specifice hidrogenului în spectrograma solipsu ATMg 10.

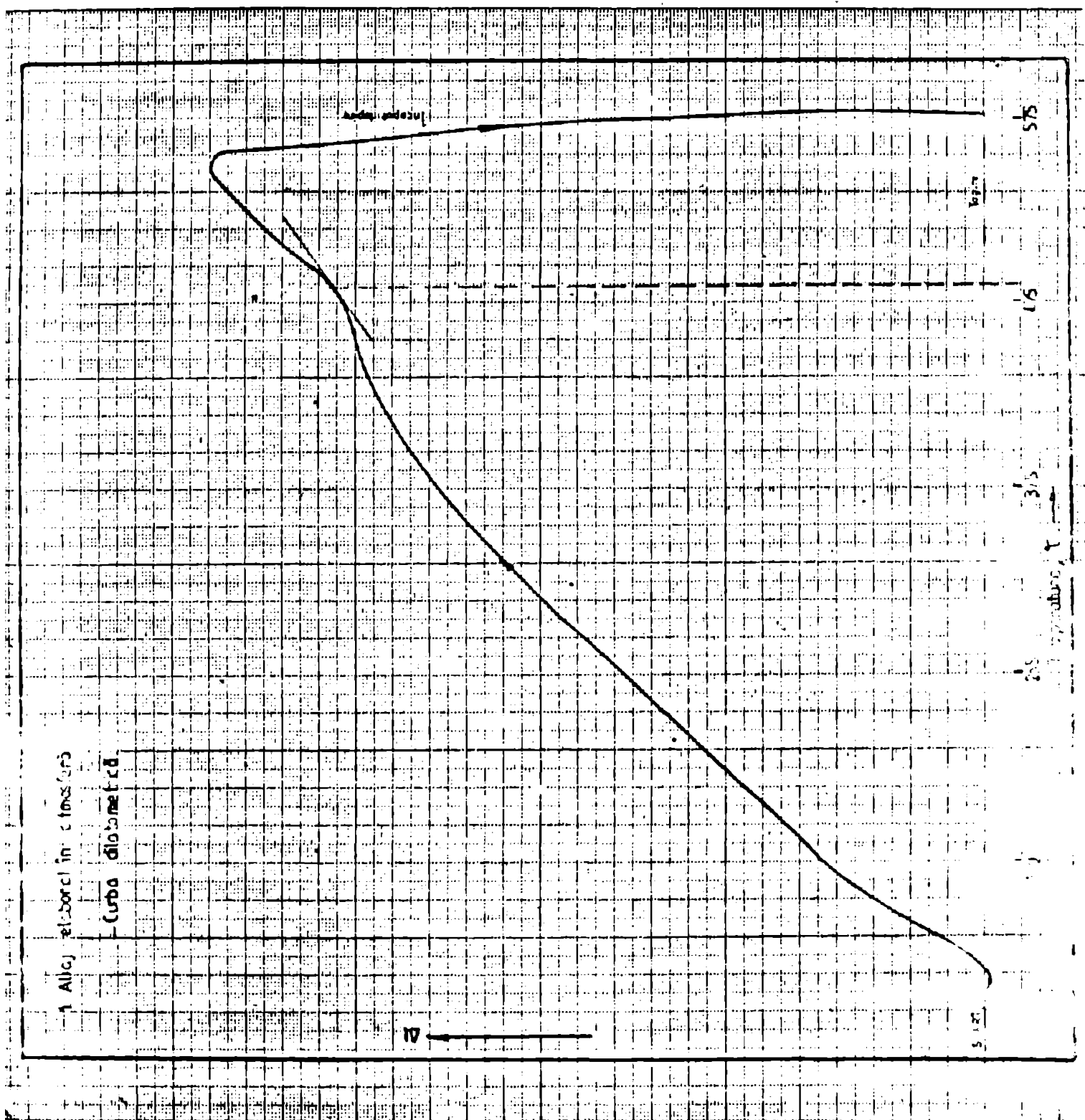


### Starea fierului trecută

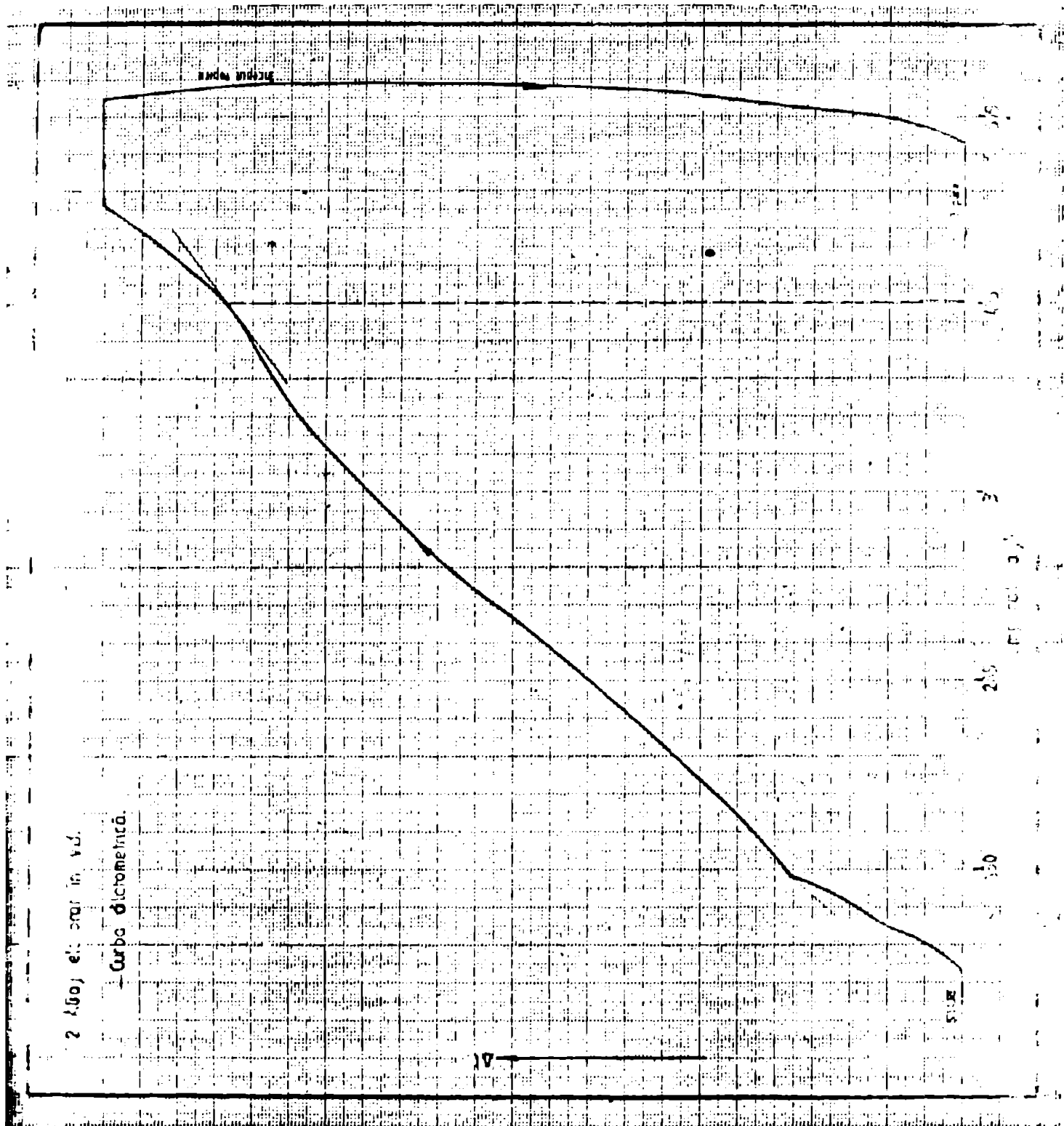


**Carta dilatometrica e allargata nello studio**

**Fig. 8.5**



Curva de lecturas a algunas alturas de vela



**Anexa Nr. IV.**

- Tabulul 9.2.
- Tabulul 10.1.
- Tabulul 10.3.
- Figura 10.6.
- Figura 10.13.
- Figura 11.5.
- Figura 11.6.
- Figura 11.7.
- Figura 11.8.
- Figura 11.9.
- Figura 11.10.
- Figura 11.11.
- Figura 11.12.
- Figura 11.13.
- Figura 11.14.

Tabelul nr. 9.2/1

**Influența tratamentului termic asupra  
proprietăților mecanice**

Nr. de vîr- toare de trecere prin tratament	Caracteristici mecanice	Caracteristici mecanice											
		R <sub>s</sub> N/mm <sup>2</sup>	R <sub>2</sub> N/mm <sup>2</sup>	R <sub>3</sub> N/mm <sup>2</sup>	R <sub>4</sub> N/mm <sup>2</sup>	R <sub>5</sub> N/mm <sup>2</sup>	R <sub>6</sub> N/mm <sup>2</sup>						
0	1	2	3	4	5	6	7	8	9	10	11	12	13
35	T2.1	131,0	269,0	4,2	81,7	2,8	10	T2.1	120,0	243,0	4,6	82,6	3,6
		119,0	242,0	4,0	84,4	2,3			130,0	266,0	5,3	81,7	2,9
		124,0	255,0	5,4	83,0	1,9			123,0	261,0	4,7	79,5	3,2
		129,0	263,0	4,6	80,4	2,6			140,0	236,0	5,0	80,3	2,4
		118,0	240,0	4,0	82,1	2,5			120,0	24,0	3,8	79,1	2,7
		119,0	243,0	3,7	78,3	2,3			129,0	263,0	4,5	83,5	2,9
		117,0	239,0	4,2	79,5	-			123,0	260,0	5,9	81,7	-
		123,0	249,0	5,6	80,0	-			120,0	245,0	3,7	84,9	-
		124,0	252,0	3,6	81,7	-			124,0	253,0	4,1	81,3	-
		120,0	245,0	4,2	77,9	-			124,0	250,0	5,3	80,3	-
		125,0	257,0	4,6	83,5	-			130,0	266,0	5,2	79,5	-
		130,0	265,0	3,7	79,1	-			118,0	240,0	5,0	80,4	-
	Valoare medie	123,0	251,5	4,3	81,0	2,4		Valoare medie	126,0	256,0	4,75	81,3	3,0
20	T2.1	117,0	238,0	3,8	80,4	2,7	5	T2.1	119,0	247,0	5,2	79,1	3,2
		120,0	243,0	4,0	79,5	2,3			131,0	267,0	4,9	81,7	2,6
		123,0	249,0	4,3	81,3	2,9			126,0	258,0	4,7	84,4	3,0
		131,0	267,0	3,8	83,9	3,2			127,0	259,0	4,7	84,4	2,2
		127,0	257,0	5,0	82,6	2,8			120,0	248,0	5,1	84,9	2,8
		127,0	257,0	3,8	82,6	3,3			131,0	257,0	4,2	81,7	2,4
		127,0	257,0	4,0	82,6	-			136,0	279,0	5,6	80,8	-
		120,0	248,0	5,3	80,8	-			131,0	269,0	4,7	82,6	-
		131,0	268,0	5,0	84,9	-			131,0	268,0	4,7	83,5	-
		120,0	248,0	4,3	79,5	-			132,0	270,0	5,2	83,9	-
		120,0	247,0	5,3	73,7	-			127,0	256,0	5,6	80,4	-
		120,0	248,0	5,3	73,7	-			128,0	259,0	4,9	81,3	-
	Valoare medie	123,0	252,0	4,5	81,3	2,9		Valoare medie	128,0	262,0	5,0	82,4	3,7

Tabelul nr. 9.2/2  
 Influarea tratamentului termic asupra  
 proprietăților mecanice

0	1	2	3	4	5	6	7	8	9	10	11	12	13	
35	T2.2	172,0	339,0	9,2	91,8	4,8	10	T2.2	171,0	338,0	10,1	85,3	4,8	
		160,0	312,0	9,0	90,2	5,2			184,0	352,0	9,7	87,7	5,3	
		167,0	325,0	8,4	87,7	3,9			192,0	363,0	9,3	86,3	5,0	
		150,0	303,0	9,6	90,2	4,7			183,0	353,0	9,8	92,8	4,9	
		182,0	330,0	8,2	85,3	5,3			197,0	347,0	11,3	91,2	6,2	
		159,0	310,0	10,1	87,2	4,6			201,0	375,0	9,8	94,4	5,6	
		152,0	305,0	9,2	90,7	-			190,0	362,0	9,8	89,7	-	
		180,0	342,0	9,6	91,2	-			206,0	383,0	10,0	90,7	-	
		169,0	329,0	10,6	85,8	-			172,0	337,0	11,3	87,7	-	
		165,0	322,0	8,8	89,2	-			165,0	322,0	9,8	91,8	-	
		151,0	315,0	9,7	90,7	-			190,0	383,0	10,5	86,6	-	
		162,0	317,0	11,2	89,7	-			167,0	333,0	9,4	82,7	-	
<b>Valoare medie</b>		<b>165,0</b>	<b>322,5</b>	<b>9,4</b>	<b>89,7</b>	<b>4,75</b>			<b>Valoare medie</b>	<b>184,0</b>	<b>354,0</b>	<b>10,0</b>	<b>89,5</b>	<b>5,3</b>
20	T2.2	160,0	312,0	10,0	90,7	4,2	5	T2.2	200,0	372,0	9,7	91,8	5,8	
		170,0	337,0	9,5	89,2	4,0			170,0	336,0	10,2	83,2	6,3	
		167,0	333,0	9,3	91,8	5,1			187,0	357,0	9,3	90,7	5,0	
		169,0	335,0	9,2	89,7	4,7			180,0	348,0	9,3	90,2	5,6	
		163,0	327,0	10,0	87,2	4,3			193,0	379,0	9,9	83,7	5,7	
		169,0	335,0	9,1	88,7	4,6			194,0	363,0	11,2	89,7	6,0	
		154,0	308,0	9,6	87,7	-			191,0	363,0	9,8	90,2	-	
		169,0	335,0	9,0	86,2	-			169,0	329,0	9,6	92,3	-	
		158,0	308,0	9,6	90,7	-			181,0	358,0	10,7	91,2	-	
		162,0	317,0	9,5	90,2	-			172,0	337,0	9,7	80,7	-	
		157,0	307,0	10,2	88,7	-			190,0	347,0	9,8	92,8	-	
		177,0	345,0	10,3	83,2	-			200,0	371,0	11,6	90,2	-	
<b>Valoare medie</b>		<b>165,0</b>	<b>325,0</b>	<b>9,6</b>	<b>89,1</b>	<b>4,5</b>			<b>Valoare medie</b>	<b>186,0</b>	<b>355,5</b>	<b>10,1</b>	<b>90,55</b>	<b>5,9</b>

Tabelul nr. 9.2/3

**Influența tratamentului termic  
asupra proprietăților mecanice**

0	1	2	3	4	5	6	7	8	9	10	11	12	13
35	T2.3	162,0	317,0	9,6	87,2	4,7	10	T2.3	161,0	318,0	14,6	85,2	5,3
		153,0	305,0	10,8	85,3	5,2			166,0	324,0	12,3	86,3	6,0
		167,0	326,0	12,0	84,9	5,5			177,0	345,0	12,4	87,7	6,2
		168,0	329,0	11,6	85,8	6,0			176,0	343,0	11,9	84,9	5,4
		167,0	328,0	10,2	86,9	5,3			168,0	331,0	13,3	85,3	6,2
		162,0	313,0	11,4	83,8	4,0			177,0	346,0	14,1	86,3	5,7
		167,0	326,0	11,4	87,2	-			167,0	326,0	14,3	83,0	-
		169,0	309,0	9,6	86,3	-			167,0	323,0	13,6	87,7	-
		167,0	323,0	13,0	83,5	-			167,0	327,0	12,8	89,2	-
		165,0	323,0	10,5	85,3	-			168,0	329,0	14,5	86,8	-
		160,0	313,0	10,6	88,7	-			176,0	342,0	13,7	85,3	-
		163,0	310,0	11,4	84,9	-			160,0	314,0	12,2	87,2	-
<b>Valoare medie</b>		<b>165,0</b>	<b>321,0</b>	<b>11,0</b>	<b>85,6</b>	<b>5,1</b>	<b>Valoare medie</b>		<b>169,0</b>	<b>331,0</b>	<b>13,5</b>	<b>86,6</b>	<b>5,8</b>
25	T2.3	162,0	319,0	10,7	85,3	5,2	5	T2.3	167,0	326,0	13,2	85,8	6,3
		167,0	327,0	10,8	86,8	6,1			176,0	342,0	15,7	87,2	5,9
		161,0	316,0	11,6	87,2	5,9			169,0	337,0	14,3	85,3	6,4
		168,0	335,0	11,3	84,9	5,5			164,0	323,0	12,6	87,7	5,8
		167,0	327,0	12,3	83,5	4,9			169,0	338,0	15,6	84,9	5,7
		162,0	319,0	10,8	87,7	5,8			176,0	343,0	16,2	86,6	5,5
		169,0	336,0	11,9	86,3	-			162,0	317,0	14,3	86,2	-
		167,0	327,0	10,8	85,8	-			167,0	323,0	12,9	84,4	-
		167,0	326,0	11,6	88,2	-			167,0	326,0	12,3	87,2	-
		161,0	313,0	10,8	86,3	-			168,0	334,0	14,5	85,3	-
		163,0	319,0	10,9	85,3	-			167,0	328,0	12,7	83,7	-
		167,0	323,0	11,7	87,2	-			170,0	336,0	14,2	87,2	-
<b>Valoare medie</b>		<b>165,0</b>	<b>325,0</b>	<b>11,3</b>	<b>86,2</b>	<b>5,6</b>	<b>Valoare medie</b>		<b>169,0</b>	<b>331,0</b>	<b>14,0</b>	<b>86,7</b>	<b>5,9</b>

Tabelul nr. 9.2/4

**Influența tratamentului termic  
asupra proprietăților mecanice**

0	1	2	3	4	5	6	7	8	9	10	11	12	13
55	T1.2	134,0	262,0	8,6	71,7	2,6	10	T1.2	140,0	287,0	7,8	75,5	3,1
		144,0	293,0	7,9	73,2	4,2			152,0	302,0	8,5	76,7	3,7
		140,0	284,0	8,8	73,2	3,5			153,0	305,0	8,3	73,0	3,2
		133,0	280,0	6,3	72,0	3,3			175,0	275,0	8,2	69,9	3,6
		144,0	292,0	7,5	71,0	4,0			147,0	295,0	7,7	73,2	3,3
		135,0	273,0	8,2	75,1	3,6			160,0	313,0	8,8	73,9	3,6
		130,0	262,0	7,9	73,0	-			153,0	304,0	9,0	75,1	-
		136,0	275,0	8,2	75,5	-			140,0	284,0	8,5	73,5	-
		137,0	277,0	9,0	72,8	-			147,0	295,0	7,5	75,1	-
		141,0	236,0	8,8	73,5	-			152,0	302,0	7,7	74,7	-
		136,0	275,0	7,5	71,0	-			136,0	275,0	8,6	72,8	-
		134,0	272,0	7,3	72,3	-			140,0	286,0	8,5	71,7	-
<b>Valoarea medie</b>		<b>137,0</b>	<b>273,0</b>	<b>8,0</b>	<b>72,9</b>	<b>3,6</b>	<b>Valoarea medie</b>		<b>146,0</b>	<b>294,0</b>	<b>8,3</b>	<b>73,5</b>	<b>3,5</b>
20	T1.2	144,0	292,0	8,3	73,2	3,2	9	T1.2	144,0	292,0	8,3	72,8	3,6
		140,0	285,0	7,5	74,3	3,2			153,0	307,0	7,7	71,7	4,2
		143,0	290,0	8,3	73,5	4,0			140,0	287,0	8,5	73,9	3,9
		135,0	273,0	7,8	72,0	3,6			142,0	299,0	8,5	70,7	3,4
		143,0	289,0	8,1	70,2	2,9			144,0	292,0	8,5	71,7	3,9
		137,0	276,0	9,0	71,7	2,7			153,0	306,0	9,0	75,9	3,6
		133,0	279,0	8,8	69,9	-			139,0	285,0	8,6	72,3	-
		138,0	282,0	8,3	72,4	-			144,0	292,0	8,6	75,9	-
		143,0	290,0	7,7	73,2	-			139,0	285,0	7,6	70,7	-
		142,0	288,0	8,3	74,7	-			141,0	289,0	7,6	75,9	-
		143,0	290,0	7,0	73,5	-			155,0	310,0	8,5	75,9	-
		133,0	273,0	8,1	71,3	-			133,0	282,0	8,7	74,7	-
<b>Valoarea medie</b>		<b>140,0</b>	<b>285,0</b>	<b>8,1</b>	<b>72,6</b>	<b>3,3</b>	<b>Valoarea medie</b>		<b>145,0</b>	<b>295,0</b>	<b>8,4</b>	<b>74,5</b>	<b>3,8</b>

Tabelul nr. 9.2/5

**Influența tratamentului termic asupra proprietăților mecanice**

0	1	2	3	4	5	6	7	8	9	10	11	12	13	
35	T3.2	115,0	236,0	1,3	110,0	1,1	10	T3.2	105,0	213,0	2,3	117,0	1,5	
		104,0	207,0	1,7	106,0	1,3			94,0	189,0	1,7	110,0	1,8	
		107,0	215,0	1,4	114,0	1,0			123,0	252,0	1,9	111,0	1,7	
		117,0	226,0	2,1	108,0	1,7			98,0	197,0	1,8	107,0	1,8	
		108,0	219,0	1,3	108,0	1,6			106,0	214,0	1,8	107,0	1,6	
		117,0	240,0	1,4	112,0	1,8			110,0	220,0	1,8	106,0	1,9	
		114,0	233,0	1,4	106,0	-			115,0	224,0	2,4	112,0	-	
		112,0	227,0	1,3	114,0	-			103,0	207,0	2,0	113,0	-	
		109,0	213,0	1,5	104,0	-			107,0	216,0	2,2	117,0	-	
		111,0	225,0	2,0	111,0	-			113,0	230,0	1,9	121,0	-	
		114,0	232,0	1,7	116,0	-			112,0	225,0	2,1	117,0	-	
		113,0	230,0	1,9	112,0	-			114,0	217,0	1,9	108,0	-	
<b>Valoarea medie</b>		<b>112,0</b>	<b>227,0</b>	<b>1,6</b>	<b>110,0</b>	<b>1,4</b>		<b>Valoarea medie</b>		<b>103,0</b>	<b>217,0</b>	<b>2,0</b>	<b>112,0</b>	<b>1,7</b>
20	T3.2	99,0	193,0	1,7	101,0	1,8	5	T3.2	107,0	216,0	2,0	122,0	1,9	
		115,0	236,0	2,4	114,0	1,6			114,0	235,0	2,3	106,0	1,6	
		106,0	213,0	2,4	103,0	1,3			117,0	227,0	1,7	111,0	1,7	
		104,0	217,0	2,0	111,0	1,7			103,0	205,0	1,9	117,0	1,9	
		99,0	199,0	1,3	111,0	1,7			107,0	216,0	2,2	106,0	1,9	
		118,0	243,0	1,7	106,0	1,4			93,0	197,0	1,6	114,0	2,0	
		110,0	221,0	1,5	109,0	-			99,0	193,0	1,6	120,0	-	
		112,0	227,0	1,8	117,0	-			114,0	215,0	1,3	117,0	-	
		104,0	203,0	1,1	111,0	-			103,0	207,0	1,8	117,0	-	
		111,0	224,0	2,2	106,0	-			114,0	231,0	1,7	118,0	-	
		113,0	230,0	2,0	114,0	-			110,0	222,0	1,1	109,0	-	
		112,0	227,0	1,6	105,0	-			113,0	230,0	1,9	105,0	-	
<b>Valoarea medie</b>		<b>109,0</b>	<b>220,0</b>	<b>1,8</b>	<b>109,0</b>	<b>1,6</b>		<b>Valoarea medie</b>		<b>108,0</b>	<b>217,0</b>	<b>1,8</b>	<b>113,0</b>	<b>1,8</b>

Rezultatele testelor de putere certătoare  
structură 11

Tabelul nr.10.1

Nr.	Cod certătoare	Caracteristică influență struc-	Stare de tensiune nivel VI	Concen-	Aten-	Mărime testător	Influență %	influență struc-	putere certătoare	putere certătoare
1	001	10 M8 - 0,2 31	-	20 - NTT	x	x	1	x 1	x 100	x 100
2	002	10 M8 - 0,4 31	-	20 - NTT	x	x	1	x 1	x 100	x 100
3	003	10 M8 - 0,6 31	-	20 - NTT	x	x	1	x 1	x 100	x 100
4	011	10 M8 - 0,15 31	-	20 - NTT	x	x	1	x 1	x 100	x 100
5	012	10 M8 - 0,81-0,72r	20 - NTT	20 - NTT	x	x	1	x 1	x 100	x 100
6	013	10 M8 - 0,15 2r	20 - NTT	20 - NTT	x	x	1	x 1	x 100	x 100
7	014	10 M8 - 0,3 31	-	20 - NTT	x	x	1	x 1	x 100	x 100
8	015	10 M8 - 0,5 31	-	20 - NTT	x	x	1	x 1	x 100	x 100
9	021	10 M8 - VR 1	-	760 - NTT	x	x	1	x 1	x 100	x 100
10	022	10 M8 - VR 2	-	760 - NTT	x	x	1	x 1	x 100	x 100
11	023	10 M8 - VR 3	-	760 - NTT	y 55 m	x	1	x 1	x 100	x 100
12	024	10 M8 - VR 4	-	760 - NTT	x	x	1	x 1	x 100	x 100
13	030	10 M8 - 760	-	NTT	x	x	1	x 1	x 100	x 100
14	032	10 M8 - 380	-	NTT	x	x	1	x 1	x 100	x 100
15	033	10 M8 - 180	-	NTT	x	x	1	x 1	x 100	x 100



Contingency tables nr. 10.1



Virtuosa de grăunțe

Tabelul nr. V.3

Nr. ord.	Cod exp.	Metoda col- lectarii secundară etalon lom- bară	Nr. exp.- secundară	Nr. exp.- secundară	Metoda numără- rii de grăunțe	Nr. exp.- secundară	Metoda numără- rii de grăunțe	Cantitatea de grăunțe medie a grăunților în trepte		Pregă- tirea de baze pentru probă în trepte
								II	III	
0	1	2	3	4	5	6	7			
1	021	1	6	197	22	208	146	0,00246	0,04303	-
2	022	1	2	10	6	13	26	0,0346	0,19612	-
3	023	1	c	2	4	4	6	0,12500	0,35350	-
4	024	1	>3	<1	0	<1	1	>1	1	-
5	011	1	5	139	26	152	304	0,00229	0,05735	4864
6	012	1	7	514	88	556	1116	0,00030	0,03000	35712
7	013	1	6	291	42	312	624	0,00160	0,04003	14320
8	014	1	2	14	10	10	35	0,02632	0,16222	+
9	015	1	>3	1	0	1	1	1	1	-
10	070	1	7	-	-	-	-	-	-	T1
11		1	7	-	-	-	-	-	-	T2
12		1	6	-	-	-	-	-	-	T3
13		3	5	-	-	-	-	-	-	T4
14	071	1	7	357	72	393	785	0,00127	0,03567	T1
15		1	6	214	54	241	632	0,000207	0,04555	T2

Continuation table nr.10•3

0	1	2	3	4	5	147	294	190	95	76	4	5	125	26	14	3	2	1	0
16	1	1	1	1	1	074	1	1	1	1	1	1	1	1	1	1	1	1	1
17	1	1	1	1	1	075	1	1	1	1	1	1	1	1	1	1	1	1	1
18	1	1	1	1	1	073	1	1	1	1	1	1	1	1	1	1	1	1	1
19	1	1	1	1	1	076	1	1	1	1	1	1	1	1	1	1	1	1	1
20	1	1	1	1	1	077	1	1	1	1	1	1	1	1	1	1	1	1	1
21	1	1	1	1	1	078	1	1	1	1	1	1	1	1	1	1	1	1	1
22	073	1	1	1	1	079	1	1	1	1	1	1	1	1	1	1	1	1	1
23	1	1	1	1	1	080	1	1	1	1	1	1	1	1	1	1	1	1	1
24	1	1	1	1	1	081	1	1	1	1	1	1	1	1	1	1	1	1	1
25	1	1	1	1	1	082	1	1	1	1	1	1	1	1	1	1	1	1	1
26	074	1	1	1	1	083	1	1	1	1	1	1	1	1	1	1	1	1	1
27	1	1	1	1	1	084	1	1	1	1	1	1	1	1	1	1	1	1	1
28	1	1	1	1	1	085	1	1	1	1	1	1	1	1	1	1	1	1	1
29	1	1	1	1	1	086	1	1	1	1	1	1	1	1	1	1	1	1	1
30	075	1	1	1	1	087	1	1	1	1	1	1	1	1	1	1	1	1	1
31	1	1	1	1	1	088	1	1	1	1	1	1	1	1	1	1	1	1	1
32	1	1	1	1	1	089	1	1	1	1	1	1	1	1	1	1	1	1	1
33	1	1	1	1	1	090	1	1	1	1	1	1	1	1	1	1	1	1	1
34	076	1	1	1	1	091	1	1	1	1	1	1	1	1	1	1	1	1	1
35	1	1	1	1	1	092	1	1	1	1	1	1	1	1	1	1	1	1	1
36	1	1	1	1	1	093	1	1	1	1	1	1	1	1	1	1	1	1	1
37	1	1	1	1	1	094	1	1	1	1	1	1	1	1	1	1	1	1	1

Continuare tabel nr. 10.3

0	1	2	3	4	5	6	7	8	9	R	T	T1	T2	T3	T4
38	077	1	0	890	172	976	1952	0,00051	0,02253	0,1338	-	-	-	-	-
39		1	7	515	32	561	1122	0,00069	0,02935	33004	-	-	-	-	-
40		1	6	296	34	338	676	0,00148	0,03646	19296	-	-	-	-	-
41		1	5	143	56	171	342	0,00232	0,05407	5472	-	-	-	-	-
42	078	1	8	-	-	-	-	-	-	-	-	-	-	-	-
43		1	7	-	-	-	-	-	-	-	-	-	-	-	-
44		1	6	-	-	-	-	-	-	-	-	-	-	-	-
45		1	6	-	-	-	-	-	-	-	-	-	-	-	-
46	079	1	4	46	94	35	102	204	0,00333	0,09129	1358	-	-	-	-
47	080	1	5	55	20	43	86	0,00490	0,07011	3264	-	-	-	-	-
48	081	1	3	37	22	43	96	0,01053	0,10203	600	-	-	-	-	-
49	082	1	3	85	34	46	254	0,00490	0,10205	784	-	-	-	-	-
50	083	1	5	251	46	52	296	0,00197	0,07001	3264	-	-	-	-	-
51	084	1	6	275	52	512	524	0,00169	0,04437	11495	-	-	-	-	-
52	085	1	6	291	42	106	342	0,00269	0,04110	13395	-	-	-	-	-
53	086	1	6	164	44	20	62	0,01613	0,05105	5932	-	-	-	-	-
54	087	1	5	164	21	32	41	0,02273	0,15076	436	-	-	-	-	-
55	088	1	3	16	22	-	-	-	-	-	-	-	-	-	-
56	089	1	2	22	-	-	-	-	-	-	-	-	-	-	-
57	090	1	2	42	0,02331	0,15432	238	-	-	-	-	-	-	-	-
58	091	1	3	86	0,01165	0,10783	698	-	-	-	-	-	-	-	-
59	092	1	4	182	0,00549	0,07432	2059	-	-	-	-	-	-	-	-
60	093	1	3	72	0,0139	0,11783	576	-	-	-	-	-	-	-	-

Controleur total nr.10.3

61	054	1	5	111	24	6	123	245	9	0,00406	0,06306	3936
62	055	1	5	120	32	136	272	285	9	0,00368	0,06063	4352
63	056	1	6	174	28	186	342	342	9	0,00253	0,05025	3960
64	051	1	7	393	46	421	342	166	9	0,00119	0,03446	28944
65	053	1	4	70	26	63	101	202	9	0,00502	0,07762	1373
66	059	1	5	84	34	74	169	238	9	0,00495	0,07036	3232
67	060	1	5	349	46	46	169	238	9	0,00420	0,06482	3808
68	061	1	6	172	54	54	193	296	9	0,00253	0,05025	8960
69	062	1	3	38	28	28	43	95	9	0,01542	0,10206	768
70	063	1	3	30	19	19	39	78	9	0,01282	0,11325	624
71	064	1	4	49	13	13	58	216	9	0,00362	0,09205	1312
72	065	1	4	50	20	20	50	120	9	0,00323	0,09129	1388
73	066	1	2	8	14	15	30	30	9	0,03353	0,18257	170
74	067	1	2	1	1	6	12	22	9	0,04545	0,21324	66
75	068	1	1	1	1	5	10	20	9	0,05000	0,22363	68
76	069	1	2	2	14	14	21	42	9,02381	0,15432	238	
77	070	1	2	2	26	12	22	44	9	0,02273	0,15076	249
78	072	1	3	3	29	14	36	72	9	0,01309	0,17715	378
79	073	1	3	3	38	19	47	94	9	0,01064	0,16314	752
80	074	1	4	44	20	54	105	176	9	0,00926	0,09325	1222
81	075	1	5	5	414	207	44	44	9	0,00342	0,04215	2353



070  
T1 - Et.7  
T2 - Et.7  
T3 - Et.6  
T4 - Et.5

a - nivel de vid: 35 mm.col.Hg.  
- viteza de răcire:VR1(tabel 5.3)  
reactiv KELLER x 1



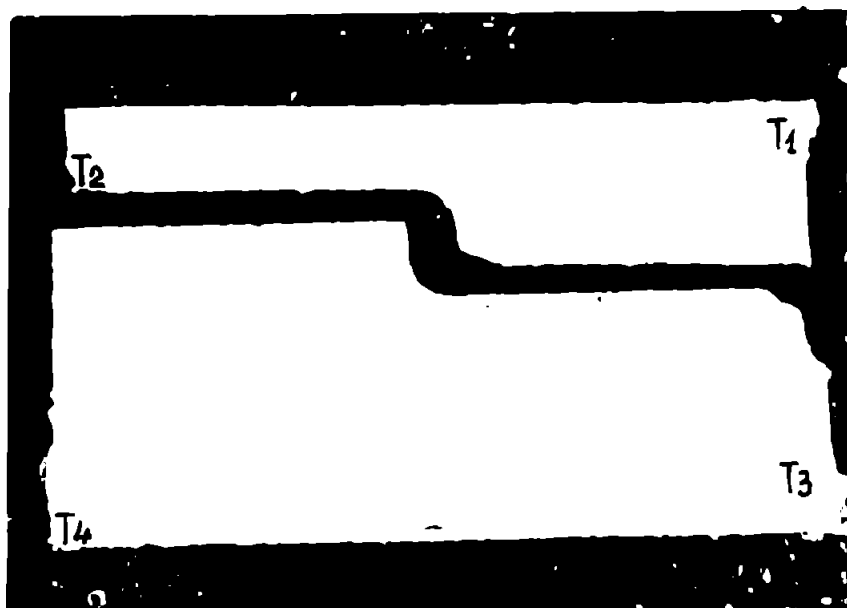
071  
T1 - Et.7  
T2 - Et.6  
T3 - Et.4  
T4 - Et.4

b - nivel de vid: 35 mm.col.Hg.  
- viteza de răcire:VR2(tabel 5.3)  
reactiv KELLER x 1

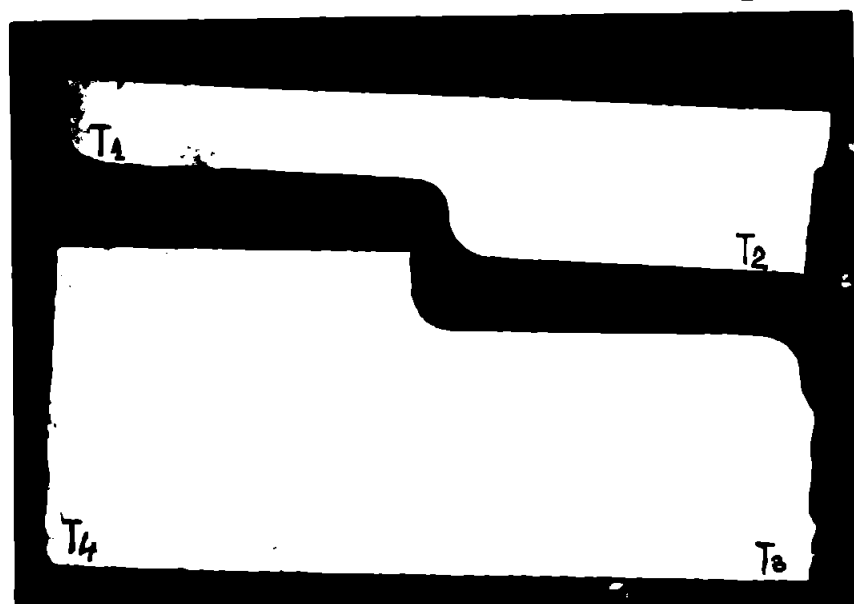


072  
T1 - Et.6  
T2 - Et.5  
T3 - Et.4  
T4 - Et.4

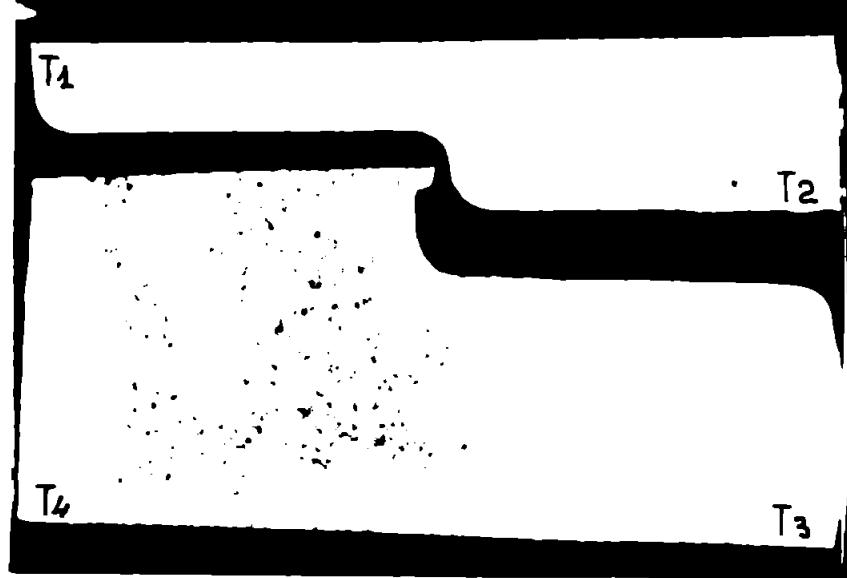
c - nivel de vid: 35 mm.col.Hg  
- viteza de răcire:VR3(tabelul 5.3)  
reactiv KELLER x 1



73  
 $T_1 = st.6$   
 $T_2 = st.7$   
 $T_3 = st.6$   
 $T_4 = st.5$



74  
 $T_1 = st.6$   
 $T_2 = st.7$   
 $T_3 = st.5$   
 $T_4 = st.4$

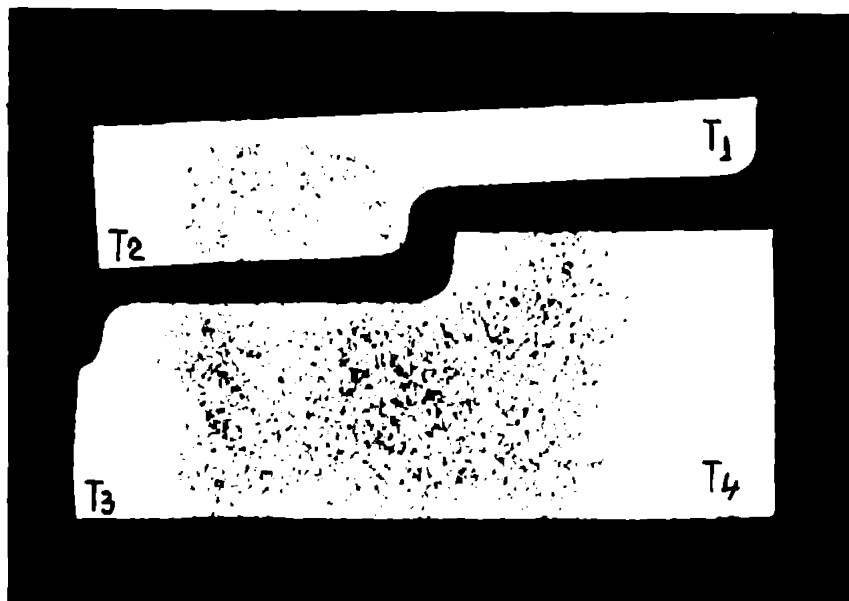


75  
 $T_1 = st.7$   
 $T_2 = st.7$   
 $T_3 = st.6$   
 $T_4 = st.6$

$f = \text{nivel de vidi: } 29 \text{ mm col. (T. 3.3)}$   
 $= \text{viteză de răcire: } VR3 (\text{tabel 5.3.3})$   
 $\text{reactiv K-MAR} \times 1$



**g - nivel de vid:10 mm.col.Hg;viteza de răcire:VR 1(tabel 5.3);reactiv Iodură x1**



**h - nivel de vid:10 mm.col.Hg;-viteza de răcire:VR2(tabel 5.3);reactiv Iodură x1**



**i - nivel de vid:10 mm.col.Hg;-viteza de răcire:VR3(tabel 5.3);-reactiv Iodură x1**

**Fig.10.6. Variatia marimi de grăunțe în funcție de viteza de răcire, la diferite nivele de vid,-stare brut turnată**

**076**

**T1 - Et.8  
T2 - Et.8  
T3 - Et.7  
T4 - Et.7**

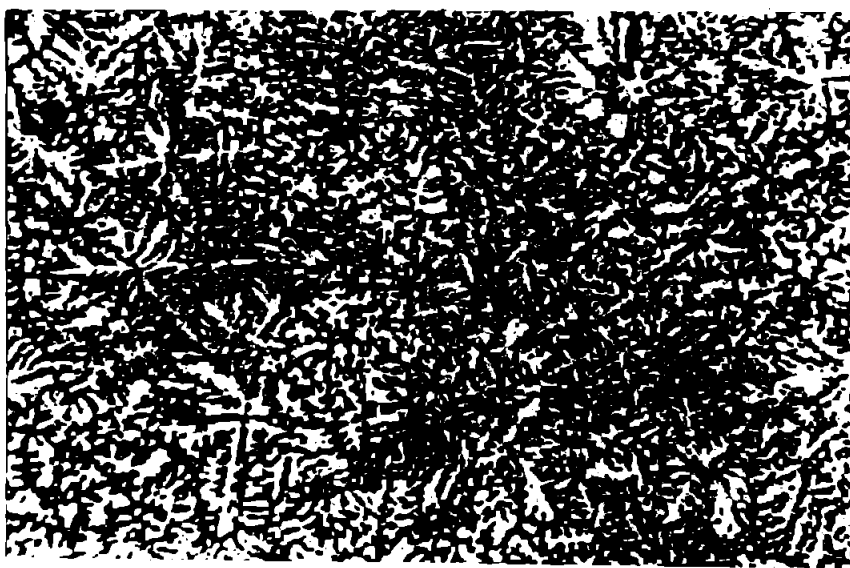
**077**

**T1 - Et.8  
T2 - Et.7  
T3 - Et.6  
T4 - Et.5**

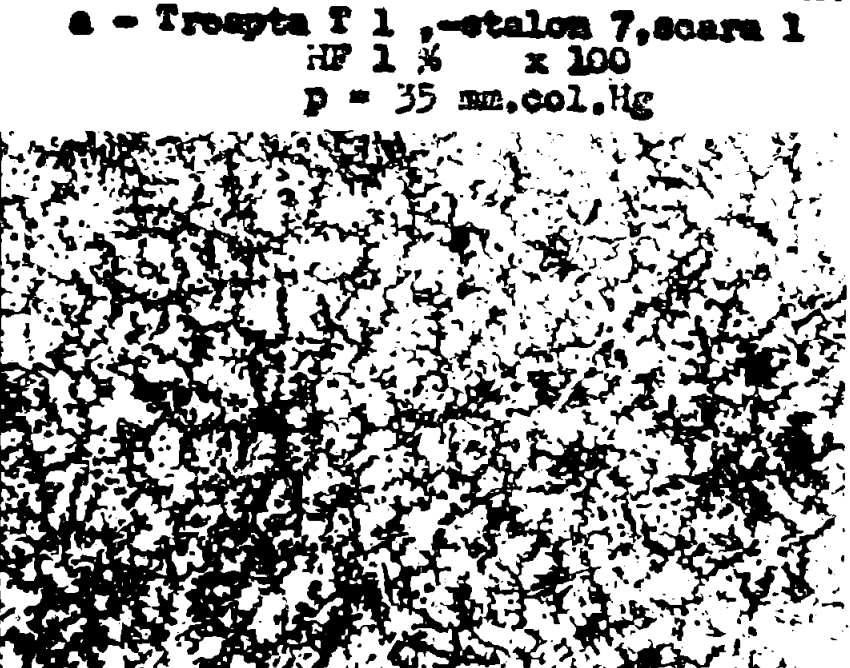
**x 1**

**078**

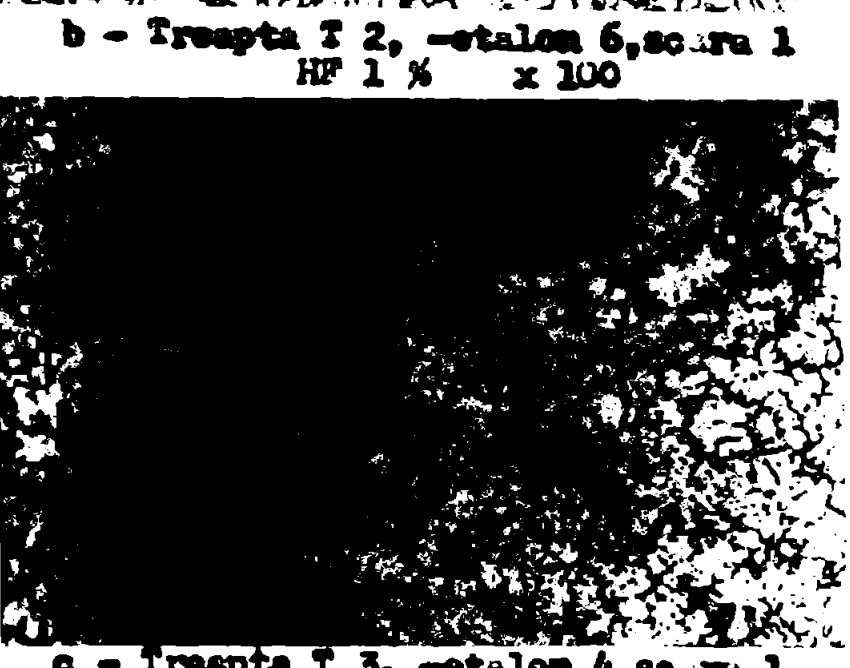
**T1 - Et.8  
T2 - Et.7  
T3 - Et.6  
T4 - Et.6**



971  
Et.?

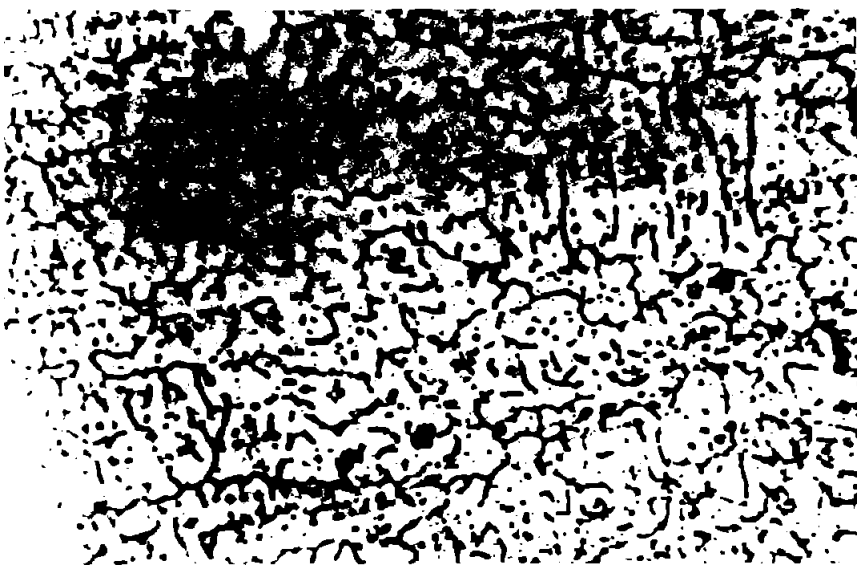


971  
Et.6



971  
Et.5

c - Troopta T 3, -etalon 4, scara 1  
HF 1 % x 100



071  
Et.4

d - Treptza T 4,-etalon 4, scara 1

HF 1 %      x 100

p = 35 mm.col.Hg



074  
Et.8

e - Treptza T 1,-etalon 8, scara 1

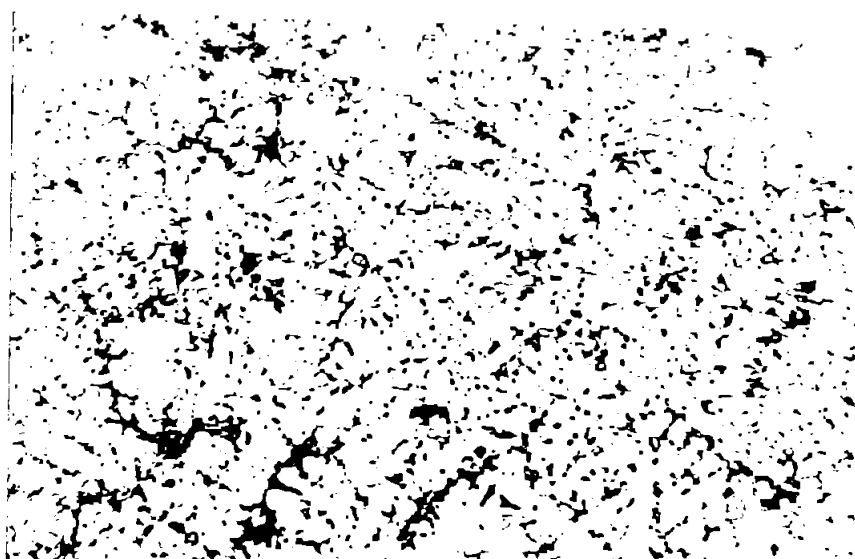
HF 1 %      x 100



074  
Et.7

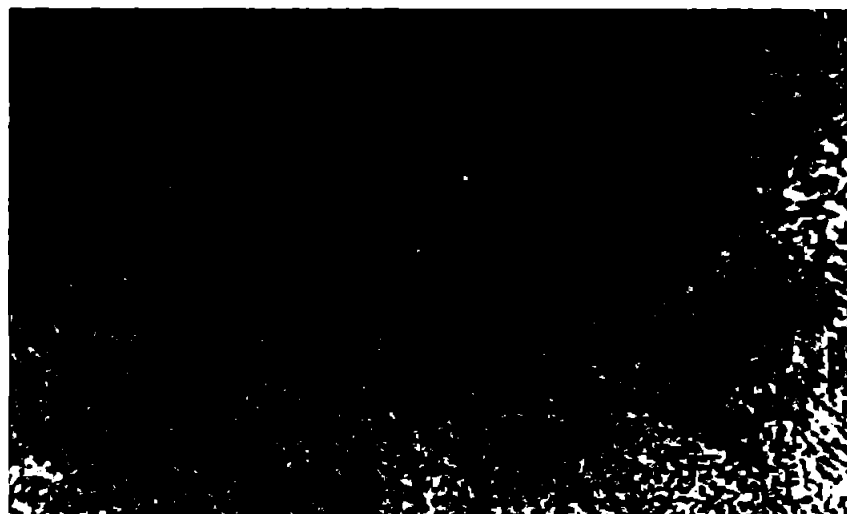
f - Treptza T 2,-etalon 7, scara 1

HF 1 %      x 100



074  
st.5

6 - Troopta T 3, - etalon 5, scara 1  
HF 1 % x 100  
p = 20 mm.col.Hg



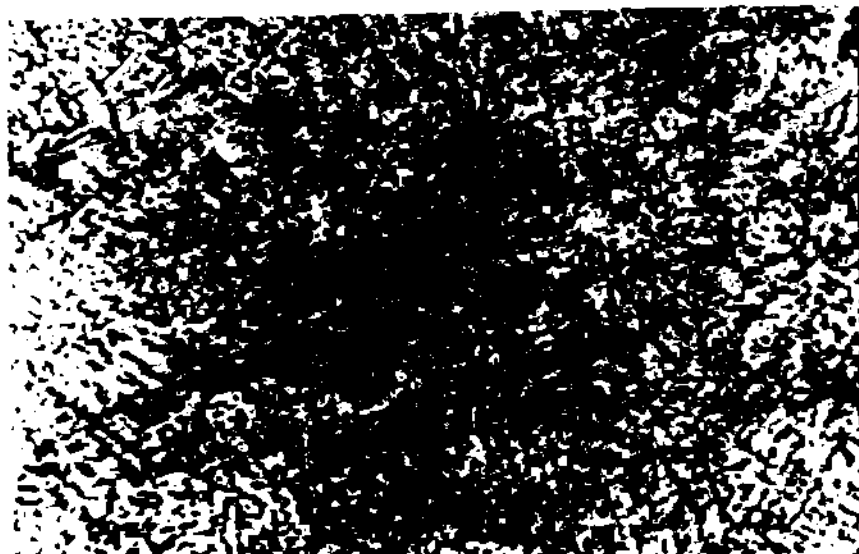
074  
st.5

h - Troopta T 4,-etalon 4, scara 1  
HF 1 % x 100  
p = 20 mm.col.Hg



077  
st.8

i - Troopta T 1 -etalon 8,scara 1  
HF 1 % x 100  
p = 10 mm.col.Hg



j - Treapta T 2, -etalon 7, scara 1  
 HF 1 % x 100  
 p = 10 mm.col.Mg

077  
Et.7



k - Treapta T 3,-etalon 6, scara 1  
 HF 1 % x 100  
 p = 10 mm.col.Mg

077  
Et.6

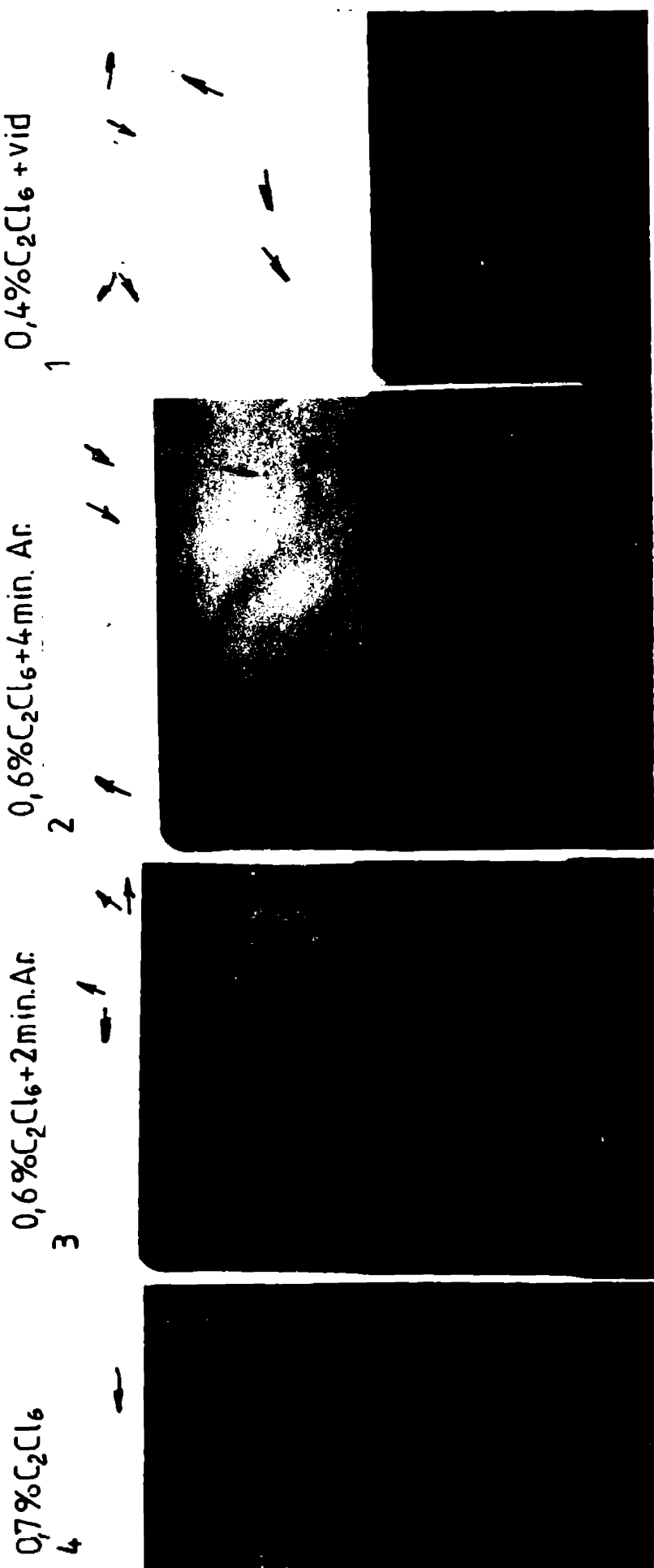


l - Treapta T 4,-etalon 5, scara 1  
 HF 1 % x 100  
 p = 10 mm.col.Mg

077  
Et.5

Fig.10.13  
 Influența vitezei de mișcare și a grosimii de perete asupra structurii brute de turătoare a aliajului ATCN<sub>60</sub> modificat

Nr 11.3  
• Antragende - Personen und/oder Organisationen die die Verantwortung übernehmen, die Leistung zu übernehmen



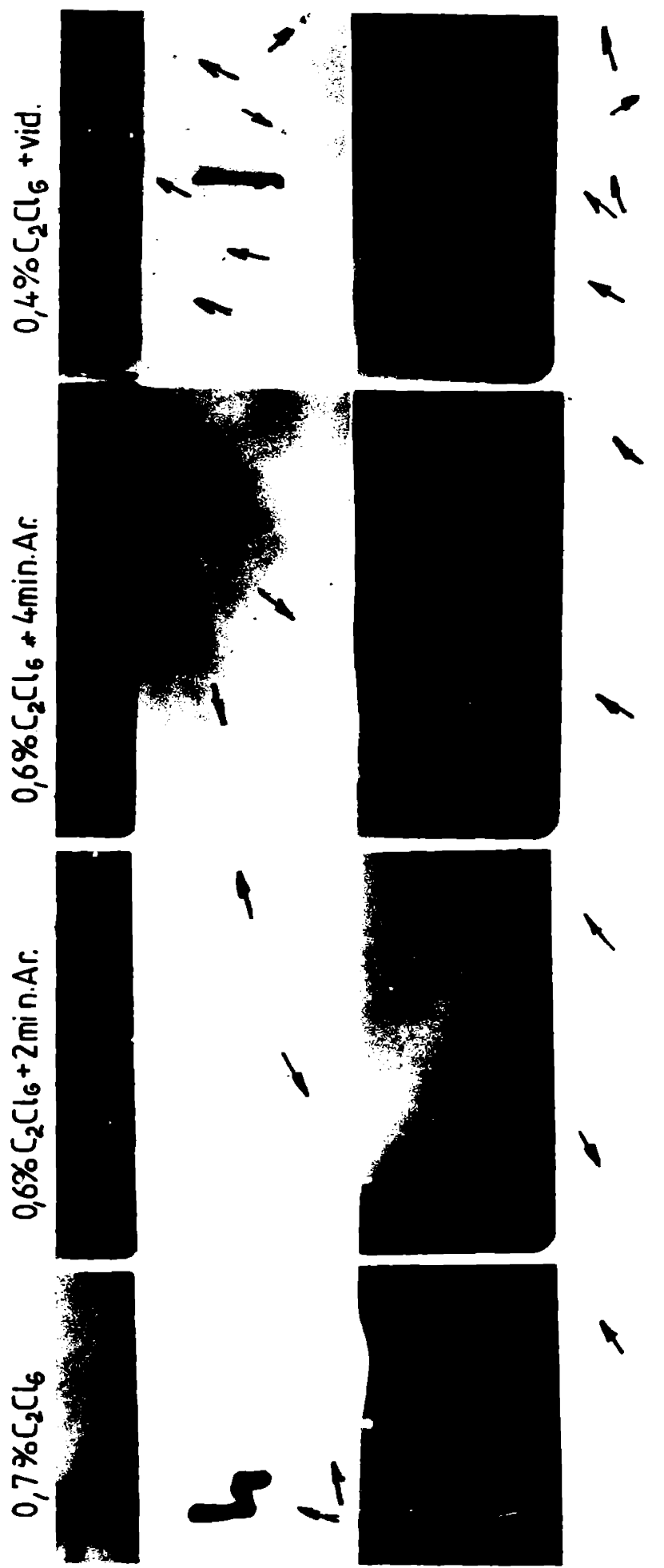


Fig.11.6  
De rezultatul IR - pentru PVC cu elutriat in acetona  
in urma variante de degazare  
(Regia de lucru „b”)

Fig.12.6 Logia din lucru a

reprezentantului de vîză, portând uniformă și capaceauă de vîză și portofel (cu o înaltă valoare)

Fig.12.7 Reprezentanța unui șef judecătorești în instanță, centrul reprezentator de vîză și portofel (acum cu lucru "ab")

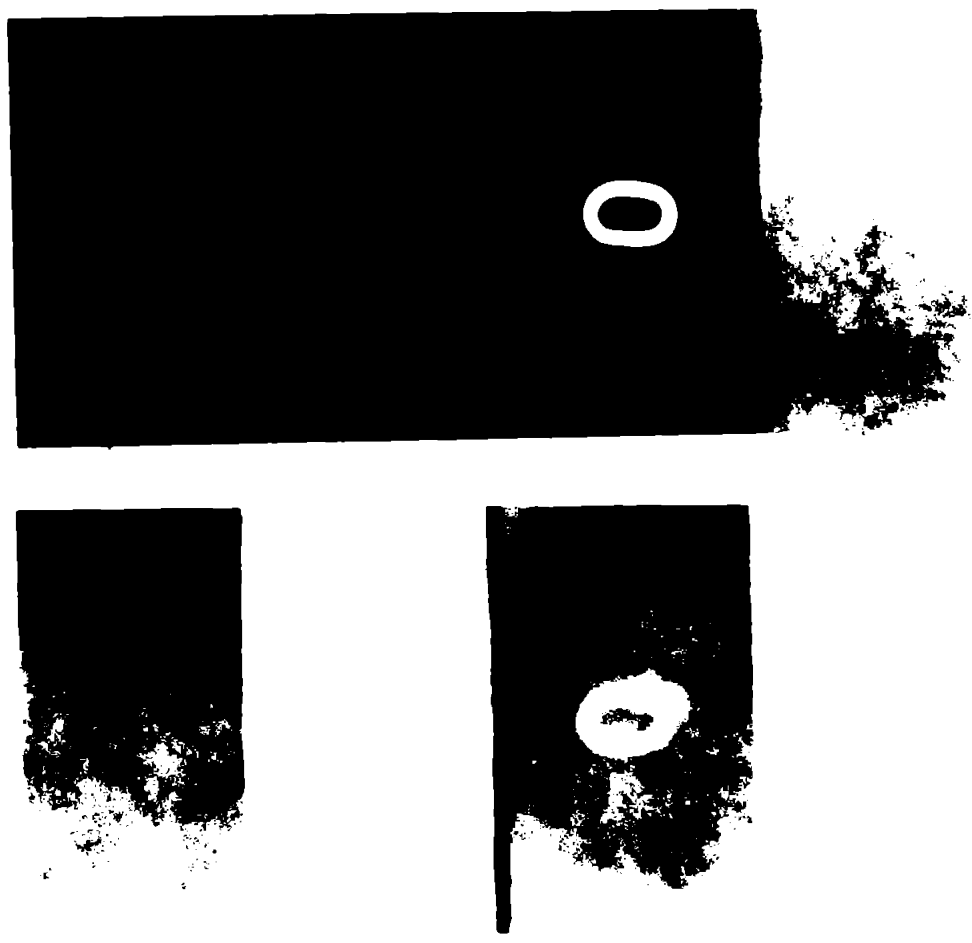


44



Regim de lucru "a" Regim de lucru "c"

$\rho = 50$  m.s. $^{-1}$   $\rho = 100$  m.s. $^{-1}$



Defectoskopie RX - porturi liniare eliptice in vidi(1C en.Cu.HG)

Fig.11.9  
Defectoskopie RX - porturi liniare eliptice in vidi  
(porturi de lucru "c")

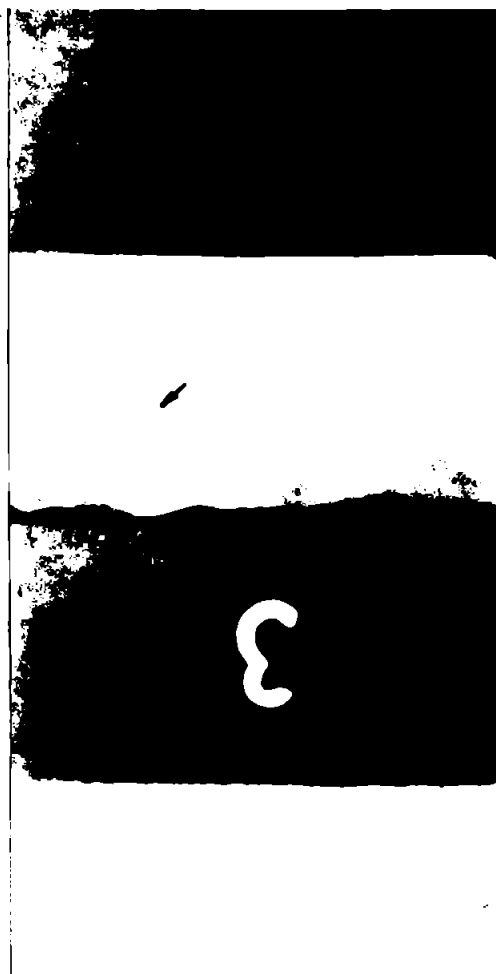


Fig.11.10  
Defectoskopie RX - porturi liniare eliptice in vidi  
(porturi de lucru "a")

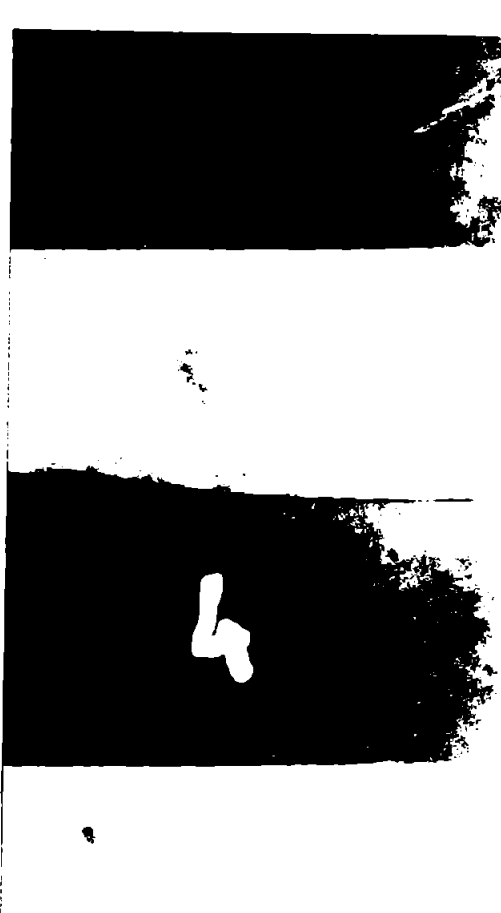


Fig.11.10  
Defectoskopie RX - porturi liniare eliptice in vidi  
(porturi de lucru "a")

$p = 55$  mm. escl. Hg

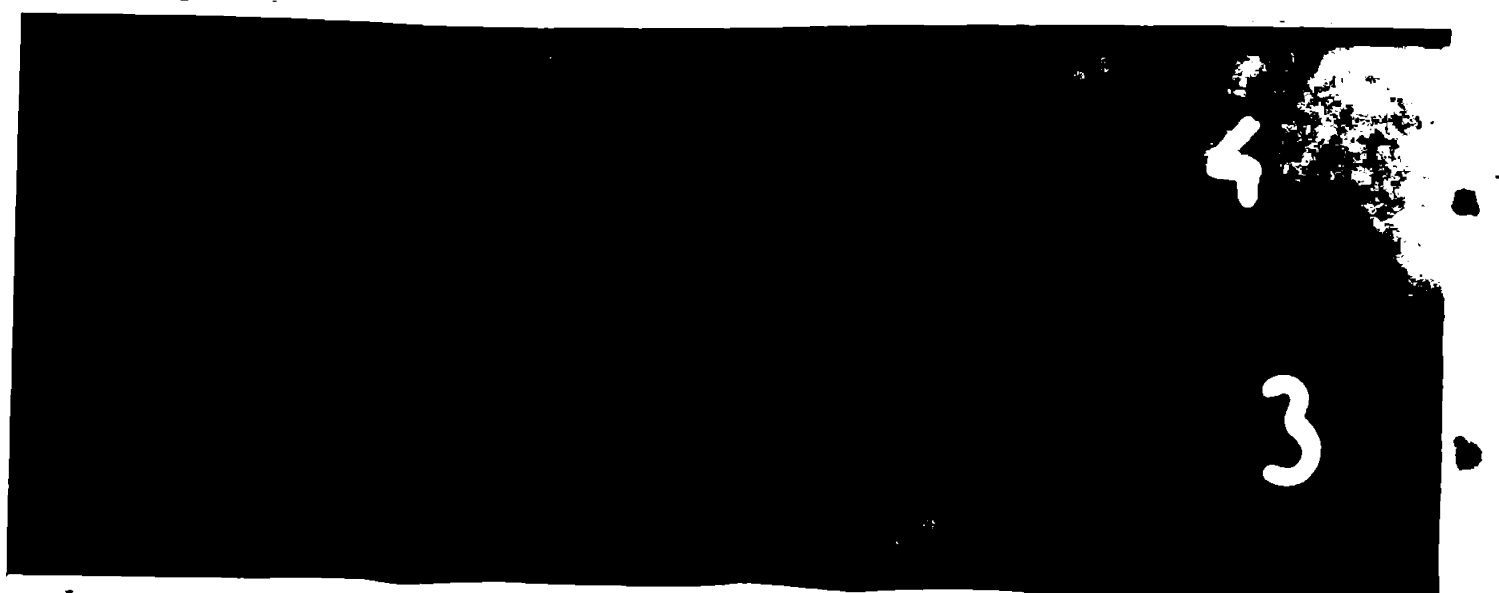


$p = 20$  mm. escl. Hg



(Regim de lucru, b")

Fig. II.11  
Defectoscopy RX - pentru aliajul elaborat  
in vid



$a = b = 760 \text{ mm.col.Hg}$

$b = 100 \text{ mm.col.Hg}$



$c = p = 50 \text{ mm.col.Hg}$

$d = p = 35 \text{ mm.col.Hg}$



$e = p = 20 \text{ mm.col.Hg}$

Fig.11.12  
"Endoscopia RX - pentru rali-jui elaborat în at-  
mosferă și în diferite nivale de vid. (Regim de  
lucru „c”)"

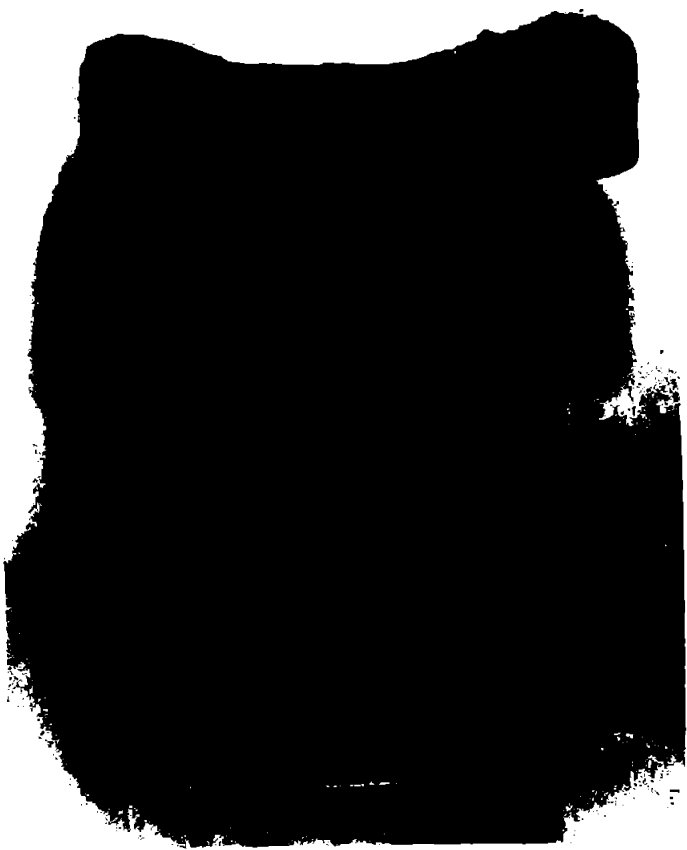


Fig.11.13

Piesă turnată în cochină, în atosferă, în ulei MC 400, elaboreat în atmosferă și degasat în vid.  
(nivel de vid. 9 mm.col.1g).  
Cimp vidare: 20 min;  
- Secționare mediană și reproducere foto.  
- Defecte(Pori B III) plante  
la marginea piesei: 0,05 %



Fig.11.14

Piesă turnată în cochină din ulei elaborat și turnat în vid.  
(p = 20 mm.col.1g)  
- Secționare mediană și reproducere foto.  
Lipsă totală defecte de turnare.

**Anexo Nr. V.**

- **Figura 12.3.**
- **Figura 12.4.**
- **Figura 12.5.**
- **Figura 12.6.**
- **Figura 12.7.**
- **Figura 12.24.**
- Figura 12.2.

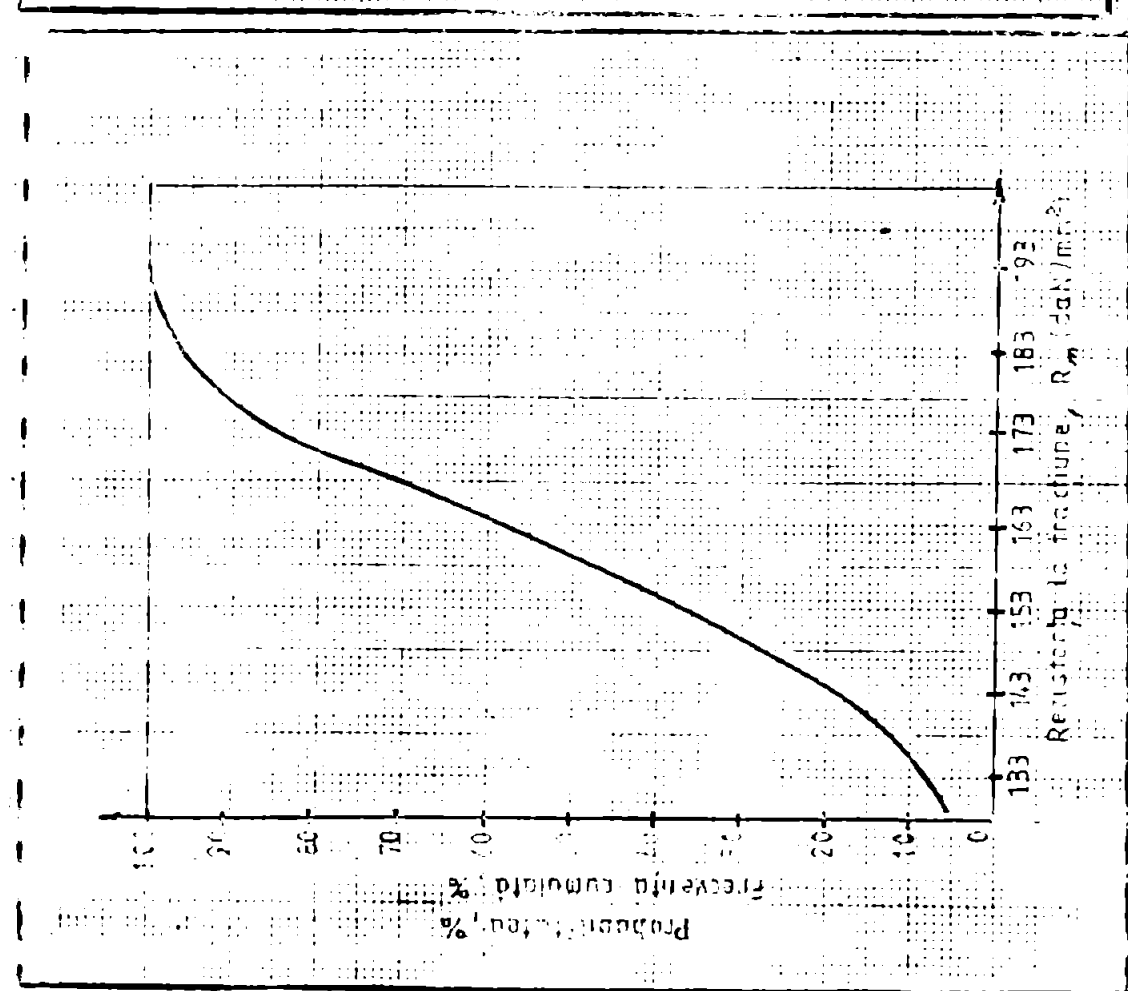


Fig. 12,3  
Máximo fração de fadiga cumulativa a valores de tensão  
constante na fratura em função da probabilidade de falha  
da vida peratura constante.

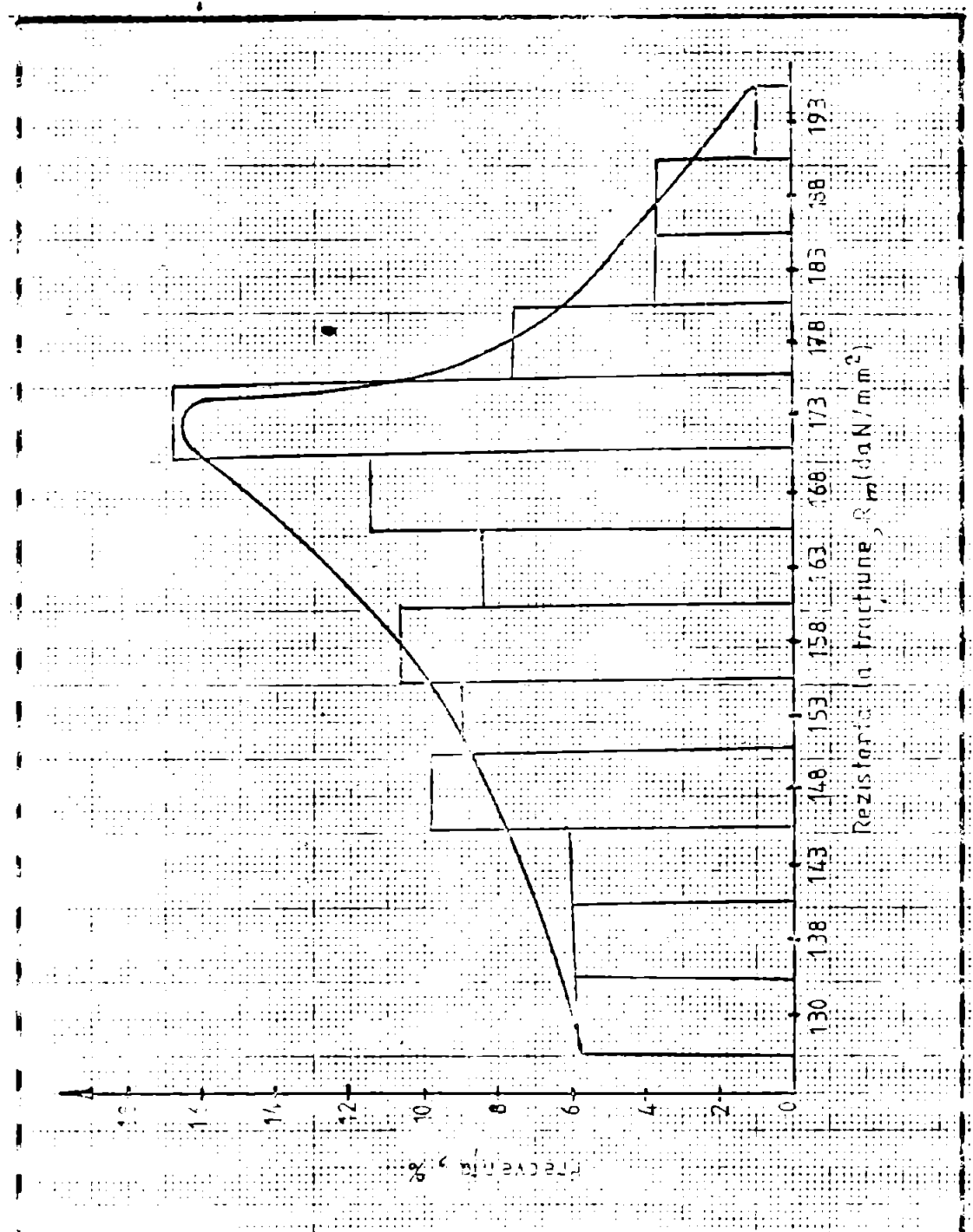


Fig. 12,2  
Máximo fração de fadiga obtida para resistências  
na fratura. Em função da resistência à fracção  
obtida.

Fig.12.5

Distribuția frecvenței cumulate a valorilor alungirii relative, funcție de nivelul de viață, pentru starea brut termică.

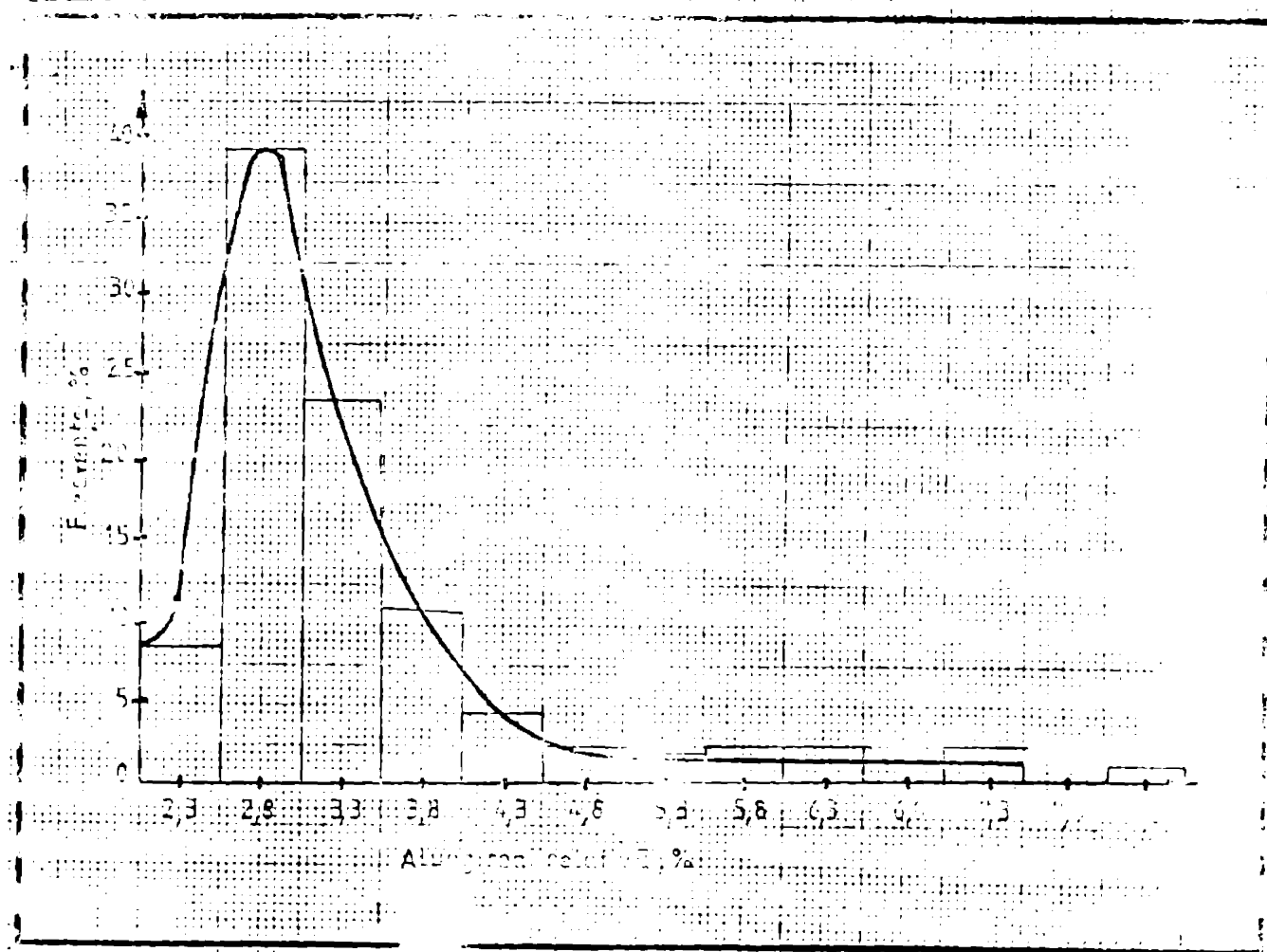
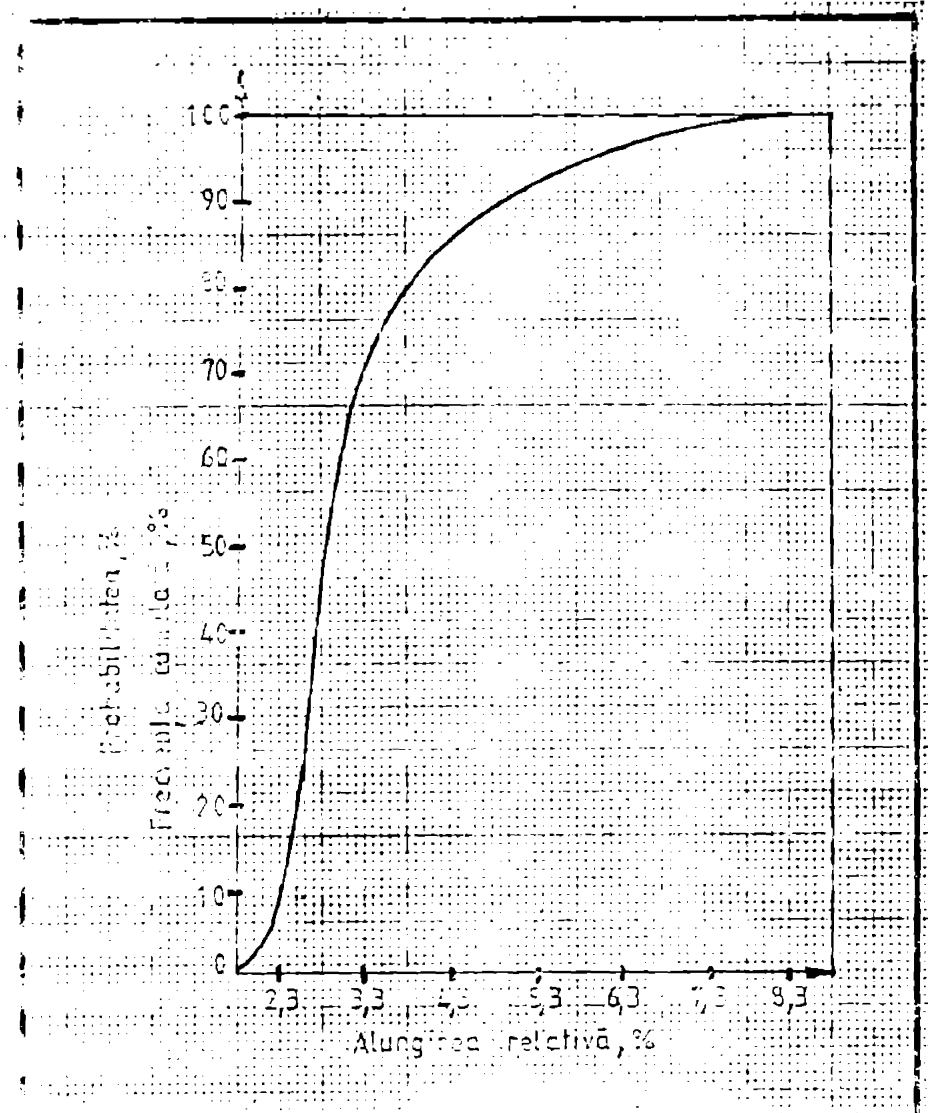


Fig.12.6

Distribuția frecvenței rezultatelor obținute pentru alungirile relative, în funcție de nivelul de viață aplicat la elanționarea eliată.

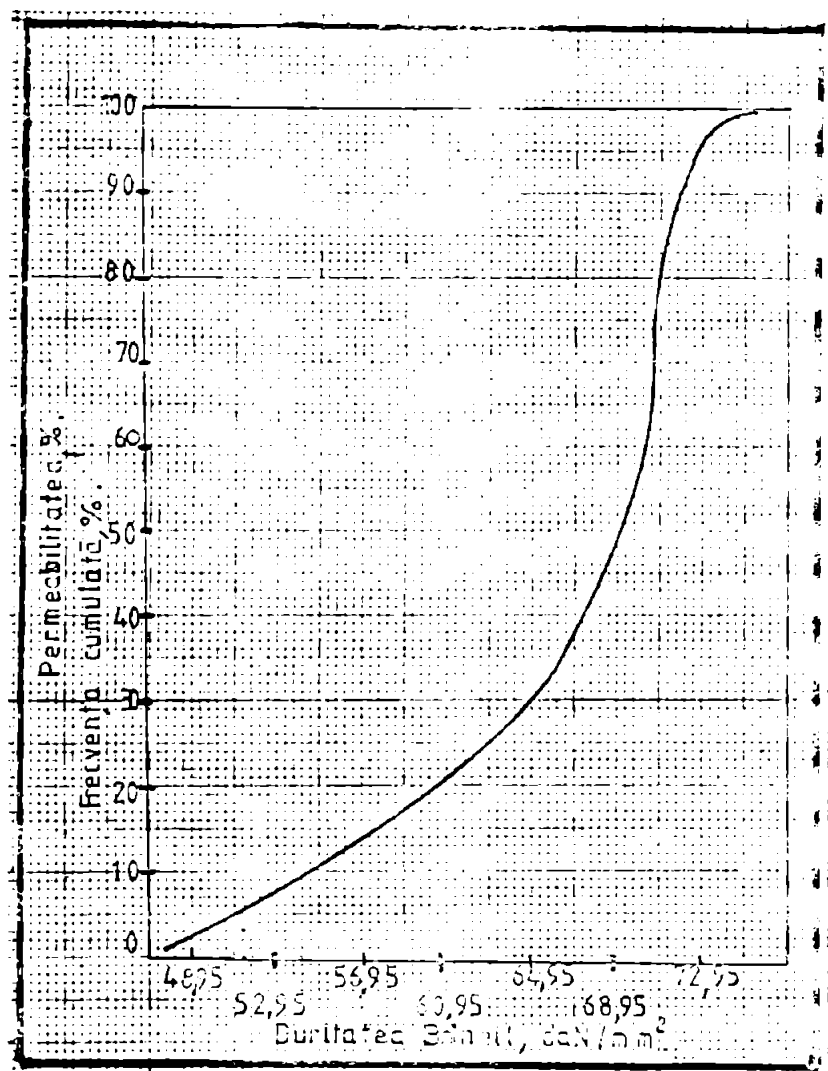


Fig. 12.7  
Distribuția frecvenței cumulate a valorilor durității Brinell  
funcție de nivelul de vid pentru starea brut termică

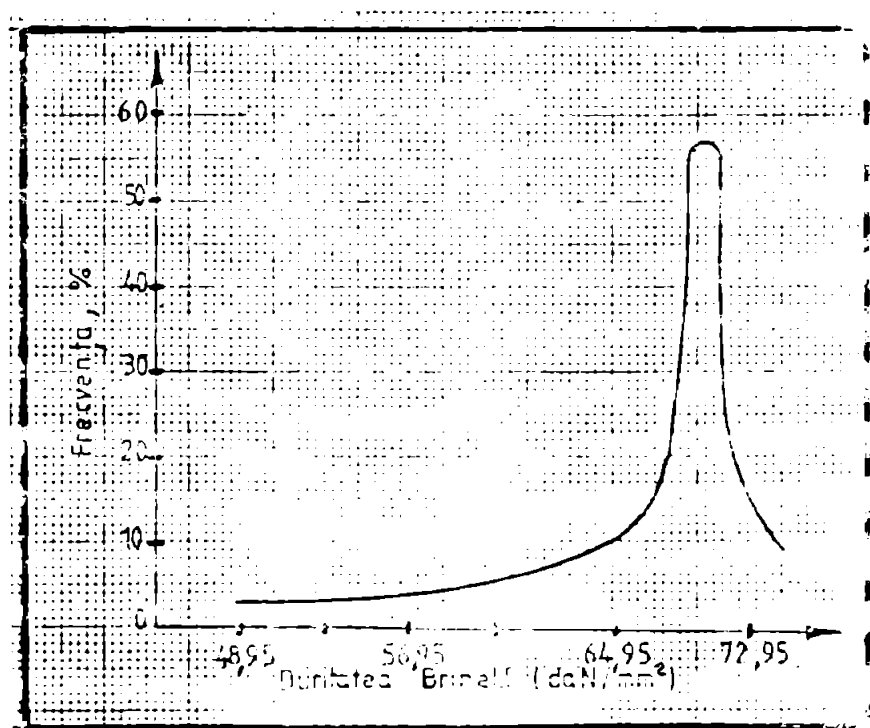
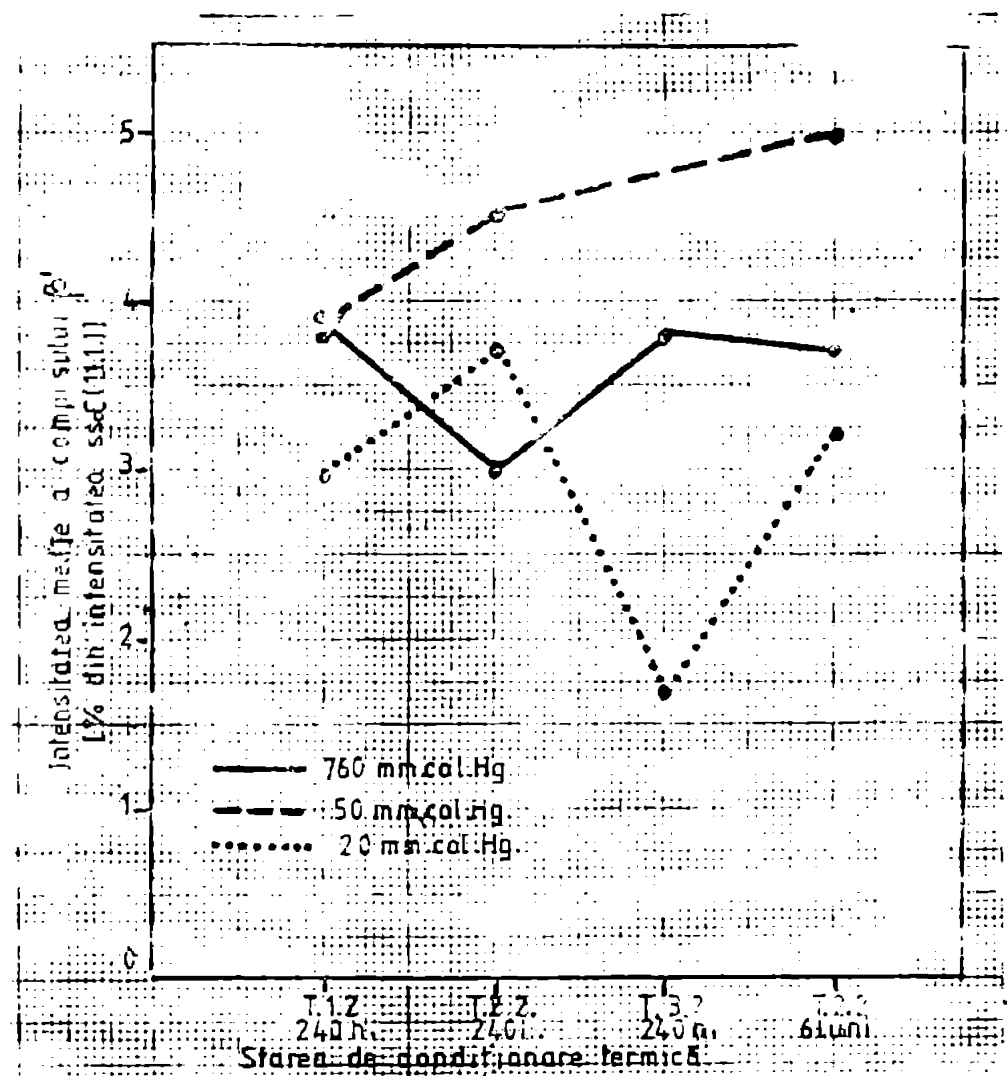


Fig. 12.6  
Distribuția frecvenței rezultatelor obținute pentru duritatea Brinell, în funcție de nivelul de vid aplicat la elaborarea eliozului



**Fig. 12.24**  
**Variatia compresionului in  $\beta'$  la conditio-**  
**narea termica a aliajului AlMg20, elaborat**  
**la diferite nivele de presiune.**

**Acum Nr. VI.**

- Procesul tehnologic de turnare pentru:  
 $\text{AlBe}_3$ ;  $\text{AlTi}_3\text{,}5$ ;  $\text{AlZn}_3$ ;  $\text{AlMg}_10$ .
- Procesul tehnologic de tratament termic.

Tabelul nr.1

Proses tehnologic de elaborare a prealăjului

Albe,

Caracteristici tehnologice materialelor tehnologice folosite		Moduri de execuție și etape	Procese tehnologice de elaborare a prealăjului
0.	1. Cuptoruri cu rezistență de rezistență electrică, exterioare. Din interior sunt elaboreate: to aleale, se respectă punctul treu elaborarea unei garaje de 100 Kg.	Operativitatea durată	<ul style="list-style-type: none"> <li>- Prezintă rezistență electrică, a lăzii de protecție, a suportelor portante și a suportelor de protecție.</li> <li>- Rezistența este realizată din aluminiu blz, sub ocașie de 50%.</li> <li>- Se contracetează la 0 °C în starea uscată, pentru 0,5 h.</li> <li>- Crește temperatura la 600 °C și se face prăjirea, la ocazie de 5%, după care se face prăjirea.</li> <li>- Rezistența este realizată din aluminiu blz, sub ocașie de 50%.</li> <li>- Se contracetează la 0 °C în starea uscată, pentru 0,5 h.</li> <li>- Crește temperatura la 600 °C și se face prăjirea, la ocazie de 5%, după care se face prăjirea.</li> <li>- Rezistența este realizată din aluminiu blz, sub ocașie de 50%.</li> <li>- Se contracetează la 0 °C în starea uscată, pentru 0,5 h.</li> <li>- Crește temperatura la 600 °C și se face prăjirea, la ocazie de 5%, după care se face prăjirea.</li> </ul>
2.	2. Cuptoruri cu rezistență de rezistență electrică, exterioare. Din interior sunt elaboreate: to aleale, se respectă punctul treu elaborarea unei garaje de 100 Kg.	Operativitatea durată	<ul style="list-style-type: none"> <li>- Prezintă rezistență electrică, a lăzii de protecție, a suportelor portante și a suportelor de protecție.</li> <li>- Rezistența este realizată din aluminiu blz, sub ocașie de 50%.</li> <li>- Se contracetează la 0 °C în starea uscată, pentru 0,5 h.</li> <li>- Crește temperatura la 600 °C și se face prăjirea, la ocazie de 5%, după care se face prăjirea.</li> <li>- Rezistența este realizată din aluminiu blz, sub ocașie de 50%.</li> <li>- Se contracetează la 0 °C în starea uscată, pentru 0,5 h.</li> <li>- Crește temperatura la 600 °C și se face prăjirea, la ocazie de 5%, după care se face prăjirea.</li> <li>- Rezistența este realizată din aluminiu blz, sub ocașie de 50%.</li> <li>- Se contracetează la 0 °C în starea uscată, pentru 0,5 h.</li> <li>- Crește temperatura la 600 °C și se face prăjirea, la ocazie de 5%, după care se face prăjirea.</li> </ul>

## Continuare tabel nr.1

6	Difuzorul este un element de 25 mm diametru. Diametru este de 0,7% din diametrul luminișului.	- Luminișul este o formă de secese de la un diametru de 25 mm și de lungimea de 100-120 mm.	- Diametru este de 0,7% din diametrul luminișului.	- Diametru este de 0,7% din diametrul luminișului.
7	Este un difuzor cu un diametru de 25 mm și lungimea de 100-120 mm.	- Este un difuzor cu un diametru de 25 mm și lungimea de 100-120 mm.	- Este un difuzor cu un diametru de 25 mm și lungimea de 100-120 mm.	- Este un difuzor cu un diametru de 25 mm și lungimea de 100-120 mm.
8	Este un difuzor cu un diametru de 25 mm și lungimea de 100-120 mm.	- Este un difuzor cu un diametru de 25 mm și lungimea de 100-120 mm.	- Este un difuzor cu un diametru de 25 mm și lungimea de 100-120 mm.	- Este un difuzor cu un diametru de 25 mm și lungimea de 100-120 mm.
9	Este un difuzor cu un diametru de 25 mm și lungimea de 100-120 mm.	- Este un difuzor cu un diametru de 25 mm și lungimea de 100-120 mm.	- Este un difuzor cu un diametru de 25 mm și lungimea de 100-120 mm.	- Este un difuzor cu un diametru de 25 mm și lungimea de 100-120 mm.

Continuare tabel nr.1

1	8	9	10
2	3	4	5
3	6	7	8
4	5	6	7
5	6	7	8
6	7	8	9
7	8	9	10
8	9	10	11
9	10	11	12
10	11	12	13
11	12	13	14
12	13	14	15
13	14	15	16
14	15	16	17
15	16	17	18
16	17	18	19
17	18	19	20
18	19	20	21
19	20	21	22
20	21	22	23
21	22	23	24
22	23	24	25
23	24	25	26
24	25	26	27
25	26	27	28
26	27	28	29
27	28	29	30
28	29	30	31
29	30	31	32
30	31	32	33
31	32	33	34
32	33	34	35
33	34	35	36
34	35	36	37
35	36	37	38
36	37	38	39
37	38	39	40
38	39	40	41
39	40	41	42
40	41	42	43
41	42	43	44
42	43	44	45
43	44	45	46
44	45	46	47
45	46	47	48
46	47	48	49
47	48	49	50
48	49	50	51
49	50	51	52
50	51	52	53
51	52	53	54
52	53	54	55
53	54	55	56
54	55	56	57
55	56	57	58
56	57	58	59
57	58	59	60
58	59	60	61
59	60	61	62
60	61	62	63
61	62	63	64
62	63	64	65
63	64	65	66
64	65	66	67
65	66	67	68
66	67	68	69
67	68	69	70
68	69	70	71
69	70	71	72
70	71	72	73
71	72	73	74
72	73	74	75
73	74	75	76
74	75	76	77
75	76	77	78
76	77	78	79
77	78	79	80
78	79	80	81
79	80	81	82
80	81	82	83
81	82	83	84
82	83	84	85
83	84	85	86
84	85	86	87
85	86	87	88
86	87	88	89
87	88	89	90
88	89	90	91
89	90	91	92
90	91	92	93
91	92	93	94
92	93	94	95
93	94	95	96
94	95	96	97
95	96	97	98
96	97	98	99
97	98	99	100

Proces tehnologic de elaborare a prealbaștului

ALFI 3,5

Tabel nr.2

Nr. ord.	Operatiunile	Caracteristicele materiilor prime și ale materialelor tehnologice folosite	Locul de executie și de control
1	Cizajirea creuzecuță de rezultatelor elaborării interioare. În exterior se va elabora elas- alajlo, se topeste pentru apăzură o serie de linguri.	<ul style="list-style-type: none"> <li>- Creuzecuță rezultată din rezultatelor elaborării interioare. În exterior se va elabora elas- alajlo, se topeste pentru apăzură o serie de linguri.</li> </ul>	<ul style="list-style-type: none"> <li>- Control visual inclusiv inspecție și proiecție creuzecuță.</li> </ul>
2	Comprimarea incarcării peșterii elaborării ulei, urmă de locte.	<ul style="list-style-type: none"> <li>- Autoclavul ST/3 7307/L-SU-99,5 Kg (inelativ ardere).</li> <li>- Titân este încărcat sub formă de burte de titân(99,6%) = 4,05 Kg.</li> </ul>	<ul style="list-style-type: none"> <li>- Va executa finaliza chineză de recepție chiar după materialul este învățit de certificat de calitate.</li> <li>- Al doilea se va executa prin căldură, la un căntar buscule, de 200 Kg.</li> <li>- Buretele de titân se va întări cu la o balanță de 0-5 Kg. folosind bucăță de titân, 20-50 mm, din obiectul echivalență.</li> </ul>
3	Producerea creuzecuță. În producere: prăjire portocală aluminiu bloc, sub. oca. XCI, fondant de protecție.	<ul style="list-style-type: none"> <li>- Fondantul de protecție sub formă de linguri ocupă din 65%, BaCl<sub>2</sub> 4,35%, BaCl<sub>2</sub> V. fără stare uscată, pcr. eliminare parțială apă de conținutul de fondant și folosește în proporție de 5% din creutzecuță.</li> </ul>	<ul style="list-style-type: none"> <li>- Controlul incarcării și prăjirii de rezultat se face în laborator.</li> <li>- Creuzecuță va fi prezentată la temperatură de min. 600 C.</li> <li>- Controlul temperaturii de vîrf se face prin sondaj, de oca. 5-6 ori pe minut.</li> <li>- Temperatură de fondare se menține în domeniul 600-700 C.</li> </ul>
4	Topirea întreagii cantități de AL 96,99 sub fondant de protecție.		

Continuare tabel nr.2

9	<p><b>Desenarea barii de aluminiu cu hemisferetan(0,7% din fundalul clasic metalului).</b></p> <ul style="list-style-type: none"> <li>- Recalor este rezultatul se pastilează în doze de 25-50°C și se câștigă în formă de aluminiu.</li> <li>- Cantitatea totală se introducă în 3-5 reprise, pentru a se menține în baie.</li> <li>- Înaintea începerii operațiunii de degazare, se formează o nouă legătură din eca, JDX fondant de protecție, care să îndepărteze,</li> </ul>	<p><b>1</b> Temperatura barii în momentul de gazezare, de 700-720°C, va fi testată cu un termocuplu tip Ni-NiCr(20-1200°C).</p> <ul style="list-style-type: none"> <li>- Rezulatul va fi permanentă, fondant de protecție.</li> </ul>	<ul style="list-style-type: none"> <li>- Închiderea barii cu rezultatul în aluminiu topit se face cu un clopot perforat, cu tija din otel refracție, protejat cu vopsea refractară VCA 2.</li> <li>- Pe totul perioada de susținere va funcționa înstalația la 100% de ventilare.</li> <li>- Se îndepărtează legătura formă, în timpul desfazării, cu sculele metalice scoase din vopsea refracție VCA 2.</li> <li>- Intrăchiderea titrului se face cu termocuplul PtRh 10%Pt, tip Ni-NiCr(20-1200°C).</li> <li>- După oprirea întregii conținutări se face o verificare a fluviului de protecție.</li> <li>- Controlul temperaturii se face cu termocuplul PtRh 10%Pt, tip Ni-NiCr(20-1200°C).</li> <li>- După oprirea întregii conținutări se face o verificare a fluviului de protecție cu vopsea refracție VCA 2.</li> </ul>
10			
11			
12			
13			

Continuare tabel nr.2

3	Se creste suprafata de regajis semipastor, timp de 5-10 min.	<ul style="list-style-type: none"> <li>- In acelasi perioada se face o oxigenizare buna a jid- ului, conform centru o decora- tare provizorie din a evad- bulelor lipuri tale.</li> <li>- Se indeparteaza ultima lagum- pentală devoratoră.</li> </ul>
4		<ul style="list-style-type: none"> <li>- Turnarea se face la tempera- tură cu frig (temp. 15°C- 20°C) pre inoxilizată la 300-350°C si protejată cu vopsea refrac- toară Vca 2.</li> <li>- Se transacție proba la labora- tor pentru efectuarea analizei solubilității.</li> </ul>
5	Informatia obtinuta este urmatoare: Alte rezultate	<ul style="list-style-type: none"> <li>- Informatia obtinuta se vor depozita în special fisiile de lucru și în spatele șuruburilor și fișele cu lăburi și sunt sau ne- certificabile organice.</li> <li>- Șuruburile se marotează prin polancon sau cu tamperă de gaură și ele nu mai ju- lui.</li> </ul>
6		

Tabel nr.3

## Procese tehnologice de elaborare a prealăajului

ALZP 5

Nr. crt.	Operatiunea	Caracteristicile materialelor prime si ale materialelor tehnologice folosite	Iodul de executie si de control
1	<u>Cuțitarea creuzelor din de rezervă elborită anterioare.</u> Dacă anterior s-a elaborat altă aliajă, se topește punctul apărare o săptămăni după ce.	- Cuțitarea în bloc, în rea 99,99% Cu 7001/1-35 = 90 Kg (m-eculativ arătoare). - Zirconiu met. 1 (ceramica) = 5,3 Kg.	<ul style="list-style-type: none"> <li>- Control visual inclusiv în-tozitatoa și grosimea creuzeturui.</li> </ul>
2	<u>Compunerea în blocuri pentru elaborarea unei varje de 100 Kg.</u>	- Cuțitarea în bloc, în rea 99,99% Cu 7001/1-35 = 90 Kg (m-eculativ arătoare).	<ul style="list-style-type: none"> <li>- Se va executa analiza chimică de recepție chiar dacă măsură lățime este însoțit de certificatul de calitate.</li> <li>- Azi 9,99 se dozează prin cintări pe un cintor hidraulic de 200 Kg.</li> <li>- Cintorul se întărește la o bolanșă 6-5 Kg, fiind măsurat în lucru de aprox. 25-50 mm, diametru echiv. lung. 100 mm.</li> </ul>
3	<u>Prepararea creuzeturii.</u>	- Fondatorul de protecție, sub forma de 100 grame din 65 % BaCl + 35 % CaCO <sub>3</sub> , în stare hectar. Punctul este minunea apel de constiție.	<ul style="list-style-type: none"> <li>- Control visual inclusiv în-tozitarea și grosimea creuzeturii de rezervă elborită.</li> <li>- Creuzetul va fi prefirat la temperatură de min. 600°C.</li> <li>- Montajul creuzeturii în cadrul de uscare se face în laborator.</li> <li>- La temperatură de 500°C se face printr-un sondaj, decca 5-6 ori pe surjii.</li> <li>- Temperatura de tozire se menține în domeniul 600-700°C.</li> </ul>
4	<u>Rezerva lăzare și cantică de Al 99,99 sub fondator de protecție.</u>	- Fondatorul se folosește în proporție de 5 - din greutatea surjetă.	

Continuare tabel nr. 3.

## Continuare tabel nr. 3

0		
1	• Utilizarea cilindrului interneșteur sprijinat de 5-10 mm prin intermediară sau suportă supradimensionată	- Utilizarea cilindrului interneșteur - Utilizarea cilindrului interneșteur de 5-10 mm sprijinat de un suport de 10-15 mm - Utilizarea cilindrului interneșteur de 5-10 mm sprijinat de un suport de 10-15 mm - Utilizarea cilindrului interneșteur de 5-10 mm sprijinat de un suport de 10-15 mm
2		- Utilizarea cilindrului interneșteur - Utilizarea cilindrului interneșteur de 5-10 mm sprijinat de un suport de 10-15 mm - Utilizarea cilindrului interneșteur de 5-10 mm sprijinat de un suport de 10-15 mm
3		- Utilizarea cilindrului interneșteur - Utilizarea cilindrului interneșteur de 5-10 mm sprijinat de un suport de 10-15 mm - Utilizarea cilindrului interneșteur de 5-10 mm sprijinat de un suport de 10-15 mm

Alzr 3

Tabloul Nr.4

Proces tehnologic de elaborare a altajelui

ATM210

Nr. crit.	Operatiunea	Cantitatea materialelor tehnologice folosite	Produs de echipaj
0	Curățirea creuzetului de reglajelor el. în interiorul. Dacă interiorul este doar cu alte el. și se va avea nevoie să fie o săritură de alinișul componentelor unui parție de IEC.	prin următoarele măsurări: - control vizual inclusiv în toate direcțiile și grosimea orizontală.	de control
1	Conținutul de reglajelor el. în interiorul el. doar cu alte el. și se va avea nevoie să fie o săritură de alinișul componentelor unui parție de IEC.	- Jumătate blocuri murea 99,99 - STAS 700/7,1-246(înclusiv ardere).	- Se execută în linie chindiu de reconfigurare dinca vechiul este înlocuit de certificat de o-Lines. - Al 99,99 30 dozează prima cărătură, la un distanță de 200 mm. - Prealăjole și 11 ajule ATM210 - și se montează la 99-1508/160 pzi. după ce se montează - și se montează la o bulană C-5Kg. - Prealăjole și rea exterioară - metalice pzi. și se montează la - purtătorul și se puntează la - săi rupești în date de 150-250 °C. - AT 107-1 se vor introduce - în baza buzață mai mică de - 50 g, pzi. a servicii periodice - autoprinderei pzi. bale. - Al 99,99, bloc, STAS - 201/1-77-2,1 K, pzi. corect - și a conținutului în siliciu - prealăjoli 3,5-2,7% - pzi. modulării și înțepătură - ATM210. Le altă compozitie - chimică (x1 ≠ 3,5), se refac - ealculii și garanția.

Continuare tabel nr. 4

<p>- Prezentat la 25°C și 50°C alii: bulin Al2O3, LiCl și legătură reflexă oțelul curată.</p> <p>- Prezintă NDE și LOKS (un- compozit de căuciuri, Li + 3)</p>	<p>- Vom muta obiectul într-o formă de necete: cod ab. Ln. c. bulin (n: 5) + LiCl + 20%Li + + 15%Al2O3 + 1% V2O5 și să se rețină 2: min. 250°C pentru elinduirea apel de se vasește celor trei stări.</p> <p>- Vom muta obiectul într-o formă de necete: cod ab. Ln. c. bulin (n: 5) + LiCl + 20%Li + + 15%Al2O3 + 1% V2O5 și să se rețină 2: min. 250°C pentru elinduirea apel de se vasește celor trei stări.</p>	<p><b>Procedura crezeturii:</b></p> <p>- trăsătură primă portă de calorificu bulin, sub 300° fondant de protecție.</p> <p><b>4. Întărită precizătură și sud fluxuri protectori.</b></p>	<p>- Controlul crezeturii și rezultatul de lucru se va efectua după ce se va calora obiectul la la temperatură de min. 650°C.</p> <p>- Controlul crezeturii și rezultatul de lucru se va efectua după ce se va calora obiectul la la temperatură de min. 650°C.</p> <p>- Vom introduce în baza de Al cu flux de protecție.</p> <p>- Vom introduce în baza de Al cu flux de protecție.</p>	<p>- Vom introduce în baza de Al cu flux de protecție.</p> <p>- Vom introduce în baza de Al cu flux de protecție.</p> <p>- Vom introduce în baza de Al cu flux de protecție.</p> <p>- Vom introduce în baza de Al cu flux de protecție.</p> <p>- Vom introduce în baza de Al cu flux de protecție.</p>	<p>- Vom introduce în baza de Al cu flux de protecție.</p> <p>- Vom introduce în baza de Al cu flux de protecție.</p> <p>- Vom introduce în baza de Al cu flux de protecție.</p> <p>- Vom introduce în baza de Al cu flux de protecție.</p> <p>- Vom introduce în baza de Al cu flux de protecție.</p>
<p><b>5. Vopsea înțepătătoare</b></p>	<p>- Vom introduce înțepătătoare într-o formă de protecție.</p>	<p><b>6. Degresarea</b></p>	<p>- Vom introduce înțepătătoare într-o formă de protecție.</p>	<p>- Vom introduce înțepătătoare într-o formă de protecție.</p>	<p>- Vom introduce înțepătătoare într-o formă de protecție.</p>
<p><b>7. Încălzirea</b></p>	<p>- Vom introduce înțepătătoare într-o formă de protecție.</p>	<p>- Vom introduce înțepătătoare într-o formă de protecție.</p>	<p>- Vom introduce înțepătătoare într-o formă de protecție.</p>	<p>- Vom introduce înțepătătoare într-o formă de protecție.</p>	<p>- Vom introduce înțepătătoare într-o formă de protecție.</p>
<p><b>8. Încălzirea</b></p>	<p>- Vom introduce înțepătătoare într-o formă de protecție.</p>	<p>- Vom introduce înțepătătoare într-o formă de protecție.</p>	<p>- Vom introduce înțepătătoare într-o formă de protecție.</p>	<p>- Vom introduce înțepătătoare într-o formă de protecție.</p>	<p>- Vom introduce înțepătătoare într-o formă de protecție.</p>

**Continutul tubelui nr.4**

C	1	2	3	4
de indepartat zgomotul formelor	In timpul operatiilor de deszare.	- Sistemul este destinat de protectie a barii din casă, 35-50 cm. - Se introduce într-o centură încărcată cu NTR și NC.	- Sistemul este destinat de protecție a barii din casă, 35-50 cm. - Se introduce într-o centură încărcată cu NTR și NC.	- Sistemul este destinat de protecție a barii din casă, 35-50 cm. - Se introduce într-o centură încărcată cu NTR și NC.
călătorii				
în tubul formelor				
clonet periorat cu tigăj, din VCA				
cu totul portocaliu deschisul				
vizion VCA				
reacție la ardere				
în tubul formelor				
clonet periorat protejat cu				
clonet periorat cu tigăj, din				
VCA				
reacție la ardere				

Centraal-tableau nr. 4

9	<b>Supraveghere de la periodul de lucru</b>	<p>- Temperatura de supraveghere a lui 11 iulie, în valoare de 72 °C.</p> <p>D.</p> <ul style="list-style-type: none"> <li>- Alegorii utile pentru bordurile V - 21 de la următoarele 99, 996 conform DIN 7355-75 (ENP).</li> <li>- Recomandări privind colectarea și licidelor.</li> </ul>
10	<b>Supraveghere de la perioada de lucru</b>	<p>- Recomandări privind colectarea și licidelor.</p> <p>B.</p> <ul style="list-style-type: none"> <li>- Recomandări privind colectarea și licidelor.</li> </ul>
11	<b>Recenzări de la perioada de lucru</b>	<p>- Recomandări privind colectarea și licidelor.</p> <p>C.</p> <ul style="list-style-type: none"> <li>- Recomandări privind colectarea și licidelor.</li> </ul>

Continuare tabel nr.4

0		
1		<p>T. Modificare în terenul cu prăjii și su coabitare de păsări sălăjei roșii.</p> <ul style="list-style-type: none"> <li>- Cantitatea de edificator unic, sau de combinații modificată nu va depăși valoarea de 0.15%, în ceea ce contrazință se poate semnala de suprareducere.</li> </ul>
2	sc V. adaugă 3-10% din grădătatea esteecului sulf pentru clădiri necodificate în turul I.	<p>sc V. adaugă 3-10% din grădătatea esteecului sulf pentru clădiri necodificate în turul I.</p> <ul style="list-style-type: none"> <li>- Sulful se introduce în fondatul de protecție după oală dintr-o insecticidă.</li> <li>- sc V. adaugă 3-10% din grădătatea esteecului sulf pentru clădiri necodificate în turul I.</li> </ul>

Continuare tabell nr.4

**Proces tehnologic de tratament termic a stelajului**  
**Abraziu**

Nr. ord.	Operatiunile	Cariectristicile materialelor tehnologice și parametrii de tratament	Modul de execuție și control
1.	1. Apararea piezelor pe dispozitiv 2. Abluția de tratament termic.	<p>- Dispozitivul de abrazie este un stelaj, realizat din oțel reflector ou două etaje pe care piezele se apantă pe cîrlitură înțimală. În grosimea piezelor sunt inserate de perete. Astfel piezele sunt împreună cu grosimea mare de perete și cu grosimea mică de perete pînă la cel de sus.</p> <p>Piezele se apantă în poziție unei măști săriale cu formă lor geometrică pentru a nu se producă deformările în timpul tratamentului.</p> <p>Abluția - În se vor introduce piezele în cuptorul de tratament, dacă temperatura acestuia este mai mare de 150-200°C. Pot apărea modificări strurale cu reperele liniștite și unele caracteristicele fizico-mecanice.</p>	<p>1. Apararea piezelor pe dispozitiv</p> <p>2. Intrăderea dispozitivului în închînătura cuptorului de tratament și înșiruirea cîrlui.</p>

Count1 names table1.htm:5

Continuum table no. 5

*Anexa Nr. VII.*

**- Listingul programului de calcul.**

## LISTINGUL PROGRAMULUI DE CA

```

27      DATA VNE2U1/1.0,1.2,0.8,0.3,0.7/
28      DATA VNE2U2/1.0,1.2,0.7,0.3,0.7/
29      DATA VNE2U3/1.0,0.9,2.0,0.9,0.6/
30      DATA VNE2U4/1.0,5.0,2.0,5.0,2.0,0.6/
31
32      DATA VFM/760.,140.5,30P+15,0.6,290.,157.5,100.,11
33      S,171.,26.,172.P,2L.,176.5,5.0,192.5,0.0,1,140.4,9.0,0.1
34      DATA VFM/760.,2.63,380.,2.08,340.,2.85,7.0P+12,0.5,1
35      $20.,3.20,10.,3.0P,5.0,3.08,0.3,4.50,0.05,4.67/
36
37      DATA VH8/760.,74.85,380.,71.2,7.0P+70.0U,4.0U+3.7-
38      371.1R,20.,71.12,30.,72.,5.0,71.54,0.1,54.70,0.05,1
39      DATA VNE35/1.0,7.0,4.0,7.0,3.0,6.0/
40      DATA VNE352/1.0,7.0,2.0,0.0,3.0,5.0/
41      DATA VNE353/1.0,6.0,2.0,5.0,3.0,4.0/
42      DATA VNE354/1.0,5.0,2.0,4.0,3.0,4.0/
43
44      DATA VNE101/1.0,0.0,2.0,7.0,3.0,0.0/
45      DATA VNE102/1.0,0.0,2.0,7.0,3.0,0.0/
46      DATA VNE103/1.0,7.0,2.0,0.0,2.0,0.0/
47      DATA VNE104/1.0,7.0,2.0,5.0,3.0,0.0/
02.02          ALMG      12/L7/1
48      DATA MGNF/0.,2.0,0.0,3.0,140.,2.0,41.0,40.,12.,6.0/
49      DATA ZPNF/0.07,7.0,0.15,0.0/
50      DATA TTNF/0.15,5.0,0.05,7.0,0.3,2.0,6.0,0.2.0/
51      DATA VN/760.,380.,190.,100.,50.,35.,20.,5.0,0.1,0.0
52      DATA EN/4.0,5.0,3.0,3.0,5.0,0.0,6.0,0.0,3.0,2.0/
53      DATA RMG/4.750,9.075,9.770,9.720,9.740,9.740,0.0,0.0
54      $760/
55
56      DATA TT1/1.0,2.0,4.0,5.0,3.0,4.0,4.0,2.0,5.0,2.0/
57      DATA TT2/1.0,3.0,4.0,5.0,3.0,5.0,4.0,2.0,5.0,1.0/
58      DATA TT3/1.0,4.0,2.0,6.0,5.0,5.0,4.0,3.0,5.0,1.0/
59      DATA TT4/1.0,3.0,2.0,7.0,3.0,6.0,4.0,4.0,5.0,2.0/
60
61      DATA TPP35/1.0,243.0,2.0,165.0,3.0,105.0,4.0,137.0,5.0,1.0
62      DATA TPM35/1.0,251.5,2.0,322.0,3.0,21.0,4.0,127.0,5.0,2
63      DATA TRA35/1.0,4.0,8.0,2.0,4.0,4.0,3.0,17.0,4.0,8.0,5.0,1.0
64      DATA TPH35/1.0,P1.0,2.0,89.7,2.0,65.0,8.0,4.0,77.0,5.0,1.0
65      DATA TRK35/1.0,7.0,4.0,2.0,4.0,7.0,2.0,5.0,1.0,4.0,2.0,6.0,5.0,1.0
66      DATA TDP2U/1.0,123.0,2.0,165.0,3.0,105.0,4.0,148.0,5.0,1.0
67      DATA TPM2U/1.0,257.0,2.0,325.0,3.0,245.0,4.0,245.0,5.0,2.0
68      DATA TRA2U/1.0,4.0,8.0,2.0,4.0,8.0,1.0,3.0,4.0,8.0,1.0,5.0,1.0
69      DATA TRH2U/1.0,P1.0,2.0,89.7,1.0,3.0,8.0,2.0,4.0,72.0,5.0,1.0
70      DATA TPK2U/1.0,2.0,2.0,4.0,5.0,3.0,5.0,6.0,4.0,3.0,5.0,1.0
71      DATA TPP3U/1.0,126.0,2.0,104.0,3.0,700.0,4.0,146.0,5.0,1.0
72      DATA TPM1U/1.0,256.0,2.0,354.0,3.0,231.0,4.0,344.0,5.0,2.0
73      DATA TPA3U/1.0,4.0,7.0,2.0,1.0,3.0,12.0,5.0,4.0,0.0,5.0,2.0
74      DATA TRH1U/1.0,P1.0,2.0,89.7,0.0,3.0,8.0,0.0,6.0,9.0,7.0,5.0,1.0
75      DATA TPK1U/1.0,2.0,2.0,5.0,3.0,3.0,5.0,0.0,4.0,2.0,5.0,1.0///
76      DATA TPP5/1.0,128.0,2.0,100.0,3.0,169.0,4.0,145.0,5.0,1.0
77      DATA TPM5/1.0,262.0,2.0,355.0,3.0,331.0,4.0,295.0,5.0,2.0
78      DATA TRA5/1.0,5.0,7.0,10.0,10.0,3.0,14.0,4.0,6.0,4.0,5.0,1.0
79      DATA TRH5/1.0,02.4,2.0,40.0,5.0,3.0,0.0,9.0,4.0,3.0,5.0,1.0
80      DATA TPK5/1.0,2.0,7.0,2.0,5.0,0.0,3.0,0.0,9.0,4.0,3.0,5.0,1.0
81
82      WRITE(10P,15)
83      15      FORMAT(//,14X,'> STRuktura PRIMARA <<')
84
85      CURELATIA VID_EATALON .
86
87      DO 20  I=1,11
88      X(I)=VN(I)
89      Y(I)=EN(I)
90
91      20      CUNTINUE
92      WRITE(10P,1)
93      1      FORMAT(//,14X,'>> VTO_EATALON <<')
94      CALL CORF(Y,Y,1.0,A,0.0,A1,P1,C1,PX,UY,D)
95      CALL CORF_n

```

```

      95      C
      96      C      CORELATIA VIP_ASIMILARE_MG .
      97      C
      98      C      WRITE(108,2)
      99      2      FORMAT(//,14X,'SS VTD_RANDAMENT ASIM,MG % $%')
     100      00 25 T=7,11
     101      Y(T)=RPG(I)
     102      25  CONTINUE
     103      CALL CORFEX,Y,11,A,B,A1,B1,C1,DX,DY,R)
     104      CALL CORFW
      C 105      C
      C 106      C      CORELATIA TITAN_ETALEN .
      C 107      C
      108      N=4
      109      00 30 T=1,N
      110      X(T)=TTNF(1,T)
      111      Y(T)=TTNF(2,T)
     112      30  CONTINUE
     113      CALL CORF(X,Y,N,A,B,A1+B1,C1,DY,DY+R)
     114      WRITE(108,3)
     115      3      FORMAT(//,14X,'SS TITAN_ETALEN $%')
     116      CALL CORFW
      C 117      C
      C 118      C      CORELATIA ZIRCONIU_ETALEN .
      C 119      C
      120      N=2
      121      00 35 T=1,N
      122      X(T)=ZPNF(1,T)
      123      Y(T)=ZPNF(2,T)
     124      35  CONTINUE
     125      CALL CORF(X,Y,N,A,B,A1,B1,C1,DY,DY+R)
     126      WRITE(108,4)
     127      4      FORMAT(//,14X,'SS ZIRCONIU - ETALON $%')
     128      CALL CORFW
      C 129      C
      C 130      C      CORELATIA MAGNETIU_ETALEN .
      C 131      C
      C 132      C
      133      WRITE(108,5)
      134      5      FORMAT(//,14X,'SS MAGNETIU_ETALEN $%')
      135      N=5
      136      00 40 T=1,N
      137      X(T)=MCNF(1,T)
      138      Y(T)=MCNF(2,T)
     139      40  CONTINUE
     140      CALL CORF(Y,Y,N,A,B,A1+C1,C1,DY,DY+R)
     141      CALL CORFW

```

1: F0022  
FORTRAN V.02.02.02

AT.MC 7470

```

      C 142      C
      C 143      C      CORELATIA GROSTME PEPETE_VITESA PACIPE_ETALEN
      C 144      C
      145      WRITE(108,7)
      146      7      FORMAT(//,14X,'SS VITESA PACIPE - ETALON $%')
      147      WRITE(108,6)
      148      6      FORMAT(//,14X,'CURLUL VITESET DE RACTRF : ',/
      149      '+14X,'VR2 = 1',/+14X,'VR2 = 2',/+14X,'VR2 = 3')
      C 150      C
      151      WRITE(108,8)
      152      8      FORMAT(//,14X,'SS VTD_S5 MMHG $%')
      C 153      C
      C 154      C
      155      N=3
      156      00 45 T=1,N
      157      X(T)=VNER3(1,I)
      158      Y(T)=VNER3(2,I)
     159      45  CONTINUE
     160      CALL CORF(X,Y,N,A,B,A1+B1,C1,DY,DY+R)
     161      WRITE(108,9)
     162      9      FORMAT(//,14X,'SS GRUSIME PEPETE : TA $%')
     163      CALL CORFW

```

```

167      C
168      Y(I)=VNE352(1,T)
169      Y(I)=VNE352(2,I)
170      CONTINUE
171      CALL CPKF(X,Y,N,A,R,A1+B1,C1,UX,RY+R)
172      WRITE(108,10)
173      FORMAT(//,14X,'** SUBROUTINE PERFTE : T2 35**')
174      CALL CPKFH
175      DO 65 I=1,N
176      X(I)=VNE352(1,T)
177      Y(I)=VNE352(2,T)
178      CONTINUE
179      CALL CPKF(X,Y,N,E,R,A1,B1,C1,UX,RY+R)
180      WRITE(108,11)
181      FORMAT(//,14X,'** SUBROUTINE PERFTE : T3 35**')
182      CALL CPKFH
183      DO 60 I=1,N
184      X(I)=VNE354(1,T)
185      Y(I)=VNE354(2,T)
186      CONTINUE
187      CALL CPKF(X,Y,N,A,R,A1,B1,C1,UX,RY+R)
188      WRITE(108,12)
189      FORMAT(//,14X,'** SUBROUTINE PERFTE : T4 35**')
190      CALL CPKFH
191      WRITE(108,13)

```

3:00 28

E:\PTRN\ V.02.02.02.02

```

192      13   FORMAT(//,14X,'** VTD LP MNHG 35**')
193      WRITE(108,9)
194      C
195      DO 65 I=1,N
196      X(I)=VNE2U1(1,T)
197      Y(I)=VNE2U1(2,T)
198      CONTINUE
199      CALL CPKF(X,Y,N,A,R,A1+B1,C1+UX,RY+R)
200      CALL CPKFH
201      WRITE(108,7)
202      DO 70 I=1,N
203      X(I)=VNE2U2(1,T)
204      Y(I)=VNE2U2(2,T)
205      CONTINUE
206      CALL CPKF(X,Y,N,A,R,A1+B1,C1+UX,RY+R)
207      CALL CPKFH
208      WRITE(108,11)
209      DO 75 I=1,N
210      X(I)=VNE2U3(1,T)
211      Y(I)=VNE2U3(2,T)
212      CONTINUE
213      CALL CPKF(X,Y,N,E,R,A1+B1,C1,UX,RY+R)
214      CALL CPKFH
215      WRITE(108,12)
216      DO 80 I=1,N
217      X(I)=VNE2U4(1,T)
218      Y(I)=VNE2U4(2,T)
219      CONTINUE
220      CALL CPKF(X,Y,N,A,R,A1+B1,C1,UX,RY+R)
221      CALL CPKFH
222      WRITE(108,14)
223      FORMAT(//,14X,'** VTD LP MNHG 35**')
224      WRITE(108,9)
225      C
226      DO 85 I=1,N
227      X(I)=VNE1U1(1,T)
228      Y(I)=VNE1U1(2,T)
229      CONTINUE
230      CALL CPKF(X,Y,N,A,R,A1+B1,C1,UX,RY+R)
231      CALL CPKFH
232      DO 90 I=1,N
233      X(I)=VNE1U2(1,T)
234      Y(I)=VNE1U2(2,T)
235      CONTINUE

```

ALMG

T2/07/

237 CALL CORELAZIONE\_NUTRIENTI(1,01,02,03,04,05,06,07,08,09)  
 238 CALL CORFW  
 RTRN V.02.02.02 ALMG 12/07/  
 236 WRITE(108,11)  
 237 DO 96 I=1,N  
 238 X(I)=VNE103(1,I)  
 239 Y(I)=VNE103(2,I)  
 240 CONTINUE  
 241 CALL CORFL(X,Y,N,A,B,A1,B1,C1,DX,DY,K)  
 242 CALL CORFW  
 243 WRITE(108,12)  
 - 244 DO 95 T=1,N  
 245 X(T)=VNE104(1,T)  
 246 Y(T)=VNE104(2,T)  
 247 CONTINUE  
 248 CALL CORFL(X,Y,N,A,B,A1,B1,C1,DX,DY,K)  
 249 CALL CORFW  
 C 250 C CORELATIA\_VID\_PR  
 C 251 C  
 C 252 C  
 253 WRITE(108,16)  
 254 FORMAT(//,14X,'\* VIU\_REF.MFCANTC \*\$')  
 C 255 C  
 256 N=11  
 257 DO 106 I=1,N  
 258 X(I)=VPM(1,I)  
 259 Y(I)=VPM(2,I)  
 260 CONTINUE  
 261 CALL CORFL(X,Y,N,A,B,A1,B1,C1,DX,DY,K)  
 262 CALL CORFW  
 C 263 C  
 C 264 C CORELATIA\_VID\_ABZ  
 C 265 C  
 266 WRITE(108,17)  
 267 FORMAT(//,14X,'\* VIU\_ALUNGIRE \*\$')  
 C 268 C  
 269 DO 105 I=1,N  
 270 X(I)=VA(1,I)  
 271 Y(I)=VA(2,I)  
 272 CONTINUE  
 273 CALL CORFL(X,Y,N,A,B,A1,B1,C1,DX,DY,K)  
 274 CALL CORFW  
 C 275 C  
 C 276 C CORELATIA\_VID\_Hb  
 C 277 C  
 278 WRITE(108,18)  
 279 FORMAT(//,14X,'\* VIU\_UVRITATE \*\$')  
 C 280 C  
 281 DO 110 I=1,N  
 282 X(I)=VHb(1,I)

: S:01.04.  
 PTRAN V.02.02.02 ALMG 12/07/  
 283 Y(I)=VHb(2,I)  
 284 CONTINUE  
 285 CALL CORFL(X,Y,N,A,B,A1,B1,C1,DX,DY,K)  
 286 CALL CORFW  
 C 287 C  
 288 WRITE(108,19)  
 289 FORMAT(//,14X,'\* STRUCTURA SECUNDARA \*\$')  
 C 290 C  
 C 291 C  
 C 292 C CORELATIA\_TREATTERMIC\_L\_PPPC .  
 C 293 C  
 294 WRITE(108,21)  
 295 FORMAT(//,14X,'\* TRAT.TREATMUL\_KPA? \*\$')  
 296 WRITE(108,22)  
 297 FORMAT(//,14X,'\* \_COUDL TRATAMENTULUI : /,, /,  
 298 \$14X,'T21 = 1',/, '\$14X,'T22 = 2',/, '\$14X,'T23 = 3',/  
 299 '\$14X,'T12 = 4',/, '\$14X,'T32 = 5')  
 C 300 C  
 301 WRITE(108,8)

```

303      N=5
304      WRITE(10P,20)
305      26      FORMAT(//,14X,'$ TRAT.TERMIC_KPUP $')
306      DO 106 I=1,N
307      X(T)=TPP25(I,1)
308      Y(T)=TPP25(2,1)
309      106      CONTINUE
310      WRITE(10P,R)
311      CALL CPKF(X,Y,N,A,B,A1+BT,C1+UX,DY+K)
312      CALL CPRFW
313      WRITE(10P,13)
314      DO 107 I=1,N
315      X(I)=TPP2U(I,1)
316      Y(I)=TPP2U(2,1)
317      107      CONTINUE
318      CALL CPKF(X,Y,N,A,B,A1+d1,C1+UX,DY+K)
319      CALL CPRFW
320      WRITE(10P,14)
321      DO 108 I=1,N
322      X(T)=TPP1U(I,I)
323      108      Y(T)=TPP1U(2,I)
324      WRITE(10P,24)
325      24      FORMAT(//,14X,'$ VTO S MMHG $')
326      DO 109 I=1,N
327      X(I)=TPP5(I,T)
328      109      Y(I)=TPP5(2,T)
329      CALL CPKF(X,Y,N,A,B,A1+d1,C1+UX,DY+K)

```

3 : C:\T46

F: P1R-N V.02.02.02

ALMG

12/07/

```

330      CALL CPRFW
C 331      C
C 332      C      COPELATIA TT_KM
C 333      C
334      WRITE(10P,27)
335      27      FORMAT(//,14X,'$ TRAT.TERMIC_K.MECANICA $')
336      WRITE(10P,R)
337      DO 111 I=1,N
338      X(I)=TPM35(I,1)
339      111      Y(I)=TPM35(2,1)
340      CALL CPKF(X,Y,N,A,B,A1+BT,C1+UX,DY+K)
341      CALL CPRFW
342      WRITE(10P,13)
343      DO 112 I=1,N
344      X(T)=TPM2U(I,1)
345      112      Y(T)=TPM2U(2,1)
346      CALL CPKF(X,Y,N,A,B,A1+d1,C1+UX,DY+K)
347      CALL CPRFW
348      WRITE(10P,14)
349      DO 113 I=1,N
350      X(T)=TPM3U(I,1)
351      113      Y(I)=TPM3U(2,1)
352      CALL CPKF(X,Y,N,A,B,A1+d2,C1+UX,DY,R)
353      CALL CPRFW
354      WRITE(10P,24)
355      DO 114 I=1,N
356      X(T)=TPM5(I,T)
357      114      Y(T)=TPM5(2,T)
358      CALL CPKF(X,Y,N,A,B,A1+d1,C1+UX,DY+K)
359      CALL CPRFW
C 360      C
C 361      C      COPELATIA TT_ALUNGTR
C 362      C
363      WRITE(10P,20)
364      28      FORMAT(//,14X,'$ TRAT.TERMIC_ALUNGTR $')
365      WRITE(10P,R)
366      DO 115 I=1,N
367      X(T)=TPA35(I,1)
368      115      Y(I)=TPA35(2,1)
369      CALL CPKF(X,Y,N,A,B,A1+BT,C1+UX,DY+K)
370      CALL CPRFW
C 371      C

```

```

376      PRINT(1000,107)
373      DO 116 I=1,N
374      X(I)=TPA2U(I,I)
375      Y(I)=TPA2U(Z,I)
376      CALL CPKF(Y,Y,N,A,R,A1,d1,C1,UX,DY+K)

2 52
F PTRAN V.02.02.02          ALMG    12/07/
377      CALL CPKF
378      WRITE(TOP,14)
379      DO 117 I=1,N
380      X(I)=TPA1U(I,I)
381      Y(I)=TPA1U(Z,I)
382      CALL CPKF(X,Y,N,A,R,A1+d2,C1,UX,DY+K)
383      CALL CPKF
384      WRITE(TOP,24)
385      DO 118 I=1,N
386      X(I)=TPA2U(1,I)
387      Y(I)=TPA2U(2,I)
388      CALL CPKF(X,Y,N,A,R,A1,d1,C1+UX,DY+K)
389      CALL CPKF

C 390      C
C 391      C      CORELATIA TT_DURITATE
C 392      C
393      WRITE(108,291)
394      29      FORMAT(//,14X,'$ TRAT.TEPNTL_DURITATE $')
395      WRITE(TOP,B)
396      DO 119 I=1,N
397      X(I)=TPH3U(I,I)
398      Y(I)=TPH3U(Z,I)
399      CALL CPKF(Y,Y,N,A,R,A1,d1,B1,C1,UX,DY+K)
400      CALL CPKF
401      WRITE(TOP,13)
402      DO 120 I=1,N
403      X(I)=TPH2U(I,I)
404      Y(I)=TPH2U(Z,I)
405      CALL CPKF(X,Y,N,A,R,A1+d1,C1,UX,DY+K)
406      CALL CPKF
407      WRITE(TOP,14)
408      DO 121 I=1,N
409      X(I)=TPH1U(I,I)
410      Y(I)=TPH1U(Z,I)
411      CALL CPKF(X,Y,N,A,R,A1,d1,C1+UX,DY+K)
412      CALL CPKF
413      WRITE(108,24)
414      DO 122 I=1,N
415      X(I)=TPH5(I,I)
416      Y(I)=TPH5(Z,I)
417      CALL CPKF(X,Y,N,A,R,A1,d1,C1+UX,DY+K)
418      CALL CPKF

C 419      C
C 420      C      CORELATIA TT_REZILIENZA
C 421      C
422      WRITE(TOP,31)
423      31      FORMAT(//,14X,'$ TRAT.TEPNTL_REZILIENZA $')

1 52
F PTRAN V.02.02.02          ALMG    12/07/
424      WRITE(TOP,B)
425      DO 99 I=1,N
426      X(I)=TPK3U(I,I)
427      99      Y(I)=TPK3U(Z,I)
428      CALL CPKF(X,Y,N,A,R,A1,B1,C1,UX,DY+K)
429      CALL CPKF
430      WRITE(TOP,13)
431      DO 101 I=1,N
432      X(I)=TPK2U(I,I)
433      101      Y(I)=TPK2U(Z,I)
434      CALL CPKF(X,Y,N,A,R,A1,d1,B1,C1+UX,DY+K)
435      CALL CPKF
436      WRITE(TOP,14)
437      DO 102 I=1,N
438      X(I)=TPK1U(I,I)
439      102      Y(I)=TPK1U(Z,I)

```

```

790      CALL CORFW
441      CALL CORFW
442      WRITE(108,24)
443      DO 103 I=1,N
444      X(I)=TK5(T,I)
445      Y(I)=TRK5(2,T)
446      103  CONTINUE
447      CALL CORF(X,Y,N,A,B,A1,B1,C1,DX,DY,R)
448      CALL CORFW
C      449      C
C      450      C
C      451      C      CORRELATIA TRATAMENT TERMIC - ETALON
C      452      C
        N=F
453      WRITE(108,9)
454      DO 125 I=1,N
455      X(I)=TT1(I,1)
456      Y(I)=TT1(I,2)
457      125  CALL CORF(X,Y,N,A,B,A1,B1,C1,DX,DY,R)
458      CALL CORFW
459      WRITE(108,10)
460      DO 126 I=1,N
461      X(I)=TT2(I,1)
462      Y(I)=TT2(I,2)
463      126  CALL CORF(X,Y,N,A,B,A1,B1,C1,DX,DY,R)
464      CALL CORFW
465      WRITE(108,11)
466      DO 123 I=1,N
467      X(I)=TT3(I,1)
468      Y(I)=TT3(I,2)
469      123  CALL CORF(X,Y,N,A,B,A1,B1,C1,DX,DY,R)
470

```

1. S:0000.04

F. PTRAN V.02.02.02.

ALMG 12/07/

```

471      CALL CORFW
472      WRITE(108,12)
473      DO 124 I=1,N
474      X(I)=TT4(I,1)
475      Y(I)=TT4(I,2)
476      124  CALL CORF(X,Y,N,A,B,A1,B1,C1,DX,DY,R)
477      CALL CORFW
478      STOP
479      END

```

2. S:0000.07

F. PTRAN V.02.02.02

ALMG 12/07/

```

1      SUBROUTINE CORF(X,Y,N,A,B,A1,U,T,DX,DY,R)
C      2      CALCULEAZA COEFICIENTUL DE CORRELATIE ,
C      3      COEF. DE PEGESTE , PARAMETRIL DE PEGESTE
C      4      PARAMETRII REGRESIE NE LINIARE PENTRU STRUKTLE X
C      5      DIMENSIUNI X(N),Y(N)
C      6
C      7
C      8      INITIALIZARE :
C      9
10      10      SX=0.
11      SY=0.
12      SXY=0.
13      SX2=0.
14      SY2=0.
15      SX3=0.
16      SX4=0.
17      SX2Y=0.
18      20      DO 30 I=1,N
19      Z=FLNAT(I)
20      U=(Z-1.)/Z
21      SX=SX+U*X(I)/Z
22      SY=SY+U*Y(I)/Z
23      T=X(I)*Y(I)
24      SXY=SXY+U*T/Z
25      T=X(I)*X(I)
26      SX2=SX2+U*T/Z
27      T=T*SX(I)
28      SX3=SX3+U*T/Z

```

```

      SX4=SX4SU+T/Z
      T=X(I)SX(I)SY(I)
      SX2Y=SX2YSU+T/Z
      T=Y(I)*Y(I)
      SY2=SY2SU+T/Z
      C
      C
      D1=SY2_SXSSX
      D1A=SXY_SXSSY
      D1B=SXZY_SXSSYY
      A=D1A/D1
      B=D1B/D1
      DX=ABS(D1A)*0.5
      IF(D1>0.0)DX=-DX
      DY1=SY2_SXSSY
      DY=ABS(DY1)*0.5
      IF(DY1<0.0)DY=-DY
      R=SXY_SXSSY

  5:00:73
FUPTRAN V.02.02.02          AL MG    12/07/
48   IF(DX>0.0)DU TD 35
49   TF(DY>0.0)DU TD 35
50   P=F/DX/DY
51   35  CONTINUE
52   D2=SX4*SY2+L$5A$SY2$SX3
53   D2=D2_SX2$S3_DY2$SX4_SY3$S?
54   DA=SX2Y+SX2+SXY+SXSSY2+SXY2+SXY_SY3$X2$S?
55   DA=DA_SX2Y+SXY2+SXY_SX2$SXY2+SXY_SX2$S?
56   DB=SY4*SY2+SY2$SXY3$S+SA$SX2$UY_L$AY+$A2$S?
57   DB=DU_SXSSX2$SY_SX3$SXY2+SXY_SX2$S?
58   DC=SX4*SX2$SY+SX2$S$SXY2+SXY_SX2$S?
59   DC=DC_SX2Y$S$X2$S2_SX3$YY$SXY_SX2$S?
60   A1=DA/D2
61   R1=DU/D2
62   C1=DC/D2
63   RETURN
C   64   C
65   ENTRY CUREW
66   WRITF(108,7)SX
67   ?  FORMAT(//,14X,'_ANED = ',F10.4)
68   WRITF(108,7)SY
69   ?  FORMAT(//,14X,'_YMED = ',F10.4)
70   WRITF(108,7)DX,DY
71   ?  FORMAT(//,14X,'_DISPERSY = ',F12.4,
72   $//,14Y,'_DISPERSY = ',F12.4)
73   WRITF(108,4)P,A
74   4   FORMAT(//,14X,'_UNDEF.CUREFATF = ',F10.4,
75   $//,14Y,'_CUFF.KFGEFATF = ',F10.4)
76   WRITF(108,5) A,D
77   5   FORMAT(//,14X,'_DPEAPTA UF PECKESTL = ',
78   $/,20X,'Y = ',F10.4,'X+',F10.4)
C   79   C
80   WRITF(108,6) A2,R1,C3
81   6   FORMAT(//,14X,'_KFGEFATF NELLINIAKA = ',
82   $/,20X,'Y = ',F10.4,'$X*$2+',F10.4,'$Y+',F10.4)
C   83   C
C   84   C
85   RETURN
86   END

  5:00:70
FUPTRAN V.02.02.02          AL MG    12/07/
REURS DETECTEES AU COURS DE LA COMPILEATION :
AVERTISSEMENT : FTTWUETTE '100' DEFINTION NON REFEREE.
AVERTISSEMENT : FTTWUETTE '200' DEFINTION NON REFEREE.
  5:00:70
FUPTRAN V.02.02.02          AL MG    12/07/
  MODULE   EXHEATA      TYPE  P  LONGUEUR  2070 1
  MODULE   CURE          TYPE  F  LONGUEUR  0070 1
EST LA FIN DE COMPILEATION (PLUS HAUT NIVEAU D'ERREUR FONCTIONNE = 0)

```

B129 H007 = 19H 54M 00S H008 = 19H 54M 00S TIME = 00000000  
0193 LGP = 00045 PBM = 00013 LU = 00000589 TR = 00000000  
C000 AD = 01 CR = 01

1 :000051

LINK

LINK STARTED

1 :000053

LINK 17.75.02 12/07/85 19H51M41S

SEGMENT	EXMDATA	NO	I	IMPLANTATION	S
MODULE	EXMDATA			IMPLANTATION	78
MODULE	CORE			IMPLANTATION	2050
MODULE	TDFSYSUT			IMPLANTATION	3400
MODULE	TDFSYSIN			IMPLANTATION	3530
MODULE	IXINTT			IMPLANTATION	3580
MODULE	IXPRINT			IMPLANTATION	3A60
MODULE	IXENDICL			IMPLANTATION	3C80
MODULE	IZSTOP			IMPLANTATION	3050
MODULE	EXVFLDAT			IMPLANTATION	30F0
MODULE	TZPKWPRP			IMPLANTATION	3E20
MODULE	IZPARRT			IMPLANTATION	3E50
MODULE	IZTOT			IMPLANTATION	3F80
MODULE	FZERP1			IMPLANTATION	4050
MODULE	STOPRUN			IMPLANTATION	4178
MODULE	IXFCRARI			IMPLANTATION	41F0
MODULE	IXFORMA			IMPLANTATION	4250
MODULE	FZAEXP			IMPLANTATION	5050
MODULE	FZAALEG			IMPLANTATION	5040
MODULE	IZDONNFE			IMPLANTATION	50D0
MODULE	EXPREP			IMPLANTATION	5E40

LONGUEUR DU SEGMENT 5700

1 :000056

LINK 17.75.02 12/07/85 19H51M41S  
IMPLANT. APRÈS TRAITEMENT OPTION FMS

SEGMENT	EXMDATA	NO	I	IMPLANTATION	S
---------	---------	----	---	--------------	---

LONGUEUR DU SEGMENT 7010

1 :000057

LINK 17.75.02 12/07/85 19H51M41S

U ERREUR EN ÉDITION DE LTENS

ADRESSE DE LANCEMENT 1570

LONGUEUR PLUS GRANDE BRANCHE 7510

LONGUEUR DU PROGRAMME FUTIF 7B76

PLUS HAUT NIVEAU D'ERREUR rencontré N=0 PAS D'ERREUR

1 :000058

CIMA 0997 ALMG AN = 307E FH = 0002 DATE = 12/07/85  
B129 H.DEP = 19H 54M 00S H.EIN = 19H 54M 49S TIME = 00000000  
0193 LGP = 00045 PBM = 00012 LU = 00000589 TR = 00000000  
C000 AD = 01 CR = 01

1 :000059

PUN NL:5000,TIME:10

STARTED

1 :000062

\$\* STRUCTURE PRTHARA \$\*

\$\* VIO\_FTALON \$\*

XREF T= 140.0365

\_YMEU = 3.8182

\_DISPERSX = 224.9316

\_DISPERSY = 1.7487

\_COFF.CORRELATIE : .1234

\_COFF.REGRESIE : .0010

\_DEGRAPTA DE REGRESIE :  
 $y = .00103x + 4.1231$

\_DEGRESIE NELINTARA :  
 $y = .9347syssz + .0117sy + .2442$

\*\* VIDE RANDAMENT ASTM.MG % \*\*

\_XMEU = 140.0365

\_YMEU = 8.8414

\_DISPERSX = 224.9316

\_DISPERSY = 1.9343

\_COFF.CORRELATIE : .2837

\_COFF.REGRESIE : .0024

\_DEGRAPTA DE REGRESIE :  
 $y = .00248x + 0.7373$

\_DEGRESIE NELINTARA :  
 $y = 2.2007syssz + .0260sy + .5660$

\*\* TITAN ETALON \*\*

\_YMEU = 2575

XMEU = 2.7500

DISPERSX = .1610

DISPERSY = 3.7666

CUFF.CORFLATIE : -.9987

CUFF.REGRESIF : -23.3653

DREAPTA DE REGRESIF :

$$Y = -23.3653X + 4.0400$$

REGESTE NELINIARA :

$$Y = 13.2488X^{5.2} + 110.9815X + 1.1054$$

\$\$ ZIRCONIU \_ ETALON \$\$

XMEU = .1100

XMEU = 6.5000

DISPERSX = .0400

DISPERSY = .5000

CUFF.CORFLATIE : -1.0000

CUFF.REGRESIF : -12.5001

DREAPTA DE REGRESIF :

$$Y = -12.5001X + 5.1250$$

REGESTE NELINIARA :

$$Y = -2377.09423X^{3.2} + 22644.51175X + 1.0404$$

\$\$ MAGNETIU \_ ETALON \$\$

XMEU = 10.0000

YMED = 3.6000

DISPERSX = 1.4142

DISPERSY = 1.3565

- COEF.CORELATIE : .9383

COEFF.REGRESIF : .9000

DREAPTA DE REGRESIF :

$$Y = .9000x + 12.9000$$

REGRESIE NEINTARA :

$$Y = 185.6816x^{\$2} + 17.82983x + .0034$$

ss VITESA RACIRE \_ ETALON ss

CODUL VITESFI DE RACIRE :

VR1 = 1

VR2 = 2

VR3 = 3

ss VIN 35 MMHG ss

ss GRDIME PERETE : T1 ss

XMED = 2.0000

YMED = 6.6667

DISPERSX = .8165

DISPERSY = .4714

COEF.CORELATIE : -.8607

COEFF.REGRESIF : -.5000

DREAPTA DE REGRESIF :

$$Y = .5000x + 5.5000$$

REGRESIE NELINIARA :  
 $y = 24.38718y^{*2} - 17.27048x + 0.0411$

SS GROSIME PERETE : T2 SS

XMED = 2.0000

YMED = 6.0000

DISPERSX = .016<sup>2</sup>

DISPERSY = .016<sup>2</sup>

CDEF.CORRELATIE : -1.0000

COFF.REGRESIE : -1.0000

DRAPTA DE REGRESIE :  
 $y = -1.0000x + 4.0000$

REGRESIE NFLINTARA :  
 $y = 20.82208y^{*2} - 15.52758x + 0.0548$

SS GROSIME PERETE : T2 SS

XMED = 2.0000

YMED = 5.0000

DISPERSX = .016<sup>2</sup>

DISPERSY = .016<sup>2</sup>

COFF.CORRELATIE : -1.0000

COFF.REGRESIE : -1.0000

DRAPTA DE REGRESIE :  
 $y = 1.0000x + 2.0000$

REGRESIE NELINIARA :  
 $y = 16.9864 \times x^{0.2} + 12.9304 \times y + 0.0475$

SS GRDSTMF PERETE : T4 SS

\_XMEU = 2.00000

\_YMEU = 4.3333

\_DISPERSX = .8165

\_DISPERSY = .4714

\_COFF.CORRELATIE : -.0600

\_COFF.REGRESIF : -.5000

DRAFTA DE REGRESIF :  
 $y = -0.5000x + 3.5000$

REGRESIE NELINIARA :  
 $y = 15.0131 \times x^{0.2} + 11.2021 \times y + 0.0475$

SS V1D 20 MMHG SS

SS GRDSTMF PERETE : T1 SS

\_XMEU = 2.00000

\_YMEU = 7.6667

\_DISPERSX = .0165

\_DISPERSY = .4714

\_COFF.CORRELATIE : -.0600

\_COFF.REGRESIF : -.5000

DREAPTA DE REGRESIE :  
 $y = -0.5000sx + 6.5000$

REGRESIE NEFLINTARA :  
 $y = 26.2227syssz + -14.8597sz + -0.0479$

SI GROSIME PERETE : T2 SI

XMEU = 2.0000

YMEU = 7.0000

DISPERSX = .6165

DISPERSY = .0000

CUFF.CORRELATIE : .0000

CUFF.REGRESIE : .0000

DREAPTA DE REGRESIE :  
 $y = 0.0000sx + 7.0000$

REGRESIE NEFLINTARA :  
 $y = 26.0445syssz + -16.1234sz + -0.0479$

SI GROSIME PERETE : T3 SI

XMEU = 2.0000

YMEU = 5.6667

DISPERSX = .6165

DISPERSY = .4714

CUFF.CORRELATIE : .0000

CUFF.REGRESIE : .0000

DEFAPTA DE REGRESIE :  
 $y = -0.00078x + 6.0000$

REGRESIE NELINTARA :  
 $y = 21.9117 \times \$\$2 + -14.6439 \times \$ - 0.010$

SS GRDIME PERETE : T4 \$\$

XME0 = 2.0000

YME0 = 5.3333

DISPERSX = .0105

DISPERSY = .4714

CUFF.CORLATTE : .8600

COFF.REGRESIF : .5000

DEFAPTA DE REGRESIE :  
 $y = -0.500078x + 6.0000$

REGRESIE NELINTARA :  
 $y = 21.6405 \times \$\$2 + -13.7980 \times \$ - 0.0412$

SS VD TU MMHG \$\$

SS GRDIME PERETE : T3 \$\$

XME0 = 2.0000

YME0 = 7.3333

DISPERSX = .0105

DISPERSY = .4714

CUFF.CORLATTE : -.8600

DIFAPTA DE REGRESIE :  
 $y = -0.5000x + 6.5000$

REGRESIE NFLINTARA :  
 $y = 27.1200x^{2.2} - 18.9693x + 6.0685$

SS GROSIME PERETE : T2 SS

XMEF0 = 2.0000

YMEF0 = 7.3333

DISPERSX = .6765

DISPERSY = .4714

RUFF.CORRELATIE : -.0660

COFF.REGRESIE : -.5000

DIFAPTA DE REGRESIE :  
 $y = -0.5000x + 6.5000$

REGRESTE NFLINIARA :  
 $y = 27.1200x^{2.2} - 18.9693x + 6.0685$

SS GROSIME PERETE : T3 SS

XMEF0 = 2.0000

YMEF0 = 6.3333

DISPERSX = .8165

DISPERSY = .4714

RUFF.CORRELATIE : -.8660

\_DREAPTA DE REGRESIE :                    - 0.7000

\_DREAPTA DE REGRESIE :  
Y =        - 0.5000x +     5.5000

\_REGRESIE NELINIARA :  
Y =        23.28443x<sup>2</sup> +    - 16.3802x +    - 0.7010

ss GROSIME PERETE : T<sup>4</sup> ss

\_XMEU =        2.0000

\_YMEU =        76.0000

\_DISPERSX =        .0105

\_DISPERSY =        .0105

\_COFF.CORELATIE :        - 0.5000

\_COFF.REGRESIE :        - 0.5000

\_DREAPTA DE REGRESIE :  
Y =        - 0.5000x +     5.5000

\_REGRESIE NELINIARA :  
Y =        72.18163x<sup>2</sup> +    - 15.4848x +    - 0.0622

ss VID.REZ.MECANICA ss

\_XMEU =        225.3544

\_YMEU =        52.2400

\_DISPERSX =        197.6513

\_DISPERSY =        62.4537

COFF.CORELATIE :        - 0.1048

\_LUMPEREGRESIE :                  0.999

\_DREAPTA DE REGRESIE :  
Y =        .06048X + 152.9456

\_REGRESIE NELINTARA :  
Y =        57.81623Y<sup>0.92</sup> +    -0.22813X +    -8.9306

\$\$ VIZ\_ALUNGIRE \$\$

\_XMED =    140.9227

\_YMED =    3.5127

\_DISPERSX =    224.3978

\_DISPERSY =    1.1273

\_COFF.CORRELATIE :    -0.4417

\_COFF.REGRESIE :    -0.0022

\_DREAPTA DE REGRESIE :  
Y =        -0.00273X +    2.6280

\_REGRESIE NELINIARA :  
Y =        -0.00263Y<sup>0.92</sup> +    -0.00493X +    -0.2606

\$\$ VIZ\_OURITATE \$\$

\_XMED =    140.9227

\_YMED =    68.0273

\_DISPERSX =    224.3978

\_DISPERSY =    0.9248

\_COFF.REGRESIF : -0.0083

\_DREAPTA DE REGRESIE :  
 $y = -0.0083x + 70.0463$

\_REGRESIE NEFLINTARA :  
 $y = 16.0000x^{0.2} + -0.2707x + -4.4740$

**\$\$ STRUCTURA SECUNDARA \$\$**

**\$\$ TRAT.TERMIC\_RPAZ \$\$**

"

\_CODUL TRATAMENTULUT :

T21 = 1

T2.2 = 2

T2.3 = 3

T1.2 = 4

T3.2 = 5

**\$\$ VID 35 MMHG \$\$**

"

**\$\$ TRAT.TERMIC\_PPDZ \$\$**

"

**\$\$ VID 35 MMHG \$\$**

\_YMEU = 3.0000

\_YMFU = 141.4000

\_DISPERSX = 1.4142

\_DISPERSY = 20.3334

\_COFF.CORRELATIE : -0.2782

\_COFF.REGRESIF : -4.0000

\_DREAPTA DE REGRESIE :  
 $y = -4.0000x + 114.2000$

$$Y = 428.7103 \times S^2 + 203.4750 \times t - 3.1277$$

\$\$ VIB 20 MMHG \$\$

\_XME0 = 3.0000

\_YME0 = 140.4000

\_DISPERSX = 1.4142

\_DISPERSY = 22.3577

\_COFF.CORELATIE : -0.3352

\_COFF.REGRESIF : -5.2999

\_DRCAPTA DE REGRESIF :

$$Y = -5.2999 \times X + 107.3499$$

\_REGRESIE NFLINTAPA :

$$Y = 419.9170 \times S^2 + 202.6340 \times t - 3.0270$$

\$\$ VIB 10 MMHG \$\$

\$\$ VIB 5 MMHG \$\$

\_XME0 = 3.0000

\_YME0 = 147.2000

\_DISPERSX = 1.4142

\_DISPERSY = .7071

\_COFF.CONFLATIE : .7071

\_COFF.REGRESIF : -8.1001

\_DRCAPTA DE REGRESIF :

DREAPTA DE REGRESIE :  
 $y = -16.3999x + 194.6001$

REGRESIE NELINIARA :  
 $y = 788.1548x^{0.2} + 388.2854x + -2.7641$

**\$\$ VIN 10 MMHG \$\$**

XMEU = 3.0000

YMEU = 310.3999

DISPERSX = 1.4142

DISPERSY = 64.8040

COEF.CORRELATIE : -0.0820

COEF.REGRESIE : -3.7998

DREAPTA DE REGRESIE :  
 $y = -3.7998x + 252.5499$

REGRESIE NELINIARA :  
 $y = 951.0317x^{0.2} + 448.6404x + -1.9020$

**\$\$ VIN 5 MMHG \$\$**

XMEU = 3.0000

YMEU = 292.0000

DISPERSX = 1.4142

DISPERSY = 49.0389

COEF.CORRELATIE : -0.4326

COEF.REGRESIE : -15.0000

DIFAPTA DE REGRESIE :  
 $y = -15.0000x + 213.6000$

REGRESIE NELINTIARA :  
 $y = 859.57678x^{5.2} + 421.3750x + 7.3227$

\$\$ TRAT.TERMIC\_ALUNGIRE \$\$

\$\$ VID 35 MMHG \$\$

XMED = 3.0000

YMED = 6.9700

DISPFRSX = 1.4142

DISPFRSY = 3.3763

COFF.CORRELATIE : -0.3268

COFF.REGRESIE : -0.7850

DIFAPTA DE REGRESIE :  
 $y = -0.7850x + 1.9500$

REGRESIE NELINTIARA :  
 $y = 17.90418x^{5.2} + 36.1651x + 0.0500$

\$\$ VID 20 MMHG \$\$

XMED = 3.0000

YMED = 7.0600

DISPFRSX = 1.4142

DISPFRSY = 3.4564

-----  
-----

\_COEFF.REGRESIE : \_+6900

\_DREAPTA DE REGRESIE :  
 $y = +0.6900x + 2.2270$

\_REGRESIE NE LINIARA :  
 $y = 18.5523x^{5.92} + 26.3723x + 0.685$

\$\* VD 70 MMHG \$\*

\_XMED = 3.0000

\_YMED = 7.7100

\_DISPERSX = 1.4142

\_DISPERSY = 4.0120

\_COEFF.CORELATIE : \_+2530

\_COEFF.REGRESIE : \_+7200

\_DREAPTA DE REGRESIE :  
 $y = +0.7200x + 2.2770$

\_REGRESIE NE LINIARA :  
 $y = 20.2867x^{5.92} + 22.4549x + 0.675$

\$\* VD 5 MMHG \$\*

\_XMED = 3.0000

\_YMED = 7.8700

\_DISPERSX = 1.4142

\_DISPERSY = 4.1965

Coefficient de corelație : -0.9772

Coeff. regresie : -0.8150

Driftarea de regresie :  
 $y = -0.8150x + 2.1300$

Regresie initială :  
 $y = 20.4031x + 12.4265 \quad r=0.94$

\$\* TRAT.TERMIC\_DUPITATE \$\*

\*\* VIM 35 MMHG \*\*

XMED = 3.0000

YMED = 97.8800

DISPERSX = 1.4142

DISPERSY = 12.3988

Coeff.corelatie : -0.4640

Coeff. regresie : 4.1200

Driftarea de regresie :  
 $y = 4.1200x + 145.0199$

Regresie initială :  
 $y = 297.5700x + 175.4922 \quad r=0.9474$

\* VIM 20 MMHG \*\*

XMED = 3.0000

YMED = 97.6400

DISPERSX = 1.4142

\_COFF.CORRELATIE : .4563

\_COFF.REGRESIF : 3.8899

\_DRFAPTA DE REGRESIF :  
 $y = 3.8899x + 103.9602$

\_REGRESIE NELINIARA :  
 $y = 295.9167x^{5.2} + 125.6423x + 1.4390$

\$t Vip Tu MMHG \$s

\_XMED = 3.0000

\_YMED = 88.6400

\_DISPERSX = 1.4142

\_DISPERSY = 12.6430

\_COFF.CORRELATIE : .5032

\_COFF.KEGRESIF : 4.5701

\_DRFAPTA DE REGRESIF :  
 $y = 4.5701x + 107.3594$

\_REGRESIE NELINIARA :  
 $y = 301.6812x^{5.2} + 127.0600x + 1.4505$

\$t Vip S MMHG \$s

\_XMED = 3.0000

\_YMED = 89.4300

\_DISPERSX = 1.4142

\_COFF.CORELATIE : .4036

\_COFF.REGRESIE : 4.51E0

\_DRFAPTA DE REGRESIF :  
Y = 4.5150SY + 108.7100

\_REGRFSTE NFLINIAPA :  
Y = 304.13945SX392 + 128.18503X + 1.4606

\$\$ TRAT.TERMIC.REZILIEN TA

\$\$ VIO 35 MMHG \$\$

\_XMFD = 3.0000

\_YMFD = 3.4500

\_DISPFRSX = 1.4142

\_DISPFRSY = 1.3957

\_COFF.CORELATIE : -.3197

\_COFF.REGRESIE : -.3150

\_DRFAPTA DE REGRESIF :  
Y = -.3150SX + 1.4100

\_REGRFSTE NFLINIAPA :  
Y = 9.2905SX392 + 5.01873X + .0157

\$\$ VIO 20 MMHG \$\$

\_XMFD = 3.0000

\_YMFD = 3.5800

\_DISPERSX = 1.414?

\_DISPERSY = 1.3703

\_COEF.CORELATIE : -0.392?

\_COEF.REGRESIF : -0.3800

\_DREAPTA DE REGRESIE :  
Y = -0.3800\$X + 3.4400

\_REGRESIE NELINIARA :  
Y = 9.5333\$X\$\$2 + -5.1985\$X + .0041

\$\$ VID 10 MMHG \$\$

\_XMED = 3.0000

\_YMED = 3.8600

\_DISPERSX = 1.414?

\_DISPERSY = 1.5081

\_COEF.CORELATIE : -0.4126

\_COEF.REGRESIE : -0.4400

\_DREAPTA DE REGRESIE :  
Y = -0.4400\$X + 1.4400

\_REGRESIE NELINIARA :  
Y = 10.1611\$X\$\$2 + -5.6767\$X + .0040

\$\$ VID 5 MMHG \$\$

\_XMED = 3.0000

\_YMED = 4.0200

\_DISPERSX = 1.4142

\_DISPERSY = 1.6606

\_COEF.CORELATIE : -0.3327

\_COEF.REGRESIF : -0.3400

\_DREAPTA DE REGRESIE :

$$Y = -0.3900 \times X + 1.6000$$

\_REGRESIE NFLINTA PA :

$$Y = 10.7603 \times X^{5.2} - 5.8450 \times X + 0.0154$$

#### TRATAMENT TERMIC-STRUCTURA

\$1 GROSIME PERETE : T1 ss

\_XMFU = 3.0000

\_YMFU = 3.2000

\_DISPERSX = 1.4142

\_DISPERSY = 1.1662

\_COEF.CORELATIE : -0.2425

\_COEF.REGRESIE : -0.2000

\_DREAPTA DE REGRESIE :

$$Y = -0.2000 \times X + 1.8000$$

\_REGRESIE NFLINIARA :

$$Y = 9.0617 \times X^{5.2} - 4.6449 \times X + 0.0029$$

\$1 GROSIME PERETE : T2 ss

\_XMFU = 3.0000

\_YMFU = 3.4000

DISPERSX = 1.4142

DISPERSY = 1.4067

COFF.CORLATIE : -0.5600

COFF.REGRESIF : -0.6000

DREAPTA DE REGRESIE :

$$Y = -0.6000SY + .6000$$

REGRESIE NFLINTARA :

$$Y = 8.19285X^{1.2} + -4.93083X + -0.029$$

SS GROSIME PEPETE : T2 ss

YMEU = 3.0000

YMFU = 4.0000

DISPERSX = 1.4142

DISPERSY = 1.6733

COFF.CORLATIE : -0.6701

COFF.REGRESIF : -0.8000

DREAPTA DE REGRESIE :

$$Y = -0.8000SY + .6000$$

REGRESIE NFLINTARA :

$$Y = 9.41146X^{1.2} + -5.79575X + -0.0203$$

SS GROSIME PERETE : T4 ss

YMEU = 3.0000

\_DISPERSX = 1.4142

\_DISPERSY = 1.6547

\_COEF.CORRELATIE : -0.3812

\_COEFF.REGRESIF : -0.50000

\_DRAFTA DE REGRESIF :

Y = -0.50000SX + 1.6000

\_REGRESIE NFLINIAPA :

Y = 11.56175X<sup>2</sup>-0.39325X+0.007

1 5:00 107

2 5:00 107

1 5:00 103

CIMAF 0907 ALMG AN = 207E PH = 0005 DATE = 12/07/05  
0129 H.DEB = 19H 51M 49S H.FIN = 19H 52M 10S TIME = 00000657  
0193 LGP = 00045 MEM = 00016 LU = 00001625 TN = 0000001  
0000 AD = 01 CR = 01

2 5:0 103

\* FOJ